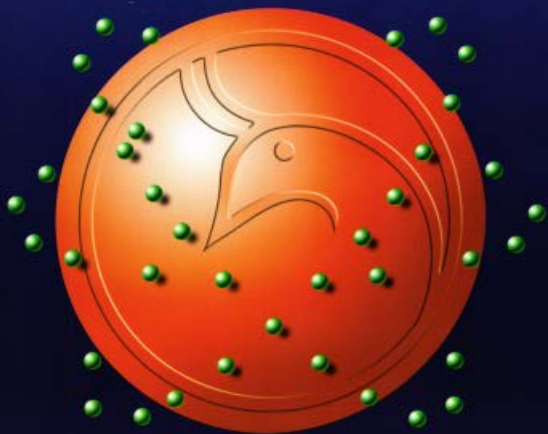




Al-Mustansiriyah  
ISSN 1814 - 635X  
Journal of Science

Vol. 21, No. 3, 2010



Vol. 21  
No. 3  
2010

# Al- Mustansiriya Journal of Science

Issued by College of Science- Al- Mustansiriya  
University

## Head Editor

Prof. Dr. Redha I. AL-Bayati

## General Editor

Asst. Prof. Dr. Ikbal khider Al- joofy

## Editorial Board

Dr. Iman Tarik Al -Alawy	Member
Dr. Ramzy Rasheed Al-Ani	Member
Dr. Inaam Abdul-Rahman Hasan	Member
Dr. Awni Edwar Abdulahad	Member
Dr. Majid Mohammed Mahmood	Member
Dr. Saad Najm Bashikh	Member
Dr. Hussain Kareem Sulaiman	Member

## Consultant Committee

Dr. Kadhim Hasan H. Al-Mossawi	Member
Dr. Tariq Salih Abdul-Razaq	Member
Dr. Mehdi Sadiq Abbas	Member
Dr. Abdulla Ahmad Rasheed	Member
Dr. Hussein Ismail Abdullah	Member
Dr. Muhaned Mohammed Nuri	Member
Dr. Monim Hakeem Kalaf	Member
Dr. Amir Sadiq Al-Malah	Member
Dr. Tariq Suhail Najim	Member
Dr. Yosif Kadhim Al-Haidari	Member

## INSTRUCTION FOR AUTHORS

1. The journal accepts manuscripts in Arabic and English languages. Which had not been published before.
2. Author (s) has to introduce an application requesting publication of his manuscript in the journal. Four copies (one original) of the manuscript should be submitted. Should be printed by on the computer by laser printer and reproduced on A4 white paper in three copies with floppy disc should be also submitted.
3. The title of the manuscript together with the name and address of the author (s) should typed on a separate sheet in both Arabic and English. Only manuscripts title to be typed again with the manuscript.
4. For manuscripts written in English, full name (S) of author (s) and only first letters of the words (except prepositions and auxiliaries) forming title of the manuscript should be written in capital letters. Author (s) address (es) to be written in small letters.
5. Both Arabic and English abstracts are required for each manuscript. They should be typed on two separate sheets (not more than 250 words each).
6. References should be denoted by a number between two bracket on the same level of the line and directly at the end of the sentence. A list of references should be given on a separate sheet of paper, following the international style for names and abbreviations of journals.
7. Whenever possible, research papers should follow this pattern: INTRODUCTION, EXPERIMENTAL (MATERIALS AND METHODS), RESULTS AND DISCUSSION, and REFERENCES. All written in capital letters at the middle of the page. Without numbers or underneath lines.
8. The following pattern should be followed upon writing the references on the reference sheet: Surname (s), initials of author (s), title of the paper, name or abbreviation of the journal, volume, number, pages and (Year). For books give the author(s) name(s), the title, edition, pages, publisher, place of publication and (Year).
9. A publication fees in the amount of ID. 25 thousand is charged upon a Receipt of the paper and 25 thousand upon the acceptance for publication for their ID. 50 thousand should be paid for the editorial board.

**CONTENTS**

ITEM	Page No.
Identification of Wheat Cultivars By Gliadin Electrophoresis Thuraeaya A. Abass	1-8
Evaluation of Testosterone and HDL-cholesterol Relation in Iraqi Sever Hypertensive patients Hayder Hamed Abed and Muthanna I. Al-Ezzi	9-14
Prevalence of Typhoid Fever in Abu-Ghraib City (Baghdad) Abass Atya	15-26
Study the Effect of Some Ascorbic Acid Derivatives on ALP and ACP Activities in Sera of Healthy Subjects Firas S. Abdul-Razzak and Alaa H. Jawad	27-34
Synthesis, Spectroscopic and Biological Studies of Some Metal Complexes with 1,2 bis-(orthoaminophenylthio) ethane Shaymaa H. Naji and Faleh H. Musa	35-50
Synthesis of Some New 4-{2-[chloro(4-substituted methyl]-2- methylhydrazino}-7-nitro-2,1,3-benzoxadiazole Derivatives and Study their Biological Activity Olfa A. Naif	51-64
Synthesis of phenylalanine Schiff base Ligand and its Complexes with some metal (II) ions and evaluation of their antibacterial activity Manhel R. Aziz	65-78
Synthesis of New Heterocyclic Compounds Derived From 2-Amino-2-(4-Hydroxy Phenyl) Acetic Acid and Study of Their Effects on Monoamineoxidase (MAO) Activity Sahar A. Kadhom, Shaemaa H. Abdul sada, Ghasak J. Kashtal, Abdul- Jabber K. Atia and Mohammed Abdullah	79-94
Palm Olein as an Eco-Friendly Corrosion Inhibitor Nesreen S. Mohammed Ali Al-Roobaiy	95-102
Risk Assessment Related to Contamination of Terrestrial Food Chains by Atmospherically Deposited Lead Particles Muhammad K. Mohammed, Nabeel H. A. Al-Tameemi and Mohammed S. Naji	103-116
Adaptive Thresholding Method for Image Edge Detection Ali A. Al-Zuky and Haidar J. Al- Taa'y	117-122
Modified Ishikawa Iterative Sequence With Errors For Uniformly L- Lipschitzian Mappings Eman M. Nemah	123-134
An Analytical Study of the Middle Troposphere in a Heavy Rainstorm Over Iraq Natiq A. Zaki	135-142

## Identification of Wheat Cultivars By Gliadin Electrophoresis

Thuraeya A. Abass

Dept. of Biology, College of Science, AL-Mustansiriya University

Received 18/6/2008 – Accepted 10/5/2010

### الخلاصة

استخلصت الكلايدينات وهي البروتينات الخازنة في سويداء الحنطة - بواسطة الكحول 70%. أخذ صنف من الحنطة الخشنة وثمانية أصناف من الحنطة الصلبة مختلفة في محتواها من البروتين المزروعة في العراق. تم استخدام هلام متعدد الاكريل امайд في فصل هذه الكلايدينات. وقد لوحظت فروقات واضحة في أنماط الفصل بين أصناف الحنطة المدروسة.

### ABSTRACT

Gliadins are heterogenous proteins of alcohol soluble wheat endosperm storage protein, whose composition varies among wheat genotypes. Polyacrylamide gel electrophoresis was used as a method to identify wheat varieties. Gliadins were extracted with 70% ethanol from nine local wheat cultivars, one of which belongs to *T.durum*, whereas the others belong to *T.aestivum* with different protein content .Differences were found among PAGE patterns of all investigated wheat cultivar.

### INTRODUCTION

The most important decision of farmers when buying wheat is the selection of the best cultivar. The decision depends on many factors such as the return the farmer receives on his investment which is a function of yield, maturity, lodging, disease resistance, and other characteristics. Cultivar selection depends also on the purpose of production which is associated with certain bread, cookies or pasta making quality characteristics. It is therefore important to identify wheat cultivars precisely in order to maintain those desirable quality characteristics in the marketplace. Protein content is considered as a very important element in wheat flour which has direct relation with the process of bread – producing and other bakery products(1). Wheat cultivars of high protein content are most preferable.

The higher protein content in a certain wheat cultivar, the higher its price will be , and thus wheat producers will realize big profit(2).

The three main protein fractions of wheat grain ( albumin, gliadin and glutinin ) have been assessed in terms of their suitability for variety identification . Gliadin proteins are clearly the best and most often used.

Polyacrylamide gel electrophoresis ( PAGE ) method of proteins is widely adapted to identify wheat cultivars in some places (3,4,5,6,7,8). Wheat proteins are chosen for varietal identification

because of their easy separation by PAGE , and the stability of the genetic material of varieties to environmental changes (9,10,11,12,13,14) therefore, wheat proteins are a reliable source of material on which to choose a program for identification or "finger printing" of wheat cultivars (15). The purpose of this study was to investigate feasibility of this method for identifying Iraqi local wheat cultivars.

## MATERIAL AND METHOD

Seed samples of nine local wheat cultivars(Maxipak, Inia, Saberbeg, Ajeeba, Abu-Ghraib, Gerardo, Nury, Pavon and Negazary) were obtained from the Ministry of Agriculture. Grain samples were ground in a Udy cyclone sample mill to pass through 1-mm mesh screen. Protein was determined by AACC methods(16).

### Extraction of Wheat Gliadin.

The extraction of wheat gliadin was done as shown in fig.1. Ground wheat seeds (0.25g) were extracts with 1.5 ml of 70% aqueous ethanol by mixing in a vortex mixer for 20 sec in a stoppered test tube. The tube was allowed to stand at room temperature for 1 hr and then centrifuged at 4,55 x g for 10 min. The supernatant was transferred to a 2-ml screw cap vial, and five drops of glycerine were added to increase the density of the protein solution . A drop of 10% methyl green solution was added as a tracking dye and to show the sample layered in the slots. Gliadin extracts were stored at 5C in sealed vials for several months with no noticeable change in the electrophoregrams.

### Polyacrylamide gel electrophoresis(PAGE)

PAGE was carried out at pH 3.1 in sodium lactate buffer according to the method adapted by Lookhart *et al* (3),fig. 1 using 6% gel in a vertical gel electrophoresis apparatus.

### Evaluation of the electrophoregram:

Gels were scanned in a densitometer to measure the migration of the gliadin bands(15

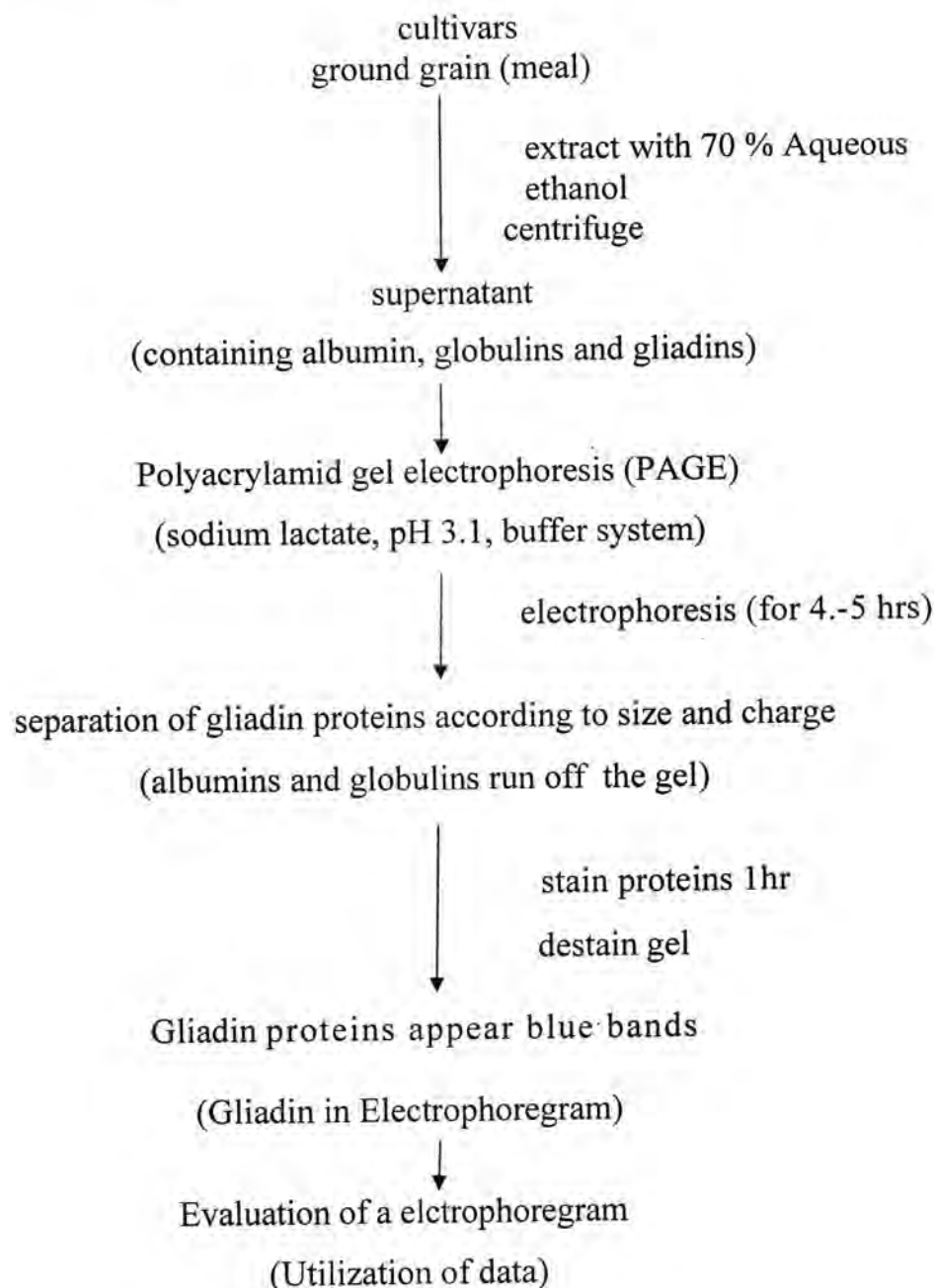


Fig-1: Schematic diagram of wheat varietal identification utilizing data from gliadin electrophoregrams .

## RESULTS AND DISCUSSION

Protein content of the nine local wheat varieties are shown in Table 1. Nury showed the highest protein content (15.44%) while Nagazary was the lowest (8.61).

Table-1: protein content of various Iraqi local cultivars. a\*

wheat cultivars	protein % b
Maxipak	11.00
Inia	14.70
Saberbeg	14.99
Ajeeba	13.10
Nagazary	8.61
Pavon	14.36
Nury	15.44
Gerardo	10.20
Abu- Ghraib	11.80

a\* N × 5.7 , b on dry basis

Results in table 1 . are in concurrence with what was stated by Awad (2).

Awad indicated that protein percentage ranged between ( 9 – 14.7 % ) in a number of cultivars grown in Iraq .

The differences in protein percentages between wheat cultivars are due to genetic differences among the various cultivars , the environment and yield servicing .

The electrophoretic pattern of gliadin protein from nine local wheat cultivars are shown in Fig. 2. At least 11 bands can be distinguished in each cultivar. Comparing the PAGE patterns of the various cultivars using fresh gels or photographs was a time-consuming procedure. An easier method is to scan each gel directly by a densitometer. The densitometer was sensitive enough to detect wheat bands observable by the eye. In figure. 3,which represents photographs of the densitometer scan of nine cultivars, gliadin electrophoregrams from the gel shown in fig.1, the numbers printed above the peaks correspond to the distance ,as the band had moved into the gel (where 1 unit = 25 mm). Results showed that each cultivar was characterized by very differentiable gliadin bands. Their gliadin bands area fell between 0.4 and 37.7% with approximately four heavily staining bands having an area between 8.25- 37.70% (17). Results have shown nine different electrophoretic types, namely:-

1. Eleven bands were distinguished in Maxipak ; four heavily-stained bands having areas of (28 , 18 , 15 and 13.4 %).
2. Ten bands were distinguished in Inia ; five heavily- stained bands having areas of( 16 , 16.5 , 24.5 , 13and 14%).

3. Eight bands were distinguished in Saberbeg ; five heavily – stained bands having areas of ( 23.8 , 10.9 , 25.5 , 14.6 and 15 %).
4. Nineteen bands were distinguished in Ajeeba ; two heavily – stained bands having areas of ( 16 and 23.9 %).
5. Seventeen bands were distinguished in Abu-Ghraib ; four heavily – stained bands having areas of ( 15.8 , 10.9 , 15.4 and 11%).
6. Sixteen bands were distinguished in Gerardo ; two heavily – stained bands having areas of ( 11.6 and 23.3% ).
7. Twenty bands were distinguished in Nury ; two heavily – stained bands having areas of ( 13.6 and 14.6% ).
8. Twenty- two bands were distinguished in Pavon ; two heavily – stained bands having areas of ( 12 and 16.5% ).
9. Ten bands were distinguished in Nagazary ; three heavily – stained bands having areas of ( 10.8 , 17 and 37.7% ).

These results are in concurrence with what is stated by ( 19 ) about obvious differences between the various bands of electrophoresis concerning each cultivar .

The results showed differences in the numbers and areas of the gliadin bands which are considered as an indicator reflecting genetic differences between the studied cultivars (18 , 19 ).

In the course of this study we managed to obtain dry slides containing reproducibility of electrophoretic with gliadin protein extracted from local wheat cultivars.

This accomplishment is considered as the first of its kind, not only in Iraq but at global level as well, as it is completely reliable and dependable in agricultural, medical, industrial & scientific spheres.

This scientific achievement has the characteristic of being able to refer to at any time as it is absolutely firm and unchangeable.

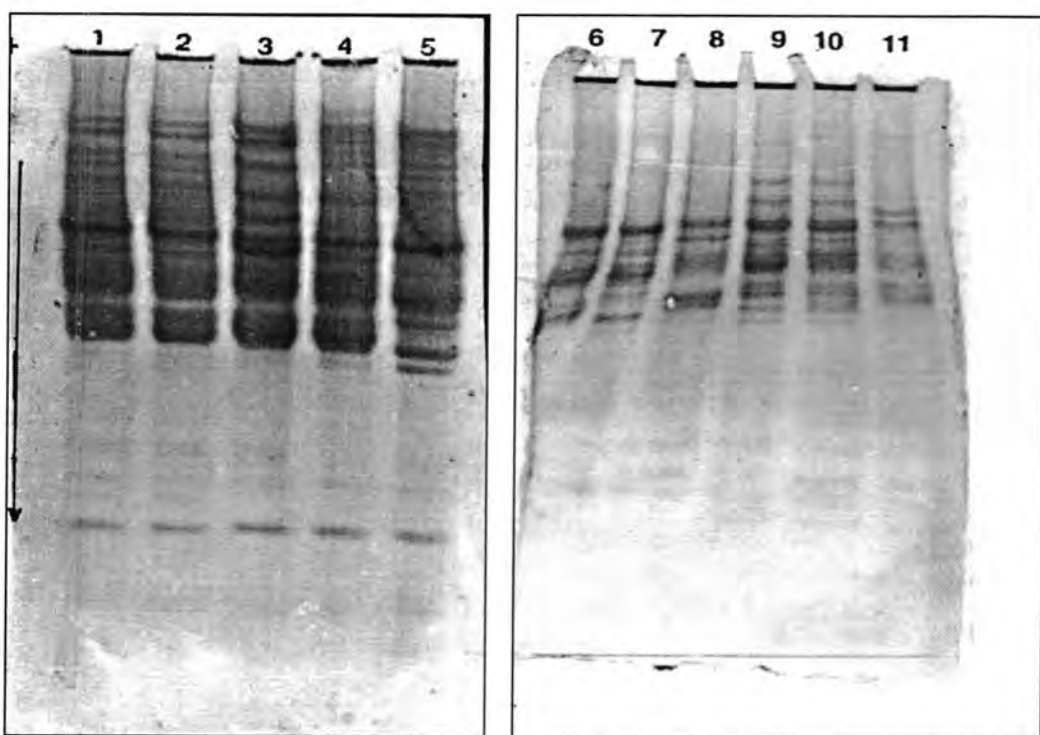


Fig-2: Reproducibility of electrophoretic pattern with gliadin proteins extracted from representative wheat: 1 and 2, Maxipak, Inia; 3, Sabrbeg; 4 Ajeeba; 5 and 7, Abu-Ghraib ; 6, Gerardo; 8, Nury; 9, Pavon; 10, and 11 Nagazary.

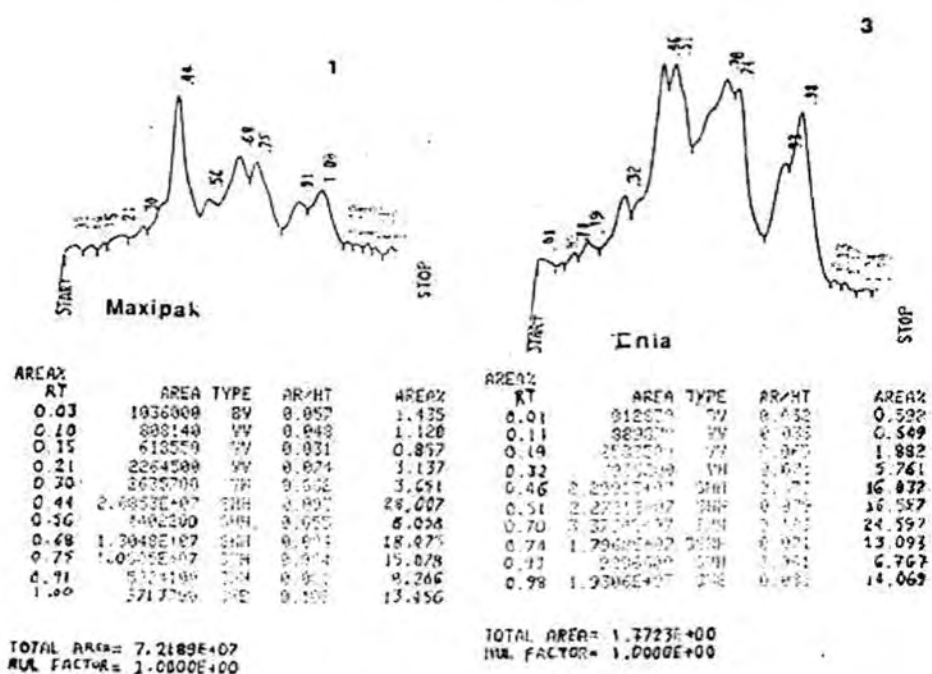


Fig-3: Densitometer scan of nine gliadin electrophoregrams of fig-2 maxipak; 1 Inia; 3, Sabrbeg; 4 Ajeeba; 5 and 7, Abu-Ghraib ; 6, Gerardo; 8, Nury; 9, Pavon; 10, and 11 Nagazary.

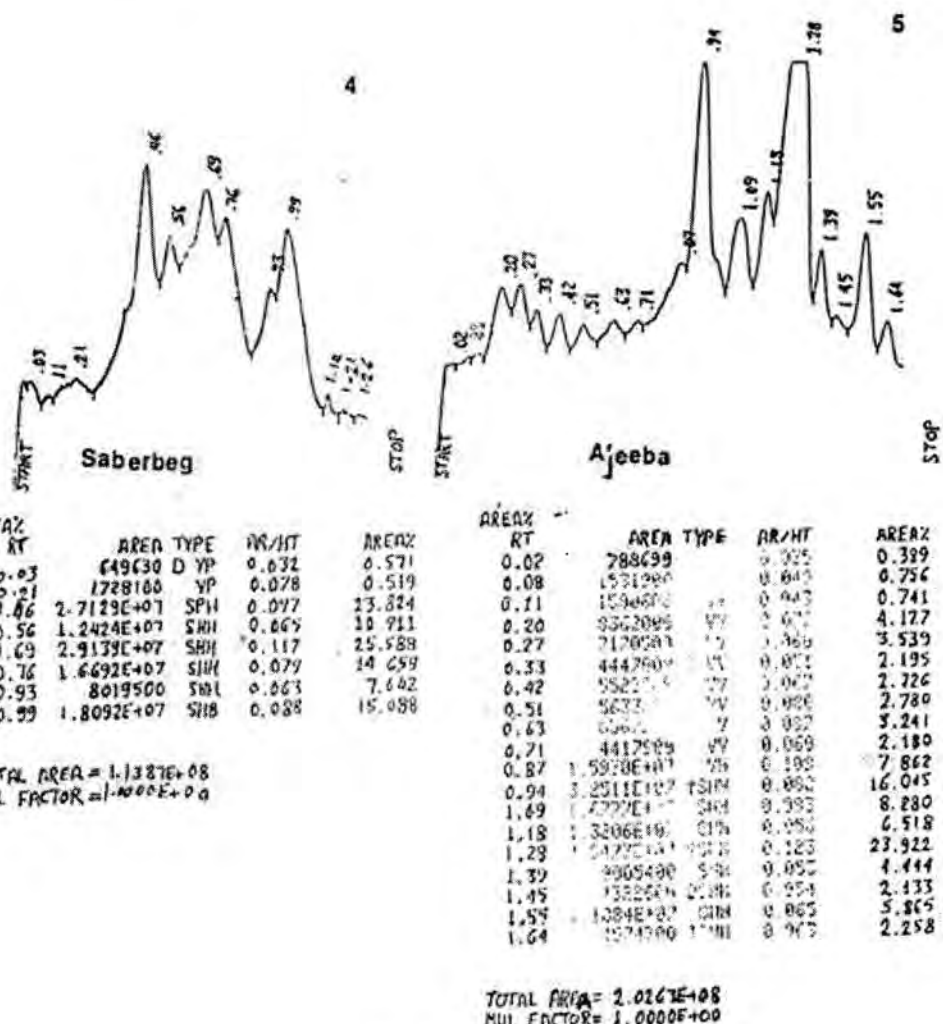


Fig-3 continued

Identification of Wheat Cultivars By Gliadin Electrophoresis

Thuraeaya

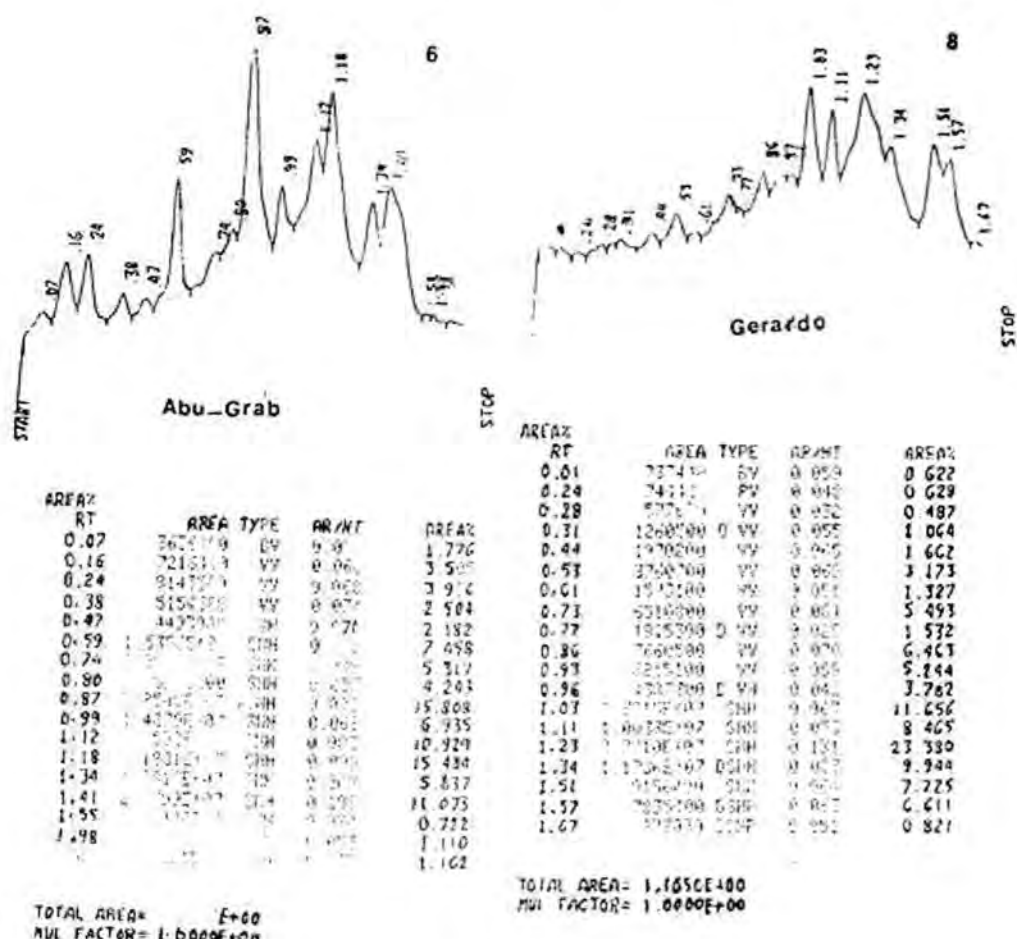


Fig-3 continued

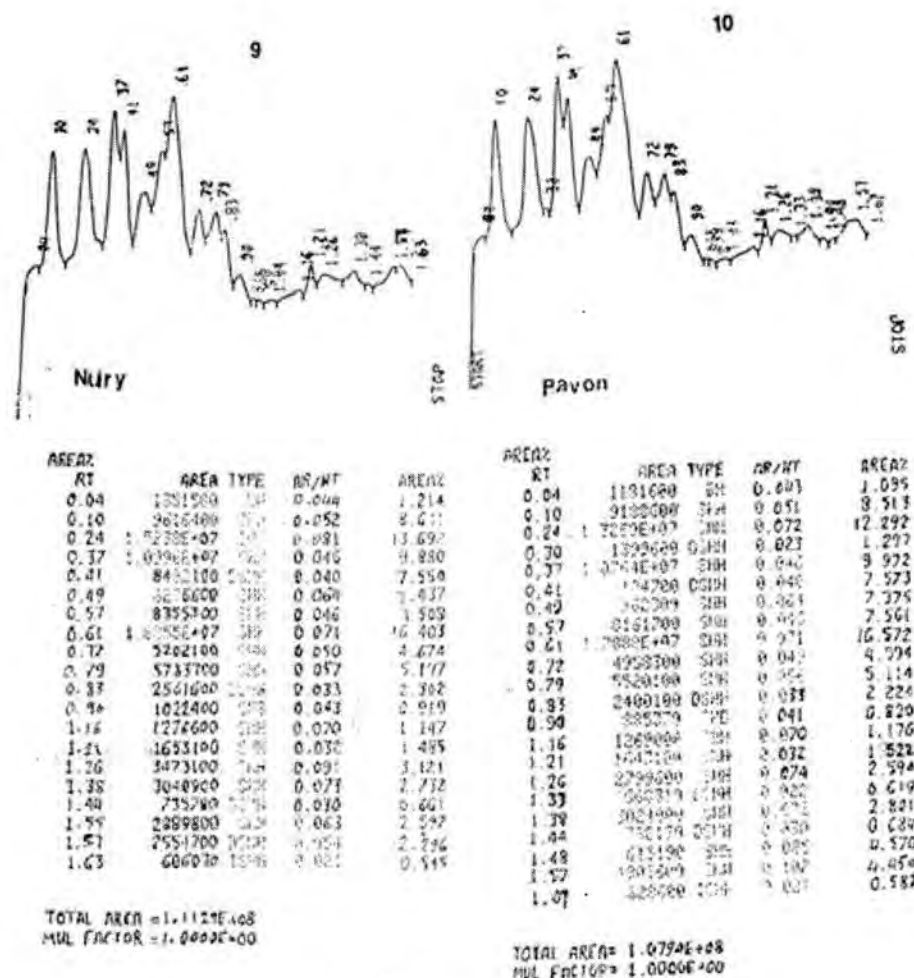


Fig-3 continued



RT	AREA%	AREA TYPE	AR/KIT	AREA%
0.31	1.597	859410 VV	0.346	
0.34	1.044	565489 D VV	0.030	
0.46	4.545	2461499 VH	0.080	
0.61	18.845	82065487 SHH	0.072	
0.65	17.082	9251100 SHH	0.052	
0.74	9.613	4634599 SHH	0.053	
0.85	37.700	1111107 SHH	0.162	
1.06	4.073	2205704 SHH	0.021	
1.09	3.305	1201407 SHH	0.057	
1.18	3.207	1731009 SHH	0.050	

TOTAL AREA= 5.01137E+02  
MUL FACTOR= 1.35005E+00

Fig-3 continued

## REFERENCES

- اليونس ، عبد الحميد احمد ، انتاج وتحسين المحاصيل الحقلية (الجزء الاول) وزارة التعليم العالي والبحث العلمي . كلية الزراعة ، جامعة بغداد، ص 1340 (1993).
- عواد ، هيفاء علي ، دراسة العلاقة بين الخصائص الفيزيائية والكيميائية والصفات النوعية لبعض اصناف الحنطة العراقية . رسالة ماجستير ، قسم الصناعات الغذائية ، كلية الزراعة ، جامعة بغداد (2000) .
- Lookhart, G.L., Jones, B.L., Aall, S.B., and Finny, K.F. An improved method for standardizing the polyacrylamide gel electrophoresis of wheat gliadin proteins Cereal Chem.59.178, (1982).
- Lookhart, D.L., Jones, B.L.Walker, D.E., Rall, S.B., and Cooper, D.B. Computer assisted method for identifying wheat cultivars from their gliadin eleotrophoregram. Cereal Chem.60.111, (1983).
- Jones, B.L., Lookhart, G.L., Hall, S.B, and finny, K.F. Identification of wheat cultivars by gliadin electrophoresis

- .Electrophoregram of the 88 wheat cultivars most commonly grown in the United State in 1979. Cereal Chem.59.1811,(1982).
6. Bushuk, W and Zillman, R.R. Wheat cultivar identification by gliadin electrophoregram. Can. J. Plant Sci.58.505.(1978).
  7. Outran, J.C., Bushuk, W., Wrigley, C.W. and Zillman, R. Wheat cultivar identification by gliadin electrophoregrams. IV Comparison of international methods. Foods World 24.471, (1979).
  8. Wrigley, C.W. and Shepherd, K.W. Identification of Australian wheat cultivars by laboratory procedures. Examination of pure sample of grain. Aut. J.Exp. Ag. Agric. Animal. musb.14.796, (1974) .
  9. Autran, J.C. and Bourdet, Identification des Varieties de blé: Établissement d'un tableau général de determination fondé sur le diagramme électrophoretique des gliadins du grain. Ann. Amelior,Plantes 25.277(1979).
  - 10.Zillman, R.R. and Bushuk, W. Wheat cultivar identification by gliadin electrophoregram. Effects of environmental and experimental factors on the gliadin electrophoregram. Can. J. Plant Sci. 59.281, (1979).
  11. Wrigley, C.W., Autran, J.C., and Bushuk, W. Identification of cereal varieties by gel electrophoresis of grain proteins. Advances in cereal science and technology. Vol.5.Y. Pomeranz, ed. Am. Assoc. Cereal Chem. St. Paul, MN. U.S.A (1980).
  12. العبيدي، هاشم كاظم محمد، استحداث التغيرات الوراثة لتحمل الملوحة خارج الجسم الحي في محصول فول الصويا *Glycin max L.*، رسالة دكتوراه، كلية العلوم، الجامعة المستنصرية ، العراق ، ص148 (2006).
  13. ذهبي، اردادان احمد سلمان ، دراسة تأثير مستويات مختلفة من الملوحة، وأشعة كاما في بعض المكونات الخلوية في كالص خمس تراكيب وراثية من الحنطة الناعمة *Triticum aestivum L.* خارج الجسم الحي، رسالة دكتوراه، كلية العلوم، الجامعة المستنصرية، العراق، ص160 (2002).
  14. السوداني ، ميثم عبد الهادي عبد الحسين ، دراسة السلوك الكروموسومي المظهرى التحليلي البروتيني لبعض الهجن الناتجة من تضريب حنطة الخبز *Triticum aestivum L.x T.wittmack* رسالة دكتوراه ، كلية العلوم ، الجامعة المستنصرية، ص178 . (2002)
  15. Khan, K. Polyacrylamide gel electrophoresis of gluten proteins. Bakers,D.j.10.14,(1982).
  16. AACC American Association of Cereal Chem.St. approved methods. The Associations. Paul, U.S.A. (1984).
  17. طه ، الا جبار ، تأثير اشعة كاما والترميم الكيمياوي على المحتوى البروتيني لبذور

الفاصوليا مجلة علوم المستنصرية ، المجلد 17 ، العدد 2 ، ص(11-1) (2006).

*Phaseolus vulgaris L.*

18. المهداوي، أزهار عبد الرضا، دراسة تمييزية لبعض أصناف الحنطة المحلية باستخدام تقنية الترحيل الكهربائي. رسالة ماجستير، قسم الصناعات الغذائية ، كلية الزراعة ، جامعة بغداد (2004).
19. موسى ، مكارم علي ، استخدام تقنية HPLC في تحديد هوية اصناف من الحنطة المحلية اعتمادا على فصل الكلابدين والكلوتين واجزائهما لمعرفة مدى ملائمتها لصناعة الخبز ، رسالة دكتوراه ، كلية الزراعة ، جامعة بغداد ، العراق ( 2007 ) .

## Evaluation of Testosterone and HDL-cholesterol Relation in Iraqi Sever Hypertensive patients

Hayder Hamed Abed<sup>1</sup> and Muthanna I. Al-Ezzi<sup>2</sup>

<sup>1</sup>University of Al-Mustansiriyah, College of dentistry, Department of Basic Science

<sup>2</sup>University of Al-Mustansiriyah, College of Pharmacy, Department of Pharmaco-therapeutics

Received 8/2/2010 – Accepted 1/5/2010

### الخلاصة

هormon التستيرون هو أحد الستيرويدات الابتنائية والذي يصنع من قبل الإنسان من مشتقات الهرمون الجنسي الذكري. من الناحية الفيزيولوجية، فإن ارتفاع تركيز هذا الهرمون سوف يحفز بناء البروتين وينتاج عن ذلك تحسن في حجم العضلات وكثافة الجسم والطول. فضلاً عن ذلك فإن هورمون التستيرون والمشتقات المصنعة منه مسؤولة عن تطور ونمو الخصائص الجنسية الذكورية الثانوية. يقوم مركب الكوليسترول-HDL بالخلص من الكوليسترول الزائد في الجسم ولهذا يعتبر هذا المركب مؤشراً إيجابياً لصحة الجسم.

أظهرت نتائج هذه الدراسة عن ارتفاع ملحوظ وملموس للكوليسترول مع انخفاض ملحوظ وملموس لكل من هورمون التستيرون والكوليسترول-HDL في مصوّل مرضى ارتفاع ضغط الدم وبتركيز  $7.34 \pm 0.83$  mmol/L و  $12.82 \pm 0.14$  nmol/L على التوالي. من خلال هذه النتائج نستنتج بأن مرضى ارتفاع ضغط الدم يعانون من انخفاض مستوى هورمون التستيرون بدرجة كبيرة وملموسة، وإن هذا الانخفاض مرتبط بارتفاع مستوى الكوليسترول وانخفاض مستوى الكوليسترول-HDL.

وبالاعتماد على هذه النتائج ينصح بتقييم مستويات هورمون التستيرون والكوليسترول-HDL في مصوّل مرضى ارتفاع ضغط الدم وتصحيح الانخفاض الحاصل في مستويات هورمون التستيرون عن طريق العلاج ببدائل هذا الهرمون.

### ABSTRACT

Testosterone is one of the anabolic steroids which are the man-made derivatives of the male sex hormone. Physiologically, elevations in testosterone concentrations stimulate protein synthesis resulting in improvements in muscle size, body mass and strength.

Testosterone and its synthetic derivatives are responsible for the development and maturation of male secondary sexual characteristics. High density lipoprotein HDL-cholesterol represents the removing of cholesterol from body and it is considered as health indicator.

Twenty five Iraqi male patients with hypertension and may underpin features of advanced disease, collected from Ibn Al-Nafes teaching hospital. These patients with age range from 50-55 years were collected in a period of two months under medical supervision.

The obtained results showed significant elevation of cholesterol and significant decrease of both the HDL-cholesterol and testosterone in serum of sever hypertensive patients with concentrations  $7.34 \pm 0.83$  mmol/L and  $12.82 \pm 0.14$  nmol/L, respectively.

Decrease of testosterone hormone in hypertensive patients significantly. These decreases of the testosterone level were associated with elevation of cholesterol and decrease in HDL-cholesterol. From the collected results we recommended that testosterone level and HDL-cholesterol in sever hypertensive patients must be evaluated. The decrease of testosterone level could be corrected by testosterone replacements therapy.

## INTRODUCTION

Testosterone is the principal endogenous androgen. Endogenous androgens are responsible for a number of normal physical conditions, including alterations in body musculature and fat distribution<sup>(1,2)</sup>. In serum, testosterone is bound with high affinity to sex hormone binding globulin (SHBG) and with low affinity to albumin<sup>(3,4)</sup>. Testosterone circulates in plasma and approximately 50 % of it is bound to Sex hormone binding globulin (SHBG), however, a β-globulin with a high affinity for testosterone but only a limited binding capacity<sup>(5,6)</sup>. Testosterone deficiency is potentially reversible and the result of primary testicular failure or secondary to pituitary/hypothalamic causes. Testosterone also has an important role in the regulation of normal growth, bone metabolism and body composition. Skeletal muscle composition was associated with a decrease in muscle strength<sup>(7, 8)</sup>. Congestive heart failure most frequently results from coronary artery disease or hypertension and patients generally experience a continuing decline in their health<sup>(9)</sup>. On the other hand, others researchers have been suggested that prolonged anabolic steroid administration may increase risk for premature death, but this may be more relevant in subjects with medications abuse or underlying psychiatric disease<sup>(10)</sup>.

The lifetime risk of cardiovascular disease is much higher in men compared to women, suggesting that testosterone play an important role in risk developments<sup>(11)</sup>. Testosterone levels were decrease with age, this coincident with age-related increase atherosclerotic disease. Results obtained from cross-sectional studies suggest that men with cardiovascular disease might associate with lower testosterone levels. Intervention studies with testosterone in older men with cardio vascular disease suggest an improvement of ECG<sup>(12)</sup>. In addition, testosterone exerts significant effects on several risk factors for cardiovascular disease. Studies on intima-media thickness (IMT) of the carotid artery suggest an improvement by administering testosterone<sup>(13)</sup>.

The purpose of this study was to evaluate the relation between HDL – cholesterol and testosterone concentration in Iraqi sever hypertension patients since there is no similar study were concern with such relation for the hypertensive patients. Lab monitoring of testosterone must be preformed in managements of sever hypertensive as well as other basic lab investigations.

## MATERIALS AND METHODS

**Principle of evaluation method of Testosterone:** The principle of the Radio-immunoassay of testosterone is based on the completion between labeled  $I^{125}$ -testosterone and the testosterone in the sample against limited number of antibodies site bounded to the solid phase

(coated tube), after incubation, the unbounded tracer is easily removed by washing step<sup>(14)</sup>.

**Preparation of reagent & Evaluation method:** Reconstitution the standard with 0.5 ml distilled water. Mix gently by inversion to ensure complete dissolution of frozen dried material. The standard should be stand at 30 minutes after reconstitution and before proceeding<sup>(15)</sup>.

The principle of the assay is based on the completion between labeled testosterone and the testosterone in the sample against limited number of antibodies site bounded to the solid phase (coated tube), after incubation, the unbounded tracer is easily removed by washing step<sup>(15)</sup>.

#### **Subjects collections:**

Twenty five Iraqi male patients with hypertension and may underpin features of advanced disease, collected from Ibn Al-Nafes teaching hospital. These patients with age range from 50-55 years were collected in a period of two months from March/2007 to May/2007 under medical supervision.

Serum sample were collected by venous puncture and allowed to clot at room temperature for 30 minutes then centrifuged at 3000 rpm for 20 minutes. Serum was removed with micro pipette and stored at -20°C<sup>(16)</sup>. The blood pressures for all collected patients were range 18.2±0.4 (as systolic) and 12.1± 0.5 (as Diastolic).

Twenty five Iraqi healthy volunteers from the medical staff were considered as control with age range 50-56 years old. The collected patients as control were clear from any endocrinial, cardiovascular or obesity as well as abnormal live style such as smoking and drinking.

## **RESULTS AND DISCUSSIONS**

The evaluation of the cholesterol concentration in mmol/L for the hypertension patients are listed in Table -1, while the HDL-Cholesterol are listed in Table -2. The collected results predicted decrease of the HDL-Cholesterol and elevation of cholesterol according the acceptable medical limits(3.63-5.15 mmol/L). The changes of the testosterone concentration between the hypertension patients and control are plotted in figure-1. The mean concentration of testosterone is 12.82±0.14 nmol/L. (Testosterone deficiency is potentially reversible and the result of primary testicular failure or secondary to pituitary/hypothalamic causes). Figure 2: represents the distribution of HDL-Cholesterol concentration in patients of sever hypertension with control.

Cardiovascular disease is the leading cause of death and an important contributor to morbidity and disability in both sexes. It is largely preventable; efforts should focus on reducing the risk of coronary artery disease in effective ways<sup>(17, 18)</sup>. Many factors must be considered with

cardiovascular disease such as lifestyle modifications (smoking cessation, maintenance of a normal body weight, regular moderate to vigorous physical activity and consumption of a heart healthy diet) because of the important beneficial effects of these strategies<sup>(19)</sup>. Much of the problem in prospectively examining the effects of anabolic steroids on the population is related to the unwillingness of institutional review boards to approve such studies in a non-clinical population<sup>(20)</sup>.

Current collected data on cardiovascular risk suggest that it is sever hypertension associated low testosterone and HDL-cholesterol levels while reverse pattern was recorded for the cholesterol.

In general, we found that higher serum testosterone levels correlate with lower metabolic cardiovascular risk factors in healthy individuals as well as higher level of LDL-cholesterol.

All collected results predicted elevation of cholesterol with decrease of testosterone in the studies patients. These results are explain the main role of testosterone in reduction of lipid tissues, increase the mass muscles and activate anabolic pathways in livers<sup>(21)</sup>. On the other hand, decrease of testosterone may be reducing the clearance of cholesterol, by effecting on the low formation of HDL-cholesterol which considered the main source of consuming the cholesterol from cells body<sup>(22)</sup>. Role of testosterone on hypertension patients in this study is very close to the results that obtain from effects of anabolic drugs on developing of the cardiovascular disease<sup>(23)</sup>. Patients with hypertension usually associate with and conferrable satiation and abnormal and stress, however many studies reported low testosterone level in male under stress<sup>(24)</sup>. We concluded that testosterone have strong effects on developing hypertension patients. Testosterone must be corrected in causes of hypotestosteronima by testosterone replacements therapy<sup>(25-27)</sup>. Labs assays of testosterone must be performed in aged patients with sever hypertension.

Table-1: Cholesterol concentration in mmol/L

Group	Hypertension patients	Control
No.	25	25
Mean	7.34	5.43
SD	0.32	0.44
Correlation	0.80	0.63
P- value	0.005	0.05

Table-2: HDL-cholesterol concentration in mmol/L

Group	Hypertension patients	Control
No.	25	25
Mean	0.83	1.24
SD	0.11	0.02
Correlation	0.47	0.43
p-value	0.05	0.05

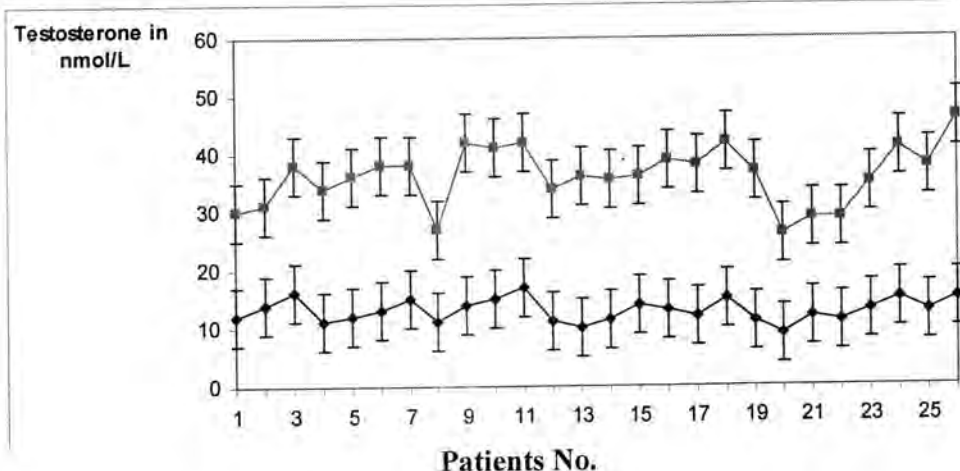


Figure 1: The changes of testosterone concentration between hypertension patients and control.

The upper series represents the healthy individuals (red)

The lower series represents the sever hypertension patients (blue)

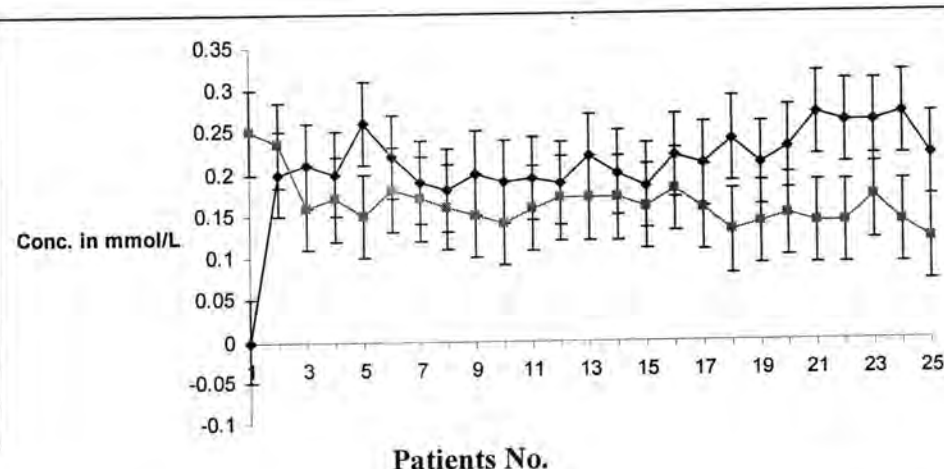


Figure 2: Distribution of HDL-cholesterol concentration for the patients.

The upper series represents the healthy individuals (blue)

The lower series represents the sever hypertension patients (red)

#### REFERENCES

1. Choi, M. H.; Yoo YS. and Chung, B.C.: Biochemical roles of testosterone and epitestosterone to  $5\alpha$ -reductase as indicators of male-pattern baldness. *J. Invest. Dermatol.*, **116**: 57-61( 2001)
2. Khaw KT. Hormone replacement therapy again. *BMJ*; **316**:1842-1844( 1998).
3. Malkin CJ, Pugh PJ, West JN, van Beek EJ, Jones TH, Channer KS: Testosterone therapy in men with moderate severity heart failure: a double-blind randomized placebo controlled trial. *Eur Heart J*, **27**:10-12( 2006).
4. Tremblay RR, Dube JY: Plasma concentrations of free and non-TeBG bound testosterone in women on oral contraceptives. *Contraception*, **10**:599-605( 1974).
5. Page ST, Amory JK, Bowman FD. Exogenous testosterone (T) alone or with finasteride increases physical performance, grip strength, and lean body mass in older men with low serum T. *J Clin Endocrinol Metab*; **90**:1502-1510( 2005).
6. Steidle C, Schwartz S, Jacoby K, Sebree T, Smith T, Bachand R, North American AA2500 T Gel Study Group. AA2500 testosterone gel normalizes androgen levels in aging males with improvements in body composition and sexual function. *J Clin Endocrinol Metab*. **88**:2673-2681( 2003).
7. Yates, W.R., Perry, P.J., MacIndoe, J., Holman, T. and Ellingrod, V. Psychosexual effects of three doses of testosterone cycling in normal men. *Biology Psychiatry* **45**, 254-260( 1999).
8. Socas, L., Zumbardo, M., Perez-Luzardo, O., Ramos, A., Perez, C., Hernandez, J.R. and Boada, L.D. Hepatocellular adenomas associated with anabolic androgenic steroid abuse in bodybuilders: a report of two cases and a review of the literature. *British Journal of Sports Medicine* ;**39**: e-27( 2005)
9. Tikkainen, H.O., Hamalainen, E., Sarna, S., Adlercreutz, H. and Harkonen M. Associations between skeletal muscle properties, physical fitness, physical activity and coronary heart disease risk factors in men. *Atherosclerosis* ; **137**: 377-389( 1998)
10. Petersson, A., Garle, M., GranathF., and Thiblin, I. Morbidity and mortality in patients testing positively for the presence of anabolic androgenic steroids in connection with receiving medical care. A controlled retrospective cohort study. *Drug and Alcohol Dependence* ;**81**: 215-220( 2006).

11. Simon D, Charles MA, Nahoul K, Orssaud G, Kremski J, Hully V, Joubert E, Papoz L, Eschwege E. Association between plasma total testosterone and cardiovascular risk factors in healthy adult men: The Telecom Study. *J Clin Endocrinol Metab*;82:682-685( 1997)
12. Adamopoulos S, Parisis J, Kroupis C, Georgiadis M, Karatzas D, Karavolias G, Koniavitou K, Coats AJ, Kremastinos DT: Physical training reduces peripheral markers of inflammation in patients with chronic heart failure. *Eur Heart J*, 22:791-797( 2001).
13. Pugh PJ, Jones TH, Channer KS: Acute haemodynamic effects of testosterone in men with chronic heart failure. *Eur Heart J*, 24:909-915( 2003).
14. HDL, direction for use *in vitro* test – biointernational (2002).
15. Testo-CT2, direction for use *in vitro* test – biointernational 2002.
16. AlexK., Rhona J., Kent j. Clinical chemistry interpretation techniques, fourth edition ,40-42, (2000).
17. Tappler B, Katz M: Pituitary-gonadal dysfunction in low-output cardiac failure. *Clin Endocrinol (Oxf)* 10:219-226( 1979).
18. Pugh PJ, Jones TH, Channer KS: Acute haemodynamic effects of testosterone in men with chronic heart failure. *Eur Heart J*, 24:909-915( 2003)
19. Faris J., Rodringue R., Torres J. Effects of acute alcohol intoxicant on pituitary – gonadal axis hormones pituitary –adrenal axis hormones , beta endorphin and prolactin in human adolescents of both sexes life. *J. Sci*, 67, 1081( 2000).
20. Barrett- Connor E., Khaw K., cigarette smoking and increase endogenous estrogen level in men, *Am J. Epidemiol*, 126, 187( 1987).
21. Malkin CJ, Pugh PJ, Morris PD, Kerry KE, Jones RD, Jones TH, Channer KS: Testosterone replacement in hypogonadal men with angina improves ischemic threshold and quality of life. *Heart*, 90:871-876( 2004).
22. Soe, K.L., Soe, M. and Gluud, C. Liver pathology associated with the use of anabolic-androgenic steroids. *Liver*, 12, 73-79( 1992)
23. Tikkanen, H.O., Harkonen, M. and Naveri, H. Relationship of skeletal muscle fiber type to serum high density lipoprotein cholesterol and apolipoprotein A-I levels. *Atherosclerosis*, 90, 48- 57 ( 1991).
24. LaRoche, G.P. Steroid anabolic drugs and arterial complications in an athlete – a case history. *Angiology* 41, 964-969( 1990).

25. Pope, H.G., Kouri, E.M. and Hudson, J.I Effects of supraphysiologic doses of testosterone on mood and aggression in normal men. *Archives of General Psychiatry*, **57**, 133-140( 2000).
26. Beiner, J.M., Jokl, P., Cholewicki, J. and Panjabi, M.M. The effect of anabolic steroids and corticosteroids on healing of muscle contusion injury. *American Journal of Sports Medicine*, **27**, 2-9 (1999).
27. Dhar, R., Stout, C.W., Link, M.S., Homoud, M.K., Weinstock, J. and Estes, N.A. III. Cardiovascular toxicities of performance enhancing substances in sports. *Mayo Clinic Proceedings*, **80**, 1308-1315( 2005).

## Prevalence of Typhoid Fever in Abu-Ghraib City (Baghdad)

Abass Atya

Institute of Medical Technology/Baghdad

Received 27/9/2009 – Accepted 10/5/2010

### الخلاصة

اجريت هذه الدراسة لبيان نسبة الاصابة بحمى التايفوئيد للمرضى المراجعين لمستشفى ابي غريب والمخبرات الخاصة في مدينة ابي غريب للفترة من نيسان لغاية ايلول 2007 ، حيث بلغ عدد المرضى الذين تم فحصهم (250) مريضاً ، تم اختيارهم بشكل عشوائي ، لقد اوضحت الدراسة بأن (10%) هي اعلى نسبة من الاصابات بحمى التايفوئيد (55) ، وان المجموعة العمرية (21-30) لها اعلى عدد من الاصابات (26) وبنسبة (47.2%) ، بينما كانت اقل نسبة من الاصابات في المجموعة العمرية (1-10) ، (41-50) وبنسبة (54%) على التوالي ، ان نسبة انتشار حمى التايفوئيد في الاناث كانت (38) حالة (18.9%) بينما كانت في الذكور (17) حالة (34%) ، كما اوضحت النتائج بان هنالك مدى مختلف لتلذذن الاجسام المضادة تراوح بين  $\geq 1/160$  الى  $\geq 1/320$  في الذكور والاناث لذا توصي الدراسة بأهمية التشخيص والعلاج المبكر والمناسب للحالات المرضية وتوفير الوسائل الوقائية لعموم الناس.

### ABSTRACT

The study was done to evaluate the incidence of typhoid fever attending Abu-Ghraib hospital and private laboratory in Baghdad city during the period from April to August 2007, there were (250) patients. The study was found that there highly incidence of typhoid fever (55) (10%) and age group (21-30) having high number of infected patients (26) (47.2%) , while the lowest incidence were in age group (1-10) & (41-50) (54%) respectively. The incidence of typhoid fever in female patients found (38) cases (18.9%) while in males (17) cases (34%). Also the results showed that there were different titration ranges between  $\geq 1/160$  to  $\geq 1/320$  in male & female of patients. The study recommended that early diagnosis of typhoid fever is very important to have suitable, right treatments and or healthy managements must be available to all peoples.

### INTRODUCTION

Typhoid fever is an acute generalized infection of the reticuloendothelial system. It is caused by *Salmonella typhi* (*Salmonella enterica* subspecies *enterica* serotype *typhi*)(1). According to the world organization. (16) million peoples get typhoid every year around the world and about (600.000) die from the disease (2).

The infection is spread from person to person by the fecal-oral route, that means that people get typhoid fever from food or water contaminated with the feces of infected people(3). Chronic carriers people can spread *S. typhi* to other people especially when handling food or using a contaminated toilet and neglecting hand hygiene (4).

The first manifestations of typhoid fever are fever, headache , abdominal pain, relative bradycardia, spleenomegaly and leucopenia (5).

The diagnosis of this infection on clinical ground is difficult, as the presenting symptoms are diverse and similar to those observed with other common febrile illness (6).

The availability of microbiological culturing facilities is often limited in regions in which typhoid is endemic and blood culture can be negative when patients have received prior antibiotic therapy (7).

The widal test, which detects agglutinating antibodies to lipopolysaccharide (Lps) (TO test) and (TH test) is widely used for the serological diagnosis of typhoid fever (8).

Typhoid fever is the major cause of community acquired septicemia in Asia and many areas in the developing world (9).

Typhoid fever persists for three weeks to a month. Death occurs in about 10% to 30% of untreated cases. Antibiotics, such as ampicillin, chloramphenicol, trimethoprim-sulfamthoxazole, amoxicillin and ciprofloxacin, have been commonly used to treat typhoid fever in developed countries. Prompt treatment of the disease with antibiotic reduce the case-fatality rate to approximately 1% (10).

Typhoid fever has been vertically eliminated in the most areas of the industrial world with the advent of proper sanitary facilities. Most cases in developed countries are imported from endemic countries 2-5% of untreated patients will become permanent (11).

### Aim of Study

Is to evaluate the incidence of typhoid fever in Abu-Ghraib city from Baghdad provenance during the period from April to August 2007.

### MATERIALS AND METHODS

250 out patients were checked by specialist medical physician, whom admitted to Abu-Ghraib hospital or private clinics during the period from April to August 2007.

These patients of male or female were divided to seven age groups (1-10), (11-20), (21-30), (31-40), (41-50), (51-60), (61-70).

Five milliliter of venous blood were collected from those suspected (250) patients. Serum samples were tested according to an acute – phase single-tube widal test method by parry. C. M. et al (12) .

The positive cases were given  $\geq 1/160$  titers which depend in the results of the study.

All data were analyzed according to excel tools (13).

### RESULTS AND DISCUSSION

In this study , (250) cases were randomly selected for the study from febrile patients suspected having typhoid fever in Abu-Ghraib hospital & private laboratory.

Results were showed that there were highly incidence of typhoid fever (55) cases out of (250) investigated patients with percentage of (10%). Age group (21-30) having high number (26) (47.2%) , while the lowest incidence were in (1-10) and (41-50) age groups (3) (5.4%), and

the range of infection distributed between these two means. These results were indicated that adult had good susceptibility to infect with typhoid fever because of the consumption of raw vegetables food and water contaminated with sewage outside the house(14).

Also these results were agreed with the finding(15), who found that people were infected with typhoid fever through food, beverages and contaminated by a chronic carriers .

In the recent study , serum antibody responses to the (LPS) and flagellum antigens of serotype typhi were investigated with individuals from Baghdad , that there were many cases of typhoid found, currently the detection of raised titers of agglutination serum antibodies against the lipopolysaccharide (LPS) (O) or flagellum (H) antigens of serotype typhi (the widal test) (16).

The results showed that there were different antibody responses of patients to both antigens to sex distribution that shown in table (1) or according to sex distribution that shown in table (2).

Results of distribution of sex showed that out of (49) cases of male , there were (17) cases (34%) infected with typhoid fever , while (38) cases (8-9%) in female patients. These results agreed with the finding(17) ,who reported that young adults & males were predominately affected with typhoid fever also males exposure to sources of contamination of food & water.

Table (3) was showed that the common titer which more frequent 1/160 to 1/320 with different range in all diagnosed patients, also all cases of titer  $\geq 1/160$  were depended as positive cases (18).

The results of this study agree with the finding(19) ,who reported that the titer of  $\geq 1/160$ ,  $\geq 1/320$  respectively were considered diagnostic for typhoid fever.

The study recommended that early diagnosis of typhoid fever is very important to have suitable and right treatment and or healthy managements must be available to all peoples.

Table -1: the distribution of patients according to age with widal test

Age Years	Widal test	
	No. pts	Positive (+ve)
1-10	7	3
11-20	40	10
21-30	84	26
31-40	55	9
41-50	30	3
51-60	15	4
61-70	19	0
Total	250	55

Table -2: the distribution of widal test according to the age and sex of patients.

Age	Widal test				Total of positive
	Male		Female		
Years	No. of pts.	No. (+ve)	No. of pts.	No. (+ve)	
1-10	4	1	3	2	3
11-20	4	2	36	8	10
21-30	14	6	70	20	26
31-40	9	5	46	4	9
41-50	4	0	26	3	3
51-60	10	3	5	1	4
61-70	9	0	10	0	0
Total	49	17	201	38	55

Table -3: the titer distribution of positive cases among female &amp; male patients

Age Years	No. of positive female	Range of titration	No. of positive male	Range of titration
1-10	2	1/160 – 1/320	1	1/160
11-20	8	1/160-1/320	2	1/160
21-30	20	1/160-1/320	6	1/160-1/320
31-40	4	1/160-1/320	5	1/160-1/320
41-50	3	1/320	/	/
51-60	1	1/320	3	1/160-1/320
61-70	/	/	/	/
Total	38		17	

## REFERENCES

- 1- Brenner FW.; Villar RG.; Angulo FJ. ; Tanxe R. And Sugination B. *Salmonella Nomenclature.* J. Clin. Microbiol. (33): 2465-2467.(2002).
- 2- World Health Organization. Background Document: The Diagnosis, Treatment and Prevention of Typhoid fever. (WHO/V&B/03-07).World Health Organization Geneva, Switzerland (2003). <http://www.who.int/vaccinesdocuments/docspdffo3/www740.pdf>.
- 3- Lin FY VOA ; Phan VB ; Nguyen TT ; Dryla D and Tran , CR. The Epidemiology of Typhoid fever in the Dong Thap province, Mekong Delta Region of Vietnam. Am. J. Trop. Med. Hyg. (62):644-648. (2000).
- 4- Begier Em ; Burwen DR ; Haber P. and Ball R. For the vaccine adverse event reporting system working group. Postmarketing safety surveillance for typhoid fever vaccines from the vaccine adverse event reporting system. July 1990 through June 2002. clinic. Infec. Dis. (38) : 771-779. (2004).

- 5- Ayse Wilke ; Onder Ergonul and Bam BayarWidal test in diagnosis of typhoid fever in Turkey. Clin. & Diag. Lab. Immo. July. vol.9 : (4) : 938-941. (2002).
- 6- House , D. J. ; Wain ; V. A-Ho ; Diep T.S. ; Chinh N.T. ; Bay P.V.; Vinh H. ; Duc M.; Parry C.M. ; Dougan G. ; white N.J.; Hien T.T. and Farrar J.J. Serology of typhoid fever in an area of Endemicity and its relevance to diagnosis. J. Clin. Microbiol (39) : 1002-1007. (2001).
- 7- Kariuki , S. ; Revathi , G. ; Muyodi , J. ; Mwitura , J. ; Munyalo, A. Mirza S. and Hart C.A. Characterization of Multidrug-resistant Typhoid in Kenya. J. Clin. Microbiol. (42): 1477-1482. (2004).
- 8- Nair A. ; Luby , S. and Breiman , R.F. Bacteraemic typhoid fever in children in an urban slum. Bangladesh. Emerging infectious Diseases , 11 (2) : 326-329. (2005).
- 9- Crump, JA and Mintz, LS , Editors. The global burden of typhoid fever. Bull world health organ. (82): 346-353. (2004).
- 10- Hirose , K. ; Tamura , K. ; Sagara , H. and watnbe , H. Antibiotic susceptibility of *Salmonella enterica* serovar typhi and *S. enterica* serovar paratyphi A isolated from patients in Japan. Antimicrobial agents and chemotherapy 45 (3) : 956-958. (2001).
- 11- World Health Organization. Environmental health country profile Philippines World Health Organization. Geneva , Switzerland (2005).
- 12- Parry C. M. ; Hoa , N.T ; Diep , T.S. ; Wain , J. ; Chinh , N.T. ; Vinh , H. ; Hien , T. ; white, NJ. and farrar , J. Value of a single-tube widal test in diagnosis if typhoid fever in Vietnam. J. Clin. Microbiol. (37) : 2882-2886. (1999).
- 13- Woolso, R. F. and Clark , W.R. Statistical Methods for the Analysis of Biomedical Data. Wiley-interscience. pp: 608. (2002).
- 14- Hosoglu, S. ; Celen , M.K. ; Geyik, M.F. ; Akalin , S.; Ayaz , C. ; Acemoglu , H. and Mark , Loeb. Risk factors for typhoid fever among adult patients in diyarbakir, Turkey. Epidem. Infect. 134:(3):612-616. (2006).
- 15- Brusch, J.L. ; Garvey , T. ; Corales , R. and Schmitt. S. K. Modern treatment of typhoid fever. j. infect. Jan. (2000).
- 16- Olopoenia , LA., and King, LA. Widal Agglutination test. 100 years later : Still plagued by controversy. Post graduate medical journal Feb., (76) : 80-84. (2000).
- 17- Ngwu , B.A. and Agbo , J.A. Typhoid fever : clinical diagnosis versus laboratory confirmation Nigerian med. : J. national association of resident doctors of Nigeria, 12 (4) : 187-192. (2003).
- 18- Mohammed , S. Al-Thehabat ; Eman , M.S. Al-Samari and Baker, K.A. Clinical and Laboratory Study of the patients with Typhoid

- and Brucellosis. Technical research journal accepted in 1999. (1999).
- 19- Frimpong , E.H. ; Esile-Ahum , M.; Addy , P.A. and Felgo, E.H. Determination of Diagnostic Widal Titter in Kumasi, Ghana. West African. J. of Medicine. 19 (1) : 34-38 (2000).

## Study the Effect of Some Ascorbic Acid Derivatives on ALP and ACP Activities in Sera of Healthy Subjects

Firas S. Abdul-Razzak<sup>1</sup> and Alaa H. Jawad<sup>2</sup>

<sup>1</sup>Chemistry Department, College of Education, Tikrit University <sup>2</sup>Chemistry Department, College of Science, Al-Nahrain University

Received 11/10/2009 – Accepted 10/5/2010

### الخلاصة

تم دراسة تأثير المركبين 2-O-[(2'-acetoxy)benzoyl]-3-O-[2'-(4''-isobutyl phenyl)propionyl]-5,6-O-isopropylidene-L-ascorbic acid(1) و 2-O-salicyloyl-3-O-palmitoyl-5,6-O-isopropylidene-L-ascorbic acid(2) على إنزيمي الفوسفاتيز الحامضي والقادعي في مصل دم الأصحاء باستخدام تراكيز مختلفة من المشتقين (I) و (II) أظهرتا تأثيرات تشبيطية مختلفة على إنزيمي الفوسفاتيز الحامضي والقادعي والنسبة المئوية للتثبيط تناسب طردياً مع الترکيز للمثبط.

### ABSTRACT

The effect of 2-O-[(2'-acetoxy)benzoyl]-3-O-[2'-(4''-isobutyl phenyl)propionyl]-5,6-O-isopropylidene-L-ascorbic acid (I) and 2-O-salicyloyl-3-O-palmitoyl-5,6-O-isopropylidene-L-ascorbic acid(II) on normal serum alkaline and acid phosphatase(ALP and ACP) has been obtained by using different concentrations for the derivatives above. Derivative (I) and (II) showed different inhibitory effect on normal sALP and sACP, and the inhibition % were directly proportional with the concentrations of inhibitor.

### INTRODUCTION

L-Ascorbic acid was first isolated in 1928 by the Hungarian scientist and Nobel prize winner Szent-Gyorgyi (1). The search for the active ingredients in fruits and vegetables which cured scurvy, lead to the isolation and identification of ascorbic acid from plants in 1932(2,3).

Larsen (1997) reported that Linus Pauling, a Nobel Prize winner in 1970 advocated the use of megadoses (1-3g/day) of ascorbic acid for the prevention of common cold and related infections (3).

The effect of vitamin C changing the activity of some enzyme, it's increase paraoxonase, arylesterase, creatine kinase, lactate dehydrogenase and alkaline phosphatase, and decrease cholesterol, triglyceride, high density lipoprotein(HDL) and glucose concentration (4).

Acetyl Salicylic acid is the chemical name for a member of the salicylate drugs commonly known as Aspirin. It is produced by the substitution of the phenolic group of salicylic acid with acetic anhydride (5). Acetyl salicylic acid is the prototype for the non steroidal anti-inflammatory drugs (NSAIDs) which inhibits the production of thromboxan. Ibuprofen and related drugs are other member of NSAIDs (6).

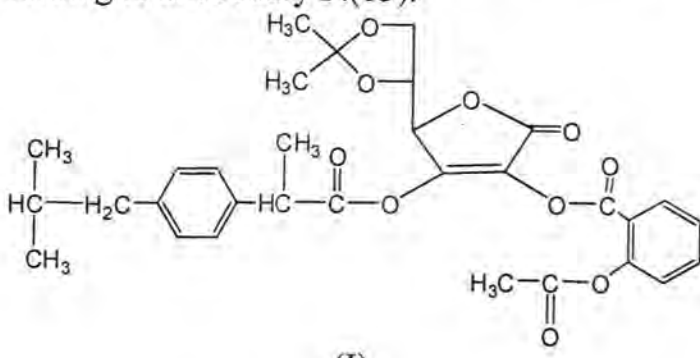
(NSAIDs) are drugs that produce analgesia by peripheral effect (7,8). They reduce the activity of cyclo-oxygenase thus inhibiting the synthesis and release of prostaglandins and leukotriens which are prime mediators of inflammation (9,10).

These drugs are commonly used for the treatment of rheumatoid and chronic musculoskeletal pain (8). However acetyl salicylic acid and ibuprofen have been found effective in the relief of postoperative pain in man and dogs (11).

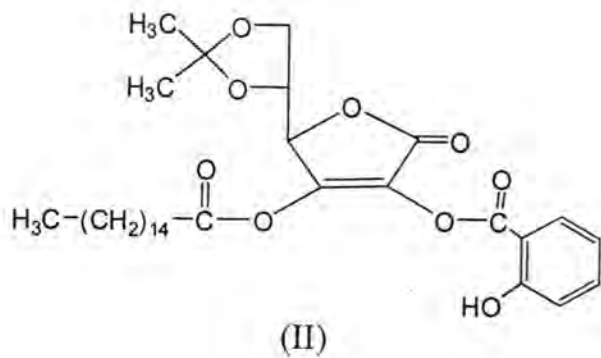
Phosphate enzymes are metalloenzymes that are widely distributed in nature, from bacteria to plants to humans and are characterized by their ability to catalyze the hydrolysis of phosphoric acid esters. The phosphatase family is a large one, and phosphatase enzymes can be divided up into four groups, depending on their preferred substrate. The particular phosphatase enzyme considered in this case, alkaline phosphatase (ALP) and acid phosphatase (ACP) (12). The aim of this work is to evaluate the effects of some synthesized derivatives of ascorbic acid on the activity of normal serum (ALP and ACP).

## MATERIALS AND METHODS

2-O-[(2'-acetoxy)benzoyl]-3-O-[2'-(4''-isobutyl phenyl)propionyl]-5,6-O-isopropylidene-L-ascorbic acid(I) and 2-O-salicyloyl-3-O-palmitoyl-5,6-O-isopropylidene-L-ascorbic acid(II) were prepared according to al-Joboury F.(13).



(I)



(II)

Kit for alkaline phosphatase(ALP)(Kinetic method) was supplied from **BioMerieux** (France), and Kit for acid phosphatase(ACP)(Kinetic method) was supplied from **Biolabo** (France).

Determination of ALP and ACP activity was performed by the assay procedure according to **BioMerieux** and **Biolabo diagnostic, Inc** Kit.

#### **Preparation of 2-O-[(2'-acetoxy)benzoyl]-3-O-[2'-(4''-isobutyl phenyl)propionyl]-5,6-O-isopropylidene-L-ascorbic acid (I) stock solution**

The amount of 2-O-[(2'-acetoxy)benzoyl]-3-O-[2'-(4''-isobutyl phenyl)propionyl]-5,6-O-isopropylidene-L-ascorbic acid (I) used for preparation of stock solution ( $10^{-2}$ M) in (10 mL) are prepared by weighting (0.0566 mg) and dissolved in DMSO. Stock solution (1 mL) was diluted in (10 mL) to give ( $10^{-3}$ M), preparation of ( $10^{-4}$ ), ( $10^{-5}$ ), and ( $10^{-6}$ ) from ( $10^{-3}$ ) ( $10^{-4}$ ) and ( $10^{-5}$ ) obtained by the same way of dilution.

The influence of each dilution of the compound (I) was tested on ALP and ACP activity.

#### **Preparation of 2-O-salicyloyl-3-O-palmitoyl-5,6-O-isopropylidene-L-ascorbic acid (II) stock solution**

The stock solution of (II) was prepared by weighting (0.0575 mg) and dissolved in (DMSO). Stock solution (1 ml) was diluted in (10 ml) to give ( $10^{-3}$ ), preparation of ( $10^{-4}$ ), ( $10^{-5}$ ), and ( $10^{-6}$ ) from ( $10^{-3}$ ) ( $10^{-4}$ ) and ( $10^{-5}$ ) obtained by the same way of dilution.

The influence of each dilution of the compound (II) was tested on ALP and ACP activity.

## **RESULTS AND DISCUSSION**

As for ALP which is a non specific phosphomono ester hydrolase that catalyzed the hydrolysis of a wide variety of organic monophosphate. The wide spread occurrence of ALP in nature suggest it's involvement in fundamental biochemical processes, however, there is no positive evidence regarding it's physiological function or the nature of the natural substrate. Hydrolysis of phosphoester ,phosphate transfer activity, protein phosphatase activity, phosphate transport, modulation of organic cation transport, and involvement in cell proliferation has been suggested as possible function of ALP(14),(15) .

The effect of derivative (I) and (II) on ALP activity showed different percentage inhibition calculated according to the following equation:-

$$\text{Inhibition percentage (\%)} = 100 - \left[ \frac{\text{Activity with inhibitor}}{\text{Activity without inhibitor}} \right] \times 100$$

Table(1) showed the effect of different concentrations of derivative (I) on normal sALP activity.

Table -1: Enzyme activity, inhibition percentage at deferent concentration of derivative (I) on normal sALP

Inhibitor concentration(M)	Enzyme activity (U/L)	Inhibition%
$10^{-2}$	26.119	58.089
$10^{-3}$	33.945	45.532
$10^{-4}$	42.319	32.096
$10^{-5}$	51.689	17.060
$10^{-6}$	52.867	15.171
Normal serum without inhibitor	62.322	

Table (2) showed the effect of derivative (II) with different concentrations on normal sALP activity.

Table -2: Enzyme activity, inhibition percentage at deferent concentration of derivative (II) on normal sALP

Inhibitor concentration(M)	Enzyme activity (U/L)	Inhibition%
$10^{-2}$	9.616	63.465
$10^{-3}$	32.638	47.629
$10^{-4}$	39.323	36.902
$10^{-5}$	50.965	18.223
$10^{-6}$	51.823	16.845
Normal serum without inhibitor	62.322	

The derivative (I) and (II) shows inhibitory effect on normal sALP activity at the concentration range ( $10^{-6}$ - $10^{-2}$  M). The inhibitory effect of derivative (I) and (II) were directly proportional with the concentration of inhibitor.

The effect of derivative (I) and (II) on normal sACP activity showed different percentage inhibition depend on the concentration of inhibitor.

Table (3) showed the effect of derivative (I) with different concentrations on normal sACP activity.

Table -3: Enzyme activity, inhibition percentage at deferent concentration of derivative (I) on normal sACP

Inhibitor concentration(M)	Enzyme activity (IU/L)	Inhibition%
$10^{-2}$	0.115	78.886
$10^{-3}$	0.163	70.128
$10^{-4}$	0.216	60.420
$10^{-5}$	0.349	35.988
$10^{-6}$	0.394	27.710
Normal serum without inhibitor	0.546	

Table (4) showed the effect of derivative (II) with different concentrations on normal sACP activity.

Table -4: Enzyme activity, inhibition percentage at deferent concentration of derivative (II) on normal sACP

Inhibitor concentration(M)	Enzyme activity (IU/L)	Inhibition%
$10^{-2}$	0.051	90.643
$10^{-3}$	0.103	81.071
$10^{-4}$	0.175	67.766
$10^{-5}$	0.417	23.616
$10^{-6}$	0.435	20.186
Normal serum without inhibitor	0.546	

The inhibitory effect of derivative (I) and (II) on normal sACP at the concentration range ( $10^{-6}$ - $10^{-2}$  M) was directly proportional with concentration of inhibitor.

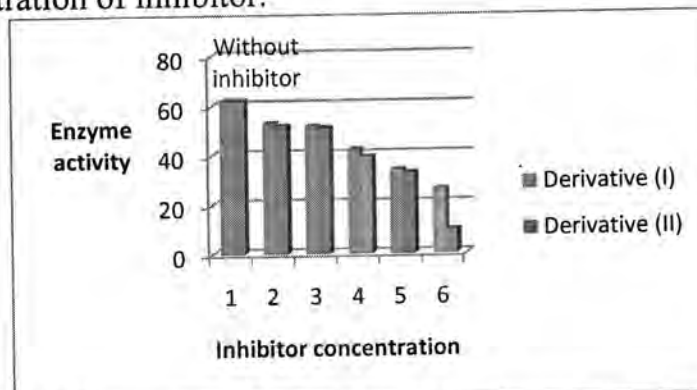


Fig-1: The inhibitory effects between derivative (I) and (II) on normal sALP; 1= without inhibitor, 2= $10^{-2}$  M, 3= $10^{-3}$  M, 4= $10^{-4}$  M, 5= $10^{-5}$  M, 6= $10^{-6}$  M

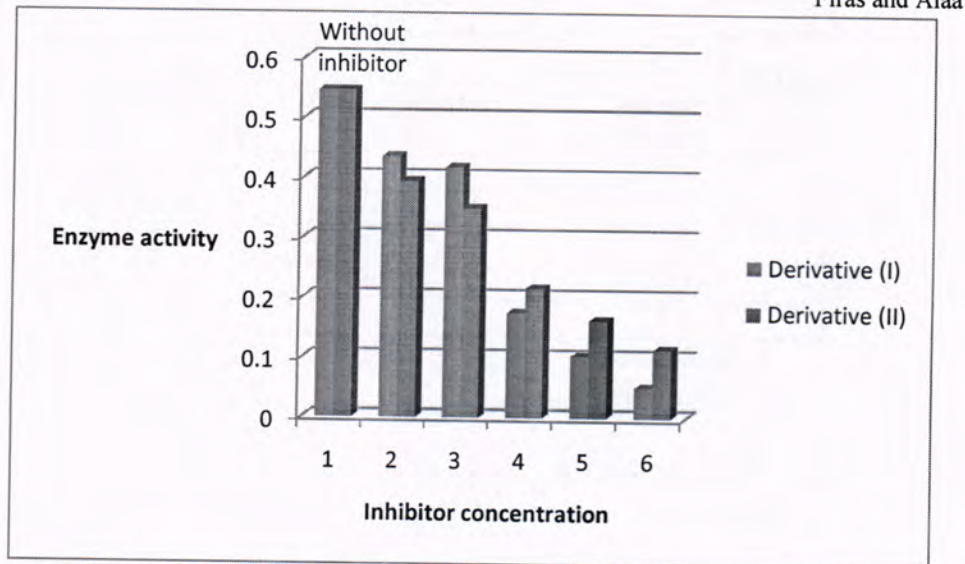


Fig -2: The inhibitory effects between derivative (I) and (II) on normal sACP; 1= without inhibitor, 2= $10^{-2}$  M, 3= $10^{-3}$  M, 4= $10^{-4}$  M, 5= $10^{-5}$  M, 6= $10^{-6}$  M

Scheme (1) and (2) shows the difference of the activity between derivative (I) and (II) on normal sALP and sACP respectively, while the scheme (3) and (4) shows the difference inhibitory effects (inhibition%) between derivative (I) and (II) on normal sALP and sACP respectively.

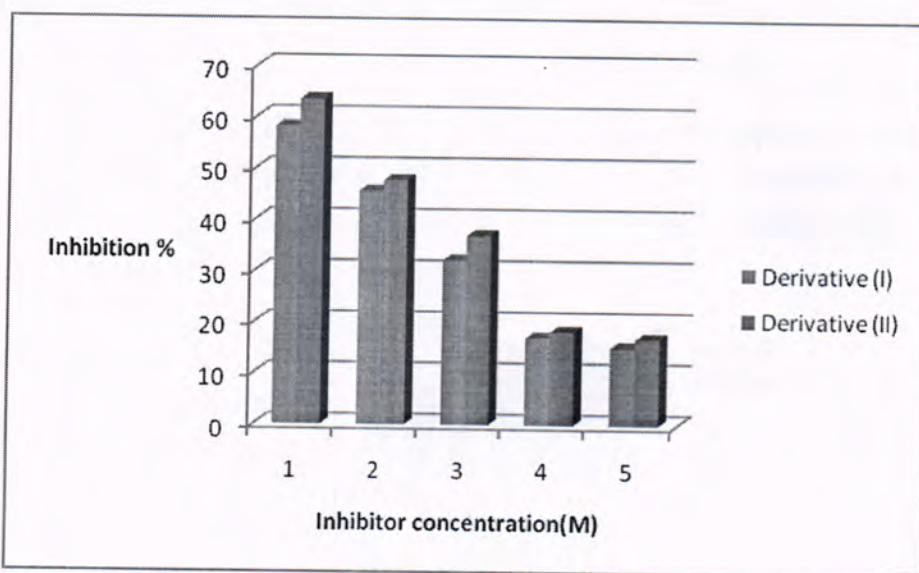


Fig- -3: The inhibitory effects between derivative (I) and (II) on normal sALP; 1= $10^{-2}$  M, 2= $10^{-3}$  M, 3= $10^{-4}$  M, 4= $10^{-5}$  M, 5= $10^{-6}$  M

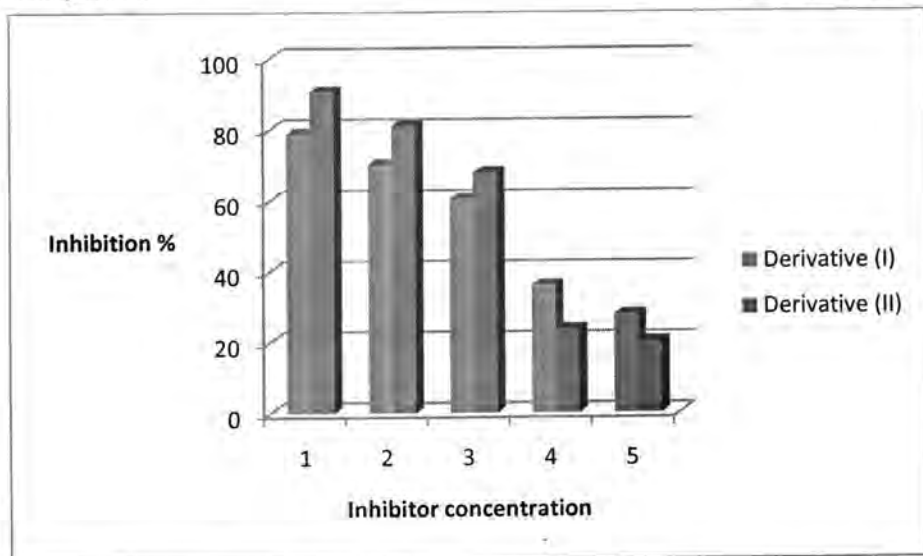


Fig -4: The inhibitory effects between derivative (I) and (II) on normal sACP; 1= $10^{-2}$  M, 2= $10^{-3}$  M, 3= $10^{-4}$  M, 4= $10^{-5}$  M, 5= $10^{-6}$  M

The inhibitory effect of derivative (II) on sALP more than of derivative (I) at all concentrations, while the inhibitory effect of derivative (II) on normal sACP at concentrations ( $10^{-2}$ - $10^{-4}$  M) more than of derivative (I), and at the concentrations ( $10^{-5}$ - $10^{-6}$  M) the inhibitory effect of derivative (I) were more than of derivative (II). Since the ascorbic acid derivatives which were synthesized in the present study are novel and has not been studied as modulators for serum ALP and ACP activities , therefor no data were found in the literature concering the inhibitory effect of the comound under investigation. In gene the inhibitory effect of such compounds, could be due to modulating the binding affinity of the enzyme to substrate either by changing the stereostructure of the active site or by competition with the substrate binding to form the enzyme substrate complex.

The derivative 2-*O*-[(2'-acetoxy)benzoyl]-3-*O*-[2'-(4''-isobutyl phenyl)propionyl]-5,6-*O*-isopropylidene-L-ascorbic acid (I) and 2-*O*-salicyloyl-3-*O*-palmitoyl-5,6-*O*-isopropylidene-L-ascorbic acid (II) showed inhibitory effect on normal sALP and sACP.

The (inhibition %) of deferent concentrations for the synthesized derivatives were found to be proportional with the concentration.

The inhibitory effect of derivative (II) on sALP more than of derivative (I) at all concentrations.

The inhibitory effect of derivative (II) on sACP more than of derivative (I) at the high concentrations while the inhibitory effect of derivative (I) more than of derivative (II) at the low concentrations.

## REFERENCES

1. Oluwafemi O., African J. of Biotechnology, 7(25)PP.4700-4705(2008).
2. Burns DJ., Rivers JM. and Mach D., Am., New York Acad. Sci., 258PP.498-502 (1987).
3. Larsen HR., Int.J.Alt. Compl . Med.,15(8) PP.22-24(1997).
4. Ferit M., Muhittin O., Funda G. and Kazim S., Nutrition Research, 24157-164(2004).
5. Roger HJ., spectre RG. and Trounce JR., "Salicylates in a textbook of clinical pharmacology", , Acad. press., New York, PP.281-286(1981).
6. Olajide J., Akanji M., Omale J. and Mohammad N., African J. of Biochem. Res., 3(4) PP.120-124(2009).
7. Rita IJ., violet CH. Sunday OS. and Gregory EM., veterinarski Arhiv, 78(6) PP.467-476(2008).
8. Aitkenhead A., Smith G., "Textbook of Anaesthesia", , 3<sup>rd</sup> ed., Churchill Livingston. Edinburgh, PP.159-177(1996).
9. Grisneaux E., pibarot p., Dupuis J. and Blais D., J. Am. Vet. Med. Assoc., 215PP.1105-1110(1999).
10. Ramprabhu R., prathaban S., Nambi A., Nagaraja B. and Dharapalan P., vet. Arhiv.,71PP.47-51(2001).
11. Schou S., Nielsen H., Natlestad A., Hillerup S., Ritzau M., Branebjerg P., Bugge C. and Skoglund L., J. clin. Pharmacol.,38PP.447-454(1998).
12. Dean R., Biochem. And Molec. Biol. Educ.,30(6) PP.401-407(2002).
13. Al-Joboury F., "Synthesis and Modification of Salicyloyl, Acetyl Salicyloyl and 2-(4-isobutyl phenyl) propionyl Derivative of L-Ascorbic acid as a possible prodrug", Msc., Univ. of Baghdad, Iraq(2002).
14. Sarrouilhe D., Lalegerie P. and Baudry M., Biochem. Biophys., 118PP.116-122(1992).
15. Muda M., Rao N. and Torriani A., J. Bacteriol.,184PP.8057-8064(1992).

## Synthesis, Spectroscopic and Biological Studies of Some Metal Complexes with 1,2 bis-(orthoaminophenylthio) ethane

Shaymaa H. Naji<sup>1</sup> and Faleh H. Musa<sup>2</sup>

Chemistry Dep. College of Education –Ibn – Al – Haitham –University of Baghdad – Iraq

Received 12/10/2008– Accepted 22/3/2010

### الخلاصة

حضر اللكاند (L) 1 ، 2 ثانوي – ( اورثو امينو فنيل ثايو ) ايثان من تفاعل اورثو امينو فنيل ثايو مع 1 ثانوي كلورو ايثان وبنسبة 2:1 وشخص بواسطة التقنيات تحليل العناصر (N, H, C), الأشعة تحت الحمراء وفوق البنفسجية والمرئية كما حضرت وشخصت معدنات أملاح بعض ايونات العناصر الثلاثية التكافؤ (Rh, Cr) والثانية التكافؤ (Pb, Hg, Cd, Zn, Cu, Ni, Co) مستخدمين تقنيات طيف الأشعة تحت الحمراء، الأشعة فوق البنفسجية، المرئية ، التوصيلية الكهربائية ، الامتصاصية الذرية والخواص المغناطيسية واستنتج من التحاليل ان المعدنات لها شكل ثمانى السطوح حول ايون الفلز مع اللاجن (L) ثانوي السن (N, N) مع  $Rh^{+3}$ ,  $Cr^{+3}$  و رباعي السن (N, N, S, S) مع الايونات المتبقية. وقد تم حساب قيم  $C_{max}$ ,  $k_f$ ,  $\alpha$  لمعدن الكوبالت. كما تم دراسة الفعالية البالولجية للليكاند ومعدناته وقد أظهرت النتائج امتلاكها فعالية متفاوتة اتجاه E. coli , Pseudomonas aeruginosa , Staphylococcus aureus , Streptococcus pyogenes Candida albicans , .

### ABSTRACT

The Synthesis of 1, 2 – bis (ortho amino phenyl thio) ethane Ligand (L) from the reaction of ortho amino phenyl thiol with 1, 2 dichloro ethane using ratio 2:1. The ligand was characterized by elemental analysis(C, H, N), IR, UV – Vis. The complexes with trivalent (Cr, Rh) and bivalent (Co, Ni, Cu, Zn, Pd, Cd, Hg and Pb) have been prepared and characterized too. The structural diagnosis was established using IR, UV-Visible spectrophotometer, molar conductivity, atomic absorption and magnetic susceptibility. The complexes of bivalent metal ion showed octahedral geometry around the metal ion with the (N, N, S, S) ligand and (N, N) ligand coordinated in bidentate mode with the trivalent (Cr, Rh).  $\alpha$ ,  $k_f$  for the complexes were estimated too.  $\beta$  for Co – complex was calculated. The study of biological activity of the ligand (L) and its complexes showed various activity toward Streptococcus pyogenes, Staphylococcus aureus , E. coli , Pseudomonas aeruginosa and Candida albicans.

### INTRODUCTION

A range of metal ions particularly the heavy metal ions have toxic effects, these often results from environmental and industrial problems(1) . In such case it is necessary to design the most effective chelating agent to remove the metal ion . The toxic effect of certain metal have been exploited in the preparation of anticancer drugs , while several other disease condition are treated by metalo chemotherapy . Certain drugs are good ligands and it is difficult to escape from the possibility that they might function by binding to native metal ions(2).

As a part of our continuing research in this area we reported a synthesis of chelating agent S, N and their complexes . Many of these ligands and their complexes showed a pharmaceutical characters others

demonstrate biological activity such as antibacterial and anti humentery(3-9). According to above observation attempt to synthesis a new chelate ligand was done. In present work 1,2 – bis (ortho amino phenyl thio) ethane ( L ) and its complexes with ( Cr ,Co , Ni , Cu , Zn ,Rh , Pd, Cd, Hg and Pb) are synthesized and their physical properties , biological activity were invisigated.

## MATERIALS AND METHODS

**a – Chemicals :** All reagents used were analar or chemically pure grade by British Drug Houses ( BDH ), Merk and Fluka.

- The chemical materials : ortho amino phenyl thiol ( C<sub>6</sub>H<sub>7</sub>NS ) , 1 , 2 dichloro ethane ( C<sub>2</sub>H<sub>4</sub>Cl<sub>2</sub> ) , Potassium hydroxide ( KOH ) , Cobalt chloride hexahydrate ( CoCl<sub>2</sub> . 6 H<sub>2</sub>O ) , Nickel chloride hexa hydrate ( NiCl<sub>2</sub> . 6 H<sub>2</sub>O ) Paladium chloride ( Pd Cl<sub>2</sub> ) , Cadmium chloride dihydrate ( Cd Cl<sub>2</sub> . 2 H<sub>2</sub>O ) , Mercury chloride ( Hg Cl<sub>2</sub> ) , Copper Sulphate pentahydrate ( Cu SO<sub>4</sub> . 5 H<sub>2</sub>O ) , Zinc sulphate heptahydrate ( Zn SO<sub>4</sub> . 7 H<sub>2</sub>O ) , Lead nitrate ( Pb ( NO<sub>3</sub> )<sub>2</sub> ) , Chromium trichloride hexahydrate ( Cr Cl<sub>3</sub> . 6 H<sub>2</sub>O ) and Rhodium trichloride hydrate ( Rh Cl<sub>3</sub> . H<sub>2</sub>O ) . Ethanol ( CH<sub>3</sub>CH<sub>2</sub>OH ) 99% Dimethyl formamide ( DMF ) 99.5% , Dimethyl sulphoxide ( DMSO ) 99.5% .Tetra chloro carbon 99.5% ( CCl<sub>4</sub> )

### **b – Instruments :**

- Elelmental analysis for the new ligand ( L ) C , H , N , were determined by calibration type : Linear Regression Euro EA Elemental Analysis .
- Melting points were determined by Gallen – Kamp apparatus .
- IR spectra were recorded as KBr discs in the range (4000 – 400)cm<sup>-1</sup> using Shimadzu – FTIR .
- UV –Visible spectra were recorded by Shimadzu –UV–VIS – 160A Ultra violet spectro photometer at 25 c°, using 1 cm quartz cell and examined at the range of ( 200 – 1100 ) nm at 10<sup>-3</sup> M in DMF .
- Atomic Absorption ( A . A ) technique using a shimadzu AA 680 G atomic absorption spectro photometer .
- Molar conductivity of the complexes were measured on pw 9526 digital conductivity in DMF at 10<sup>-3</sup> M.
- Magnetic susceptibility were recorded by Magnetic susceptibility Blance , model , MsB – MK1 .

### Practical Work

Synthesis of 1,2 – bis( ortho amino phenyl thio ) ethane ( L )  
 Orthoaminophenyl thiol ( 0.25 gm , 0.002 mmol ) in ethanol ( 20 cm<sup>3</sup> ) and potassium hydroxide ( 0.11gm , 0.002 mmol) in ethanol ( 5 cm<sup>3</sup> ) were mixed for 30 min . A solution 1, 2 – dichloro ethane ( 0.1 gm, 1 mmol ) in ethanol ( 10cm<sup>3</sup> ) was added to the mixture dropwise with stirring. The mixture was further stirred for 1 hr. at reflux poured to the ice – water forming yellow precipitate. The precipitate was filtered, crystallized from ethanol – water ( 6:1 ) forming yellow needle crystals ( m.p at 58 c° Yield 86% ) .

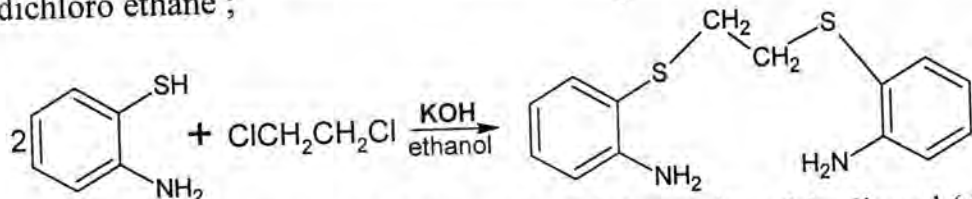
### Complexes

#### Synthesis of the metal complexes

An ethanolic solution of the following metal salts [ CrCl<sub>3</sub> .6 H<sub>2</sub>O ( 0.26 gm . 1.00 mmol ), CoCl<sub>2</sub> .6 H<sub>2</sub>O ( 0.24gm . 1.00 mmol ), NiCl<sub>2</sub> .6 H<sub>2</sub>O ( 0.24 gm.1.00 mmol ), Cu SO<sub>4</sub> . 5 H<sub>2</sub>O( 0.24 gm. 1.00 mmol ), ZnSO<sub>4</sub> . 7 H<sub>2</sub>O ( 0.28 gm . 1.00 mmol ) RhCl<sub>3</sub> . H<sub>2</sub>O( 0.20 gm .1.00 mmol ) , PdCl<sub>2</sub> (0.17gm .1.00 mmol ), CdCl<sub>2</sub> . 2 H<sub>2</sub>O(0.22 gm .1.00mmol) , HgCl<sub>2</sub>( 0.27 gm .1.00 mmol ) and Pb(NO<sub>3</sub>)<sub>2</sub> (0.33 gm .1.00 mmol)] were added to(0.27gm.1.00 mmol) of the ligand ( L ) . The mixture was stirred for 30 min . The product was filtered and washed with distilled water and dried under vacuum. color, melting point , yield, metal analysis and solubility of the ligand and its complexes are given in ( Table 1 ) .

#### Synthesis and characterization of the ligand 1 , 2 – bis ( orthoaminophenyl thio ) ethane ( L ) .

The ligand was obtained by the reaction of two mole of orthoaminophenyl thiol and slightly more than one mole of 1 , 2 – dichloro ethane ;

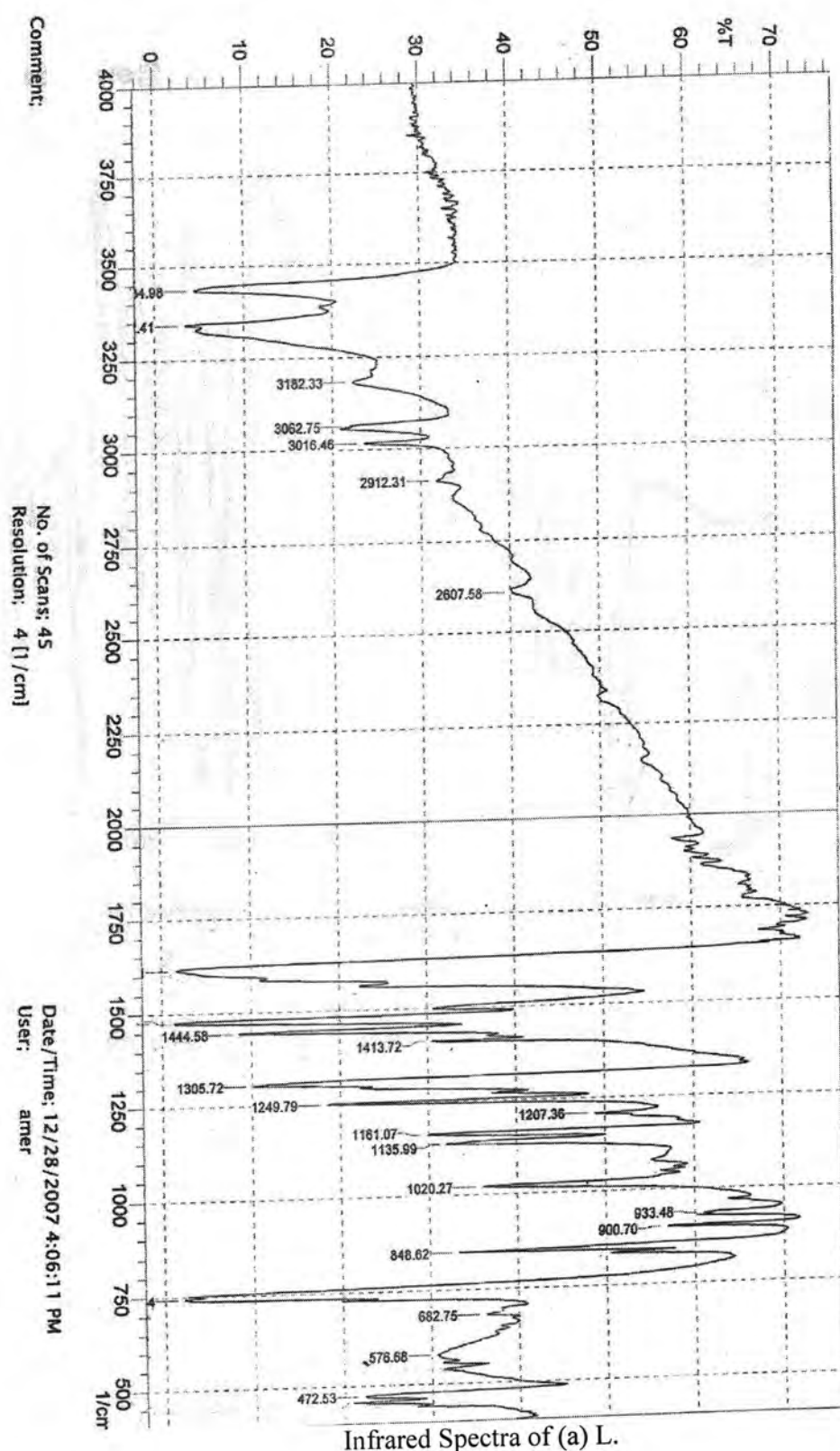


Elemental analysis ( C , H , N ) confirmed the purity of the ligand ( L ) with formula C<sub>14</sub>H<sub>16</sub>N<sub>2</sub>S<sub>2</sub>.

### RESULTS AND DISCUSSION

- Infrared spectrum of the ligand ( L ) in the solid state does not contain the  $\nu$  ( S – H ) which appears in the starting material orthoaminophenyl thiol at (2500 – 2600) cm<sup>-1</sup> region. This indicates the displacement of SH hydrogen orthoaminophenyl thiol by means

of  $- \text{CH}_2 - \text{CH}_2 -$  (5). Furthermore new bands were observed at  $2931 \text{ cm}^{-1}$  and  $2869 \text{ cm}^{-1}$  due to  $\nu_{\text{C}-\text{H}}$  aliphatic ( $\nu$  asym,  $\nu$  sym) (10). Bands in the  $3450 \text{ cm}^{-1}$ ,  $3350 \text{ cm}^{-1}$ ,  $1583 \text{ cm}^{-1}$  and  $1305 \text{ cm}^{-1}$  are diagnostic of the primary aromatic amine(11). Bands at  $1250 \text{ cm}^{-1}$ ,  $1020 \text{ cm}^{-1}$ ,  $660 \text{ cm}^{-1}$  are due to (  $\text{S} - \text{CH}_2$  ) (12). Infrared spectra have been used to determine whether coordination occurs through the aromatic  $- \text{NH}_2$  and (  $\text{S} - \text{CH}_2$  ) or only through aromatic  $- \text{NH}_2$  in( L ) – complexes . The infrared spectra of all complexes showed , the multi bands in the range (  $3450 - 3250$  )  $\text{cm}^{-1}$  and split or broader band at  $(1605 - 1583)$   $\text{cm}^{-1}$  and  $1305 \text{ cm}^{-1}$  with the formation of a new absorption bands for the coordination bands(  $\text{M} - \text{N}$  ) in the region (  $550 - 420$  )  $\text{cm}^{-1}$  . Suggesting the coordination through nitrogen atom(13,14). The free ligand ( L)exhibits one  $\text{S} - \text{CH}_2$  at  $1250 \text{ cm}^{-1}$ ,  $1020 \text{ cm}^{-1}$  and  $660 \text{ cm}^{-1}$  in the crystalline state, Where as all complexes ( except Cr , Rh ) exhibits change in shape and position of  $\text{S}-\text{CH}_2$  rocking with  $\text{M} - \text{S}$  stretching vibration has been observed at Table 2 (10-15). These observation can be related to coordinate  $\text{S}-\text{CH}_2$  to all metal ions used except(Cr,Rh)complexes (16). The bands characteristic of coordinated water and (  $\text{M} - \text{O}$  ) are seen in Cr and Rh complexes in (  $823 - 800$  )  $\text{cm}^{-1}$  and  $510 \text{ cm}^{-1}$ ,  $520 \text{ cm}^{-1}$  (17). The Cu, Zn complexes showed bands at  $1026 \text{ cm}^{-1}$ ,  $973 \text{ cm}^{-1}$  and  $689 \text{ cm}^{-1}$  are due to coordinate sulphato (18). The Pb complex spectrum exhibit band at  $698 \text{ cm}^{-1}$ ,  $925 \text{ cm}^{-1}$  due to coordinate nitrato ion(16-19) . (Table 2) showed characteristic stretching vibration frequencies ( $\text{cm}^{-1}$ ) located in the FT-IR of the ligand and its complexes.



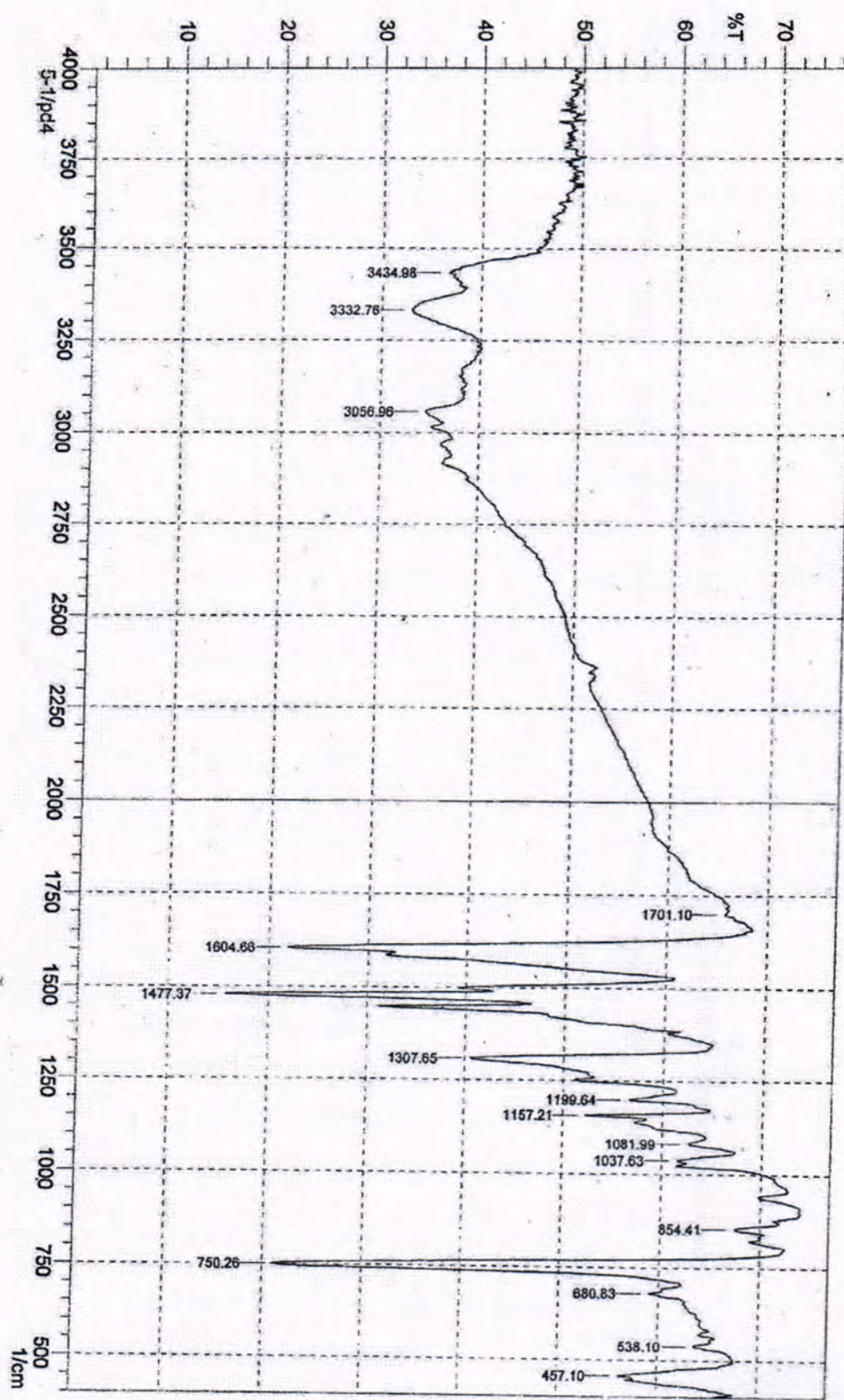


Fig. -1 : Infrared Spectra of (b) L.  $\text{PdCl}_2$

1. The UV – Visible spectra of the ligand (L) and complexes

The UV – Visible spectrum of the ligand (L) in DMF solution exhibited strong absorption bands at (274.8 nm, 36390 cm<sup>-1</sup>) and (336.60 nm, 29708 cm<sup>-1</sup>). This may attributed to the  $\pi - \pi^*$  and  $n - \pi^*$  Transition(20).

The UV–Visible spectrum for Cr<sup>+3</sup> complex showed one band in the region ( 640 nm , 15625 cm<sup>-1</sup> ) is due to  ${}^4A_2g \rightarrow {}^4T_2g$  (21).

The UV – Visible spectrum for Co<sup>+2</sup> complex showed three bands in the region ( 800 nm, 12500 cm<sup>-1</sup>) due to  ${}^4T_1g \rightarrow {}^4Eg$  , ( 651 nm , 15361 cm<sup>-1</sup> ) due to  ${}^4T_1g \rightarrow {}^4A_2g$  and ( 517 nm, 19342 cm<sup>-1</sup> ) due to  ${}^4T_1g(F) \rightarrow {}^4T_1g(p)$  (22,23).

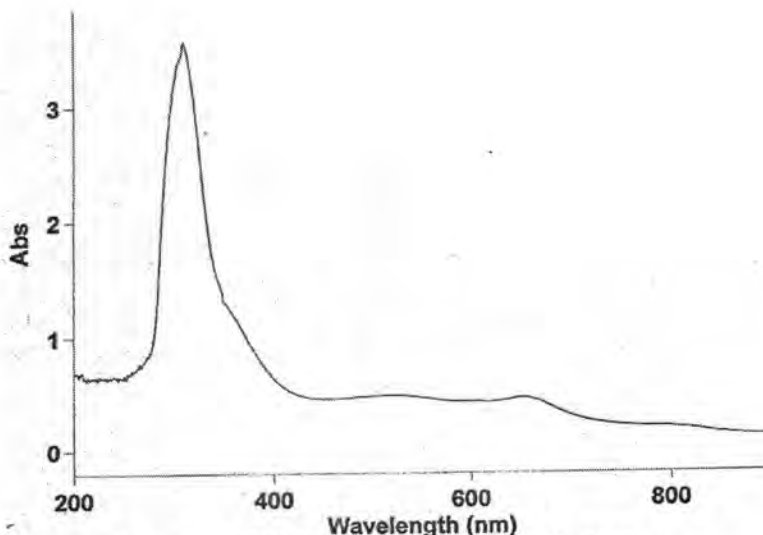
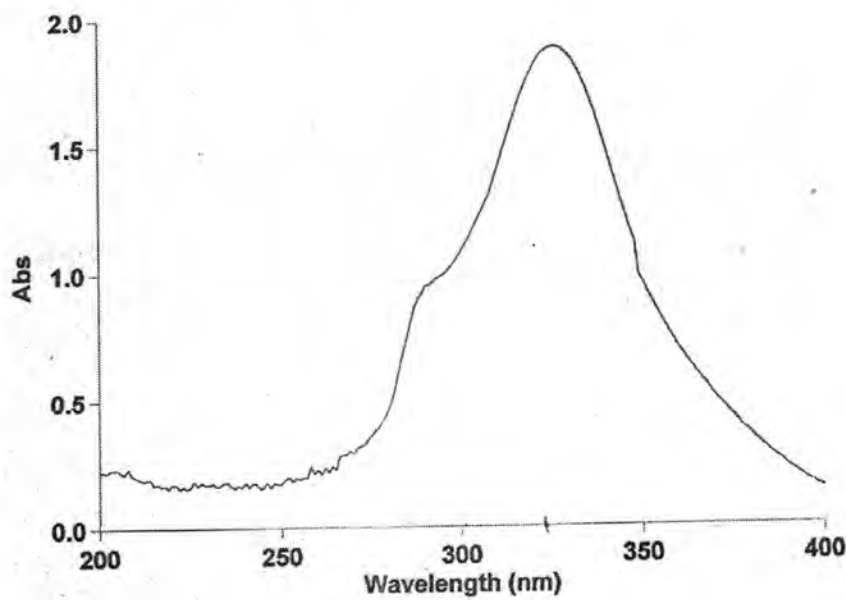


Fig. -2 : U.V Visible Spectra of (b) L. CoCl<sub>2</sub>

The ratio of 19342 to 12500 is 1.55 which fits with Tanaba Sugano  $d^7$  curve (fig 3) for  $E / B = 26$  and  $\Delta 0 / B = 17$ .  $\Delta 0 = 12500 \text{ cm}^{-1}$

$$B \text{ complex} = 12500 / 17 = 735 \text{ cm}^{-1}$$

$$B \text{ for free } \text{Co}^{+2} = 971 \text{ cm}^{-1}$$

$$\beta \text{ (nephelauxetic effect)} = B \text{ complex} / B \text{ Co}^{+2} = 735 / 971 = 0.756$$

Which indicates of  $d$  - electron delocalization on the ligand, hence a significant covalent character in the complex (24).

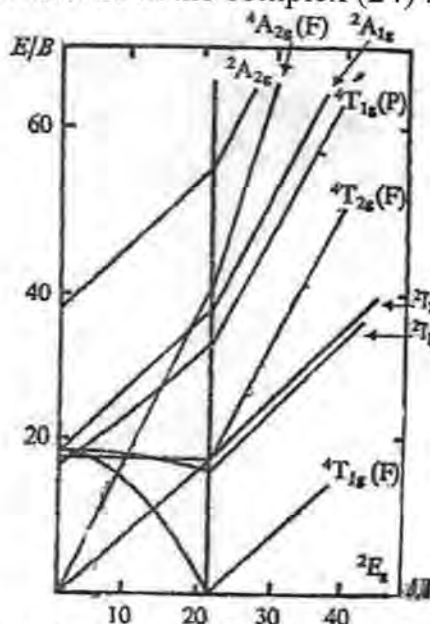


Fig -3 : Tanabe – Sugano diagram  
for the  $\text{Co}^{+2}$  ion in octahedral complexes

The UV – Visible spectrum for  $\text{Ni}^{+2}$  showed one band at (818 nm ,  $12225 \text{ cm}^{-1}$ ) which is due to  ${}^3\text{A}_{2g} \rightarrow {}^3\text{T}_{1g}$  (5).  $\text{Cu}^{+2}$  complex appeared band at (670 nm,  $14925 \text{ cm}^{-1}$ ) is due to  ${}^2\text{Eg} \rightarrow {}^2\text{T}_{2g}$ . The brown palladium complex exhibited a strong band at (425 nm ,  $23529 \text{ cm}^{-1}$ ) due to  ${}^3\text{A}_{2g} \rightarrow {}^3\text{T}_{1g}$  transition and for Rhodium spectrum showed band (460 nm,  $21739 \text{ cm}^{-1}$ ) due to  ${}^3\text{A}_{1g} \rightarrow {}^3\text{T}_{2g}$  (25). The UV – Visible spectra of  $\text{Zn}^{+2}$ ,  $\text{Cd}^{+2}$ ,  $\text{Hg}^{+2}$  and  $\text{Pb}^{+2}$  complexes showed bands are due to charge transfer (5), Table 3. The molar conductance of all complexes in DMF was found to be low which suggested coordination of anion to the metal (5, 19). The  $\mu_{eff}$  value of Cr, Co, Ni, Cu complexes are within the range (3.78, 4.83, 3.01, 1.91) respectively expected for spin – free octahedral structures (26, 27). Electronic spectra, Conductance in (DMF), Magnetic moment (B.M) of the ligand and its complexes are given in Table (3)

#### Molar ratio

The complexes of the ligand ( L ) with selected metal ions (  $\text{Cr}^{+3}$  ,  $\text{Ni}^{+2}$  ) were studied in solution using ethanol as solvent , in order to determine ( M : L ) ratio in the prepared complexes , following molar ratio method (28). A series of solutions were prepared having a constant concentration ( C )  $10^{-3}$  M of the hydrated metal salts and the ligand ( L ). The ( M : L ) ratio was determined from the relationship between the absorption of the observed light and the mole ratio (M:L) found to be

(1:1). Fig. -4 (a),(b).The result of complexes formation in solution are shown in Table 4.

VM = volume of metal in ml

VL = volume of ligand in ml

**Table -4 : Fig 4-a**

L-Cr Cl <sub>3</sub> , H <sub>2</sub> O		
V <sub>M</sub>	V <sub>L</sub>	Abs
1ml	0.25	0.23
1	0.50	0.45
1	0.75	0.69
1	1	0.90
1	1.25	0.91
1	1.50	0.89
1	1.75	0.92
1	2	0.91
1	2.25	0.93
1	2.50	0.89
1	2.75	0.91
1	3	0.89
1	3.25	0.92
1	3.50	0.92
1	3.75	0.89
1	4	0.91

**Table -4 : Fig 4-b**

L-Ni Cl <sub>2</sub>		
V <sub>M</sub>	V <sub>L</sub>	Abs
1ml	0.25	0.40
1	0.50	0.75
1	0.75	1.10
1	1	1.50
1	1.25	1.49
1	1.50	1.51
1	1.75	1.49
1	2	1.48
1	2.25	1.52
1	2.50	1.51
1	2.75	1.49
1	3	1.52
1	3.25	1.51
1	3.50	1.49
1	3.75	1.51
1	4	1.49

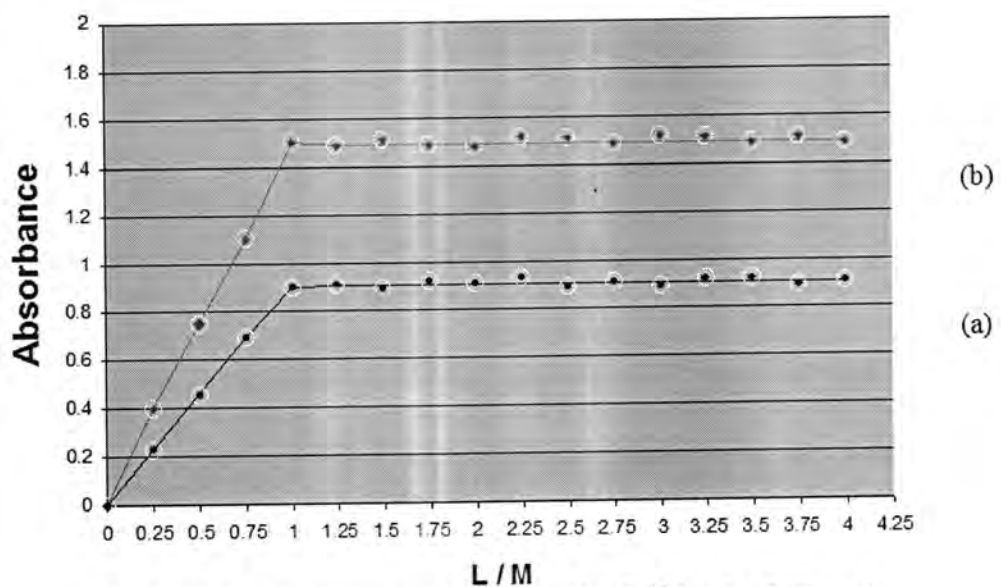


Fig -4: (a) : continuous variation slop for Cr<sup>+3</sup> ion λ ( 368 nm )  
(b) : continuous variation slop for Ni<sup>+2</sup> ions λ ( 346 nm )

Stability constant (Kf) of (1:1) (M : L) complex was evaluated using the following equations (1),(2)

$$K_f = 1 - \alpha / \alpha^2 c \dots (1)$$

$$\alpha = A_m - A_s / A_m \dots (2)$$

( $\alpha$ ) is the degree of the dissociation , ( $c$ ) is the concentration of the complex ( $10^{-3}$  M) . ( $A_m$ ) and ( $A_s$ ) are the absorbance of the partially and fully formed complex respectively Table (5). The molar absorptivity ( $\epsilon_{max}$ ) (eq .3) has been calculated using equation ;

$$A = \epsilon_{max} \cdot b \cdot c \dots (3)$$

(A) is the average of three measurement of the absorption containing the same amount of metal ion and three fold excess of ligand , (b) is the depth of the quartz cell usually equal 1 cm .

Table - 5 :  $A_s$  ,  $A_m$  ,  $K_f$  ,  $\epsilon_{max}$  and  $\lambda_{max}$  of the  $Cr^{+3}$  and  $Ni^{+2}$  complexes  
Table - 5:  $A_s$ ,  $A_m$ ,  $K_f$ ,  $\epsilon_{max}$  and  $\lambda_{max}$  of the  $Cr^{+3}$  and  $Ni^{+2}$  complexes

NO	Compound	$A_s$	$A_m$	$A$	Formation constant ( $K_f$ )	Molar absorptivity $\epsilon_{max}$ L. mol <sup>-1</sup> .cm <sup>-1</sup>	$\lambda_{max}$ (nm)
1-	Cr – complex	0.90	0.93	0.051	$9.462 \times 10^5$	3350	368
2-	Ni – complex	1.50	1.52	0.013	$5.840 \times 10^6$	5745	346

The atomic absorption analysis was used to determine a ratio of M:L for Synthesis complex as well. The results showed a ratio M:L (1:1) Table (1), which confirms the study of molar ratio for the complexes prepared

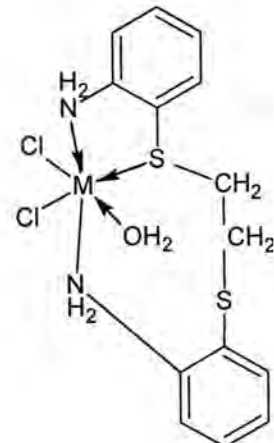
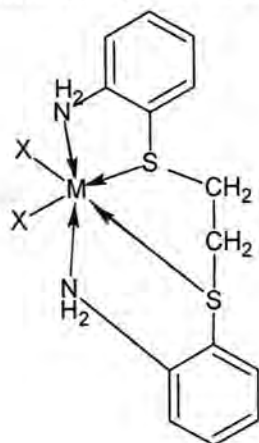
### Study of biological activity

The biological activity of the prepared new ligand and its complexes were studied against selected types of microorganisms which include gram positive bacteria like *Streptococcus pyogenes*, *Staphylococcus aureus* and gram Negative bacteria like *E. coli*, *Pseudomonas aeruginosa* and yeast like *Candida albicans*, in agar diffusion method, which is used (DMSO) as a solvent, and we are used these Antibiotics disc which include Cephalosporin, Amoxicillin and Nystatin as control. Agar diffusion method involves the exposure of the zone of inhibition toward the diffusion of microorganisms on agar plate. The plates were incubated for (24) hrs at (37°C). The zone of inhibition of bacterial growth around the disc was observed.

### Conclusion

A series of complexes of  $Cr^{+3}$ ,  $Rh^{+3}$ ,  $Co^{+2}$ ,  $Ni^{+2}$ ,  $Cu^{+2}$ ,  $Zn^{+2}$ ,  $Pd^{+2}$ ,  $Cd^{+2}$ ,  $Hg^{+2}$ ,  $Pb^{+2}$ , with 1,2 – (ortho aminophenyl thio) ethane (L) have been prepared and characterized. The bidentate ligand (L) (N, N) is binding

metal ions ( $M^{+3} = Cr, Rh$ ) and one molecule  $H_2O$  forming Octahedral structure while with metal ion ( $M^{+2} = Co, Ni, Cu, Zn, Pd, Cd, Hg$  and  $Pb$ ), The ligand (L) is tetra dentate (N, N, S,S) forming octahedral structure , and as follow;



$$M^{+2} = Co, Ni, Pd, Cd, Hg$$

Cr, Rh

$$X = Cl^{-1}$$

$$M^{+2} = Cu, Zn$$

$$X_2 = SO_4^{2-}$$

$$M^{+2} = Pb$$

$$X = NO_3^{-1}$$

$$M^{+3} =$$

Biological effects of new ligand and its complexes indicated that the new ligand and its complexes exhibited antibacterial activity against both gram positive and gram negative bacteria specially zinc and mercury complexes, while the effects of new ligand and its complexes on candida albicans showed less than effects except zinc and mercury complexes. Generally the ligand and its complexes exhibited antimicrobial activity toward bacteria more than yeast candida albicans. Figs. (5-9)

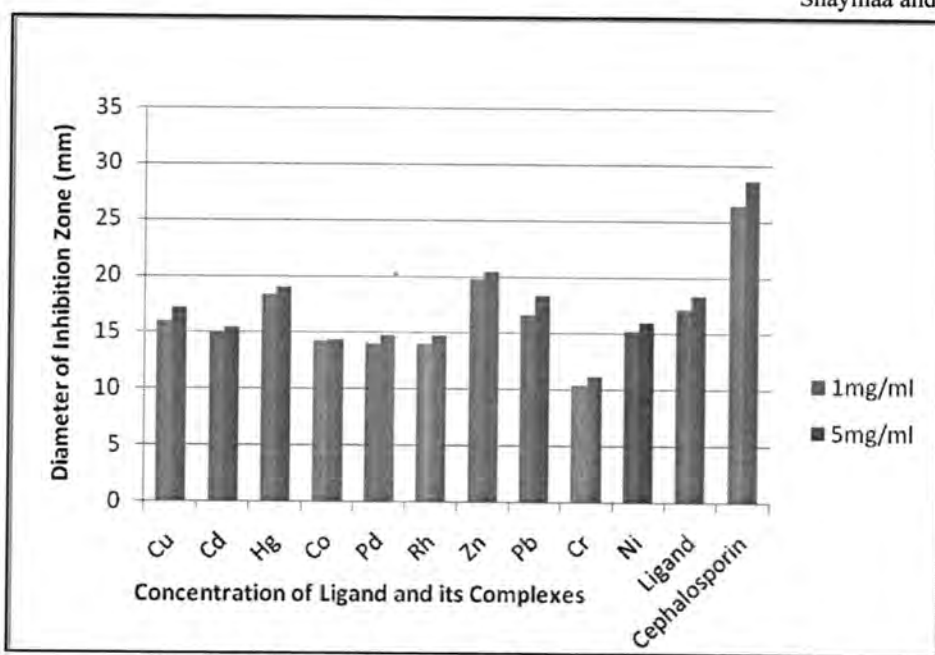


Fig.-5 : Effect of Ligand and its Complexes on E. coli

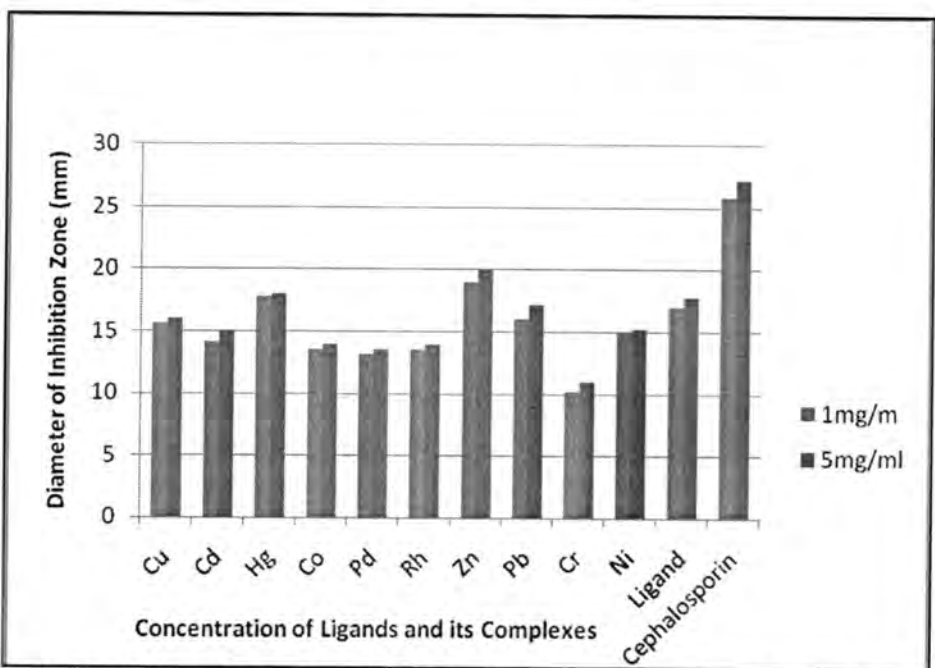
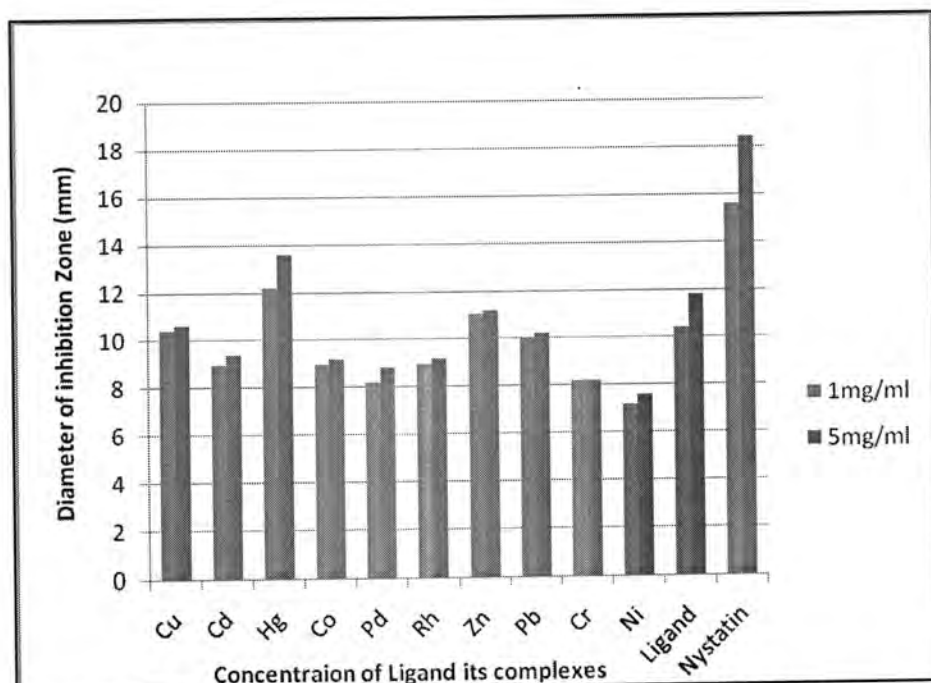
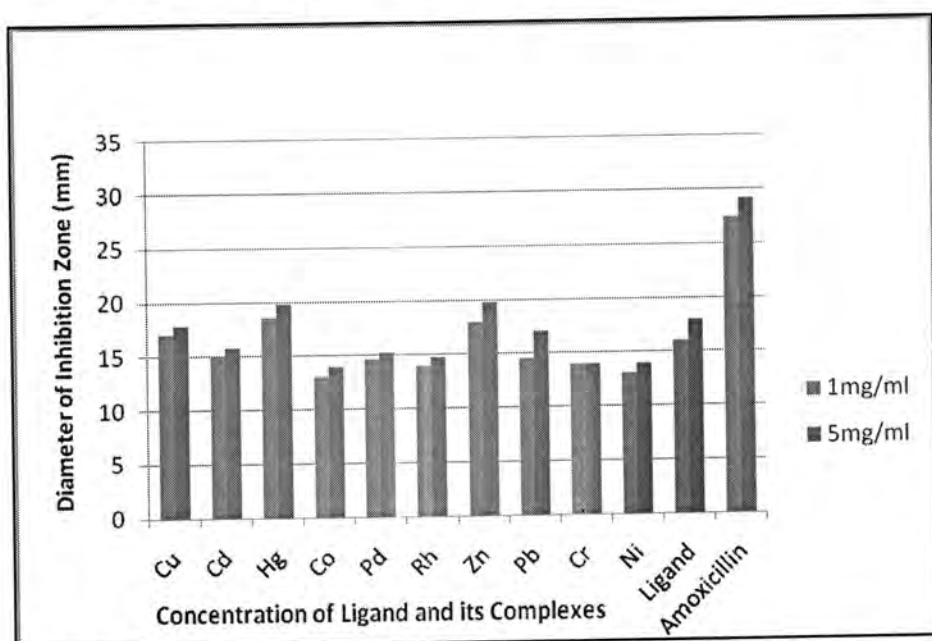


Fig-6 : Effect of Ligand and its Complexes on Pseudomonas aeruginosa

Fig-7 : Effect of Ligand and its Complexes on Candida albicansFig-8 : Effect of Ligand and its Complexes on Staphylococcus aureus

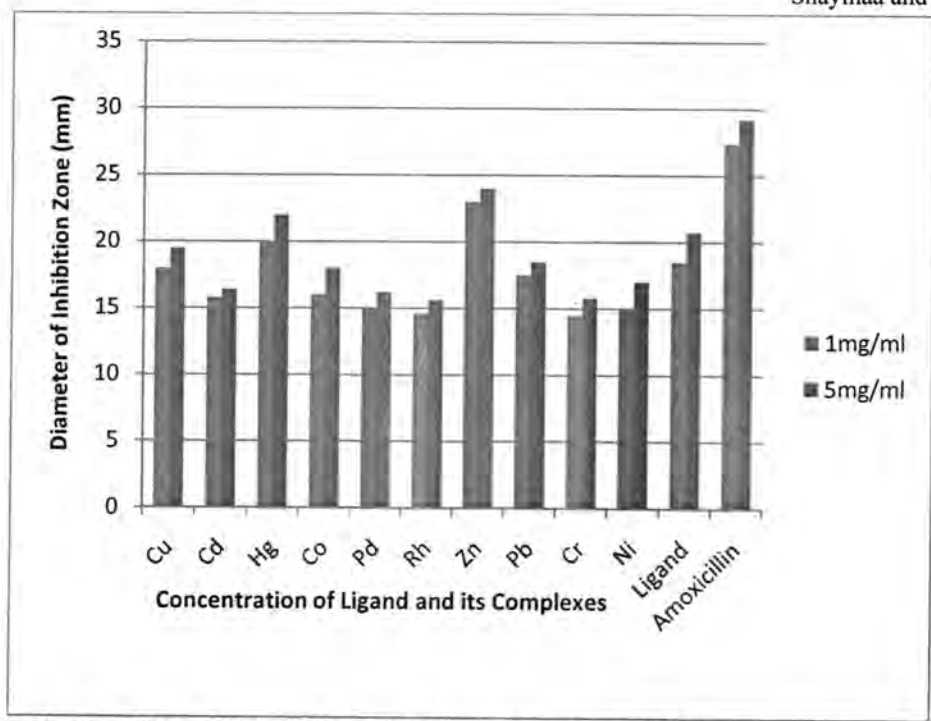


Fig-9 : Effect of Ligand and its Complexes on Streptococcus pyogenes

#### REFERENCES

- 1- Sadler, P. J., "synthesis and characterization macro ligands containing (N, S) atoms" Adv., Inorg., chem., 3, 6, 1 (1991).
- 2- Hughes M. N., "The inorganic chemistry of Biological processes" 2<sup>nd</sup> Ed., 202, John – Wiley and Sons. Ltd., (Amesterdam). (1988).
- 3- William, C. C. Lock hart, C. J. and Musa, F. H., "Preparation and complexation of polydentate andmacrocyclic ligands incorporating benzimidazol. X-ray Crystal Structure of 6,7,9,10,12,13,16 octahydro 23H , 25H bis – (benzimidazol [1,2 – j :2,1` – 0] )[ 1,4,7,13,10,16 tetraoxdeiazacyclo – octa – decine" , J. Chem. Soc, Dalton Trans ,1,47,53, ( 1986 ).
- 4- Naji, S. H., Fathel, H. A. and Musa, F. H., "Synthesis characterization of some metal salts with 1,1` bis – (orthoaminophenylthio ) – methane" , J. Al – Mustansiriya . sci; 19,2,59, (2008) .
- 5- Naji, S. H., "Synthesis and spectral studies of the transition metals ( Co II , Ni II , Cu II , Cd II , Hg II, Pb II ) with aniline – 2 – thiomethylene chloride complexes", J. Al – Mustansiriya . sci . 19,4,53,(2008).
- 6- Muhamdi, W. K. and Musa, F. H., "Synthesis and studying of disulphide ligands containg oxadiazol, Triazol and thiazol ring with some of their complexing", J. of AL-Nahrain Univ, 7 ,2 ,86, (2004).
- 7- Mohamad, H. A., "Synthesis and characterization Macro ligands

- containing (N, S) atoms. and their complexes", PhD thesis Education college – IBBN–AL –Haitham –Baghdad Univ, (2006) .
- 8- Musa, F. H. and Mahdi, W. K., "Synthesis and characterization of new orthoaminophenyl thio derivatives and their complexes", J.IBN – AL – Haitham 16, 1, 77, (2003) .
  - 9- Musa, F. H., AL-Rawi, A. A. and Serhan, B. M., "Synthesis and characterization of disulphide ligands with some of their complexes", Iraq J. Chem. ,26 , 3 , 725 ,(2000) .
  - 10- Singh, R. D. and Singh, B. N., "Mixed-ligands complexes of Cr(III)with1–substituted tetrazolin -5 – thion", J. Inorg. Chem. 11, 39, 25, (1977).
  - 11- Keeton, M. N. and Lever, A. B. P., "Four, Five and Six coordinate metal complexes of di (2pyridyl) disulphide and 1, 2-di (2'-pyridyl) ethane", Inorg. Chem., 10, 1, 49, (1971) .
  - 12- Banwell, C. N, "Fundamentals of Molecular Spectroscopy", 2<sup>nd</sup> Ed., 268, Mc Graw–Hill company (UK) Limited Amsterdam. (1972).
  - 13- Saha, B. G. and Banerji, S. K., "Synthesis and characterization of complexes", J. Indian Chem., Soc., L1X, 928, (1982).
  - 14- Bahel, S. C., "Synthesis and structural studies of complexes of Zn(II), Ni(II) and Co(II) with 3–Aryloxymethyl 4–aryl–5 mercapto–1, 2, 4–triazoles", J. Indian L1X, 1127, (1982 ).
  - 15- Nakamoto, K. S., "Infrared spectro of inorganic and coordination compounds", 4<sup>th</sup> Ed., 81, wiley Inter, New York. (1986 ).
  - 16- Greay, W. G., "Coordination Chemistry reviews", 3<sup>rd</sup> Ed., 115, Elsevier publishing company , Amsterdam. (1970).
  - 17- Iskender, M. F., El-Sayed, L., Hefny, A. F.and Zayan, S. E., "Structural studies of some metal ions". J. Inorg chem., 38, 32, 13, (1976).
  - 18- BAHEi, S. C., Nath, D. N. SRIVASAVA, J. K. "Synthesis and structural studies of the complexes of Zn(II) , Ni(II) , Cu(II) and Co(II) with 3 – Aryloxymethyl – 4 – aryl – 5 mercapto –1,2,4 – triazoles". J. Indian chem.. L1X, 1127, (1982).
  - 19- Clark, R. J. H. ERRING Ton, W. R. "Sulpher donor complexes", Inorg. chem. 5, 4, 650, (1966).
  - 20- Kadeoka, W. N., "Crystal and Molecular structure of Dichloro bis ( 2 – pyridyl ) disulphide cobalt(II)", Inorg Chem. 15,4,812,(1976)
  - 21- Foresman , J. C. , J. and Frisch , C ,A. , "Exploring chem. With Elecronic structure methods", 2<sup>nd</sup> Ed., 101 , (1996 ) , Gaussian – Inc . pittsburgh.
  - 22- Rudolph, W. K., "Mixed chelates from thio picolinamides and  $\beta$  – diketones", Inorg Chem. 4, 7, 1047, (1965).

- 23- El-Asmy, A. A., "Structural studies on Cd(II), Co (II), Cu (II), Ni (II) and Zn (II) complexes of 1 – malonyl–bis (4-phenyl thio semicarbazide)", *Transition Met. Chem.* 4, 15, 12, (1990).
- 24- Sutton, D. "Electronic spectra of Transition metal complexes", 1<sup>st</sup> Ed., 138, Mc Graw–Hill. London. (1968).
- 25- Gajendragad M. R., and Agarwula, U. A., "synthesis and characterization of complexes", *J. Inorg Nucl. chem.*, 37, 24, 29 (1975).
- 26- Figgis, B. N. and Lewis, J. N., "Modern coordination chemistry", 3<sup>rd</sup> Ed., 403, edited by Lewis and Wilkins R. G. Interscience, New York. (1967).
- 27- Dubey, S. N. and Kaushik, B. N., "Triazoles copmplexing Agent", *Indian J. Chem.*, 24A, 7, 950, (1985).
- 28- Skoog D. A., "Fundamental of Analytical chemistry", 5<sup>th</sup> Ed., 2441, Wiley Inter, New York. (1988).

# Synthesis of Some New 4-{2-[chloro(4-substituted methyl]-2-methylhydrazino}-7-nitro-2,1,3-benzoxadiazole Derivatives and Study their Biological Activity

Olf A.Naif

Dept of chemistry ,College of Science , Al-Mustansiriya University

Received 17/2/2010 – Accepted 10/5/2010

## الخلاصة

في هذا البحث تم تحضير سلسلة من مركبات 4-{2-[كلورو(4- معوضات) مثيل]-2-مثيل هيدرازينو}-7-ناترو-2,1,3-بنزوأوكساديازول (8-12) من تفاعلات قواعد شف المناظرة (2-7) مع كلوريد البنزويل والتي تعطي عند تسخينها في الإيثانول المطلق مع الثايويريا وبوجود كاربونات الصوديوم اللامائية ولمدة 5 ساعات مركبات الثايوبيوريز (13-15). شخصت المركبات المحضرة باستخدام الطرق الطيفية (UV, FT, IR) والتحليل الدقيق للعناصر (C.H.N) لبعض منها. تم في هذا البحث دراسة الفعالية البالغولوجية لهذه المركبات المحضرة ضد نوعين من البكتيريا و هم *Escherichia coli* و *Staphylococcus aureus*

## ABSTRACT

In this work a series, 4-{2-[chloro(4-substituted)methyl]-2-methylhydrazino}-7-nitro-2,1,3-benzoxadiazole (8-12) were prepared from the reaction of the corresponding Schiff bases (2-7) with benzoyl chloride, which upon refluxing with thiourea in absolute ethanol in the presence of  $\text{Na}_2\text{CO}_3$  for 5hrs yielded the corresponding thioureas compound.(13-15). The synthesized compounds have been characterized by using some spectral data (FT-IR and UV) and C.H.N

The biological activity for their benzoxadiazole derivatives were studied against two species of bacterial *Escherichia coli* and *Staphylococcus aureus*.

## INTRODUCTION

Variety of compounds including oxadiazole ring have been found to possess a wide spectrum of pharmacological ,medical and biological activity. Several investigators have shown that some oxadiazoles derivatives exhibit in vitro tuberculostatic (1) activity,besides their anti-inflammatory and central nervous system action(2) . further more ,some oxadiazoles have been found to exhibit antimycobacterial as well as fungicidal activity. They have also shown that such compounds have ( N-C=S ) and ( C-O-C ) moiety which are perhaps responsible for their fungicidal activity(3) .

Many benzoxadiazole derivative have been found to be considerable interest because of their biological activity(4,5,6). Some of these derivatives are useful antihypertensive agent (7) , analgesic and for their antitubercular activity (8,9) further more ,several derivative have found to posses Herbicides(10), antifungal and anti cancer activity (11-14).

In the present work ,many(4- substituted) -7-nitro -2,1,3,-benzoxadiazole were introduced

## MATERIALS AND METHODS

All chemical used were of reagent grade (supplied by either Merck or fluka) and used as supplied. The FTIR spectra in the range (4000-400)  $\text{cm}^{-1}$  were recorded on FTIR.8400S Shimadzu spectrophotometer as KBr discs. The UV-visible spectra were measured in ethanol using (Hitachi U-2000 ) Ultra-violet Spectrophotometer in the range (200-800) nm. Gallencamp M.F.B600.010 F melting point apparatus was used to measure the melting points all the prepared compounds. Elemental microanalysis was carried out using CHNOS elemental analyzer model 5500 Carlo-Erba instruments in dept of chemistry ,college of science Al-Mustansiriya University.

### \*Synthesis of 4-hydrazino-7-nitro-2,1,3-benzoxadiazole [ I ] :-

A mixture of 4-chloro-7-nitro-2,1,3-benzoxadiazole (0.001 mole. 0.199 gm.) and hydrazine hydrate(0.12 mole) in dry benzene (50ml) was refluxed for 5 hrs. The solvent and the excess hydrazide were removed under reduced pressure and the crude solid was recrystallized from ethanol to give 4-hydrazino-7-nitro-2,1,3-benzoxadiazole [ I ]( 0.134 gm. 0.0007 mole 70%).The physical properties of compound [1] were listed in table (1) and the (C.H.N) analysis confirmed the structure of compound [1] table(7)

### \*Synthesis of Schiff bases [2-7] :-

To a solution of compound [1 ] (0.01mole) in absolute ethanol (50 ml),The appropriate aromatic aldehydes or ketone (0.01mole) was add. The reaction mixture was refluxed for 5 hrs. , after cooling the reaction mixture was filtered off then recrystallization gave the compounds (2-7) . The physical properties of compounds [2-7] were listed in table (1) and the (C.H.N) analysis confirmed the structures of compounds [7]

### \*Synthesis of 4-{2-[chloro(4-substituted)methyl]-2-methylhydrazino}-7-nitro- 2,1,3- benzoxadiazole (8-13)

To an appropriate Schiff base (0.005 mole) in dry benzene (25ml) ,benzole chloride (0.005 mole) in dry benzene (25 mole) was added .The mixture was refluxed for 5 hrs.,cooled filtered and recrystallized from appropriate solvent The physical properties of compounds [8-13] were listed in table (2) and the (C.H.N) analysis confirmed the structure of compound [10].table (7).

### \*Synthesis of chloro (4- substituted ) [1-methyl-2- (7-nitro-2,1,3-benzoxadiazol-4-)hydrazino]methyl Imidothiocarbamate (14-16).

To an appropriate derivative of (8,11,12) (0.005 mole). Thiourea (0.005 mole ) and  $\text{Na}_2\text{CO}_3$  (0.005mole) in absolute ethanol (25 ml)

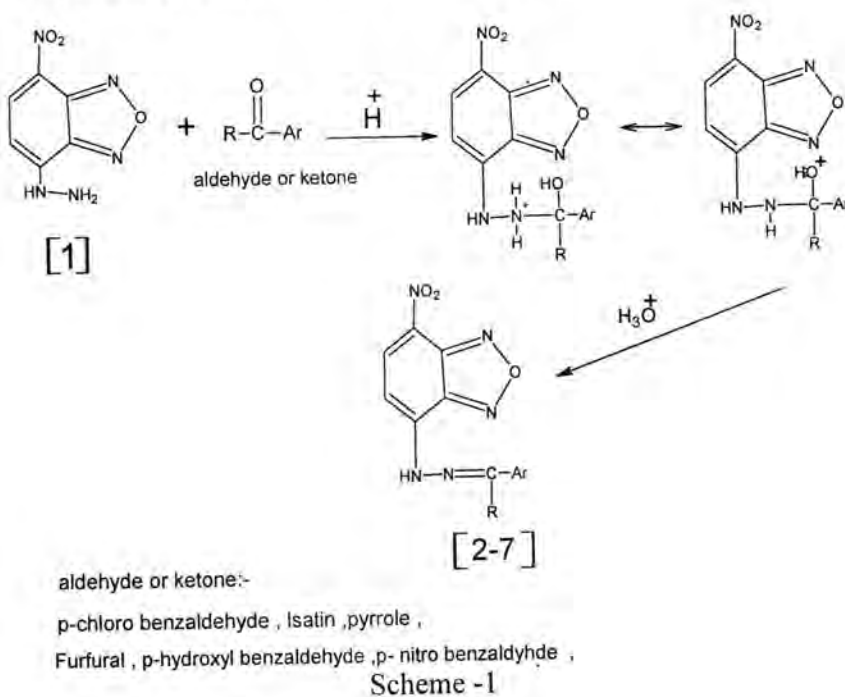
were added ,The mixture was refluxed for 6 hrs.,Then cooled and filtered .The filtrate was poured into crushed ice ,The separated solid was collected and recrystallized appropriate solvent , The physical properties of compound [14-16] were listed in table (3) and the (C.H.N) analysis confirmed the structure of compound [14].table (7)

## RESULTS AND DISCUSSION

The intermediate 4-hydrazino-7-nitro-2,1,3-benzoxadiazole [ I ] was obtained in a yield (60% ) by refluxing of 4-chloro -7-nitro-2,1,3-benzoxadiazole with hydrazine hydrate in dry benzene for 5 hrs. The reaction is followed by disappearance of C-Cl absorption band  $731\text{ cm}^{-1}$  and appearance of bands at  $3375\text{ cm}^{-1}$ and  $3284\text{ cm}^{-1}$  were assigned to asymmetric and symmetric stretching vibrations of NH<sub>2</sub> groups respectively

The electronic absorption spectrum of the compound [I] in ethanol is characterized by three main bands (table 4), The first band at  $\lambda_{\text{max}} = 218\text{ nm}$  can be assigned to the low energy  $\pi-\pi^*$  transition of the aromatic ring, while the second band at  $\lambda_{\text{max}} = 251-297\text{ nm}$  is due to the medium energy  $\pi-\pi^*$  transition. The third band at  $\lambda_{\text{max}} = 337\text{ nm}$  is due to the excitation of the electrons of n- $\pi^*$ .

Were carried out synthesis of some new Schiff bases (2-7) through the condensation of equimolar amount of the corresponding 4-hydrazino-7-nitro-2,1,3-benzoxadiazole [ I ] with various aromatic aldehyde and ketone four hours in refluxing ethanol .The mechanism of the reaction may be outlined as follows.(14)



Scheme -1

## Synthesis of Some New 4-{2-[chloro(4-substituted methyl]-2-methylhydrazino}-7-nitro-2,1,3-benzoxadiazole Derivatives and Study their Biological Activity

Olfa

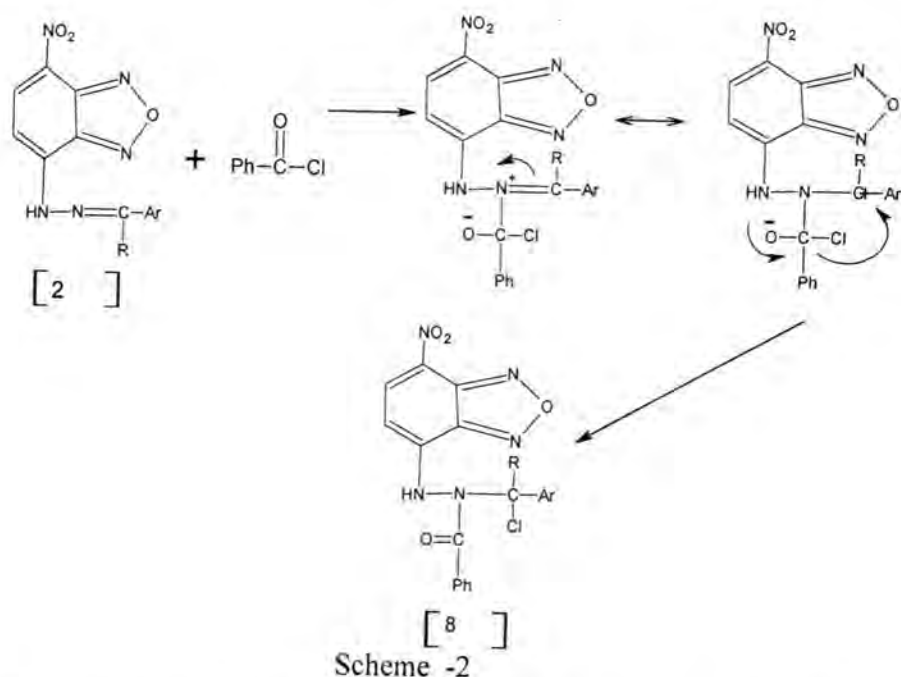
The reaction proceed by nucleophilic attack of the most nucleophilic nitrogen atom of hydrazine on the carbonyl group of the aldehyde and ketone with losing of water molecule by acetic acid

The structure of these Schiff bases(2-7) have been deduced according to their U.V and FT-IR spectral table (5).The IR spectra of Schiff bases(2-7) shows the presence of the azomethan ( $\text{CH}=\text{N}$ ) streching at  $1640 \text{ cm}^{-1}$  combined with the disappearance of  $\text{NH}_2$  streching band .

UV spectrum for these compounds table (4) were showed intense absorption maxima at (338 -323) nm , (257-294) nm , and (218-222) nm which attentively attributed to n- $\pi^*$  and  $\pi$ - $\pi^*$  electronic transitions respectively .

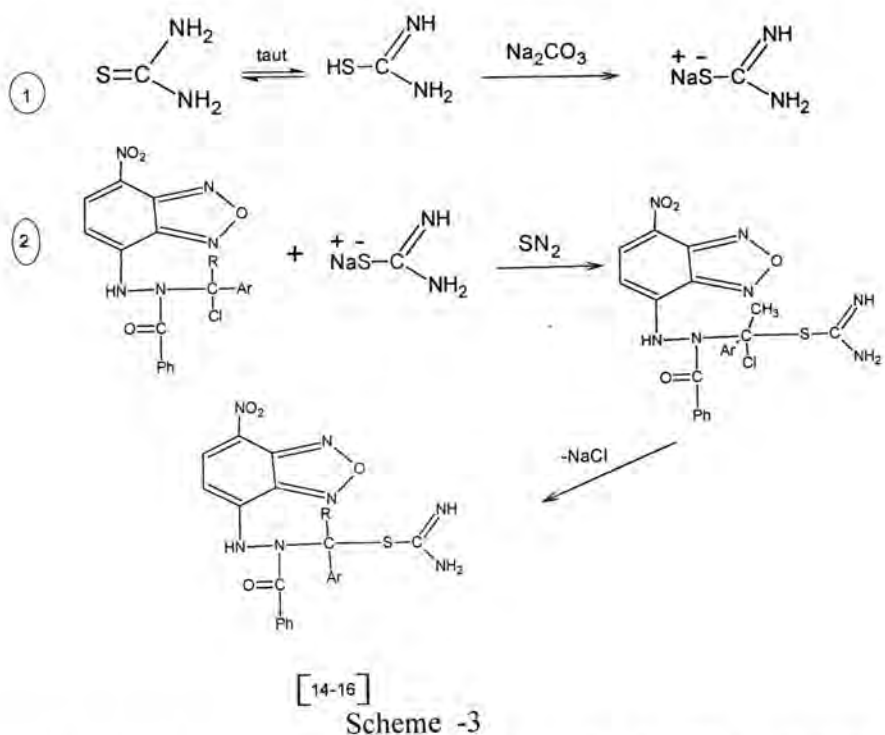
However , treatment of Schiff bases with benzole chloride results in the formation of compounds (8-13) in which tow groups(Cl and PhCO) were introduced in the same step of the reaction ,This reaction was followed by disappearance of absorption stretching bands at(1620-1640)  $\text{cm}^{-1}$ ,for (CH=N) and appearance of new absorption bands at( 1180-1250 )  $\text{cm}^{-1}$  and( 730-760)  $\text{cm}^{-1}$  which were attributed to (C-N and C-Cl) moieties respectively . Othere informative bands are listed in table (5).

The reaction was followed the attack by the azomethane nitrogen at the carbonyl group of the benzene chloride, displacing the chloride as chloride anion and forming iminium cation. However iminium cation was unstable, so the  $\text{Cl}^-$  attacked  $\text{N}=\text{C}^+$  moiety and afforded more stable covalently bonded compounds(8-13) scheme (2)(15).



### Scheme -2

These compounds(14-16) have been prepared by refluxing the corresponding acid chloride addition products(8,11,12) with thiourea in the presence of  $\text{Na}_2\text{CO}_3$  for 6 hrs. The mechanism of the reaction may be outlined as follow.



The reaction proceed by a nucleophilic attack of sulfur atom in  $\text{H}_2\text{N}-\text{CS}=\text{NH}$  on the carbon atom of acid chloride. These compounds(14-16) were confired by their FT-IR spectra ,new doublet absorption bands ( $3200-3350$ )  $\text{cm}^{-1}$  belonged to  $\text{NH}_2,\text{NH}$  functional stretching absorption bands moiety,Other characteristic absorption bands in the region ( $620-640$ )  $\text{cm}^{-1}$  corrlated to C-S moiety ,Moreover C-Cl around ( $730-760$ ) disappeared . Othere informative bands are listed in table (6).

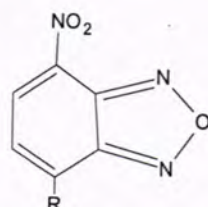
The UV-VS absorption spectra of These compounds(14-19) exhibits two distinguishable maxime near ( $331-343$ ) nm and ( $227-218$ ) nm which clearly due to  $n-\pi^*$  and  $\pi-\pi^*$  transition (red shift ) respectively ..

### ANTIBACTERIAL ACTIVITY

The antibacterial activity of the synthesized compounds was determined in vitro using paper disc method (agar plate diffusion method) (16) against two pathogenic microorganism viz., *staphylococcus aureus* (Gram +ve) and *Escherichia coli* (Gram -ve). In

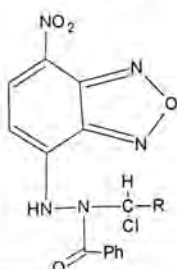
this method, a standard 5mm diameter sterilized filter paper impregnated with the compound (1mg per 1ml DMSO for concentration) was placed on agar plate seeded with the test organism. The plates were incubated for 24 hours at 37 0C. The zones of inhibition of bacterial growth were measured in mm depending upon the diameter as shown in Table (8)

Table -1: physical properties of compounds (1-7)



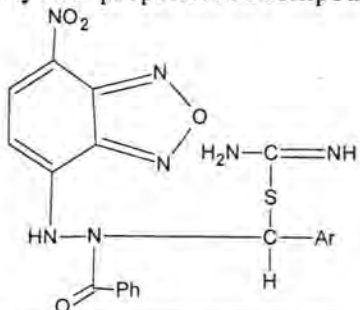
Com No.	R	Melting point C°	Yield%	Purification solvent	colour	Name of compound
1	-NH <sub>2</sub> NH <sub>2</sub>	130-132	70	Acetone+water	yellow	4-hydrazino-7-nitro-2,1,3-benzoxadiazole
2		181-182	55	Acetone+water	Yellow wish	<i>N</i> -(4-lorobenzylidene)- <i>N</i> -(7-nitro-2,1,3-benzoxadiazol-4-yl)methylamine
3		198-200.	60	Acetone+water	Brown	3-[2-(7-nitro-2,1,3-benzoxadiazol-4-yl)ethylidene]-1,3-dihydro-2 <i>H</i> -indol-2-one
4		150-152	45	Acetone+water	Blood red	<i>N</i> -[(7-nitro-2,1,3-benzoxadiazol-4-yl)methyl]- <i>N</i> -(1 <i>H</i> -pyrrol-2-ylmethylene)amine
5		200-202	50	Acetone+water	red	<i>N</i> -(2-furylmethylene)- <i>N</i> -(7-nitro-2,1,3-benzoxadiazol-4-yl)methylamine
6		165-167	55	Acetone+water	Yellow deep	4-({[(7-nitro-2,1,3-benzoxadiazol-4-yl)methyl]imino}methyl)phenol
7		170-172	46	Acetone+water	Yellow pale	<i>N</i> -(7-nitro-2,1,3-benzoxadiazol-4-yl)methyl]- <i>N</i> -(4-nitrobenzylidene)amine

Table -2: physical properties of compounds (8-13)



Comp .No.	-R	Melting point c°	Yield %	Purification solvent	colour	Name of compound
8		120-122	50	ethanol	Yellow	<i>N</i> -[chloro(4-chlorophenyl)methyl]- <i>N'</i> -(7-nitro-2,1,3-benzoxadiazol-4-yl)benzohydrazide
9		130-132	45	ethanol	Brown pale	<i>N</i> -[chloro(2-oxo-2,3-dihydro-1 <i>H</i> -indol-3-yl)methyl]- <i>N'</i> -(7-nitro-2,1,3-benzoxadiazol-4-yl)benzohydrazide
10		180-182	65	ethanol	red	<i>N</i> -[chloro(1 <i>H</i> -pyrrol-2-yl)methyl]- <i>N'</i> -(7-nitro-2,1,3-benzoxadiazol-4-yl)benzohydrazide
11		150-152	45	ethanol	Brown	<i>N</i> -[chloro(2-furyl)methyl]- <i>N'</i> -(7-nitro-2,1,3-benzoxadiazol-4-yl)benzohydrazide
12		182-180	50	ethanol	yellow	<i>N</i> -[chloro(4-hydroxyphenyl)methyl]- <i>N'</i> -(7-nitro-2,1,3-benzoxadiazol-4-yl)benzohydrazide
13		184-186	30	ethanol	yellow	<i>N</i> -[chloro(4-nitrophenyl)methyl]- <i>N'</i> -(7-nitro-2,1,3-benzoxadiazol-4-yl)benzohydrazide

Table -3: physical properties of compounds (14-16)



Com No.	-Ar	Melting point °C	Yield%	Purification solvent	colour	Name of compound
14		205-207	35	ethanol	Yellow	[1-benzoyl-2-(7-nitro-2,1,3-benzoxadiazol-4-yl)hydrazino](4-chlorophenyl)methyl imidothiocarbamate
15		167-169	25	ethanol	Yellow pale	[1-benzoyl-2-(7-nitro-2,1,3-benzoxadiazol-4-yl)hydrazino](4-hydroxyl phenyl)methyl imidothiocarbamate
16		233-234	20	Ethanol	Green pale	[1-benzoyl-2-(7-nitro-2,1,3-benzoxadiazol-4-yl)hydrazino](4-nitro phenyl)methyl imidothiocarbamate

Table -4: IR and UV spectral data for compound (1-7)

Comp.no.	$\lambda_{max}$ Ethanol (95%) $\times 10^{-4}$ (nm)	$\nu_{C-H}$ Cm <sup>-1</sup>	$\nu_{N-O}$ Cm <sup>-1</sup>	$\nu_{C=N}$ Cm <sup>-1</sup>	$\nu_{C=C}$ Cm <sup>-1</sup>	$\nu_{NO_2}$ Cm <sup>-1</sup>	$\nu_{C-Cl}$ Cm <sup>-1</sup>	$\nu$ others Cm <sup>-1</sup>
1	218,256,339	3092	812	1618	1541	1386 1541	-	$\nu_{NH}(3375-3284),\nu_{CN}(1269)$
2	225,275,325	3096	821	1625	1569 1600	1384 1552	620	$\gamma_{NH}(3188),\gamma_{CN}(1250)$
3	218,267,334	3100	824	1630	1590 1600	1398 1540	-	$\nu_{NH}(3157),\nu_{CO}(1684)$
4	219,255,338	3100	822	1630	1590 1600	1380 1560	-	$\nu_{NH}(3200),\nu_{CN}(1250)$
5	218,278,337	3110	831	1640	1560 1600	1386 1550	-	$\nu_{NH}(3190),\nu_{CN}(1246),\nu_{CO}(1150)$
6	215,288,330	3050	828	1640	1590 1600	1380 1540	-	$\nu_{NH}(3180),\nu_{CN}(1250),\nu_{CO}(1175),\nu_{OH}(3450)$
7	222,289,323	3096	822	1625	1570 1600	1386 1530	-	$\nu_{NH}(3150),\nu_{CN}(1245)$

Synthesis of Some New 4-{2-[chloro(4-substituted methyl]-2-methylhydrazino}-7-nitro-2,1,3-benzoxadiazole Derivatives and Study their Biological Activity

Olfa

Table -5: IR and UV spectral data for compound (8-13)

Comp.no,	$\lambda_{\text{max}} \text{ Ethanol} (\% \text{f}^{\text{t}} 10^4)$ (nm)	$\nu_{\text{C}_=\text{H}} \text{ cm}^{-1}$	$\nu_{\text{N-O}} \text{ cm}^{-1}$	$\nu_{\text{C}=\text{N}} \text{ cm}^{-1}$	$\nu_{\text{C}=\text{C}} \text{ cm}^{-1}$	$\nu_{\text{NO}_2} \text{ cm}^{-1}$	$\nu_{\text{C-Cl}} \text{ cm}^{-1}$	$\nu_{\text{others}} \text{ cm}^{-1}$
8	220,234,306	3099	832	1635	1522 1600	1386 1550	740 620	$\nu_{\text{NH}} (3129), \nu_{\text{C-N}} (1220)$ $\nu_{\text{CO}} (1690)$
9	227,263,416	3100	840	1630	1539 1610	1384 1552	730	$\nu_{\text{NH}} (3190), \nu_{\text{C-N}} (1250)$ $\nu_{\text{CO}} (1680)$
10	244,362,396	3090	838	1640	1590 1600	1378 1540	740	$\nu_{\text{NH}} (3190), \nu_{\text{C-N}} (1246)$ $\nu_{\text{CO}} (1690)$
11	240,275,372	3100	833	1630	1590 1600	1380 1560	730	$\nu_{\text{NH}} (3200), \nu_{\text{C-N}} (1250)$
12	228,268,330	3110	840	1640	1560 1600	1386 1520	720	$\nu_{\text{NH}} (3190), \nu_{\text{C-N}} (1246)$ $\nu_{\text{C-O}} (1150)$
13	234,276,366	3050	435	1640	1590 1600	1380 1540	730	$\nu_{\text{NH}} (3180), \nu_{\text{C-N}} (1250)$ $\nu_{\text{C-O}} (1175), \nu_{\text{OH}} (3450)$

Table -6: IR and UV spectral data for compound (1-7)

Com.no,	$\lambda_{\text{max}}$ Ethanol (95%) $\times 10^4$ (nm)	$\nu_{C-H}$ cm <sup>-1</sup>	$\nu_{N-O}$ cm <sup>-1</sup>	$\nu_{C=N}$ cm <sup>-1</sup>	$\nu_{C=C}$ cm <sup>-1</sup>	$\nu_{NO_2}$ cm <sup>-1</sup>	$\nu_{C-Cl}$ cm <sup>-1</sup>	others cm <sup>-1</sup>
14	228,239,340	3090	812	1620	1541	1386 1541	650	$\nu_{NH_2}$ (3375-3284), $\nu_{C-N}$ (1229) $\nu_{C-S}$ (720)
15	227,275,339	3090	821	1620	1569 1600	1384 1552	-	$\nu_{NH_2}$ (3314-3288), $\nu_{C-N}$ (1240), $\nu_{C-S}$ (710)
16	254,279,370	3100	824	1630	1590 1600	1398 1540	-	$\nu_{NH_2}$ (3300-3257), $\nu_{C-N}$ (1230) $\nu_{C-S}$ (700)

Table -7: C.H.N Analysis for some prepare compounds

Com No.	M.Formala (M.Wt)	% C		H%		N%	
		Cal	Fou.	Ca	Fo.	Cal	Fo
1	C <sub>6</sub> H <sub>5</sub> N <sub>5</sub> O <sub>3</sub> (195)	36.9	37.23	2.56	3.13	35.89	36.44
2	C <sub>13</sub> H <sub>8</sub> CIN <sub>5</sub> O <sub>3</sub> (317.5 )	49.13	50.53	2.51	3.01	22.04	22.98
3	C <sub>14</sub> H <sub>8</sub> N <sub>6</sub> O <sub>4</sub> (324)	51.85	52.22	2.46	3.33	25.92	26.11
4	C <sub>11</sub> H <sub>8</sub> N <sub>6</sub> O <sub>3</sub> (272)	48.52	49.66	2.94	3.78	30.88	31.75
6	C <sub>13</sub> H <sub>9</sub> N <sub>5</sub> O <sub>4</sub> (299 )	52.17	53.01	3.01	3.52	23.4	23.99
10	C <sub>18</sub> H <sub>12</sub> Cl N <sub>6</sub> O <sub>4</sub> .5 ( 411	52.49	53.89	2.91	3.78	20.41	21.99
14	C <sub>21</sub> H <sub>16</sub> Cl N <sub>7</sub> O <sub>4</sub> S (497.5 )	50.65	51.99	3.21	3.98	19.6	20.99

Table -8: Antibacterial activity of the synthesized compounds.

Compound No	Type of bacteria	
	Eschericha coil	Staphylococcus aureus
1	++	++
2	++	++
3	+++	+++
4	+++	+++
5	+++	+++
6	++	++
7	++	++
8	++	++
9	+++	+++
10	++++	++++
11	++++	++++
12	++	++
13	++	+++
14	+++	+++
15	+++	+++
16	++++	++++

Where :-

6-8 mm :- (+)

10-20mm ;-(+++)

8-10mm:-(++)

20-30mm :-(++++)

## REFERENCES

1. M. S. Yar, A.A.Siddiqui and M.A. Ali ( Synthesis and Anti Tuberculostatic Activity of Novel 1,3,4,-Oxadiazole derivatives) *J. Chinese ,Chem,Soc*, 54 ,5-8 ,(2007)
2. B,G.Mohamed,A. A.Abdel-Alim and M. A.Hussein (Synthesis of 1-acyl -2- alkylthio -1,2,4- triazolobenzimidazoles with antifungal ,anti-inflammatory and analgesic effect ) *Acta Pharm* ,56,31-48(2006)
3. Yan Li, Jiu Liu (Stereo selective synthesis and fungicidal activities of( E)-A a (methoxyimino)-benzeneacetate derivatives containing 1,3,4- oxadiazole ring) *Bio &Med Chem* 16 ,8, ( 2006)
4. Mayura S. Pinglea, Sambhaji P. Vartale, Vijay N. Bhosale and Sharad V. Kuberkar (A convenient synthesis of 3- cyano- 4-imino- methylthio-4Hpyrimido[2,1-b] [1,3] benzo-oxazole and its reactions with selected nucleophiles) *ARKIVOC* (x) 190-198 (2006)
5. Necdet COS\_KUN\_, Fatma Tirli TAT(Synthesis and Reactivity of Tetrahydroimidazo[1,5-b][1,2,4]oxadiazol-2(1H)- thiones) *Turk. J.chem.* , 28(7) . (2004)
6. Helene Wahe, Peter F. Asobo, Rafael A Cherkasov, Zacharias T, Fomum, and Dietrich Doepp\*Heterocycles of biological importance: Part 8.1Formation of pyrimido[1,2-a]benzimidazoles and oxazolo[3,2- a] benzimidazoles by conjugate addition of 2- aminobenzimidazoles to 4-hydroxy-2-alkynenitriles] *ARKIVOC* (i) 130-137,( 2004)
7. Jochims, J.C. In "Comprehensive Heterocyclic Chemistry", Katritzky A.R.; Rees, C.W.Scriven, E.F.D., Eds.; Elsevier Oxford, Science:,4, pp. 179-228.(1996)
8. Angilini. I, Angilini. L, Sparacc. F : 2-Phenyl-5-chloroalkyl- 1,3,4- oxadiazoles, British Patent, 1:161, 801, 1969; *Chem bstr*71:112936, ( 1969)
9. Nager H, Giudicelli R, Moral C, Menin M : Synthesis of some 5- aryl- 2- dimethylamino-1,3,4-oxadiazoles with anti -inflammatory action. *Bull. Soc. Chem. France* ,153-159. (1966)
10. Kennedy D.A, Summers L.A : Chemical constitution and activity of Herbicides. Part XIV. Reduction potential and herbicidal activity of 4,4-(1,3,4-thiadiazole-2,5-diyl)-and 4,4-(1,3,4- oxadiazole-2,5-diyl) bis (1- methylpyridinium) diiodides, *J. Hetrocyc .Chem.*,409-410 ,(1981)
11. Hemming, K. Recent developments in the synthesis, chemistry and applications of the fullyunsaturated 1,2,4- oxadiazoles *J.Chem. Res.*, 209-216. (2001)
12. Ricardo A.W. , Neves Filho and Rajendra M. Srivastava A .Handy and Solventless Direct Route to Primary 3-[3-Aryl]-1,2,4- oxadiazol- 5- yl]propionamides Using Microwave Irradiation Molecules 11, 318- 324 ,(2006)

13. Adel M. Awadallah( Reaction of aryl –and hetro aryl benzoyl and acetyl hydrazones with phenylisocyanat synthesis of substituted -2,3- dihydro -1,3,4-oxadiazole ) .The Islamic University Journal (Series of Natural Studies and Engineering) , , 14(1) 129-133 ISSN 1726-6807 /(2006)
14. Mohammed A. E., Shaban Adel Z. Nasr, Susan M. EL-BADRY\* \*Synthesis and biological activitives of some 1,3,4- oxadiazole and Bis (1,3,4- oxadiazole) Journal of Islamic Academy of Sciences , 4(3), 184-191(1991)
15. foad A. Hussein . Univ. of Baghdad Iraqi ,J,of chem., 27 (2), (2001)
16. Byan Bonev ,James Hooper ( principles of assessing bacterial susceptibility to antibiotics using th agar diffution method) ,Original research , J. Antimicrobial Chemo 12.(2008 )

## Synthesis of Phenylalanine Schiff Base Ligand and its Complexes with Some Metal (II) Ions and Evaluation of Their Antibacterial Activity

Manhel R. Aziz

Department of Chemistry, College of Education, Ibn-Al-Haitham, University of Baghdad

Received 13/1/2010 – Accepted 20/6/2010

### الخلاصة

تضمن البحث تحضير الليكанд [HL] وذلك من مقاولة الحامض الأميني فينيل اللاتدين مع 2-هيدروكسى بنز الديهايد للحصول على صوديوم-2-[2-هيدروكسى بنز الديهايد(أمينو)-3-فينيل بروبيونيت، الذي استعمل كليكاند نوع (NO) في تحضير معقدات مع بعض كلوريدات الفلزات  $MCl_2$  عندما  $[M= Co(II), Ni(II), Cu(II) \text{ and } Zn(II)]$  في وسط قاعدي والحصول على معقدات بصبغة  $Na_2[M(L)_2]$ . الليكанд قاعدة شيف وجميع المعقدات شخصت بالطرق الطيفية التالية (الأشعة تحت الحمراء والأشعة فوق البنفسجية – المرئية وطيف الرنين النووي المغناطيسي والتحليل الكمي الدقيق للعناصر مع التوصيلية المولارية الكهربائية ومحنوى الكلور ودرجة الانصهار والحساسية المغناطيسية، وكذلك شخص الليكاند بوسطة  $^1H$  NMR فإن من نتائج البحث كان الشكل الفراغي المقرر لمعقدات الكوبالت والنحاس والخارصين رباعي السطوح ولمعدن النikel كان الشكل الفراغي مربع مستوي. كذلك درست الفاعلية البابولوجية خارج الخلية الحية للليكاند المحضر ومعقداته ضد بكتيريا سالبة لصبغة كرام مثل *Staphylococcus aureus* وبكتيريا موجبة لصبغة كرام مثل *Pseudomonas* ، *E. coli*.

### ABSTRACT

Phenylalanine amino acid was condensed with 2-hydroxybezaldehyde to give the Schiff base sodium 2-(2-hydroxybenzylideneamino)-3-phenylpropanoate, which was used as a ligand [HL] type (NO) in complexation with some metal (II) chloride  $MCl_2$ , where  $[M= Co(II), Ni(II), Cu(II) \text{ and } Zn(II)]$ , in basic media, to give  $Na_2[M(L)_2]$  complexes. The Schiff base ligand and All complexes were characterized by spectroscopic methods, [FTIR, UV-Vis, atomic absorption], melting point, chloride content, conductivity and magnetic susceptibility measurements, molar ratio, as well as the [HL] ligand characterized by  $^1H$  NMR spectral. The data, of these studies and measurements suggest an octahedral geometry around Co(II), Ni(II), Cu(II) and Zn(II) ions. The synthesized ligand, along with their metal complexes, was screened for *in vitro* antibacterial activity against gram-negative bacteria like *E. coli*, *Pseudomonas*, and gram-positive bacteria like *Staphylococcus aureus*.

### INTRODUCTION

Schiff bases and their coordination compounds have been played a great importance in medicine, industry and biochemistry, Schiff bases are characterized by the (-N=CH-) (imine) group which imports in elucidating the mechanism of trans amination rasemination reaction in biological [1, 2]. There have been a lot of studies related to the strong association between metal complexes and antibacterial activities [3, 4]. Attentions have been paid during the last decade for the chemistry of the metal complexes of ligands containing nitrogen and oxygen [5]. This could be due to the stability of such ligands complexes [6] and its

biological activity in oxidation catalysis and electro chemical analysis [7, 8]. We have already drawn attention to the strong relationship between metals or their complexes, and antibacterial activities [3, 9-13]. Furthermore, metal complexes of chromium, manganese, nickel, copper, zinc and ruthenium with a wide variety of Schiff-bases have been used as catalysts for carbonylation, hydrogenation, hydro formylation and epoxidation reactions [14]. In (2009) A. Thabit and co-workers reported the synthesis of a Novel ligand type  $N_2O_2$  and its complexes with Co(II), Cu(II) and Zn(II), which have been characterized by spectroscopic and elemental analysis[15]. The aim of the present study is to synthesis, characterize and evaluate the metal complexes as antibacterial agent as promising addition of new class of complexes as metal based drugs.

## MATERIALS AND METHODS

Chemicals used were of analytical grades; metals were used as chloride salts. The complexes were identified by absorption technique, using Schimadza (A.A) 680 G atomic absorption spectrophotometer at the laboratories of Ibn-Sinaa Company. I.R data were recorded as (KBr) disc using Schimadza 4800S FTIR spectrophotometer in the range (4000-400)  $cm^{-1}$  at the laboratories of Ibn-Sinaa Company.  $^1H$  NMR spectra were recorded in MeOH using Burcker 300 MHz spectrometer at the Al-Albeit University, Amman-Jordan. (Uv-vis.) spectra were obtained in (MeOH) on a CECIL, CE 2700 spectrophotometer in the range (200-900) nm using quartz cell, which measured at the college of Ibn- Al-Haithem. The Magnetic measurements were carried out on solid compounds using Bruker B.M6 instrumental at the Mosul University. Melting points were recorded on an electro thermal Stuart apparatus and are uncorrected. Electrical conductivity measurements of the complexes were recorded at 25C° for  $10^{-3}$  M solutions in (MeOH) as a solvent using a Wissenschaftlich Technique werkstatten, D1820 bweilheimI.F 42 conductivity meter at the college of Ibn- Al-Haithem. Chloride contents for complexes were determined potentiometrically by using (686-titro processor-665), Dosimat-metrom Swiss at the laboratories of Ibn-Sinaa company. Antibacterial screening was done at laboratories of medical city, Baghdad using agar diffusion technique [16, 17].

### Preparation of the ligand [HL]:

Phenylalanine (1 g, 6.0 mmol), was added to (10 ml), (0.24g, 6.0 mmol) sodium hydroxide-methanol solution, the mixture was stirred until a clear solution was obtained. A solution of (0.74 g, 6.0 mmol) of 2-hydroxy bezaldehyde in (10ml) methanol was added to the reaction

mixture, which was catalyzed with (5drops) of glacial acetic acid and stirred for (3 hours). Yellow precipitate was formed, filtered, washed with ethanol, and re-crystallised from hot methanol to give a yellow crystals [18]. Yield (67%), (1.9gm), mp (225-232°C).

**Preparation of [HL] complexes with metal ions:**

A solution of (0.23g, 0.42 mmole) of [HL] ligand in (5ml) methanol, with (0.05g, 0.42mmol) potassium hydroxide-methanol solution (3ml), was added to stirred clear solution of (0.1g, 0.42 mmol)  $\text{CoCl}_2 \cdot 6\text{H}_2\text{O}$  in (5ml) methanol. Reaction mixture was refluxed for (4 hours), a dark-brown precipitate was formed, filtered and washed by water and re-crystallized with ethanol. The complexes  $\text{Na}_2[\text{Ni}(\text{L})_2]$ ,  $\text{Na}_2[\text{Cu}(\text{L})_2]$  and  $\text{Na}_2[\text{Zn}(\text{L})_2]$ , were obtained in a similar method to that mentioned in the preparation of  $\text{Na}_2[\text{Co}(\text{L})_2]$  complex described above. Physical properties of the prepared complexes were given in Table (1).

## RESULTS AND DISCUSSION

- **Synthesis of the ligand:**

The ligand [HL] was prepared according to the general method shown in scheme (1). The I.R spectral analysis of the ligand [HL], Table (2), Fig (3) showed phenolic ( $-\text{OH}$ ) band at (3433)  $\text{cm}^{-1}$ , and  $\nu(\text{C}=\text{N})$  band at (1638)  $\text{cm}^{-1}$ , also the spectrum showed bands at (1519)  $\text{cm}^{-1}$ , and (1404)  $\text{cm}^{-1}$  which assigned to  $\nu_{\text{as}}(\text{COO}^-)$  and  $\nu_{\text{s}}(\text{COO}^-)$  respectively and showed band at (1149)  $\text{cm}^{-1}$  which can be attributed to  $\nu(\text{C}-\text{O})$ phenolic group [15, 19-22]. Electronic spectral analysis of the ligand Table (3), Fig (5) showed four absorption peaks at ((231.5nm)(43290 $\text{cm}^{-1}$ )),  $\varepsilon_{\text{max}}$  (2426) molar $^{-1}\text{cm}^{-1}$ , ((248.5nm)(40241 $\text{cm}^{-1}$ )),  $\varepsilon_{\text{max}}$  (2503) molar $^{-1}\text{cm}^{-1}$ , ((316.1nm)(31645  $\text{cm}^{-1}$ )),  $\varepsilon_{\text{max}}$  (1149) molar $^{-1}\text{cm}^{-1}$ , and ((404.3nm)(24752 $\text{cm}^{-1}$ )),  $\varepsilon_{\text{max}}$  (777) molar $^{-1}\text{cm}^{-1}$ , which were attributed to ( $\pi \rightarrow \pi^*$ ), ( $\pi \rightarrow \pi^*$ ), ( $n \rightarrow \pi^*$ ) and ( $n \rightarrow \pi^*$ ) transition respectively [23,24].  $^1\text{H}$  NMR spectral analysis of the ligand (HL), Table (4), Fig (7) showed chemical shifts  $\delta$  (ppm) of phenolic proton at [10.4, 1H, S], [7.9, 1H, S] of (-CH=N-) proton of Schiff base. A multiple signals at rings [6-7 and 7-7.5] ppm for phenylalanine protons and phenolic – phenyl protons. (-CH) proton of (-C=N-CH-) group at [3.6, 1H, t], (-CH-) methylene group at [3.2, 2H, d]. a singlet high peak at (4.9)pmm for the MeOH solvent [19,20, 25, 26].

- **Synthesis of the complexes:**

Complexation of ligand [HL] with Co(II), Ni(II), Cu(II) and Zn(II) were carried out in MeOH. These complexes are stable in

solution. The analytical and physical data Table(1), and spectral data Table(2, and 3), are compatible with the suggested structure Scheme(1). The I.R spectra of the complexes  $[\text{Na}_2\text{[Co(L)]}_2]$  (1), Fig(4)],  $\text{Na}_2\text{[Ni(L)]}_2$  (2),  $\text{Na}_2\text{[Cu(L)]}_2$  (3) and  $\text{Na}_2\text{[Zn(L)]}_2$  (4) respectively, Table (2) exhibited the band at  $(1638)\text{ cm}^{-1}$  for free ligand spectrum which assigned to  $\nu(\text{C=N})$  imine group Shifted to lower frequency and appeared at  $(1627)\text{ cm}^{-1}$ ,  $(1625)\text{ cm}^{-1}$ ,  $(1627)\text{ cm}^{-1}$  and  $(1627)\text{ cm}^{-1}$  for complexes (1),(2),(3), and (4) respectively [15, 19-22]. These bands were assigned to the  $\nu(\text{C=N})$  stretches of reduced bond order, this can be attributed to the delocalization of metal-electron density into the ligand  $\pi$ -system ( $\text{HOMO}\rightarrow\text{LUMO}$ ) [27, 28], ( $\text{HOMO}=\text{Highest occupied molecular orbital}$ ,  $\text{LUMO}=\text{Lowest unoccupied molecular orbital}$ ). The phenolic ( $\text{C-O}$ ) stretching vibration appeared at  $(1149)\text{ cm}^{-1}$  for free ligand was Shifted to higher frequency and appeared at  $(1195)\text{ cm}^{-1}$ ,  $(1180)\text{ cm}^{-1}$ ,  $(1184)\text{ cm}^{-1}$  and  $(1188)\text{ cm}^{-1}$  for complexes (1), (2), (3) and (4) respectively, as well as the carboxylate group  $\nu_{\text{as}}(\text{COO}^-)$  and  $\nu_s(\text{COO}^-)$  appeared at  $((1519)\text{ cm}^{-1}$ , and  $(1404)\text{ cm}^{-1}$  in the free ligand was shifted to lower frequency and appeared at [(1494), (1391)], [(1501), (1388)], [(1466), (1392)] and [(1503), (1377)]  $\text{cm}^{-1}$  for the complexes (1),(2),(3), and (4) respectively, all that indicated a linkage between the oxygen of phenolic group and the oxygen of carboxylate group with the metal [17, 25, 27], also the spectra showed bands at  $(474)\text{ cm}^{-1}$ ,  $(440)\text{ cm}^{-1}$ ,  $(460)\text{ cm}^{-1}$  and  $(466)\text{ cm}^{-1}$  respectively, refer to  $\nu(\text{M-N})$  for complexes (1), (2), (3) and (4), these bands confirm the coordination of the nitrogen atom of the ligand to the metal center, while the bands at  $(516)\text{ cm}^{-1}$ ,  $(460)\text{ cm}^{-1}$ ,  $(497)\text{ cm}^{-1}$  and  $(490)\text{ cm}^{-1}$  assigned to  $\nu(\text{M-O})$  of complexes (1), (2), (3) and (4) respectively, these bands confirm the coordination of the oxygen atom of carboxylate group of the ligand to the metal center, and the bands at  $(531)\text{ cm}^{-1}$ ,  $(485)\text{ cm}^{-1}$ ,  $(543)\text{ cm}^{-1}$  and  $(500)\text{ cm}^{-1}$  assigned to  $\nu(\text{M-O})$  of complexes (1),(2),(3), and (4) respectively, theses bands indicating that the phenolic oxygen in the ligand is involved the coordination with metal ions in complexes [27, 29-32].

Electronic spectral analysis of the complexes, Table(3), : **Complex  $\text{Na}_2\text{[Co(L)]}_2$ :** showed one high intense peak at  $((245.3\text{nm})(40816\text{ cm}^{-1}))$ ,  $\varepsilon_{\text{max}} (2602)$  molar $^{-1}\text{cm}^{-1}$  were assigned to the ligand field, while a weak shoulder at  $((344.0\text{nm})(29069\text{ cm}^{-1}))$ ,  $\varepsilon_{\text{max}} (1093)$  molar $^{-1}\text{cm}^{-1}$  was assigned to (C.T), weak broad peaks at  $((548.0\text{nm})(18248\text{ cm}^{-1}))$ ,  $\varepsilon_{\text{max}} (63)$  molar $^{-1}\text{cm}^{-1}$ ,  $((668\text{nm})(14970\text{ cm}^{-1}))$ ,  $\varepsilon_{\text{max}} (18)$  molar $^{-1}\text{cm}^{-1}$ , were assigned to (d-d) electronic transition ( $^4\text{T}_{1g}\rightarrow^4\text{T}_{2g}$ ), and ( $^4\text{A}_{2g}\rightarrow^4\text{T}_{1g}$ ) respectively, suggesting octahedral geometry [24].

**Complex  $\text{Na}_2\text{[Ni(L)]}_2$ :** showed one high intense absorption at  $((240.2\text{nm})(41666\text{cm}^{-1}))$ ,  $\varepsilon_{\text{max}} (2532)$  molar $^{-1}\text{cm}^{-1}$  are due to the ligand

field, another high intense peak at ((365.0nm)(27397cm<sup>-1</sup>)),  $\varepsilon_{\max}$  (1072) molar<sup>-1</sup>cm<sup>-1</sup> was assigned to (C.T), while weak broad peaks at ((520.0nm)(19230cm<sup>-1</sup>)),  $\varepsilon_{\max}$  (56) molar<sup>-1</sup>cm<sup>-1</sup>, and ((618nm)(16181cm<sup>-1</sup>)),  $\varepsilon_{\max}$  (49) molar<sup>-1</sup>cm<sup>-1</sup>, were assigned to (d-d) electronic transition ( $^3A_{2g} \rightarrow ^3T_{2g}$ ), and ( $^3A_{2g} \rightarrow ^3T_{1g}$ ) respectively, suggesting octahedral geometry [24].

**Complex Na<sub>2</sub>[Cu(L)<sub>2</sub>]**, Fig(6): showed two high intense absorption peaks at ((243.8nm)(41152cm<sup>-1</sup>)),  $\varepsilon_{\max}$  (2581) molar<sup>-1</sup>cm<sup>-1</sup>, and ((269.0nm)(37174cm<sup>-1</sup>)),  $\varepsilon_{\max}$  (2217) molar<sup>-1</sup>cm<sup>-1</sup> are due to the ligand field, a high intense absorption peak at ((368.0nm)(27173cm<sup>-1</sup>)),  $\varepsilon_{\max}$  (911) molar<sup>-1</sup>cm<sup>-1</sup> was assigned to (C.T), while a weak broad peak at ((654.8nm)(15290cm<sup>-1</sup>)),  $\varepsilon_{\max}$  (28) molar<sup>-1</sup>cm<sup>-1</sup> was assigned to (d-d) electronic transition ( $^2E \rightarrow ^2T_2$ ) suggesting octahedral geometry [24].

**Complex Na<sub>2</sub>[Zn(L)<sub>2</sub>]**: showed two peaks at ((241.4nm)(41493cm<sup>-1</sup>)),  $\varepsilon_{\max}$  (2492) molar<sup>-1</sup>cm<sup>-1</sup> and ((271.1nm)(36900cm<sup>-1</sup>)),  $\varepsilon_{\max}$  (1886) molar<sup>-1</sup>cm<sup>-1</sup> are due to the ligand field. While a high intense peak at ((361.4nm)(26954cm<sup>-1</sup>)),  $\varepsilon_{\max}$  (1157) molar<sup>-1</sup>cm<sup>-1</sup> was assigned to (C.T), the d<sup>10</sup> configuration of Zn<sup>II</sup> ion along with the data obtained confirms an octahedral structure around the ion [24].

The molar conductance of the complexes in ethanol lie in the range (74.6–81.2 Ohm<sup>-1</sup>cm<sup>2</sup>mol<sup>-1</sup>), Table (3), indicating their electrolyte ratio (2:1) Na<sub>2</sub>[M(L)<sub>2</sub>] [33], as well as the mole ratio method for all complexes showed the molar ratio of (metal:ligand) as (1:2), Table (5), Fig (1,2), [34].

At the room temperature magnetic moments of the all complexes showed normal magnetic moment in (Table 3), the magnetic moment data were ca. (4.63), (3.42), (1.91) and (0.00) B.M for Co(II) in Na<sub>2</sub>[Co(L)<sub>2</sub>], Ni(II) in Na<sub>2</sub>[Ni(L)<sub>2</sub>], Cu(II) in Na<sub>2</sub>[Cu(L)<sub>2</sub>], and Zn(II) in Na<sub>2</sub>[Zn(L)<sub>2</sub>], respectively [35].

As a conclusion, all the spectral data about I.R, U.V-vis, atomic absorption, magnetic susceptibility measurements, mole ratio, and conductivity for supported the formation of the complexes, an octahedral geometry for Na<sub>2</sub>[Co(L)<sub>2</sub>], Na<sub>2</sub>[Ni(L)<sub>2</sub>], Na<sub>2</sub>[Cu(L)<sub>2</sub>] and Na<sub>2</sub>[Zn(L)<sub>2</sub>].

### Biological activity:

The antibacterial activity of the synthesized ligand [HL] and its complexes Na<sub>2</sub>[Co(L)<sub>2</sub>](1), Na<sub>2</sub>[Ni(L)<sub>2</sub>] (2), Na<sub>2</sub>[Cu(L)<sub>2</sub>] (3) and Na<sub>2</sub>[Zn(L)<sub>2</sub>] (4), Table (6), were examined utilizing the agar diffusion technique [36]. The organism examined was *Staphylococcus aureus*, *E. coli*, and *pseudomonas*. The agar media were inoculated with test organisms and a solution of the tested compound (100µg/ml) was placed separately in cups (6 mm diameter) in the agar medium, The

inhibition zones were measured after 24 hours incubation. Separate studies were carried out with the solution alone of DMSO and they showed no activity against any bacterial strains [37]. The results of these studies revealed that metals complexes showed an effective inhibition of the bacterial more effective in the inhibition of *Pseudomonas*. The ligand and ( $\text{Co}^{+2}$ ,  $\text{Ni}^{+2}$ ,  $\text{Cu}^{+2}$  and  $\text{Zn}^{+2}$ ) complexes were showed an inhibition effect in some strains of *E. coli*, and *Staphylococcus areus*, as shown in Table (4). Biological activity of the previous compounds in inhibition of bacterial growth could be attributed to one of the following mechanisms, the first mechanism is by the inhibition of the bacterial cell wall synthesis by bounding to the precursor of the cell wall, while second mechanism revealed that some antibodies have similar stereo structure to substrate (D-alanyl D-alanine, so it will act competitive inhibitions for the enzymes (transpeptidase and /or carboxypeptidase) which are the main enzymes catalyzed the end step in the biosynthesis of peptidoglycans of the bacterial cell wall, other mechanisms could contributed to the results found in the study which include the inhibition of biosynthesis of bacterial proteins by linking to the ribosome by doing so, the ribosome will not be in contact with tRNA, so the bacteria will not survive, an other mechanism was postulated that some antibodies inhibit the de novo synthesis of bacterial DNA by splitting DNA in DNA-enzyme complexes by inhibition DNA ligase [38-40].

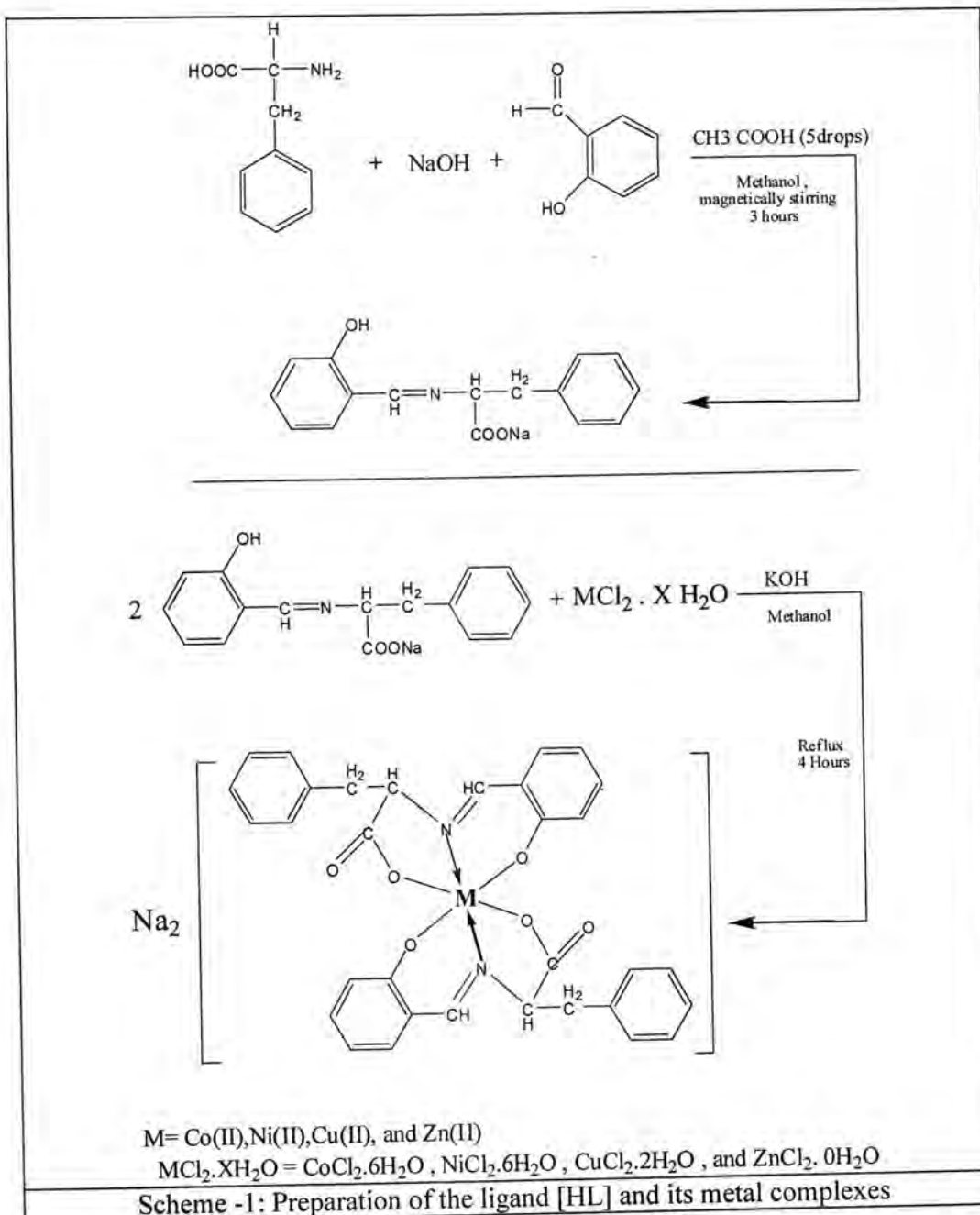


Table -1: The microanalysis results and some physical properties for the ligand  $[HL]$  and its metal complexes

Compounds	Formula	Colour	M.p. (°C)	Yield%	Chloride content	Metal	M wt
HL	$\text{C}_{16}\text{H}_{14}\text{NNaO}_3$	Yellow	225-232	80	Nil	-----	291.28
$\text{Na}_2[\text{Co(L)}_2](1)$	$\text{C}_{32}\text{H}_{26}\text{N}_2\text{Na}_2\text{O}_6\text{Co}$	Dark brown	270 dec.	48	Nil	9.93 (10.72)	639.47
$\text{Na}_2[\text{Ni(L)}_2](2)$	$\text{C}_{32}\text{H}_{26}\text{N}_2\text{Na}_2\text{O}_6\text{Ni}$	Light green	242 dec.	84	Nil	9.18 (9.30)	639.23
$\text{Na}_2[\text{Cu(L)}_2](3)$	$\text{C}_{32}\text{H}_{26}\text{N}_2\text{Na}_2\text{O}_6\text{Cu}$	Dark green	272 dec.	63	Nil	9.87 (10.53)	600.08
$\text{Na}_2[\text{Zn(L)}_2](4)$	$\text{C}_{32}\text{H}_{26}\text{N}_2\text{Na}_2\text{O}_6\text{Zn}$	Yellowish green	258 dec.	70	Nil	10.13 (11.10)	645.95

Dec.= decompose ( )= Calculation.

Synthesis of phenylalanine Schiff base Ligand and its Complexes with some metal (II) ions and evaluation of their antibacterial activity

Manhel

Table -2: Infrared spectral data(wave number  $\nu$ )  $\text{cm}^{-1}$  for the ligand [HL] and its metal complexes

Compound	$\nu(\text{C}=\text{N})$	$\nu(\text{O}-\text{H})$	$\nu_{\text{as}}(\text{COO})$ $\nu_s(\text{COO})$	$\nu(\text{C}=\text{C})$ Aromatic	$\nu(\text{C}-\text{H})$ Aromatic	$\nu(\text{C}-\text{H})$ Aliphatic	$\nu(\text{C}-\text{O})$	$\nu(\text{M}-\text{OOC})$	$\nu(\text{M}-\text{O})$	$\nu(\text{M}-\text{N})$
HL	1638	3433	1519 1404	1585	3028	2966	1149	----	----	----
$\text{Na}_2[\text{Co}(\text{L})_2](1)$	1627	----	1494 1391	1600	3024	2931	1195	516	531	474
$\text{Na}_2[\text{Ni}(\text{L})_2](2)$	1625	----	1501 1388	1597	3028	2958	1180	460	485	440
$\text{Na}_2[\text{Cu}(\text{L})_2](3)$	1627	----	1466 1392	1597	3024	2916	1184	497	543	460
$\text{Na}_2[\text{Zn}(\text{L})_2](4)$	1627	----	1503 1377	1600	3032	2931	1188	490	500	466

Table -3: Electronic spectral data for the ligand [HL] and its metal complexes

Compound	$\lambda$ nm	$\bar{\nu}$ $\text{cm}^{-1}$	$\epsilon_{\text{max}}$ molar $^{-1}\text{cm}^{-1}$	Assignment	Molar conductivity ohm $^{-1}\cdot\text{cm}^2\cdot\text{mol}^{-1}$	$\mu_{\text{eff}}$ B.M (calculation)	Geometry
HL	231. 5 248. 5 316. 1 404. 3	43290 40241 31645 24752	2426 2503 1149 777	$\pi \rightarrow \pi^*$ $\pi \rightarrow \pi^*$ $n \rightarrow \pi^*$ $n \rightarrow \pi^*$	-----	-----	-----
$\text{Na}_2[\text{Co}(\text{L})_2](1)$	245. 3 344. 0 548. 0 668	40816 29069 18248 14970	2602 1093 63 18	Ligand field C.T ${}^4T_{1g} \rightarrow {}^4T_{2g}$ ${}^4A_{2g} \rightarrow {}^4T_{1g}$	62.3	3.87 (4.63)	Octahedral
$\text{Na}_2[\text{Ni}(\text{L})_2](2)$	240. 2 365. 0 520 618. 2	41666 27397 19230 16181	2532 1072 56 49	Ligand field C.T ${}^3A_{2g} \rightarrow {}^3T_{2g}$ ${}^3A_{2g} \rightarrow {}^3T_{1g}$	74.6	2.83 (3.42)	Octahedral
$\text{Na}_2[\text{Cu}(\text{L})_2](3)$	243. 8 269. 0 368. 0 654. 8	41152 37174 27173 15290	2581 2217 911 28	Ligand field Ligand field C.T ${}^2E \rightarrow {}^2T_2$	69.1	1.73 (1.91)	Octahedral
$\text{Na}_2[\text{Zn}(\text{L})_2](4)$	241. 4 271. 1 361. 4	41493 36900 26954	2492 1886 1157	Ligand field Ligand field C.T	81.2	-----	Octahedral

Table -4:  $^1\text{H}$  NMR data for the ligand ( $\text{H}_3\text{L}$ ) measured in ( $\text{DMSO-d}^6$ ) and chemical shift in ( $\delta$  ppm)

Compound	Functional Group	$\delta$ ppm
HL	Phenolic(OH)	10.4 s
	$-\text{N}=\text{CH}-$	7.9 s (1H)
	aromatic protons	6-7.5 m (10H)
	$\text{N}-\text{CH}-\text{COONa}$	3.6 t (1H)
	$\text{Ph}-\text{CH}_2$	3.2 d (2H)
	MeOH (Solvent)	4.9 s

s = singlet, m = multiple, d= duplet, t= triplet

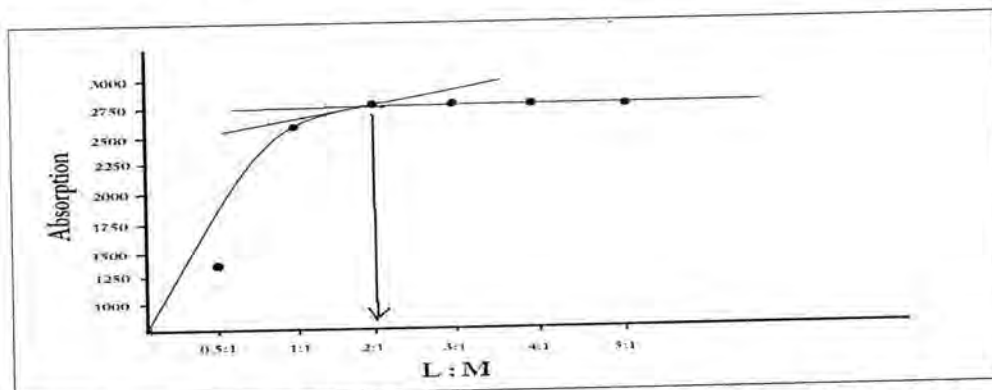
Table-5: The absorbance values against mole- ratio values of complex  $\text{Na}_2[\text{M(L)}_2]$ 

Compound	$\lambda \text{ nm}$	$\epsilon_{\text{max}}$ molar $^{-1}$ cm $^{-1}$ L:M (0.5:1)	$\epsilon_{\text{max}}$ molar $^{-1}$ cm $^{-1}$ L:M (1:1)	$\epsilon_{\text{max}}$ molar $^{-1}$ cm $^{-1}$ L:M (2:1)	$\epsilon_{\text{max}}$ molar $^{-1}$ cm $^{-1}$ L:M (3:1)	$\epsilon_{\text{max}}$ molar $^{-1}$ cm $^{-1}$ L:M (4:1)	$\epsilon_{\text{max}}$ molar $^{-1}$ cm $^{-1}$ L:M (5:1)
$\text{Na}_2[\text{Co(L)}_2](1)$	245	1287	2602	2722	2721	2721	2723
$\text{Na}_2[\text{Ni(L)}_2](2)$	240	1278	2532	2678	2678	2677	2678
$\text{Na}_2[\text{Cu(L)}_2](3)$	243	1233	2581	2635	2636	2635	2635
$\text{Na}_2[\text{Zn(L)}_2](4)$	241	1101	2492	2592	2592	2591	2592

Table -6: Biological activity of the ligand [HL] and its metal complexes

Compound	Bacteria (zone of inhibition (diameter mm))									
	Pseudomonas		E. coli				Staphylococcus aureus			
	P <sub>1</sub>	P <sub>2</sub>	E <sub>1</sub>	E <sub>2</sub>	E <sub>3</sub>	E <sub>4</sub>	S <sub>1</sub>	S <sub>2</sub>	S <sub>3</sub>	S <sub>4</sub>
HL	11	14	10	11	9	Nil	9	9	Nil	Nil
$\text{Na}_2[\text{Co(L)}_2](1)$	11	8	Nil	8	15	8	Nil	Nil	Nil	Nil
$\text{Na}_2[\text{Ni(L)}_2](2)$	12	14	10	9	12	15	Nil	Nil	Nil	Nil
$\text{Na}_2[\text{Cu(L)}_2](3)$	19	15	8	8	Nil	9	Nil	Nil	Nil	Nil
$\text{Na}_2[\text{Zn(L)}_2](4)$	10	16	8	11	11	14	Nil	Nil	Nil	8

P= *Pseudomonas* , E = *E. coli* , S= *Staphylococcus aureus*

Fig -1: The mole-ratio curve the complex  $\text{Na}_2[\text{Co(L)}_2]$

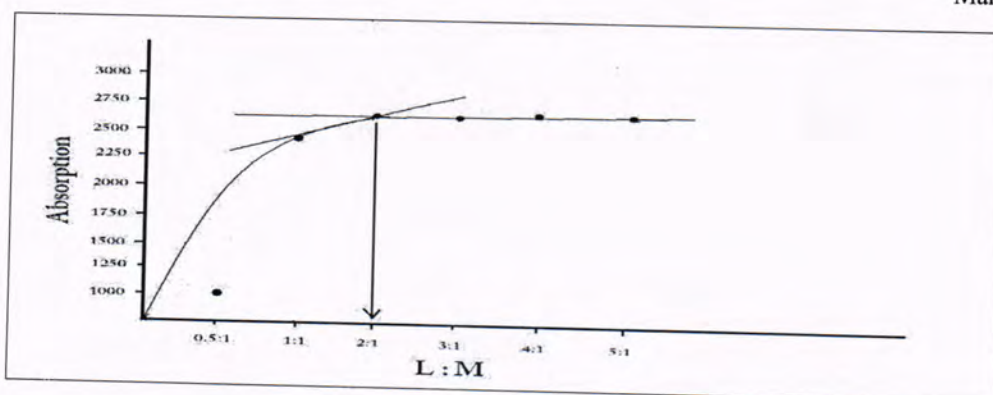


Fig -2: The mole-ratio curve the complex  $\text{Na}_2[\text{Zn}(\text{L})_2]$

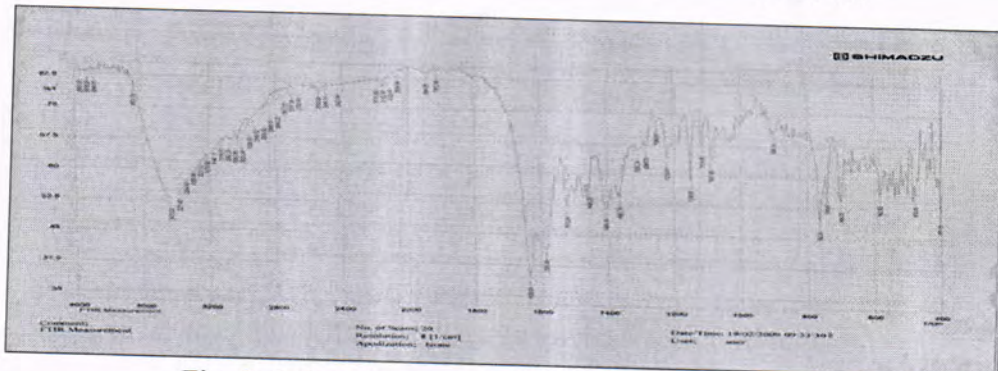


Fig -3: Infrared spectrum of the ligand (HL)

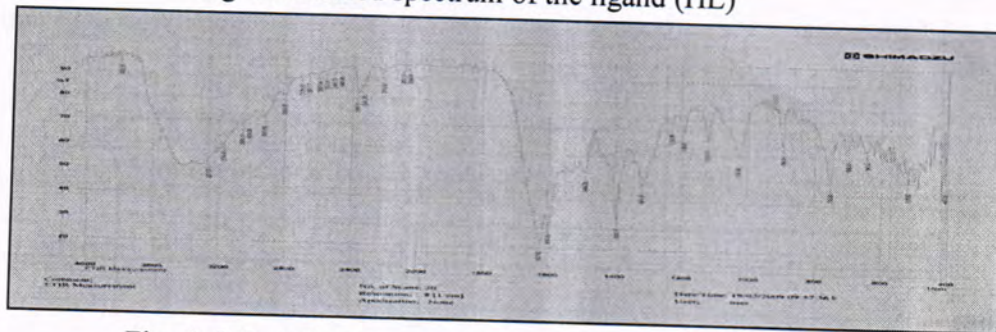


Fig -4: Infrared spectrum of the complex  $\text{Na}_2[\text{Co}(\text{L})_2]$

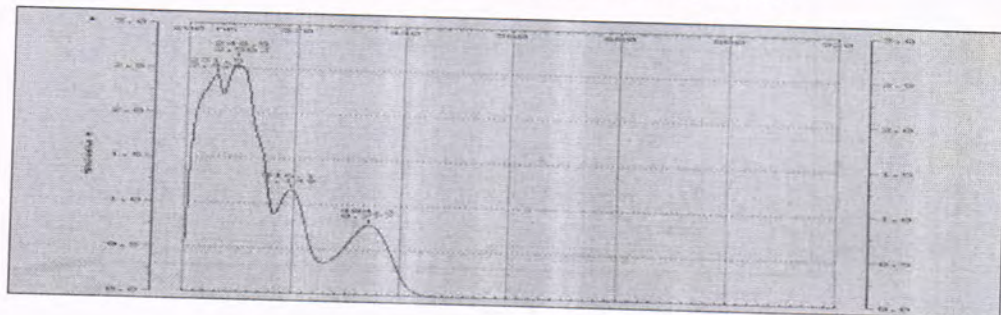


Fig -5: Electronic spectrum of the ligand (HL)

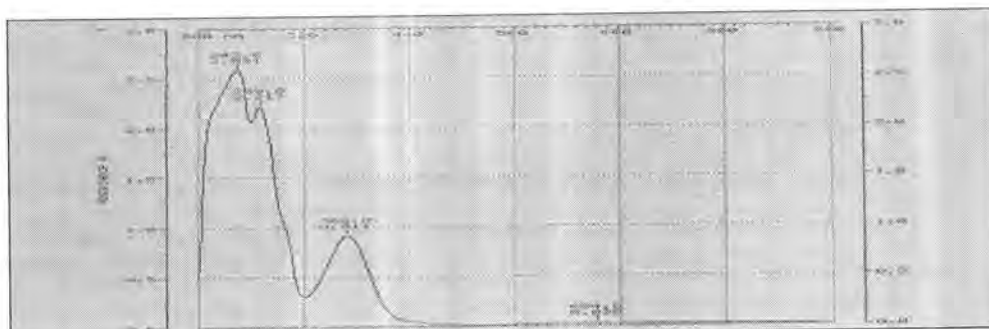
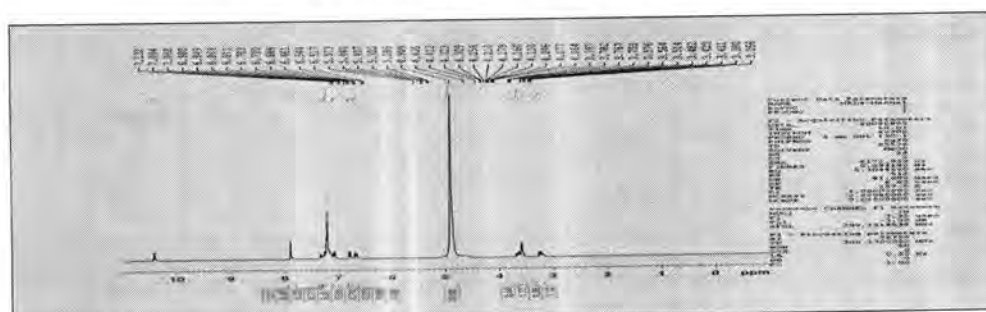
Fig -6: Electronic spectrum of the complex  $\text{Na}_2[\text{Cu}(\text{L})_2]$ 

Fig -7: H1 NMR spectrum of the ligand (HL)

## REFERENCES

1. K. Y. , A.Mayer , K.K.Cheung , "Synthesis of transition metal isocyanid complexes hydrogen bonding sits in peripheral location" , Inorg, Chim, Acta , 285:223-232 (1999).
2. A.S.Shawali, N.M.S.Harb, K.O.Baghdad, "A study of tautomerism in diazonium coupling products of 4-hydroxycoumrin", J. Hetrocyclic Chem ,22:1397-1403(1985) .
3. Chohan ZH , Scozzafava A , Supuran CT : Journal of enzyme inhibition and Medical Chemistry; 18(3):259-263(2003).
4. Maggio F. Pellerito A.,Pellerito L.,Grimaudo S.,Mansueto C., Vitturi R., : Organometallic complexes with biological molecules II. Applied Organo-metallic Chemistry ;28A:719(1994).
5. Tang J.C. ,Lui W.S., Chan M.Y. , Chin A.S.C. :Chemistry .Lett. ;12:757-760(2001).
6. C. M. Lui , R. G. Xiong , X. Z. You , Y , J. Lui , and K. K. Chenung Polyhydron , 15 : 4565-4571(1996) .
7. S. S. Djebbar , B. O Benanli and J. P. Ddeloume : Trans . Met. ; 23:443-447(1998).
8. Hamada, Y. J. The development of chelate metal complexes as an organic electroluminescent material. IEEE Trans.Electron Devices, , 44, 1208-1217(1997).

9. Chohan ZH, Praveen M, Ghaffar A. Structural and biological behaviour of Co(II), Cu(II) and Ni(II) metal complexes of some amino acid derived Schiff-bases. *Metal-Based Drugs*;4(5):267–272(1997).
10. Chohan ZH, Scozzafava A, Supuran CT. Unsymmetrical 1,1-disubstituted ferrocenes: synthesis of Co(II), Cu(II), Ni(II)and Zn(II) chelates of ferrocenyl -1-thiadiazolo-1-tetrazole, -1-thiadiazolo-1-triazole and -1-tetrazolo-1-triazole with antimicrobial properties. *Journal of Enzyme Inhibition and medical Chemistry*;17(4):261–266(2002).
11. Chohan ZH, Kausar S. Synthesis, structural and biological studies of nickel(II), copper(II) and zinc(II) chelates with tridentate Schiff bases having NNO and NNS donor systems. *Chemical and Pharmaceutical Bulletin*;41(5):951–953(1993).
12. Ul-Hassan M, Chohan ZH, Scozzafava A, Supuran CT. Carbonic anhydrase inhibitors: Schiff's bases of aromatic and heterocyclic sulfonamides and their metal complexes. *Journal of Enzyme Inhibition and Medicinal Chemistry*;19(3):263–267(2004).
13. Ul-Hassan M, Chohan ZH, Supuran CT. Antibacterial Zn(II)compounds of Schiff bases derived from some benzothiazoles. *Main Group Metal Chemistry*;25(5):291–296(2002).
14. Mohamad Jaber Al-Jeboori, Hasan Ahmad Hasan, Worood A. Jaafer Al-Sa'idy, Formation of polymeric chain assemblies of transition metal Transition complexes with a multi dentate Schiff-base", *Transition Met Chem*, 34:593–598, (2009).
15. A. Thabet , and co-workers "Synthesis and characterization of novel ligand type  $N_2O_2$  and its complexes Co(II), Cu(II), Ni(II), and Zn(II) and Cd(II) , ions", *Ibn Al-Haithem journal for pure and applied science* ;2,22(2009).
16. Cruickshan K, J.P.; Duguid, P.; Marmion, R.H.; Swain HA, Tests for sensitivity to antimicrobial agents. In: *Medical Microbiology*, 12<sup>th</sup> edition. Churchill living stone, Edinburgh: 190-204,(1975).
17. Clinical and laboratory standards institute (CLSI), performance standards antimicrobial susceptibility testing. Fifteenth informational supplement, CLSI document M100-S15, Wayne, USA, (2005).
18. Iffet Sakiyan ; Necla Gunduz ;Turgut Gunduz , "Synthesis and Characterization of Manganese(III) complexex of Schiff basess derived from amino acid and 2-hydroxy-1-naphtadehde", *Synthesis and Reactivity in Inorganic, Metal-Organic, and Nano-Metal Chemistry*, 1553-3182, Volume 31, Issue 7, Pages 1175–1187(2001).

19. V. M. Parikh , "Absorption spectroscopy of organic molecules " Translated by Abdul Hussain Khuthier , Jasim M. A. AlRawi , and Muhammed A. Al-Iraqi (1985) .
20. Robert M. Silver Schtein , Bassler and Morril , "Specrophotometer identification of organic compound" Translated by Dr. Hadi Khazem Awad , Dr. Fahad Ali Hussain and Sabri – Azawi, 5<sup>th</sup>ed (1981) .
21. M. Silver and G. C. Bassler , spectrometric identification of organic compounds 4<sup>th</sup>ed J. wiely and sons (1981) .
22. S. C. Singh, and V. P. Tyagi, Inorg. Met. Org. Chem.,31(10), 1759(2001) .
23. William Kemp "Organic spectroscopy " 2<sup>nd</sup>edition , (1987) .
24. A. B. P. Lever , "Inorganic electronic spectroscopy " , New york . 6 , 121 , (1968) .
25. Bellamy,L. J., "The Infrared spectra of complex molecules, "Hasted press,Division of John Willey and Sons, Inc., New York ,(1975).
26. Cooper,J.W., "Spectroscopic Techniques for organic Chemistry",John Willey and sons, New York, (1980) .
27. Nakamoto "Infrared spectra of inorganic and coordination compound" 4<sup>th</sup>ed. J. wiely and sons , New york (1996)
28. R. K. Agarwal , S. Prased and N. Gahlot. Turk . J. Chem. , 28 , 415 , (2004) .
29. M. J. Al-Geboori , National Journal of chemistry , 23 , 352 (2006) .
30. K. C. Raju and P. K. Radhakrishnan "complexes of copper with 2,3-dimethyl-4-formyl(benzhydrazide)-1- phenyl-3-pyrazolin-5-one" synthesis and reactivity in inorganic and metal – organic chemistry , 33 , no.8 , pp. (1307-1318), (2003) .
31. A. S. El-Table and T. I Kasher , polish J. Chem 72 , 519 , (1998) .
32. N. N. Green wood and A. Earnshaw "Chemistry of the elements " J. wiely and sons Inc. New York (1997) .
33. Geary, W. J., The use of conductivity measurements in organic solvents for the characterization of coordination compounds. Coord. Chem. Rev, 7 , 81-115(1971).
34. A. M. Al-Haidary "Instrumental Chemical Analysis" for stage 4, College of education, Baghdad (1992).
35. J. E., Huheey, "Inorganic Chemistry : principles of structure and Reactivity", 4<sup>th</sup> ed Harper International Edition , Harper and Row publishers , New York (1993) .
36. Ali M.M, Ismail M.M.F., Al-Gaby M.S.A., Zahram M.A., and Ammar Y.A. Molecules;5: 864-873(2000).
37. Zahid H. Choton , M. Arif , Muhammed A. Akhtar and Claudiu T. supuran , "Metal-Based Antibacterial and Antifungal Agents:Synthesis, Characterization, and In Vitro Biological Evaluation of Co(II), Cu(II), Ni(II), and Zn(II) ComplexesWith

- Amino Acid-Derived Compounds" Bioinorganic chemistry;5: 3(2006).
38. Baron , E. J. ; Chang , R. S. :" Howed ,H. D. Medical Microbiology," Wiely Liss. Publication , New York (1994).
39. P. R. Murray , E. J. Baron , M. A. P. Faller , F. C. Tenover R. H. Yken (ed.) Manual of clinical microbiology , 7<sup>th</sup> ed , Asa press , Washington , USA (1991).
40. Hopper D. C.: Quinolones, In. G. L. Mandell , J. E. Bennett , R. Dolin(ed.) Mandell , Douglas and Bentell , S:" principles and practice infections disease ". 5<sup>th</sup> ed. Churchill Livingstone, Philadelphia: 404-423(2002).

## Synthesis of New Heterocyclic Compounds Derived From 2-Amino-2-(4-Hydroxy Phenyl) Acetic Acid and Study of Their Effects on Monoamineoxidase (MAO) Activity

Sahar A. Kadhom, Shaemaa H. Abdul sada, Ghasak J. Kashtal, Abdul- Jabber K. Atia and Mohammed Abdulla

Department of Chemistry, College of Science, AL-Mustansiriyah University

Received 22/7/2009 – Accepted 10/5/2010

### الخلاصة

تم في هذا البحث تحضير 4-(4-هيدروكسي فينيل)-2-مثيل-، اوکسازول-5-(4H)-اون (1) من تفاعل الحامض الاميني (2-أمينو-2-[4-هيدروكسي فينيل] حامض الخليك مع انيهيدريد الخليك وبعدها حول الى مشتق الایمیدازول(1-أمينو-4-(4-هيدروكسي فينيل)-2-مثيل(1H)-ايمیدازول-5-(4H)-اون (2) بتفاعله مع الهيدرازين المائي. مشتقات الایزوومېنات (3a-d) حضرت من الالديهيدات الاروماتية مع المشتق (2) بينما يؤدي تفاعل الایزوومېنات (3a-d) مع 3,5-داینایترو بنزوييل كلوريد الى فتح مجموعة ازومېنات معطيا المشتقات (4a-d) و التي عند تسخينها مع الثابيوبوريا في الايثانول المطلق يعطي المشتقات 1-[5,2-(4-(4H)-اون-ايمیدازول-3-هيدروكسي فينيل)-4-اوکسو-ایمیدازول-3-(4H)-یل] (4b) (4H)-مثيل ايميدوثابوکاربامات (5a-d). شخصت المركبات المحضرة باستخدام بعض الطرائق الطيفية (مطيافية الاشعه تحت الحمراء (IR) ومطيافية الاشعه فوق البنفسجية والمرئيه (UV) Visible, (C.H.N.) . تم دراسة تاثير المركبات المحضرة على فعالية انزيم مونو امينو اوکسیديز (MAO) في مصل الدم . حيث ظهر أن جميع المركبات (باستثناء المركبات 4a, 4d, 5c, 5d ) لها القابلية على تثبيط فعالية الانزيم . أخيرا تم دراسة الخواص الحركية لهذه المركبات مع الانزيم حيث وجد أن المركبات (3a, 3c, 3d , 4b 4c and 5a) تسبب تثبيط تنافسي للأنزيم بينما المركبات (1, 2, 3b and 5b) تسبب تثبيط من النوع المختلط .

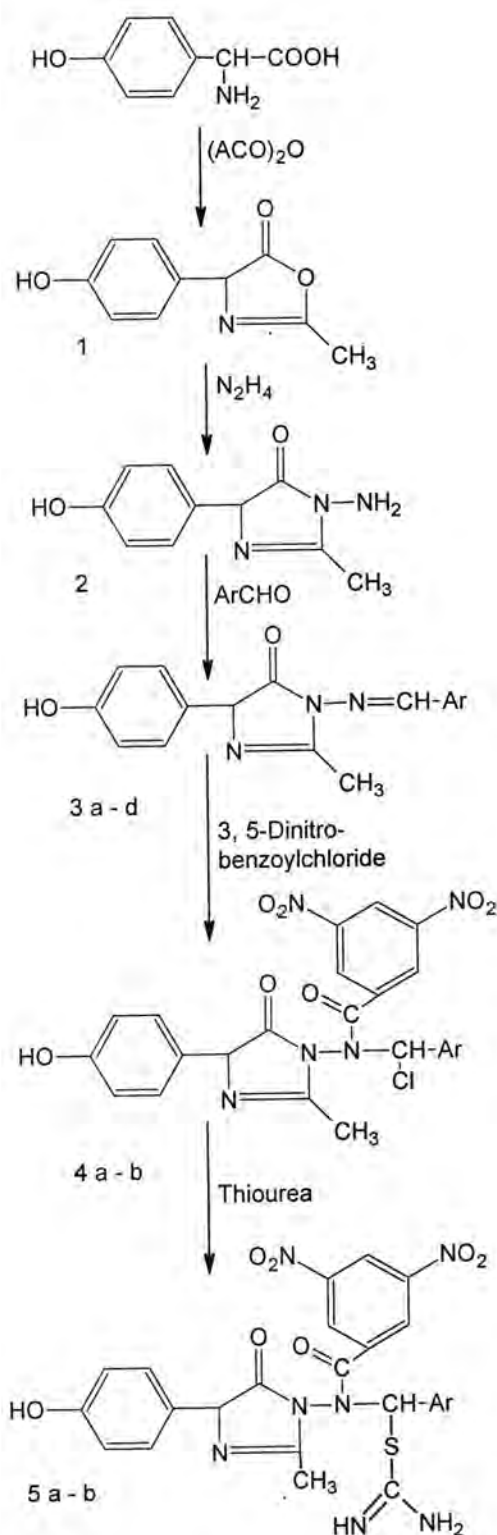
### ABSTRACT

In this work 4-(4-hydroxyphenyl)- 2-methyl-oxazol-5-(4H)-one(1) was synthesized from reaction of amino acid [2-amino-2-(4-hydroxy phenyl) acetic acid] with acetic anhydride and then converted into the 1-amino-4-(4-hydroxyphenyl)-2-methyl-1H-imidazole-5(4H)-one (2) by reaction with hydrazine hydrate. The azomethine (3a – d) were synthesized from the reaction of compound (2) with aromatic aldehydes. Reaction of compounds (3a – d) with 3,5-dinitrobenzoylchloride leads to addition reaction of double bond azomethine group give (4a – d) derivatives, which upon refluxing with thiourea in absolute ethanol yield 1-[[(2,5-dinitrobenzoyl)[2-methyl-5-(4-hydroxyphenyl)-4-oxo-imidazol-3-(4H)-yl] amino (aryl) methyl imidothiocarbamate derivatives (5a – d). The synthesized compounds were confirmed by their IR , UV. Visible Spectra and elemental analysis (C.H.N.). Effect of the synthesized compounds on human serum MAO activity were studied, the results showed that all compounds (except compounds 4a, 4d, 5c and 5d) cause inhibition to the enzyme activity. Kinetic parameters were studied and the results showed that compounds (3a, 3c, 3d , 4b, 4c and 5a ) acted as competitive inhibitors, while compounds (1, 2, 3b and 5b ) caused mixed type of inhibition.

### INTRODUCTION

Imidazole is an organic compound with the formula C<sub>3</sub>H<sub>4</sub>N<sub>2</sub>. This aromatic heterocyclic is classified as an alkaloid. Imidazole refers to the parent compound whereas imidazoles are a class of heterocyclic with

similar ring structure but varying substituents. This ring system is present in important biological building blocks such as histidine, and the related hormone histamine. Imidazole can serve as a base and as a weak acid. Many drugs contain an imidazole ring, such as antifungal drugs and nitroimidazole. Some imidazole compounds inhibit the biosynthesis of ergosterol, required in cell membrane in fungal. Also, They have antibacterial, antifungal, antiprotozoal, and anthelmintic activity<sup>(1-5)</sup>. Imidazole was first synthesized by Heinrich Debus in 1858, but various imidazole derivatives had been discovered as early as the 1840. synthesis used glyoxal and formaldehyde in ammonia liquid to form imidazole.<sup>(6)</sup> This synthesis, while producing relatively low yields, is still used for creating C-substituted Imidazole. Monoamine oxidase (E C 1. 4. 3. 4.) is a metabolically important enzyme which catalyzes the deaminating oxidation of amines to corresponding aldehydes producing hydrogen peroxide and free primary amine (for secondary amine) or free ammonia (for primary amine)<sup>(7)</sup> The best known reaction catalyzed by this enzyme is the deaminating oxidation neurologically active norepinprine into inactive 3-methoxy-4-hydroxy-benzaldehyde and other monoamine neurotransmitters, such as dopamine and serotonin<sup>(8)</sup> MAO is a Flavin Adenine Dinucleotide (FAD) containing enzyme which catalyzed the oxidation of amines to corresponding aldehyde and ammonia using O<sub>2</sub> as an electron acceptor<sup>(9)</sup>



Ar = furfuryl , 3, 4, 5-(OH)<sub>3</sub>C<sub>6</sub>H<sub>2</sub> , 4-Br-C<sub>6</sub>H<sub>4</sub> , 2-NO<sub>2</sub>-C<sub>6</sub>H<sub>4</sub>

Scheme 1

## MATERIALS AND METHODS

Melting point were determined in open capillary tubes on Gallen Kamp melting point apparatus and are uncorrected. The IR spectra (KBr-discs) were recorded with a pye-Unicam SP-300 spectrometer. UV. Visible spectra were recorded on Hitachi-2000 spectrophotometer using absolute ethanol or methanol as solvent.

Synthesis of 4-(4-hydroxyphenyl)-2-methyl-oxazol-5-(4H)-one(1)<sup>(10)</sup>  
A mixture of amino acid (2-amino-2-(4-hydroxyphenyl)acetic acid (5 gm) and (15 ml) acetic anhydride was refluxed for 3 hrs. Excess of acetic anhydride was evaporated and the residue was purified by column chromatography silica gel and mixture of(ethanol: water) (7:3) as eluant. m.p (°C) (oily) (yield 58 %). IR.(KBr) (v, Cm<sup>-1</sup>) 3440 (OH),2970-2883 (C-H alph.), 3030 (C-Har) 1705 (C=O),1650 (C=N) 1610-1500 (C=Car),1260 (CO);UV(MeOH)(λ<sub>max</sub>)326nm,250nmC.H.N.(MWt:191)(Calcu./Fou.%) C(62.82/61.21), H(4.74/5.34), N(7.33/8.65).

Synthesis of 1-amino-4-(4-hydroxyphenyl)-2-methyl-1H-imidazole-5(4H)-one (2)<sup>(10)</sup>

To a solution of compound (1) (1.9 g, 0.01 mole) in dry benzene (10 ml), hydrazine (10 ml) (99 %) was added. The mixture was relaxed for (7 hrs), the solvent was removed and the solid product was collected and crystallized from methanol. m.p (°C) (156-158) (yield 78) % IR.(KBr) (v, Cm<sup>-1</sup>) 3440 (OH), 3310-3220 (NH2), 2980-2880 (C-H alph.), 3060(C-Har) 1670 (C=O), 1630 (C=N) 1580-1470 (C=Car), 1270 (C-N); UV (EtOH) (λ<sub>max</sub>) 346 nm, 288nm; C.H.N.(MWt:205)(Calcu./Fou. %) C(58.53/59.91), H(5.40/5.98), N(20.48/21.45).

Synthesis of Schiff's bases (3a - c)<sup>(11)</sup>

To a stirring solution of compound (2) (2.05 g ,0.01 mole) in absolute ethanol (15ml), the appropriate aldehyde for (0.01 mole) was added, then the mixture was refluxed for (3 hrs) and cooled to room temperature. The precipitate was filtered and recrystallized from appropriate solvent. If the product is oily, it is purified by column chromatography with silica gel.

3a. m.p (°C) (130-132 (dec.) (Benzene as eluant) (yield 65 %) IR.(KBr) (v, Cm<sup>-1</sup>) 3450 (OH), 3060 (C-Har), 2988-2810 (C-H alph.),1710 (C=O) 1640 (C=N), 1570-1480 (C=Car), 1100 (C-O-C); UV (EtOH) (λ<sub>max</sub>) 361 nm, 240nm; C.H.N.(MWt:270)(Calcu./Fou. %) C(59.11/59.76), H(4.46/5.21), N(20.68/20.39)

- 3b.** m.p (°C) (285-288 (dec.))(Ethanol as eluant) (yield 67 %) IR.(KBr) (v, Cm<sup>-1</sup>) 3450 (OH), 3050 (C-Har), 2980-2890 (C-H alph.), 1700 (C=O) 1650 (C=N), 1600-1510 (C=Car); UV (EtOH) ( $\lambda_{\text{max}}$ ) 395 nm, 222nm; C.H.N.(MWt:203)(Calcu./Fou. %) C(62.22/59.96), H(4.48/3.88), N(15.55/15.50)
- 3c.** m.p (°C) (205-207) (Ethanol : water 7:3 as eluant) (yield 88 %) IR.(KBr) (v, Cm<sup>-1</sup>) 3440 (OH), 3060 (C-Har), 2971-2890 (C-alph.), 1695 (C=O) 1650 (C=N), 1570/1480(C=Car)840(CBr);UV(EtOH)( $\lambda_{\text{max}}$ )309nm,210nm;C.H.N.(MWt:359)(Calcu./Fou.%)C(53.50/54.01), H(3.65/4.26), N(11.70/11.79)
- 3d.** m.p (°C) (173-175)(Ethanol as eluant) (yield 93 %) IR.(KBr) (v, Cm<sup>-1</sup>) 3440 (OH), 3055 (C-Har), 2990-2890 (C-H alph.), 1705 (C=O) 1670 (C=N), 1610-1510 (C=Car) 1540-1460 (NO<sub>2</sub>) ; UV (EtOH) ( $\lambda_{\text{max}}$ ) 375 nm, 218nm;C.H.N.(MWt:325)(Calcu./Fou. %) C(51.76/52.93), H(3.53/3.12), N(18.86/19.78).

Synthesis of chloro(aryl)methyl-5-(4-hydroxyphenyl)-2-methyl-3,5-dihydro-4H-imidazole-4-one-3-yl)-3,5-dinitrobenzamide (4a - d).<sup>(11)</sup>

To a stirring solution of compound (3a - d) (0.005 mole) in dry benzene (15ml) a mixture of (3,5-dinitrobenzoylchloride) (0.005 mole) and benzene (10 ml) was added dropwise. After that the mixture was refluxed for (1 hrs) with continuous stirring, colored crystals were precipitated and recrystallized from appropriate solvent. If the product is oily, it is purified by column chromatography with silica gel.

- 4a.** m.p (°C) (oily)( Benzene :Ethanol 2:8 as eluant) (yield 68 %) IR.(KBr) (v, Cm<sup>-1</sup>) 3460 (OH), 3040 (C-Har) 2970-2880 (C-H alph.), 1700 (C=O), 1680 (C=Oamide), 1580-1460 (C=Car), 1550-1460(NO<sub>2</sub>), 760 (C-Cl); UV (EtOH) ( $\lambda_{\text{max}}$ ) 325 nm, 201nm;C.H.N.(MWt:488)(Calcu./Fou. %) C(49.14/50.81), H(3.09/3.67), N(14.33/15.06)

- 4b.** m.p (°C) (300 (dec))(Ethanol) (yield 72 %) IR.(KBr) (v, Cm<sup>-1</sup>) 3425 (OH), 3060(C-Har) 2970-2870 (C-H alph.), 1690 (C=O), 1640 (C=Oamide), 1580-1480 (C=Car), 1520-1470(NO<sub>2</sub>), 750 (C-Cl); UV (EtOH) ( $\lambda_{\text{max}}$ ) 281 nm, 205nm;C.H.N.(MWt:546)(Calcu./Fou. %) C(48.32/49.79), H(3.13/4.05), N(12.81/13.69)

- 4c.** m.p (°C) (oily)( Benzene:chloroform7:3 as eluant) (yield 80 %) IR.(KBr) (v, Cm<sup>-1</sup>) 3450 (OH), 3060(C-Har) 2975-2890 (C-H alph.), 1700 (C=O), 1660 (C=Oamide), 1560-1450 (C=Car), 1510-1420(NO<sub>2</sub>), 750 (C-Cl); UV (EtOH) ( $\lambda_{\text{max}}$ ) 351 nm, 215nm; C.H.N. (MWt:577) (Calcu./Fou. %) C(45.74/46.56), H(2.79/3.56), N(12.12/13.34)

- 4d.** m.p (°C) (212-214)(Benzene) (yield 66 %) IR.(KBr) (v, Cm<sup>-1</sup>) 3430 (OH), 3050(C-Har) 2980-2880 (C-H alph.), 1690 (C=O), 1635

Sahar, Shaemaa, Ghasak, Abdul-Jabber and Mohammed

(C=Oamide), 1600-1510 (C=Car), 1530-1450(NO<sub>2</sub>), 740 (C-Cl); UV (EtOH) ( $\lambda_{\text{max}}$ ) 346 nm, 209nm; C.H.N.(Mwt:543)(Calcu./Fou. %) C(48.59/47.33), H(2.97/2.13), N(15.45/15.99)

Synthesis of 1-[(3,5-dinitrobenzoyl)(2methyl-5-(4-hydroxyphenyl)-4-oxo-imidazol-3(4H)-yl)]amino(aryl) methyl imidothiocarbamate(5a - d).  
(12)

In a (100 ml) round bottom flask, a mixture of (0.005 mole) of compounds (4a - d) and (0.38 g, 0.005 mole) thiourea dissolved in (20 ml) absolute ethanol and (0.5 g, 0.005 mole) of anhydrous sodium carbonate. The final mixture was refluxed for (4hrs) with continuous stirring. The reaction mixture was filtered to remove sodium chloride, then the filtrate was transferred to a beaker containing ice water, and the precipitate crystals products were filtered to yield colored crystals of compounds (5a - d).

**5a.** m.p (°C) (188-190)( Ethanol:H<sub>2</sub>O) (yield 56 %) IR. (KBr) (v, Cm<sup>-1</sup>) 3460 (OH), 3340-3200 (NH<sub>2</sub>), 3170 (NH), 3020 (C-Har) 2970-2880 (C-H alph.), 1690 (C=O), 1630 (C=Oamide) 1510-1460 (NO<sub>2</sub>), 650 (C-S); UV (EtOH) ( $\lambda_{\text{max}}$ ) 354 nm, 264nm; C.H.N.(Mwt:516)(Calcu./Fou. %) C(46.51/47.54), H(3.51/3.22), N(18.98/18.27)

**5b.** m.p (°C) (250-252) Ethanol:H<sub>2</sub>O (yield 75 %) IR .(KBr) (v, Cm<sup>-1</sup>) 3460 (OH), 3310-3230 (NH<sub>2</sub>), 3180 (NH), 3050 (C-Har) 2985-2890 (C-H alph.), 1685 (C=O), 1650 (C=Oamide) 1500-1450 (NO<sub>2</sub>), 630 (C-S); UV (EtOH) ( $\lambda_{\text{max}}$ ) 256 nm, 206nm; C.H.N.(Mwt:574)(Calcu./Fou. %) C(45.99/44.71), H(3.51/3.65), N(17.07/18.18)

**5c.** m.p (°C) (193-195)(Ethanol) (yield 85 %) IR.(KBr) (v, Cm<sup>-1</sup>) 3440 (OH), 3360-3250 (NH<sub>2</sub>), 3220 (NH), 3040 (C-Har) 2990-2850 (C-H alph.), 1690 (C=O), 1640 (C=Oamide) 1510-1460 (NO<sub>2</sub>), 650 (C-S); UV (EtOH) ( $\lambda_{\text{max}}$ ) 371 nm, 225nm; C.H.N.(Mwt:605)(Calcu./Fou. %) C(43.65/44.98), H(3.16/3.66), N(16.20/17.06)

**5d.** m.p (°C) (257-254)(Ethanol) (yield 43 %) IR.(KBr) (v, Cm<sup>-1</sup>) 3410 (OH), 3350-3210 (NH<sub>2</sub>), 3205 (NH), 3010 (C-Har) 2985-2890 (C-H alph.), 1690 (C=O), 1650 (C=Oamide) 1540-1460 (NO<sub>2</sub>), 680 (C-S); UV(EtOH)( $\lambda_{\text{max}}$ ) 310 nm, 201nm; C.H.N.(Mwt:571)(Calcu./Fou. %) C(46.24/46.83), H(3.35/4.29), N(19.61/19.33)

### Enzyme activity

Monoamine oxidase activity was assayed by Ncwen and Cohen method.<sup>(10)</sup> The principle of this method is the measurement of the benzaldehyde formed from reaction which is absorbed at wave length (242 nm) after extraction by cyclohexane.

Table -1: The assay procedure is described in table (1)

Solutions	Test	Control
Serum	600 $\mu$ l	600 $\mu$ l
MAO buffer	750 $\mu$ l	750 $\mu$ l
Benzylamine	150 $\mu$ l	-

Water bath shaking for 3 hrs. at 37 °C.

Benzylamine	-	150 $\mu$ l
Perchloric acid	150 $\mu$ l	150
Cyclohexane	1.5 ml	1.5 ml

Mix and centrifugation for 10 min. and then measure absorbance of supernatant at 242 nm .Enzyme activity was measured through aldehyde formed in 3 hrs. by reading absorbance of test against control at 242 nm by spectrophotometer.

**B :-** A stock solution (0.01 M) concentration of each compound , is prepared and then the following concentration ( $1 \times 10^{-3}$  ,  $5 \times 10^{-4}$  ,  $1 \times 10^{-4}$  ,  $5 \times 10^{-5}$  ,  $1 \times 10^{-5}$ ) (M) are prepared. The different concentrations of the compounds are prepared by diluting with dimethylsulfoxide (DMSO) solvent using the stock solution. MAO activity was measured in human serum by using the same method with replace 750  $\mu$ l of buffer solution ( 500  $\mu$ l buffer + 250  $\mu$ l inhibitor). The inhibition percentage was calculated by comparing the activity with and without the inhibitor under the same conditions , according to the equation : -

$$\% \text{ Inhibition} = 100 - \left( \frac{\text{The activity in the presence of inhibitor}}{\text{The activity in the absence of inhibitor}} \right) \times 100$$

**C :-** A constant concentration of inhibitor ( $1 \times 10^{-4}$  M) was used with different substrate concentrations (0.02, 0.04, , 0.06, 0.08 , 0.09) M to determine the type of inhibition. These different concentrations are prepared from the enzyme activity was determined with and without the inhibitor. Using the Lineweaver- Burk <sup>(13)</sup> method by plating 1/V vs. 1/[S] the following values were calculated:

- a) Ki. b) Apparent Vmax (V<sub>mapp</sub>). c) Apparent Km (K<sub>mapp</sub>). d) Type of inhibition.

## RESULTS AND DISCUSSIONS

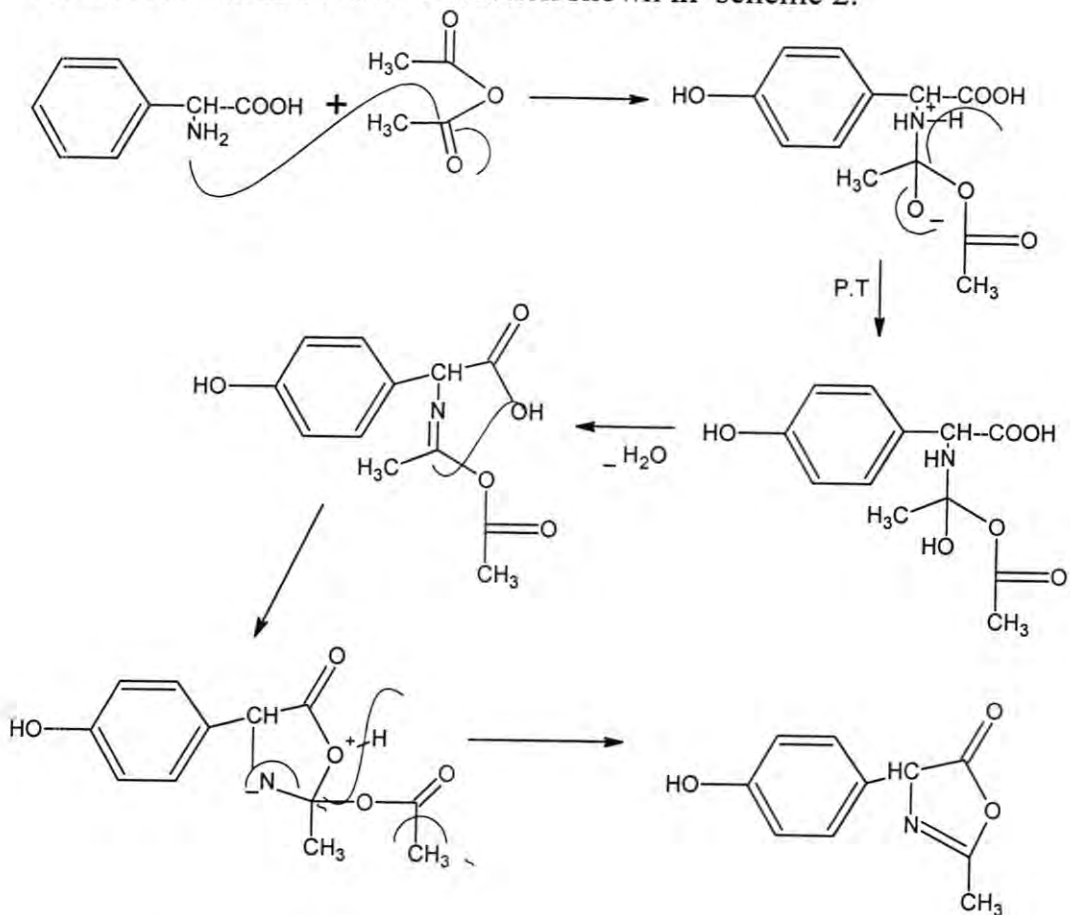
In our previous paper, we reported the synthesis of new imidazole derivatives containing 4-hydroxy phenyl moiety were prepared following the reaction sequences depicted in scheme 1.

Synthesis of New heterocyclic compounds derived from 2-amino-2-(4-hydroxy phenyl) acetic acid and study of their effects on Monoamineoxidase (MAO) activity

Sahar, Shaemaa, Ghasak, Abdul- Jabber and Mohammed

Compound (1) 4-hydroxyphenyl-2-methyl-1,3-oxazol-5-(4H)-one was obtained via 2-(4-hydroxyphenyl)-2-amino acetic acid (Tyrosine) reacted with acetic anhydride in refluxing<sup>(10)</sup>..

The mechanism of the above reaction shown in scheme 2.



Scheme(2) shows mechanism of reaction of amino acid with anhydride

The IR spectra showed the disappearance of the NH<sub>2</sub> stretching bands. UV spectra showed two intense absorption maxima at 326 and 250 nm which tentatively attributed to n→π\* and π→π\* electronic transition respectively. Reaction between corresponding compound (1) and hydrazine hydrate afforded 1-amino-4-(4-hydroxyphenyl)-2-methyl-1H-imidazole-5(4H)-one(2). The structure of (2) was confirmed by presence of NH<sub>2</sub> stretching vibration at 3220-3310 cm<sup>-1</sup>, in addition to the other bands. UV spectrum exhibited two distinguishable λ<sub>max</sub> 346 nm and 288 nm which clearly due to n→π\* and π→π\* transitions (red shift) respectively. Schiff's bases derivatives (3a - d) were prepared by condensation of amino group of imidazole derivative (2) with aromatic aldehydes in absolute ethanol. Azomethine group (CH=N) appearance at 1680-1640 cm<sup>-1</sup>. The UV spectra showed two intense

maxima at  $395\text{-}309\text{ cm}^{-1}$  nm and at  $240\text{-}210\text{ nm}$  due to  $n \rightarrow \pi^*$  and  $\pi \rightarrow \pi^*$  transition respectively. The reaction of the above Schiff's bases (3a - d) with 3,5-dinitrobenzoyl chloride and subsequent reaction of above reaction products (4a - d) with thiourea were carried out. Moreover treatment of Schiff's bases with the above acid chloride results in the formation of (4a - d) in which the two groups (Cl and ArCO) were introduced in the same step of reaction. This reaction was followed by appearance of absorption bands at  $1680\text{-}1635\text{ cm}^{-1}$  and at  $760\text{-}740\text{ cm}^{-1}$  due to C=O and C-Cl moieties. The reaction of products (4a - d) with thiourea afforded thioureas products (5a - d). These compounds (5a - d) were characterized by their IR and UV Spectra. New doublet absorption bands in the region  $3360\text{-}3200\text{ cm}^{-1}$  were attributed to  $\text{NH}_2$  and NH functional moieties. Other characteristic bands in the region  $680\text{-}630\text{ cm}^{-1}$  correlated to C-S moiety. Moreover the band of C-Cl around  $760\text{-}740\text{ cm}^{-1}$  has disappeared. U.V spectra of compounds (5a - d) showed intense bands at  $310\text{-}386\text{ nm}$  and  $201\text{-}264\text{ nm}$  which belong to  $n \rightarrow \pi^*$  and  $\pi \rightarrow \pi^*$  transition respectively.

The biological activities of these synthesized compounds on the activity of Monoaminoxidase (MAO) enzyme in human serum were studied *in vitro*. The results obtained showed that all compounds (except compounds 4a, 4d, 5c , 5d which did not appear any significant effect on the enzyme activity) causes inhibitory effects on the MAO enzyme activity as in figures (1 and 2) which showed the relationships between compounds concentrations versus percentage of inhibition. From these figures we observed that the percentage of inhibition increased with increasing the compound concentration and the inhibition percentage ranging between (51%-70%) at concentration up to (0.01M) as shown in figure (3). Different concentrations of the substrate were used to study the type of inhibition, the results obtained from line weaver-burke plots indicated that compounds (3a, 3c, 3d , 4b, 4c and 5a ) acted as competitive inhibitors, while compounds (1, 2, 3b and 5b ) caused mixed type of inhibition. The kinetic properties of these inhibitors ( $K_{mapp}$ ,  $V_{amp}$  and  $K_I$ ) were also determined from line weaver-burke plots as shows in figures (1 – 10) and table (2).

#### Structure - inhibition relationship

Figures ( 1 - 10 ) summarize the inhibition screening results of the study compounds. The results indicated that all compounds had hardly inhibition and the inhibition was increased with increasing the concentration of compounds in solutions. Compound 2 had a good inhibition for enzyme (MAO) but compound 1 had hardly inhibition for same enzyme, that is to say , the activity of inhibition of compound that was substituted by N-NH<sub>2</sub> group at the position 1 in ring was lower than the activity of inhibition of compound that was substituted by oxygen in

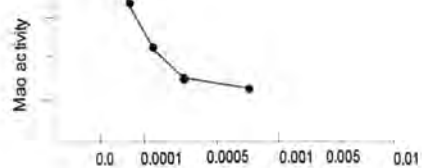
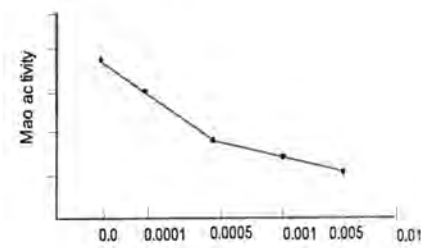
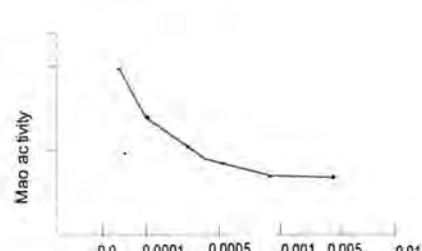
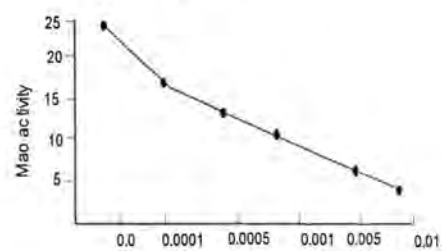
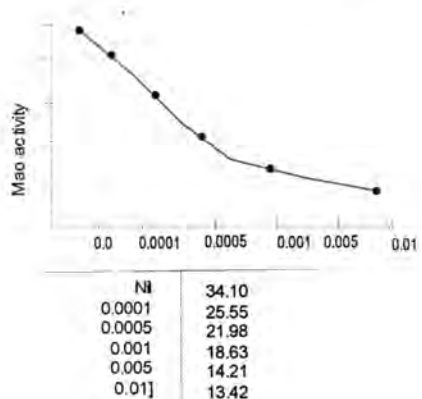
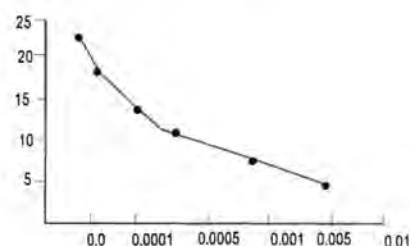
Synthesis of New heterocyclic compounds derived from 2-amino-2-(4-hydroxy phenyl) acetic acid and study of their effects on Monoamineoxidase (MAO) activity

Sahar, Shaemaa, Ghasak, Abdul- Jabber and Mohammed

the same position. Change of the NH<sub>2</sub> group by replacement of the two hydrogen atoms with azomethine group in compounds 3a – d , resulted in some increase in activity. The inhibition activity was increased when benzidene group in compounds 3a – d had donate group and was decreased when the same group had electron withdrawing group. Compounds 4b and 4c showed decreasing in inhibition activity with substituted 3,5-dinitrobenzoyl at the nitrogen atom of azomethine group, which mean the sterichandrance was effected on the inhibition activity in additional , the electron withdrawing groups in 3,5-dinitrobenzoyl was increased the action of sterichandrance.

Table -2: The kinetic properties of enzyme with new compounds .

Comp. No	K mapp(M)	Vmapp (μmol/ml/min)	Type of inhibition
1	0.33		Mixed
2	0.4	66	Mixed
3a	0.4		competitive
3b	0.58		Mixed
3c	0.28	47.1	competitive
3d	0.31		competitive
4b	0.31	52.1	competitive
4c	0.38		competitive
5a	0.28		competitive
5b	0.4	55.5	Mixed



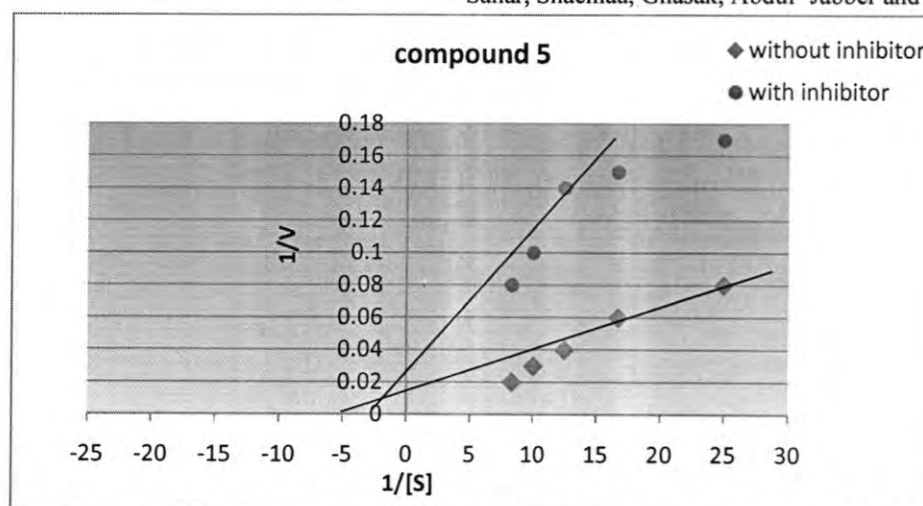


Fig.-1: Line weaver -Burk plots of enzyme with compounds (1)

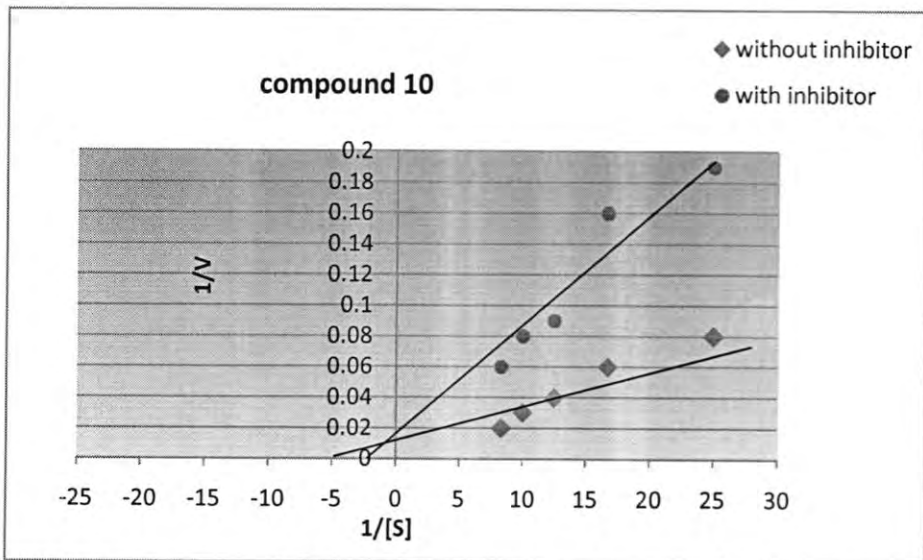


Fig.-2: Line weaver -Burk plots of enzyme with compounds (2)

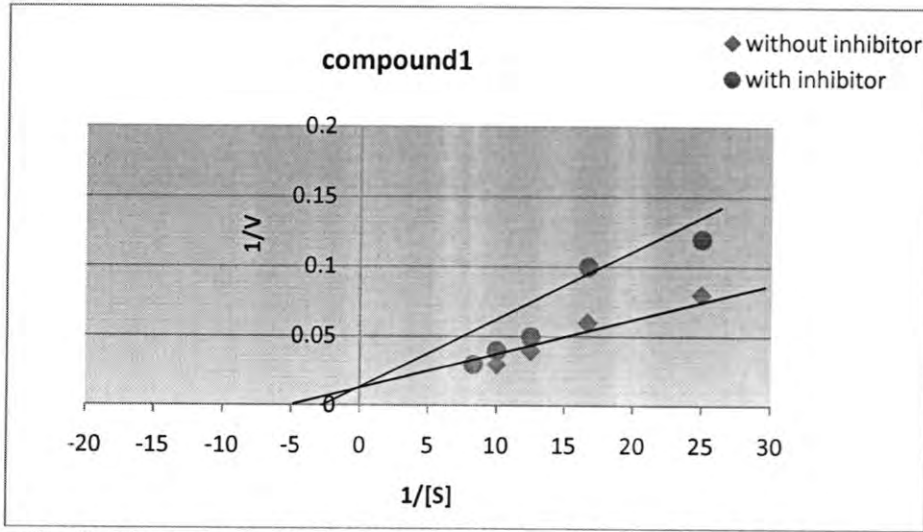


Fig.-3: Lineweaver -Burk plots of enzyme with compounds (3a)

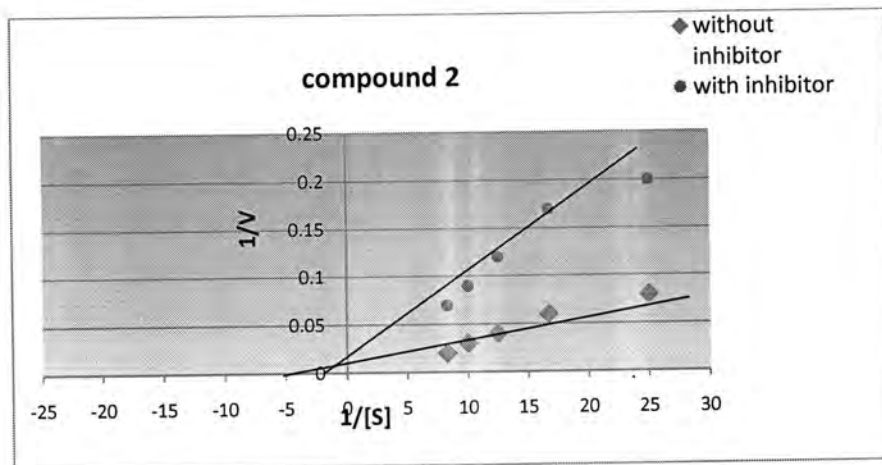


Fig.-4:Lineweaver –Burk plots of enzyme with compounds (3b)

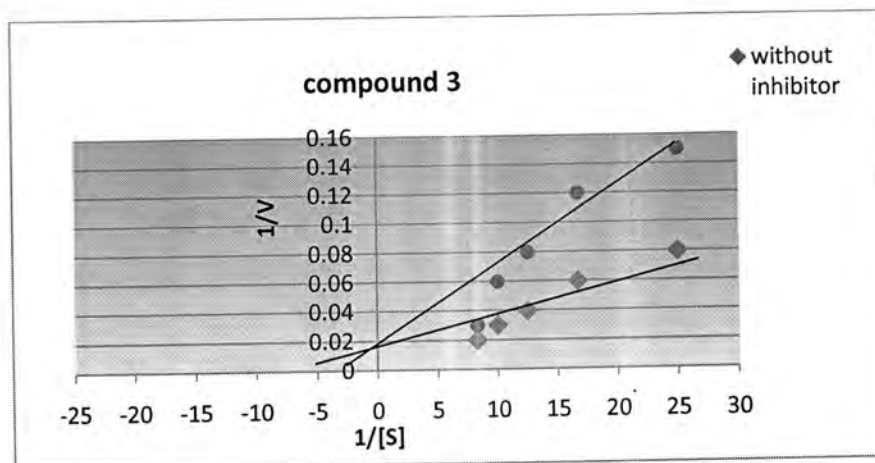


Fig.-5: Line weaver –Burk plots of enzyme with compounds (3c)

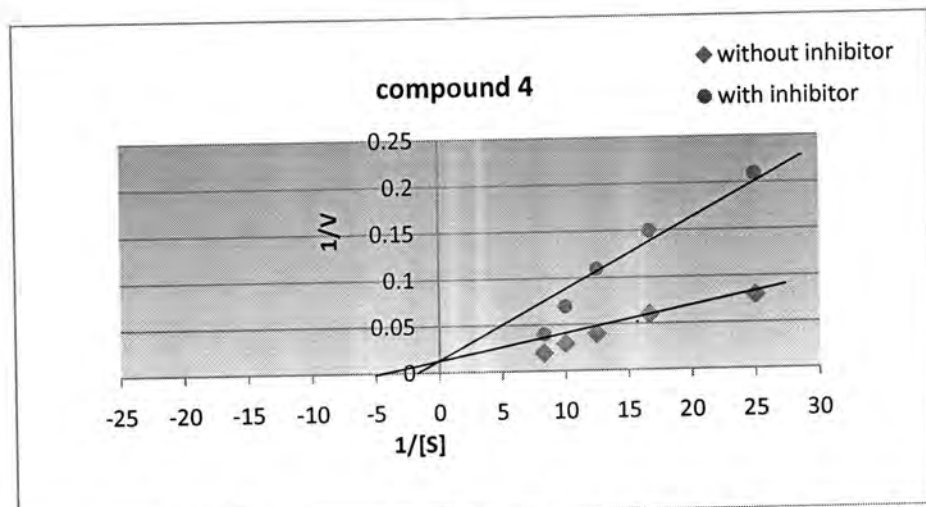


Fig.-6: Line weaver –Burk plots of enzyme with compounds (3d)

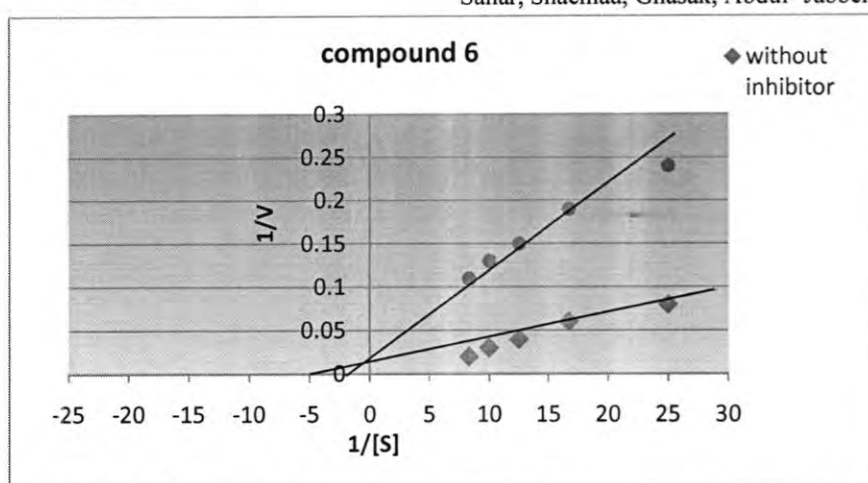


Fig.-7: Line weaver -Burk plots of enzyme with compounds (4b)

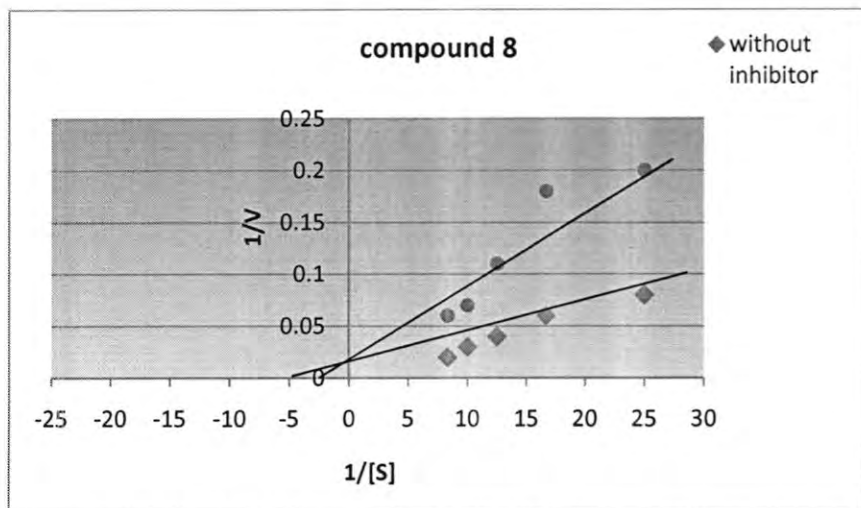


Fig.-8: Line weaver -Burk plots of enzyme with compounds (4c)

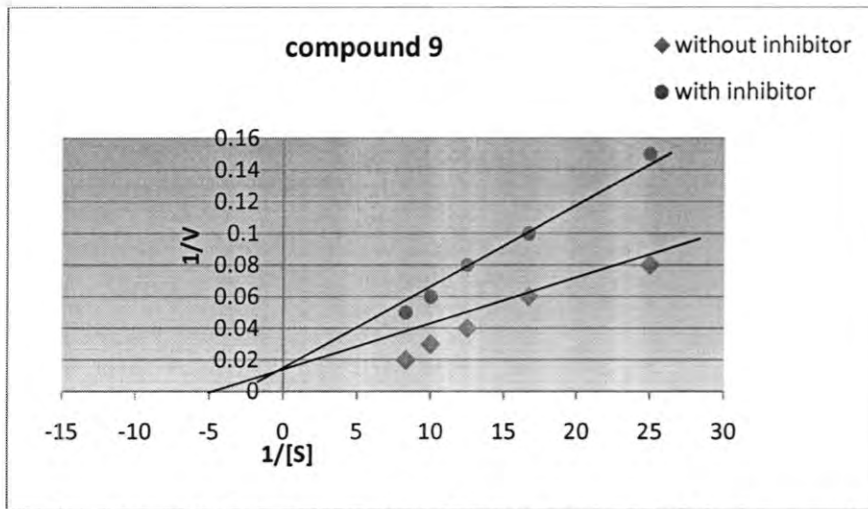


Fig. -9: Line weaver -Burk plots of enzyme with compounds (5a)

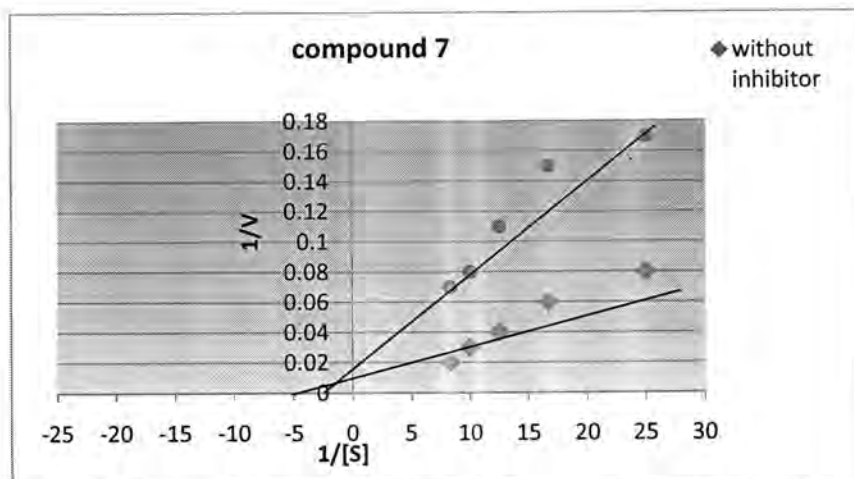


Fig.-10: Line weaver-Burk plots of enzyme with compounds (5b)

## REFERENCES

1. Tomaz T. and Bojan V., "Synthesis of alkyl-2-(benzoylamine)-3-(4,5-dicyano-1H-imidazol-1-yl) propenoates", *ARKIVOC*, (xiv): 96-101, (2005).
2. Thomas A. Z. , Annette J. and Eckhard D. , "Zinc(II)- pyridine-2-carboxylate/ 1-methyl-imidazol: a binary catalytic system for the synthesis of cyclic carbonates from carbon dioxide and epoxides ", *ARKIVOC*, (iii), 151-163(2007).
3. Priya V. F., Girish K. S. and Balakrishna K. "Solvent-free microwave-assisted synthesis of oxadiazoles containing imidazole moiety" *J. Chem. Sci.*, Vol. 119, No. 1, 41–46, (2007).
4. Eldon E. Baird and Peter B. Dervan " Solid Phase Synthesis of Polyamides Containing Imidazole and Pyrrole Amino Acids *J. Am. Chem. Soc.* , 118, 6141-6146(1996).
5. Stephen W. S., Gerald F. J., Kandasamy S., Svetlana G. and Carlos F. B." RNA Cleavage by a DNA Enzyme with Extended Chemical Functionality " *J. Am. Chem. Soc.*, 122, 2433-2439 (2000)
6. Siddiqui S. A., Narkhede U.C., Palimkar S. S., Daniel T., Lahoti R. J., Srinivasan K. V. , "Synthesis of substituted Imidazoles via organocatalysis" *Tetrahedron*, , 61, 3539-3546 (2005).
7. Mondovi B. "structure and function of amine oxidase" *CRC Press, Doae Raton, FI* (1985).
8. Abell C. W. and Kwan S. W. "Molecular characterization of monoamine oxidase A and B, Prog. Nucleic acid" *Res. Mol.Bio.* 65, 129-156(2001).
9. Tsugeo Y. and Ito A. "A key amino acid responsible for substrate selectivity of monoamine oxidase" *J. Bio. Chem.* , 272, 14033-14036 (1997).

Synthesis of New heterocyclic compounds derived from 2-amino-2-(4-hydroxy phenyl) acetic acid and study of their effects on Monoamineoxidase (MAO) activity

Sahar, Shaemaa, Ghasak, Abdul- Jabber and Mohammed

10. - C. Parkanyi and D. S. Schmidt, "Synthesis of 5-Chloro-2-methyl-3-(5-methylthiazol-2-yl)-4(3H)-quinazolinone and Related Compounds with potential Biological Activity", *J. Hetero. Chem.*, 725-729, 37 (2000).
11. - Abdul J. Kh. Atia "synthesis of new 2-cyano-5-thio-1, 3,4-thiadiazole derivatives" *Al-Mustansiriya J. Sci.*, 4(18), 21-31(2007).
12. - I. H. Redha and A. J. Kh. AL-Abodi, "Synthesis of new benzidene derivatives" *J. Dealal* , No. 17 , 10 – 24(2003).
13. Linweaver H. and Burke D., *J. Am. Chem. Soc.*, 56, 658(1934).

## Palm Olein as an Eco-Friendly Corrosion Inhibitor

Nesreen S. Mohammed Ali Al-Roobaiy  
Institute of Technology / Baghdad / Commission of Technical Education

Received 16/3/2009 – Accepted 10/5/2010

### الخلاصة

الحامض الدهني غير المشبع يحتوي على أحماض الأوليك وللين أوليك Oleic and Linoleic acids يتكون مجموعة كاربونيل وأواصر مزدوجة، والتركيب الكيميائي لمجموعة الكاربونيل يسرع عملية الأدمصاص لزيت النخيل أولين على سطح المعدن حيث أن طلاء الزيت على الألمنيوم هو أدمصاص. الدراسات السابقة تشير أن زيت النخيل أولين لا يعمل بشكل كبير كمثبط للتأكل، وتم التركيز في هذه الدراسة على تأثير زيت النخيل أولين كمثبط لتأكل الألمنيوم في محلول يحتوي على مول واحد من حامض الهيدروكلوريك . تم تعریض نماذج الألمنيوم المحلول يحتوي على مول واحد من حامض الهيدروكلوريك مع أو بدون وجود المثبط في اختبارات فقد الوزن، وكذلك دراسة التأكل تحت درجة حرارة الغرفة مع تراكيز مختلفة للمثبطات، النموذج يجدد خلال 48 ساعة لقياس الوزن. وجد أن كفاءة التثبيط لزيت النخيل أولين مشابه لكافأة المثبط التجاري، ومن خلال دراسة الأدمصاص المتباين تحت الحرارة الثابتة يظهر أن زيت أولين أعطى حماية لسطح الألمنيوم من خلال الأدمصاص الفيزيولوجي، وعليه أن حامض الهيدروكلوريك يؤثر على زيت كيميائياً حيث أن زيت النخيل أولين بدون حامض الهيدروكلوريك لا يعمل كمثبط للتأكل.

### ABSTRACT

The unsaturated fatty acid consists of oleic and linoleic acids. Both of these acids contain carbonyl groups and double bonds. The carbonyl group structure enhances the adsorption process of the palm olein on the metal surface. However, not much work has been reported on the use of palm olein as corrosion inhibitor. This paper focuses on the effect of palm olein as corrosion inhibitor for aluminum in 1 M HCl solution. Aluminum samples were exposed in 1 M HCl solution with or without the presence of inhibitor for weight loss measurement test. The corrosion study was performed at room temperature with different concentrations of inhibitors. The sample was retrieved every few hours within 48 hours for weight measurement. It was found that inhibition efficiency of the palm olein is comparable to that of the commercial inhibitor. From the adsorption isotherm study, it was shown that the palm olein protects the Al surface through physical adsorption.

### INTRODUCTION

Considerable efforts are made to find suitable compound to be used as corrosion inhibitor in various corrosive media. Many work were conducted to examine extracts from natural substances. The extracts contain mixtures of compounds having oxygen, sulphur and nitrogen elements, which help in the corrosion inhibition process. These compounds naturally are antioxidants, cheap and environmentally safe. Their use

as corrosion inhibitor has been preferred, both for economic and environmental goals (1). One of the plants which have been successfully used as corrosion inhibitor for Al in HCl solution is vanillin (the key component in vanilla flavoring) (2). Vanillin is an aromatic aldehyde containing carbonyl, methoxy and hydroxyl groups arranged around the aromatic ring. The adsorption of vanillin on Al surface would take place through all these functional groups. Subsequently, *Opuntia ficus mill*

(family of Cactaceae) extract was also found to be a good corrosion inhibitor for Al (3). The *Opuntia* extract contains mainly polysaccharide which is a mixture of mucilage and pectin. It also contains at least seven non-volatile acids including malic and citric acids. The adsorptions of these compounds on the electrode surface make a barrier for mass and charge transfers. This situation leads to a protection of the metal surface from the attack of the aggressive anions. The degree of protection increases with increasing of the surface fraction occupied by the adsorbed molecules. As the extract concentration is increased, the number of the adsorbed molecules on the surface increases. Recently, (4) reported the promising use of palm olein as corrosion protector for mild steel in acidic solution. Palm oil contains equal amounts of saturated and unsaturated fatty acids which are palm stearin and palm olein, respectively. The unsaturated fatty acid portion consists of oleic and linoleic acids. Both acids contain carbonyl groups and double bonds (5). The carbonyl group structure enhances the adsorption process of the palm olein on the metal surface, due to this property; palm olein has a promising characteristic as a corrosion inhibitor. However, almost no work has been reported on the use of palm olein as corrosion inhibitor for aluminum. Therefore, this work will focus on the effect of palm olein as corrosion inhibitor for aluminum exposed in 1 M HCl solution.

## MATERIALS AND METHODS

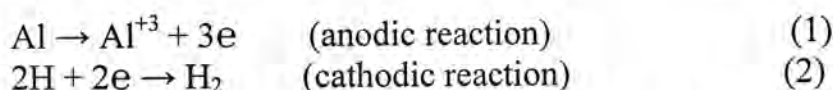
The material under study was a 3-mm thick aluminum alloy (Al 6061) sheet, with the chemical composition of 96% Al, 0.8% Si, 0.7% Fe, 0.4% Cu, 15% Mn, 1.2% Mg, 0.35% Cr, 0.25% Zn and 0.15% Ti. A stock solution of the corrosion inhibitor was prepared by blending the palm olein (PO) and poly (oxyethylene) x-sorbitane-monolaurate (T20) with a weight ratio of 5:1 of PO to T20. The PO was obtained from crude palm oil supplied by Jugra Palm Oil, Banting, Selagor, Malaysia and the main composition is oleic acid. T20 was used as emulsifier to enhance the solubility of the palm olein in 1 M HCl solution. In preparing a stable inhibitor, 25 vol% stock solutions (POT20), 0.5 vol% hexane (H) and the balance distilled water was blended at the speed rate of 125 rpm at 50 °C for 1 hour. The blended solution was let to settle down in a separating funnel for 1 day before bottom layer (POT20H) was collected as the soluble and stable palm olein inhibitor. In preparing the desired concentration of corrosive media, a specific volume of POT20H was added directly to the corrosive solution, which was 1 M HCl solution. The Al 6061 sheet of thickness 3-mm was cut into pieces with dimensions of 2 cm by 3 cm. A small hole of 2 mm diameter was drilled at the edge of the sample for hanging purposes. The sample plate was hand-polished with 180 followed by 600 grade sand paper and

washed with distilled water. The dimension and weight of the plate was accurately measured.

Prior to conducting the corrosion test, the Al plate was degreased by dipping it into acetone for 30 minutes, followed by drying. With the aid of a nylon thread and glass rod, the plate was suspended in a 300-ml beaker containing 250 ml corrosive solution, enough to cover the surface of the plate for 48 hours at 26 °C. The corrosive solution was continuously stirred at a speed of 125 rpm. To prevent from evaporation and contamination, the corrosion solution was covered by parafilm. The effect of inhibitor concentration on corrosion rate was determined by varying the volume of POT20H from 0 to 50%, with an increment of 10% (vol), in 1 M HCl solution. Commercial inhibitor (COM) was used as the reference in the determination of inhibition efficiency of POT20H.

## RESULTS AND DISCUSSIONS

**Figure 1** shows the corrosion rate of Al 6061 in 1 M HCl solution at 26 °C with and without the presence of the inhibitor POT20H. The corrosion rate of Al without the presence of POT20H is significantly higher as compared to the other solutions with the presence of the inhibitor. Corrosion is caused by the presence of water, air and H<sup>+</sup> that accelerate the corrosion process of the Al. The corrosion reactions involved can be represented by the anodic reaction, which is the dissolution of Al and is accompanied by the cathodic reaction, which is the evolution of H<sub>2</sub> as shown by the following reaction:



For the first three hours of immersion time, there is a sharp increase of the corrosion rate. The increasing corrosion rate is due to the corrosion reaction caused by the breaking up of natural passive film possessed by Al. However, by increasing the immersion time from 3 to 48 hours has reduced the corrosion rate of Al. The decreasing of the corrosion rate is due to the presence of corrosion product which covered the Al surface. Adding and increasing the concentration of inhibitor (POT20H) have markedly reduced the corrosion rate of Al. The significant difference between the corrosion rate of Al with and without the presence of POT20H indicates the positive effect of the inhibitor. This finding shows that the inhibitor has the capability in protecting the Al surface by forming a passive film. In general, as shown in **Figure 2**, an increase in the concentration of inhibitor has reduced the corrosion rate of the Al. It was observed that the 10, 20 and 30 vol% POT20H have given

similar corrosion behavior. A significant decrease in the corrosion rate for the first three hours of immersion test was most probably due to the ability of the POT20H in forming the protective layer which covered the Al surface. However, after prolong exposure in the corrosive solution; the chloride ions ( $\text{Cl}^-$ ) are able to penetrate the uncovered surface due to insufficient surface coverage by the passive film. Hence, an increase of the immersion time to 24 hours has caused gradual increase in the corrosion rate. As mentioned earlier, this was due to the breaking off the unstable passive film on the metal surface. Subsequently, as the immersion time increased to 48 hours, a gradual decrease in the corrosion rate was observed. This phenomenon indicated the reformation of the passive film. The 40 vol% POT20H has shown slight difference in the corrosion behaviors as compared to those of the 10, 20 and 30 vol% POT20H. For the first six hours, there was a gradual decrease in the corrosion rate, which indicates the ability of POT20H in protecting the Al surface. The increase of surface protection from corrosion from 3 to 6 hours was revealed by the lower vol% of POT20H. Further increase in immersion time to 48 hours has shown a gradual increase in the corrosion rate, which indicated the breaking off of the POT20H film. The 50 vol% POT20H has exhibited low corrosion rate with slight reduction and has achieved almost equilibrium even after 48 hours of immersion. This indicated that the 50 vol% POT20H has the ability to protect the Al surface from corrosion beyond 48 hours of the test. Generally, an increase in the concentration of POT20H from 10, 20 and 30 vol%; to 40 vol% and 50 vol% has prolong the protective film life from 3 to 6 hours and beyond 48 hours, respectively. As reported by (6), the concentration of an inhibitor reaches its critical micelle concentration (CMC) that when the amount of weight loss reaches equilibrium. As shown in **Figure 3** and **Table 1**, the corrosion behavior of Al in different amount of COM inhibitor is almost similar to that of POT20H. Nevertheless, the corrosion rate of the Al in COM was slightly lower as compared to that of POT20H. As depicted rate and inhibition efficiency (IE) of the 50 vol% of COM were almost similar to those of the 50 vol% POT20H; whereby 100% IE has been achieved. This indicated that the inhibition behavior of POT20H was comparable to that of the COM. Metal surface covered ( $\theta$ ) by the inhibitor for different concentration of inhibitor (C) is presented in **Table 2**. In general,  $\theta$  increases with increasing C. The correlation between C,  $\theta$  and the energy of adsorption can be determined by plotting an adsorption isotherm and by calculation. **Figure 4**, suggests that the experimental data fitted the Langmuir adsorption isotherm relationship. This isotherm postulates that there is no interaction between the adsorbed molecules and the energy of adsorption is independent on the  $\theta$ . Langmuir

adsorption isotherm can be represented using the following equation (3):

$$\frac{C}{\theta} = \frac{1}{K} + C \quad (3)$$

Where  $C$  is the extract concentration and  $K$  the equilibrium constant for adsorption.  $K$  is evaluated from the intercepts of the plots and is related to the standard free energy of adsorption,  $\Delta G^0_{ad}$  by

$$\ln K = \ln \frac{1}{55.5} - \frac{\Delta G^0_{ad}}{RT} \quad (4)$$

Where  $(1/55.5)$  is the standard molar of water in the solution. From the plotted and calculated data, the values of  $K$  and  $\Delta G^0_{ad}$  are 58.82 and  $-20.12 \text{ kJ/mol}$  for the POT20H, and 111.11 and  $-21.70 \text{ kJ/mol}$  for the COM. These values indicated physical adsorption on the transfer of unit mole of the POT20H and COM from solution onto the Al surface. The negative sign of the free energy of adsorption indicates that the adsorption of the inhibitor at the Al surface is a spontaneous process (7). Palm olein POT20H was found to be good inhibitor at the concentration of 50 vol% in 1 M HCl solution. The corrosion process was inhibited by adsorption of the POT20H on the Al 6061 surface following Langmuir isotherm relationship. The low value of the calculated standard free energy suggesting physical adsorption of the POT20H on the Al 6061 surface. While the negative value showed that the adsorption was a spontaneous process. Inhibition efficiency and adsorption behaviors of POT20H are comparable to COM.

Table-1: Inhibition efficiency of COM and POT20H at different concentration

Concentration (vol%) of inhibitor in 1M HCl solution	Time (hours)	COM IE (%)	POT20H IE (%)
	1	98	95
	3	99	99
30	6	96	95
	1	99	97
	3	100	99
40	6	100	99
	1	100	100
	3	100	100
50	6	100	100

Table-2: Effect of concentration of inhibitor on the surface coverage,  $\theta$ , (immersion period, 6 hours)

Concentration of inhibitor, C, (vol/vol)	Surface coverage ( $\theta$ ) (IE % / 100)	
	POT20H	COM
0.10	0.91	0.95
0.20	0.94	0.96
0.30	0.95	0.99
0.40	0.99	1.00
0.50	1.00	1.00

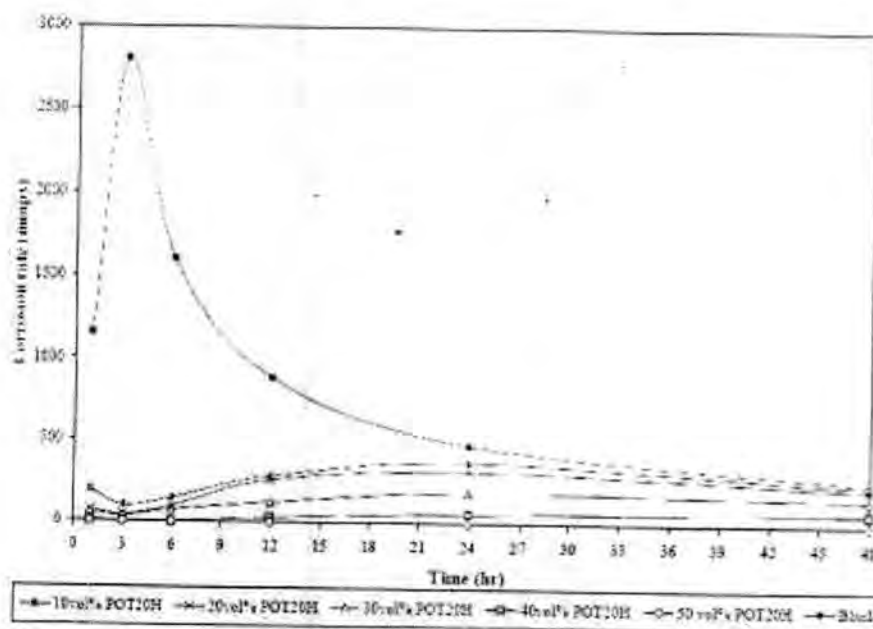


Figure-1: Corrosion rate of Al 606 in 1 M HCl solution with and without the presence of POT2OH

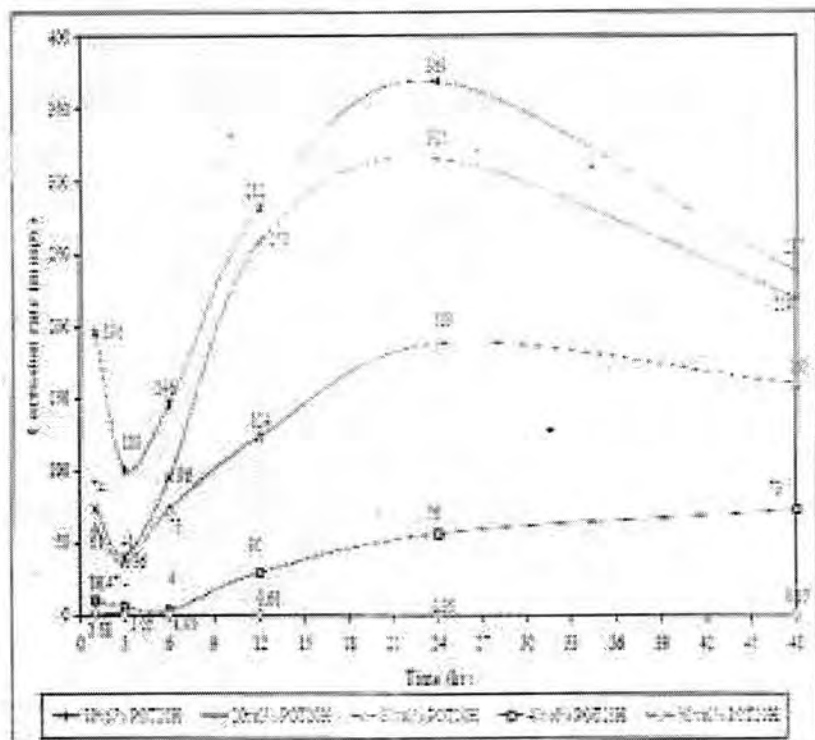


Figure-2: Corrosion rate of Al 6061 in 1 M HCl solution with different amount of POT2OH

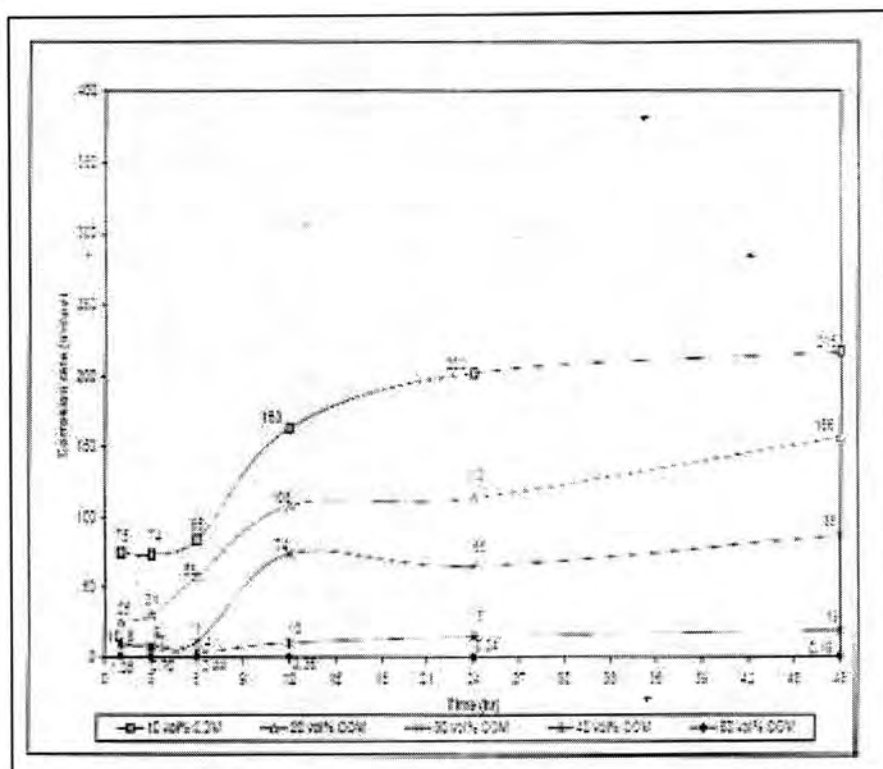


Figure -3: Corrosion rate of Al 6061 in 1 M HCl solution with different amount of COM

regulated by the EPA ( $10^{-4}$ ). Infants and children are found to be at greater risk than adults due to lower body weight ( $\text{Risk}_{\text{child}} (0.13\%) > \text{Risk}_{\text{infant}} (0.034\%) > \text{Risk}_{\text{adult}} (0.015\%)$ ). Based on the allowable risks for carcinogens that are regulated by the EPA, the maximum contaminant levels (MCLs) have been derived for lead concentrations in vegetables (0.235 mg/kg), fruits (0.234 mg/kg), meat (0.026 mg/kg), milk (0.009 mg/L), milk products (0.011 mg/kg), and surface soil (31.8 mg/kg).

---

## INTRODUCTION

Air pollution is certainly not a new phenomenon. Indeed, early references to it date to the middle ages. In more recent times, though still decades ago, several serious episodes focused attention on the need to control the quality of the air we breathe. Air pollution may be described as contamination of the atmosphere by gaseous, liquid, solid wastes or by-products that can endanger human health and welfare of plants and animals, attack materials, reduce visibility, or produce undesirable odors. Although some pollutants are released by natural sources like volcanoes, coniferous forests, and hot springs. The effect of this pollution is very small compared with that caused by emissions from industrial sources, power and heat generation, waste disposal and the operation of internal combustion engines. Fuel combustion is the largest contributor to air pollution emissions caused by man, with stationary and mobile sources equally responsible [1].

The scientific objectives of this study are:

(1) Investigate the environmental transport of released lead particles to the atmosphere through terrestrial pathways:

- Deposition of airborne particles on the soil surface and edible portions of vegetables and forage;
- Biological uptake from soil by roots for vegetables or fruits consumed by human or forage consumed by domestic or wild animals;
- Transfer of lead particles to animal products through feed and public intake through ingestion of agricultural crops and animal products.

The concentration of lead particles in the terrestrial plants and animal products is predicted in this study by using terrestrial food chain mathematical models.

(2) Estimation of the health risks to individuals in Baghdad's population as a result of ingestion of deposited lead particles on and in foodstuffs (agricultural groups and animal products) in both the near and long term. In other words, to provide perspective with respect to the potential importance of lead transfer from ground deposition and land surface into food chain as a contributor to the risk of health effects associated with lead emission. The association between lead ingestion and the development of adverse health effects to the exposed individuals in

Baghdad population are evaluated in this study by using linear, no-threshold (LNT) dose-response model.

(3) To determine which population groups (infants, children or adults) should be the primary target for protection.

(4) Derivation of maximum contaminant levels (MCLs) for lead concentration in food crops (vegetables and fruits), animal products (meat and milk) and in surface soil based on the allowable risks for carcinogens ( $10^{-7}$ - $10^{-4}$ ) that are regulated by the EPA [2].

## MATERIALS AND METHODS

Sampling of lead fallout rate as a result of gravitational settling is used in this study as a tool to evaluate the risk of health effects to humans population ingest lead-contaminated foodstuffs. The dry deposition rate  $d_i$  (mg Pb/m<sup>2</sup>/d) (as a result of gravitational settling) of lead particles in Baghdad city is estimated using the following equation [2]:

$$d_i = \frac{w_2 - w_1}{A * T} \quad \dots (1)$$

where  $w_1$  and  $w_2$  are the weights of the collector at the start and end of collection (mg), A is the surface area of the collector (m<sup>2</sup>), and T is the collection time (d). The densities of deposited lead particles have been sampled in the residential, commercial, industrial areas and near high ways. The lead concentrations in the collected particles samples are measured in this study by using Flammable Atomic Absorption Spectrophotometer model 210, VGP (Buck, USA).

## RISK ASSESSMENT

Lead poisoning can cause aggressive, hostile, and destructive behavioral changes, as well as learning disabilities, seizures, severe and permanent brain damage, and even death. Children and pregnant women are at greatest risk. Lead is absorbed by the blood following inhalation. It has been estimated that about one-third of the lead particles inhaled are deposited in the respiratory system, and that about half of these are absorbed by the bloodstream [2]. Absorption also increases in children suffering from iron or calcium deficiencies. Deposition of lead particles in the respiratory tract of children is 1.6 - 2.7 times than that of adults [3]. Lead content in human blood varies according to age and sex, it tends to increase with age and males have more Pb in their blood than females. Mean Pb content in children is sometimes higher than adults. Measurements made in actual communities suggest that an increase in airborne lead concentration of 1  $\mu\text{g}/\text{m}^3$  results in an increase of about 1-2  $\mu\text{g}/100 \text{ mL}$  in blood lead level [2]. For European adults, values

below 30  $\mu\text{g}/100 \text{ mL}$  are considered normal, whereas Pb concentration in blood above 70  $\mu\text{g}/100 \text{ mL}$  is poisonous [4], with possible severe brain damage or death, occurs at levels somewhat above 80  $\mu\text{g}/100 \text{ mL}$  [5]. The principal health effects of lead exposure is central and peripheral nervous system damage; kidney effects; highly toxic to infants and pregnant women [2].

Lead is emitted to the atmosphere primarily in the form of inorganic particles. Much of this is removed from the atmosphere by settling in the immediate vicinity of the source. Airborne lead may affect human populations by direct inhalation, in which case people living nearest to highways are at greatest risk, or it can be ingested after the lead is deposited onto foodstuffs. The mean exposure concentration of contaminants is used with exposed population variables and the assessment-determined variables to estimate contaminant intake. The chronic daily intake CDI ( $\text{mg}/\text{kg}/\text{day}$ ) of contaminants through ingestion pathway can be obtained as follows [2]:

$$\text{CDI} = \frac{\text{C} * \text{IR} * \text{ED} * \text{f}}{\text{BW} * \text{LT}} \quad \dots (2)$$

where C = contaminant concentration ( $\text{mg}/\text{kg}$ ), IR = intake rate ( $\text{kg}/\text{day}$ ), ED = exposure duration (day), f = absorption fraction (dimensionless), BW = body weight ( $\text{kg}$ ), LT = lifetime (day). Adults humans absorb 10-15% of ingested lead; however, children absorb up to 50% of ingested lead. absorption also increases in children suffering from iron or calcium deficiencies [3].

## TERRESTRIAL FOOD CHAIN PATHWAY

For conditions of prolonged deposition, such as from discharges, the following equation may be used to estimate the concentration  $C_{vi}$  due to direct contamination of material i in and on vegetation [6]:

$$C_{v,i,1} = \frac{d_i \alpha [1 - \exp(-\lambda_{Ei} t_e)]}{\lambda_{Ei}} \quad \dots (3)$$

where  $C_{vi}$  is measured in  $\text{mg}/\text{kg}$  dry matter for vegetation consumed by humans,

$d_i$  is the average total daily deposition rate (from wet and dry processes) of material i on the ground, including deposition either on impervious surfaces or on to both vegetation and soil ( $\text{mg} \cdot \text{m}^{-2} \cdot \text{d}^{-1}$ ),  
 $\alpha$  is the fraction of deposited material intercepted by the edible portion of vegetation per unit mass (or mass interception factor,  $\text{m}^2/\text{kg}$ ) as the result of both wet and dry deposition processes; for pasture forage the unit of mass is conventionally given in terms of dry weight; and for fresh vegetables the unit is in wet weight (Table (3)),

$\lambda_{Ei}$  is the effective rate constant for reduction of the concentration of material i from crops ( $d^{-1}$ ),

$t_e$  is the time period that crops are exposed to contamination during the growing season (d).

$$d_i = (V_d + V_w) C_A \quad \dots (4)$$

where  $V_d$  is the dry deposition coefficient for a given material (m/d),

$V_w$  is the wet deposition coefficient for a given material (m/d),

$C_A$  is the atmospheric concentration of airborne contaminant ( $mg/m^3$ ).

Deposition from air is ordinarily expressed in terms of the product of the deposition velocity and the air concentration. Deposition velocity  $V_d$  is a function of both wind speed, atmospheric stability, particulate size, and surface roughness, but can be approximated in cm/s by:

$$V_d = 0.0003 u d_p \quad \dots (5)$$

in which  $u$  is the wind speed in m/s and  $d_p$  is the particulate diameter in  $\mu m$ . The mean wind speed in Baghdad City is 1.5 m/s (from previous studies). Most airborne lead occurs as fine inorganic particles of submicron size  $< 1 \mu m$ . Some 10% or less occurs as organic (i.e. alkyl) lead arising from petrol which has escaped combustion; and the remainder is inorganic, e.g. chlorides and carbonates [7].

The contaminant concentration in vegetation arising from indirect processes (from uptake from the soil and from soil adhering to the vegetation) is [6]:

$$C_{v,i,2} = F_v * C_{s,i} \quad \dots (6)$$

where  $C_{v,i,2}$  is measured in mg/kg dry matter for vegetation consumed by grazing animals and in mg/kg fresh matter for vegetation consumed by humans;

$F_v$  is the concentration factor for uptake of the contaminant from soil by edible parts of crops (mg/kg plant tissue per mg/kg dry soil). It is conservatively assumed that all material removed from the atmosphere becomes available for uptake from the soil; in addition, the selected values also implicitly take account of the adhesion of soil to the vegetation (for pasture forage the unit of mass is for dry matter; for vegetation consumed by humans the unit is for fresh weight).

$C_{s,i}$  is the concentration of contaminant i in dry soil (mg/kg),

$C_{s,i}$  is defined by [6]:

$$C_{s,i} = \frac{d_i [1 - \exp(-\lambda_{Ei} t_b)]}{\rho \lambda_{Ei}} \quad \dots (7)$$

where  $t_b$  is the duration of the discharge of material i (d);

$\rho$  is the standardized surface density for the effective root zone in soil ( $kg/m^2$  dry soil).

Eq.(7) refers to the total deposit and neglects the amount which is adsorbed to the vegetation. The total concentration of the radionuclide on the vegetation at the time of consumption is [6]:

$$C_{v,i} = (C_{v,i,1} + C_{v,i,2}) \exp(-\lambda_i t_h) \quad \dots (8)$$

where  $C_{v,i}$  is measured in mg/kg dry matter for vegetation consumed by grazing animals and in mg/kg fresh matter for vegetation consumed by humans;

$\lambda_i$  is the rate constant for radioactive decay of contaminant i ( $d^{-1}$ ),  $\lambda_i = 0$  for conservative pollutant;

$t_h$  is a delay (hold-up) time that represents the time interval between harvest and consumption of food (d).

#### CONCENTRATION IN ANIMAL FEED

The concentration of contaminant i in animal feed is calculated by [6]:

$$C_{a,i} = f_p C_{v,i} + (1 - f_p) C_{p,i} \quad \dots (9)$$

where  $C_{a,i}$  is the concentration of chemical i in the animal feed (mg/kg dry matter);

$C_{v,i}$  is the concentration of chemical i for pasture, calculated using Eqs.(5) and (8) with  $t_h = 0$  (mg/kg, dry matter);

$C_{p,i}$  is the concentration of chemical i in stored feeds (mg/kg, dry weight), calculated using Eqs.(5) and (8) and substituting  $C_{p,i}$  for  $C_{v,i}$  with  $t_h = 90$  d;

$f_p$  is the fraction of the year that animals consume fresh pasture vegetation (dimensionless).

#### INTAKE OF CONTAMINANT BY ANIMALS AND TRANSFER TO MILK AND MEAT

The intake of contaminants by animals depends on animal species, mass, age and growth rate of the animal, the digestibility of feed, and in the case of lactating animals, the milk yield. For generic calculations, grazing animals assumed to be cattle which, during the grazing season, are on a diet of fresh pasture only.

#### CONCENTRATION IN MILK

The concentration of a contaminant in milk depends directly on the contaminant concentration of the feed consumed by the lactating animal, with the value of  $C_{a,i}$  calculated with Eq.(11). The concentration of contaminant i in milk is estimated as [6]:

$$C_{m,i} = F_m (C_{a,i} Q_m + C_{w,i} Q_w) \exp(-\lambda_i t_m) \quad \dots (10)$$

where  $C_{m,i}$  is the concentration in milk of contaminant i (mg/L);

$F_m$  is the fraction of the animal's daily intake of the contaminant that appears in each liter of milk at equilibrium (d/L) (specific to dairy cows);

$C_{a,i}$  is the concentration of contaminant i in the animal feed (mg/kg, dry matter);

$C_{w,i}$  is the concentration of contaminant i in water (mg/m<sup>3</sup>);

$Q_m$  is the amount of feed (in dry matter) consumed by the animal per day (kg/d);

$Q_w$  is the amount of water consumed by the animal per day (m<sup>3</sup>/d);

$\lambda_i$  is the rate constant for radioactive decay of contaminant i (d<sup>-1</sup>);  $\lambda_i = 0$  for conservative lead particles;

$t_m$  is the average time between collection and human consumption of milk (assumed to be one day for fresh milk).

### CONCENTRATION IN MEAT

The contaminant concentration in meat is calculated in the same way as the concentration in milk. The same constraints exist [6]:

$$C_{f,i} = F_f (C_{a,i} Q_f + C_{w,i} Q_w) \exp(-\lambda_i t_f) \quad \dots (11)$$

where  $C_{f,i}$  is the concentration of contaminant i in animal flesh (mg/kg);  $F_f$  is the fraction of the animal's daily intake of a contaminant that appear in each kg of flesh at equilibrium or at time of slaughter (d/kg);  $Q_f$  is the amount of feed (in dry matter) consumed by the animal per day (kg/d);

$t_f$  is the average time between slaughter and human consumption of meat; a default value is 20 days.

Literature values for the various parameters in the terrestrial food chain mathematical models are listed in Table (1).

### RISK CHARACTERIZATION

Carcinogenic risk is a function of the chronic daily intake and the slope factor [8]:

$$\text{Risk} = \text{CDI} * \text{SF} \quad \dots (12)$$

where Risk = the probability of carcinogenic risk (dimensionless),

CDI = chronic daily intake (mg/kg.day),

SF = carcinogenic slope factor (kg.day/mg), also called potency factor (PF). Slope factor for lead ingestion is taken to be  $4.2 \times 10^{-2}$  [9].

The dose-response curves for carcinogens are assumed to have no threshold; that is, any exposure produces some chance of causing cancer [2, 4]. Default values for body weights and human consumption of various foodstuffs are listed in Table (2).

Table -1: Default values for the parameters used in the terrestrial food chain models [6]:

Parameter	Default Value
$\alpha$ (mass interception factor for food crops (wet weight))	0.3 m <sup>2</sup> /kg
$\alpha$ (mass interception factor for forage vegetation (dry weight))	3 m <sup>2</sup> /kg
$\lambda_{Ei}$ (environmental removal rate for all plant surfaces)	0.05 d <sup>-1</sup>
$\lambda_i$	0
$t_e$ (applies to food crops)	60 d
$t_e$ (applies to forage grasses)	30 d
$F_v$ (Forage, dry weight, mg/kg plant dry weight per mg/kg soil dry weight)	0.1
$F_v$ (crops, fresh weight, mg/kg plant fresh weight per mg/kg soil dry weight)	0.02
$t_b$ (refers to 60 y exposure period, the assumed operating lifetime of vehicles in Iraq)	21900 d
$\rho$ (effective surface soil density, 0-10 cm, dry weight soil)	130 kg/m <sup>2</sup>
$t_h$ (applies to forage)	0
$t_h$ (applies to stored feed for animals)	90 d
$t_h$ (applies to food crops)	14 d
$Q_w$ (milk)	0.06 m <sup>3</sup> /d
$Q_w$ (meat)	0.04 m <sup>3</sup> /d
$Q_m$ (milk)	16 kg/d
$Q_f$ (meat)	12 kg/d
$f_p$	0.7 (unitless)
$F_m$ (milk)	$3 \times 10^{-4}$ d/L
$F_f$ (meat)	$7 \times 10^{-4}$ d/kg
$t_f$	20 d
$t_m$	1 d

Table -2: Foodstuffs consumption rates and average body weights for infants, children and adults [4, 6, 10, 11, 12]:

Exposure Source	Population group		
	Infant (1<age(y)<2)	Child (age < 15 y)	Adult (age > 15 y)
Body weight (kg)	10	14-26	70
Meat ingestion (kg/y)	Not applicable	7	13
Milk ingestion (L/y)	300	160	150
Milk products ingestion (kg/y)	Not applicable	30	58.4
Vegetables ingestion (kg/y)	Not applicable	56	90
Fruits ingestion (kg/y)	Not applicable	25	47.45

## RESULTS AND DISCUSSION

Multi-step risk assessment process is used in this study to evaluate the public-health problem of lead pollution in Baghdad City. The first step is making quantitative measurements of deposited lead concentrations in the residential, commercial and industrial areas of Baghdad city. The second step is estimation of the internal exposure by evaluation of the daily intake of lead by the local inhabitants living in the area of the study by using terrestrial food chains mathematical models. A quantitative forecasting of the food chain transport mechanisms is used to predict the lead doses to human from a given deposition rate in the environment. The receptors annual Pb intake through food chain pathways are given by the product of the respective concentrations of Pb in the agricultural crops and animal products by the receptors annual intake of these foodstuffs. The last step is making a correlation between the dose administered and the response or damage produced for the local inhabitants living in the area of the study by using a linear, no threshold (LNT) dose-response model (Eq.(12)). The type of environmental impact analysis undertaken in this study relies heavily on predicted values produced by using terrestrial food chain mathematical models and a statistical linear no-threshold (LNT) dose-response model. The key objective of the analysis undertaken in this study is the quantitative estimation of doses and carcinogenic risks to individual members of the Baghdad public from releases of the airborne lead to the atmosphere in both the near and long term. The gravitational settling rates of airborne lead particles are presented in Table (3).

Table -3: Mean observed Pb deposition rate in Baghdad City:

GPS coordinates (m)		Location	Pb deposition rate ( $\text{mg/m}^2/\text{d}$ )	
			Indoor	Outdoor
Northing	Easting			
442769.179	3687252.139	Al-Alawi (industrial area)	1.122	1.441
438554.28	3680705.877	Al-Baya'a (Heavy traffic conditions, market)	0.091	1.041
451310.75	3686270/73	Baghdad Al-Jadida (Urban area)	0.003	0.100
452870.299	3679871.206	AL-Zafaraniya (Urban area)	0.179	0.439
444481.009	3692150.21	Al-Mustansiriyah (urban area, heavy traffic conditions)	0.623	1.779
443235.163	3697184.573	Al-Sha'ab (Urban area)	-	0.316
444644.58	3683216.62	Al-Karada Al-Sharqiya (near Al-Dora refinery)	-	1.243
442678.34	3689044.75	Al-Karkh (Hay Al-Turath)	-	1.447
439199.61	3686806.26	Al-Mansoor (Heavy traffic conditions)	-	0.538
439683.61	3680473.96	Al-Ealam (Urban area)	-	0.747
Mean $\pm$ standard deviation			0.403 $\pm$ 0.467	0.909 $\pm$ 0.562

The environmental consequences associated with atmospheric deposition of lead particles are contamination of crops, forage, milk and meat. The ground contamination following gravitational settling of lead

particulates would results in contamination of foodstuffs such as milk (0.203 mg Pb/L milk), meat (0.356 mg Pb/kg meat), forage (42.383 mg Pb/ kg forage), fruits or vegetables (5.184 mg Pb/kg food crops).

The necessary information needed in quantitative health risk assessments include the body weights for different population groups, amounts of contaminated air and food that find their way into each exposed person's body are listed in Table (2). An individual is assumed to weigh 70 kg (adult), 26 kg (child) or 10 kg (infant) and ingest foodstuffs at the rates listed in Table (2). Atmospherically settled lead particles are incorporated metabolically into food plants and animal products and ultimately find their way into the bodies of humans at the rates presented in Table (4). The high risk estimates for children individuals shown in Table (5) was attributed to the higher chronic daily intake rate than infants and lower body weight than adults and due to different dietary habits. The percentage contribution to the total daily lead intake through terrestrial food chain pathway for adults individuals is illustrated in the pie chart shown in Fig.(1). The highest contribution to the daily internal lead intake to adult individuals is through ingestion of contaminated vegetation. The contribution from drinking water is generally negligible when drinking water supplies are drawn from surface water bodies (Tigris River). The lead dosage administered is correlated with the response or damage produced by using a linear, no-threshold (LNT) dose-response model. The chronic daily lead intake from ingestion of contaminated food is calculated by summing the contributions from leafy vegetables, fruits, milk, and meat to the diet. The quantitative forecasting of lead concentration in foodstuffs shows low tendency of particulate lead to be concentrated from soil by crop plants in spite of the large quantities released to the environment. Based on the metabolic and dosimetric information for Pb intake recommended by the EPA, carcinogenic health risk are estimated to the critical groups of local inhabitants living in Baghdad City by using a linear, no-threshold (LNT) dose-response model. Risk is estimated in Table (5) as a quantitative function between lead dose administered and biological effects. The results of quantitative risk assessment listed in Table (5) indicate that domestic electrical generators and vehicles (traffic) provide a potential for internal lead exposure to nearby individuals and result in detrimental health effects including increased incidence of cancer. The results of quantitative risk assessment are written in Tables (4) in statistical terms (risk = number of injuries or deaths per number of persons exposed to hazard) in order to account for differences in sensitivity between the most sensitive individuals in the exposed human population such as pregnant women, babies, the elderly and normal (healthy) people. Collective population dose and risk are

found in this study by summing the intake and exposure rates multiplied by the appropriate risk conversion factors. Children and infant groups are found to be at a greatest risk than adults due to lower body weight. Risk is estimated in this study as a quantitative function between exposure and biological effects. Accordingly, the scientific findings of this study indicate that individuals in Baghdad population receive Pb at a rates exceed the acceptable daily intake and increase in adverse health effects (such as carcinogenic effects, aggressive, hostile, and destructive behavioral changes, as well as learning disabilities, seizures, severe and permanent brain damage, and even death) are expected to occur above natural background rates. Maximum contaminant levels (MCL) have been derived for lead concentration in foodstuffs included in this study (Table (6)) based on the allowable risks for carcinogens that are regulated by the EPA (standards for most carcinogens are established at levels that control lifetime risk to  $10^{-7}$ - $10^{-4}$  [2].

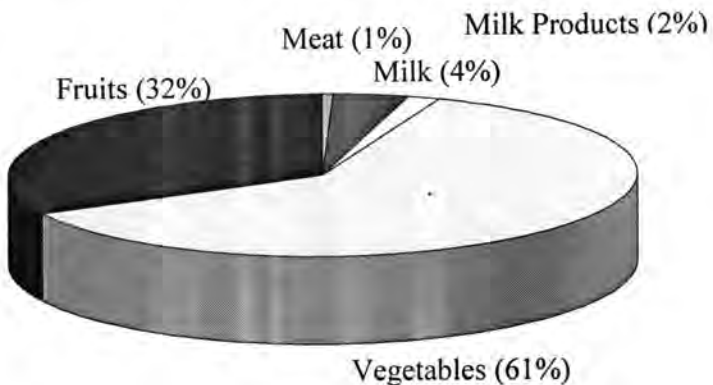


Fig.-1: The percentage contribution to the total chronic daily Pb intake for adults individuals in Baghdad population as predicted by using the terrestrial food chain models.

Table -4: Age-dependent annual lead internal intake rates by members of the Baghdad population estimated by using environmental transport modeling:

Ingestion of	Pb intake rate (mg/d)		
	Infant (1<age(y)<2)	Child (age < 15 y)	Adult (age > 15 y)
- Meat (kg/y)	-	0.003	0.0015
- Milk (L/y)	0.083	0.044	0.010375
- Milk products (kg/y)	-	0.008	0.004
- Vegetables (kg/y)	-	0.3975	0.15975
- Fruits (kg/y)	-	0.1775	0.084125
Total intake	0.083	0.63	0.25975

Table -5: Ranking of exposed groups in Baghdad population on the basis of cancer risk:

Rank	Population group	Age-dependent population risk
1	Child (age < 15 y)	0.13% (or 1 extra cancer case per 769 children individuals)
2	Infant (1<age(y)<2)	0.034% (or 1 extra cancer case per 2325 infants individuals)
3	Adult (age > 15 y)	0.015% (or 1 extra cancer case per 6666 adults individuals)

Table -6: Derived maximum contaminant level (MCL) for lead concentration in different foodstuffs and in the surface soil based on exposure to the first ranked population group (children):

Foodstuff	MCL (mg Pb/kg)
Meat	0.02674
Milk	0.00927
Milk products	0.011905
Vegetables	0.235613
Fruits	0.234437
Surface soil	31.80

## CONCLUSIONS

- (1) The exposure of the Baghdad population to the deposited lead emitted from electrical generators and traffic causes possible long term adverse health effects including increased incidence of cancer. The results of toxicity analysis and quantitative health risk assessment indicate that one extra cancer risk incident is expected for every 6666 persons (adults) living in Baghdad city and consume contaminated foodstuffs.
- (2) In Baghdad City, the population receives 1% of lead from meat ingestion, 4% from milk ingestion, 2% from milk products, 61% from vegetables, and 32% from fruits ingestion. The individual doses resulting from the consumption of food crops are 15 times higher than doses delivered from the consumption of animal products.
- (3) The results of quantitative risk assessment listed in Table (5) indicate that children are the most sensitive group due to lower body weight ( $\text{Risk}_{\text{child}} > \text{Risk}_{\text{infant}} > \text{Risk}_{\text{adult}}$ ).
- (4) The damaging health effects related to pollution from traffic are expected to increase in the next years as a result of traffic growth in the urban areas of Iraq and nation-wide ignorance about the dangers of air pollution problem.
- (5) The appearance of cases such as cancer among residents of Baghdad City is evidence of the harmful consequences and biologically damaging effects associated with chronic doses of internal lead intake.

(6) The lifetime cancer risk from continuous internal lead exposure for the Baghdad population at a mean whole body dose rate of 0.083 mg Pb/d (infants), 0.63 mg Pb/d (child) and 0.25975 mg Pb/d (adults) during a 70 year lifetime exposure is found to be exceed the allowable lifetime risks for carcinogens that are regulated by the EPA (lifetime risk of typical EPA maximum contaminant level range from  $10^{-7}$  to  $10^{-4}$ ) [Masters, 1991].

## REFERENCES

1. Kumer, A., "Introduction to Air Pollution", Internet Publication available on <http://www.Utoledo.edu/aprg/courses/iap/TEXT/INTRO.html>(2002).
2. Masters, Gilbert M., "Introduction to Environmental Engineering and Science", Prentice-Hall, Inc., p.299-300(1991).
3. EPA, "Air Quality Criteria for Lead", U.S. Environmental Protection Agency, Environmental Criteria and Assessment Office, Research Triangle Park, NC, Vol. I of IV(1986).
4. Al-Samrae, Omar S., "Assessment of lead Pollution at Gasoline Stations in Baghdad City", M.Sc. thesis Submitted to the Environmental Engineering Department, Al-Mustansiriya University(2005).
5. EPA, "Air Quality Criteria for Lead", U.S. Environmental Protection Agency, Washington, DC(1977).
6. IAEA, "Generic Models for Use in Assessing the Impact of Discharges of Radioactive Substances to the Environment", Safety Reports Series No.14, IAEA, Vienna, pp.60-64(2001).
7. Holgate, S.T., and Chairman, "Handbook of Air Pollution and Health", department of Health, Committee on Medical Effects of Air Pollutant, London: the stationary Office(1998).
8. Watts, Richard J., "Hazardous Wastes, Sources, Pathways, Receptors", John Wiley and Sons, Inc., p.521-530(1998).
9. EPA, IRIS database, U.S. Environmental Protection Agency(1996).
10. FAO, "Review of food Consumption surveys", Food Agriculture Organization, vol.2, Africa, Latin America, Near East, pp.181-183, Rome(1979).
11. Saleh, Moqdam M., "Effect of the Use of radiological Weapons on the Human and Environment In selected Locations in the southern

Muhannad , Nabeel and Mohammed

Region of Iraq", Nuclear Engineering Dept., Baghdad University, Conference on the Effects of the Use of Depleted Uranium Weapons on Human and Environment in Iraq(2001).

12. Likhtarev, Iiya A., Kolgan, Lione N., "Internal Exposure from the Ingestion of Foods Contaminated by Cs<sup>137</sup> After the Chernobyl Accident", Health Physics, Vol.79, No.4, pp.341(2000).

## Adaptive Thresholding Method for Image Edge Detection

Ali A. Al-Zuky and Haidar J. Al-Taa'y  
Al-Mustansiriya University, College Of Science, Physics Dept.

Received 3/1/2010 – Accepted 20/6/2010

### الخلاصة

تم في هذا البحث حساب أفضل قيمة عتبة للكشف عن الحافات . وقد تم هذا بواسطة استقطاع بلوکات صغيرة متباينة من مناطق ذات معدل شدة رمادية مختلف . هذه البلوکات المستقطعة بعد ذلك تستخدم لتوليد صورة صغيرة ذات حافات معروفة ( الحافات تمثل خطوط التماس بين البلوکات ) . لذلك فإن هذه الحافات المولدة تقارن مع الحافات الناتجة من تطبيق طرق الكشف الحافي على الصورة المولدة الصغيرة وذلك بحساب معدل مربع الخطأ بين الحافات الفعلية والحافات الناتجة من الطرق المعتمدة . معدل مربع الخطأ حسب لكل الصورة ( Er ) ، حيث استخدمنا هذا المعيار لحساب أفضل عتبة ( tho )

### ABSTRACT

In this paper, we determine the optimal edge detection threshold value. This has done by extracting small homogenous blocks from unequal mean regions. Then, from these blocks, we generate small image with known edges. So, these simulated edges compared with the detected edges from edge detector method for different threshold values by computing mean square errors between them. The mean square error computed for the total edge image points (Er), where we used this measure to determine the best threshold value (tho).

### INTRODUCTION

Segmentation is the process that subdivides an image into its constituent parts or objects. Segmentation is one of the most important elements in automated image analysis because it is at this step that objects or other entities of interest were extracting from an image for subsequent processing, such as description and recognition. [5]

Segmentation algorithms generally are base on one of tow basic properties of gray level values: edge based segmentation and region based segmentation. The principal areas of interest within this category are the detection of isolated points, and the detection of lines and edges in an image. The principal approaches in the second category are base on region. [7]

Thresholding is widely used as a tool in image segmentation where one is interested in identifying the different homogenous components of the image. [1]

### **Theoretical Considerations**

Because of the wide applications of the thresholding operation in a digital image processing and simple fixed threshold value is rarely adequate, a number of thresholding methods have been proposed over the years. Some of these methods use the manual selection to choose threshold values while using certain automatic selection mechanisms

to determine a threshold value depending on the intensity value of the image. [6]

In this paper, we adopt the previous work [2] and applied it to different edge operators (Sobel, Kirsch, Variance, and LSLF [3]). This done by extract square blocks from different homogenous image region of different means. Then these blocks collected to produce small image contain different blocks. So, the locations of the edges between the blocks are known. Hence, can be assuming that these edges represent the true edges. Example of this simulated image and its true edges shown in fig. (1: a, & b)

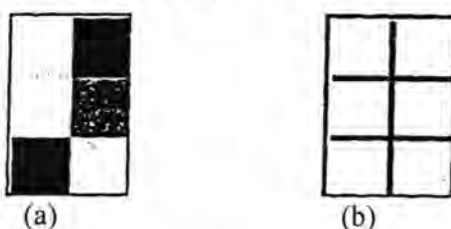


Figure -1:

- a) Simulated image contains different blocks extracted from different homogeneous image targets.
- b) True edges image, (edge thickness is two pixels)

The edge detectors apply on the small-simulated image, after that determines the edges by using threshold value. The resulted edges are always not all represent true edges. Therefore, we can determine the amount of error between the true edges and the edges resulted from edge detector as following equations:

$$Er = \frac{1}{N \times M} \sum_{X=1}^N \sum_{Y=1}^M [TE(X, Y) - RE(X, Y)]^2 \quad \text{Total Error} \quad (1)$$

$$Erl = \frac{1}{EP} \sum_{X}^{EP} \sum_{y} [TE(x, y) - RE(x, y)]^2 \quad \text{Eliminated Edge Error only for Edge Points} \quad (2)$$

$$Er2 = \frac{1}{HP} \sum_{X}^{HP} \sum_{y} [TE(x, y) - RE(x, y)]^2 \quad \text{False Edge Error only for Homogeneous Points} \quad (3)$$

Where, TE (x, y), and RE (x, y) are the true edge image, and resulted edge image, respectively, (NxM) represent the size of simulated image, and EP is the total number of true edge points in the simulated image and HP is the total number of homogenous points in the simulated image.

Accordingly, the quantitative values (Er, Erl, and Er2) represent the mean square error, for total image plane, and the error for only edge points, and for homogeneous (non-edge) points only. So, can be determining amount of edge error that produced from using the adopted

edge detector. Also, can be evaluating when the error is large in edge points or non-edge points. Hence can be adjusting the (th) value to reduce the whole errors (Er, Eri, and Er2), see fig. (2) explain the relation between th-value and the error (Er).

After finding the optimal threshold for the small-simulated image, can be applying the edge detection method to find the edge in the original (large) image.

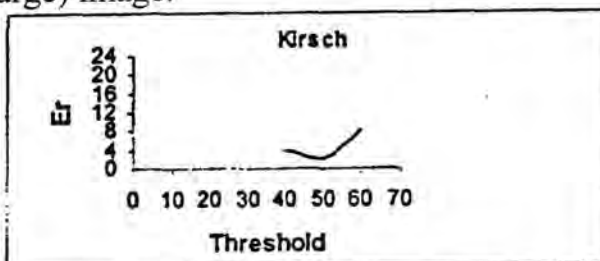


Figure -2: Relationship between (Er) and Thresholds for House image where the axis of (Er) multiply by  $10^{-3}$

## RESULTS AND DISCUSSION

The adopted images (House and AL-Qudis) in this study show in fig. (4), these images of size (256 x 256) pixels and presented by 8 bit/pixel. From each image, we extract different homogenous blocks from un-equal mean. The generated small image contains simulated edges. The small images and their simulated edge images shown in fig. (3).

To obtained the optimal threshold value to determine image edge for each edge detector, we performed the edge detector methods (Sobel, Kirsch, and Variance, and LSLF) [4, 5], the used different threshold values (th). The resulted edge images compute the errors (Er, Eri, &Er2).

The results of error values (Er, Eri, &Er2), are varying with varying edge detectors at (tho) values. This tabulated in table (1) & (2).

Table-1: Results for small-simulated image, from House

Detectors	Optimal Threshold	Er	Er1	Er2
Sobel	14	0.000	0.000	0.000
Kirsch	50	0.002	0.001	0.001
Variance	17	0.000	0.000	0.000
Line	7	0.054	0.056	0.001

Table-2: Results for small-simulated image, from AL-Qudis

Detectors	Optimal Threshold	Er	Er1	Er2
Sobel	14	0.000	0.000	0.000
Kirsch	60	0.008	0.001	0.007
Variance	17	0.000	0.000	0.000
Line	3	0.055	0.055	0.000

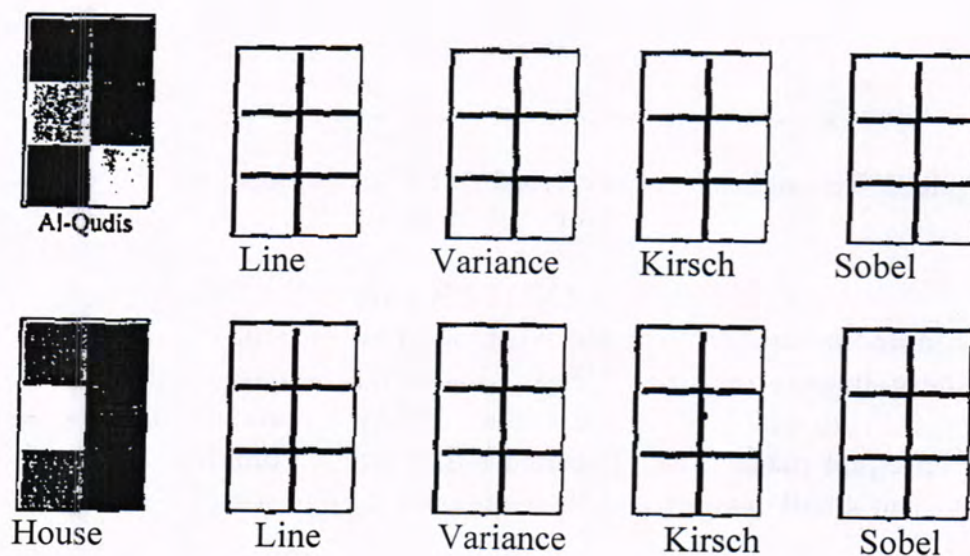


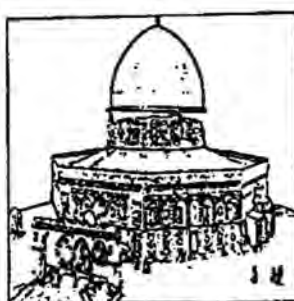
Figure -3: Simulated images and the results of edge detection methods at (tho) values



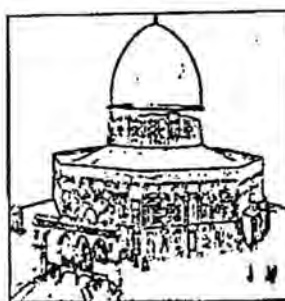
House



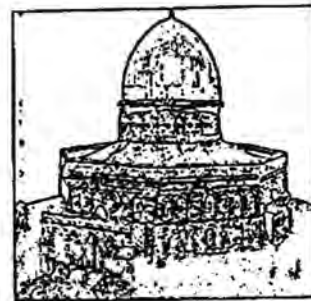
Quidis



Sobel



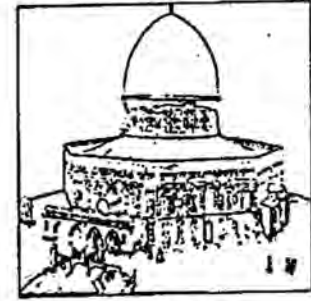
Kirsch



Line



Variance



Variance



Sobel



Kirsch



Line

Figure -4:Results Edge Detection Using Optimal Thresholds (tho)

## REFERENCES

1. John C. Russ "The Image Processing ", handbook, fifth edition, North Carolina State University Materials Science and Engineering Department Raleigh, North Carolina (2007).
2. Ali A. D. AL-Zuky & Haidar Jawad M. AL-Taa'y, "Estimation Optimal Threshold Value for Image Edge Detection", Ibn Al-Haitham J. for Pure and Appl. Sci., vol.22(2),pp. 115-122 (2009).
3. Ali A. D. AL-Zuky & Haidar Jawad M. AL-Taa'y, "Edge Detection Using Sliding Window", Ibn Al- Haitham J. for Pure and Appl. Sci., vol.22(2),pp. 103-108 (2009).
4. Asmaa S. "Experimental Studies of Edge and Comer Detectors", M.Sc. Theses, National Computer Center, Institute of Higher Studies in Computer and Informatics (2002).
5. Bahram Javidi, "Image Recognition and Classification Algorithms, Systems, and Applications", University of Connecticut Storrs, Connecticut (2002).
6. Mitra Basu and Tin Kam Ho, "Data Complexity in Pattern Recognition ", Electrical Engineering Department, City College, City University of New York, USA (2006).
7. H.-H. Bock, Aachen W. Gaul, Karlsruhe M. Vichi, Rome, "Studies in Classification, Data Analysis, and Knowledge Organization"(2006).

## Modified Ishikawa Iterative Sequence with Errors for Uniformly L-Lipschitzian Mappings

Eman M. Nemah

Department of Mathematics, College of Education (Ibn Al-Haitham), University of Baghdad.

Received 19/5/2010 – Accepted 20/6/2010

### الخلاصة

الهدف من هذا البحث هو دراسة التقارب الشديد لمتباينة تكرارات ايشكawa المطورة الممزوجة بالخطأ للدوال لبشر. المنتظمة في فضاء بناخ الامثل بانتظام من نمط q. تنتائجنا الأساسية هي تحسين وتعديم للنتائج التي اعلنها (Yen, Ngain and Jen) وآخرين.

### ABSTRACT

In this paper, we consider the strong convergence of sequence of the modified Ishikawa iterative with mixed errors to a fixed point of uniformly L-Lipschitzian mapping in framework of  $q$ -uniformly smooth Banach space. Considered error terms are not necessarily summable.

Our results improve and generalize the recent results obtained by (Yen, Ngain and Jen) and some others.

### INTRODUCTION AND PRELIMINARY DEFINITIONS

Let  $X$  be an arbitrary real Banach space with norm  $\|\cdot\|$  and  $X^*$  be the dual space of  $X$ . The generalized duality mapping  $J_q : X \rightarrow 2^{X^*}$  ( $q > 1$ ) is defined by:

$$J_q(x) = \left\{ f \in X^* : \langle x, f \rangle = \|x\|^q \text{ and } \|f\| = \|x\|^{q-1} \right\}, \quad (1.1)$$

where  $\langle x, f \rangle$  denotes the value of the continuous linear function  $f \in X^*$  at  $x \in X$ . Further, let  $C$  be a nonempty subset of  $X$  and  $T$  a self-mapping of  $C$ .  $F(T)$  and  $D(T)$  are set of fixed points and the domain of  $T$ , respectively.

The various mappings appearing in the Definition 1.1 have been studied widely and deeply by many authors; see e.g., [1-3] for more details.

**Definition 1.** Let  $C$  be a nonempty subset of Banach space  $X$ . A mapping  $T : X \rightarrow X$  is called:

i. strictly pseudocontractive if for any  $x, y \in C$ , there exists  $\lambda > 0$  and  $j(x - y) \in J(x - y)$   
such that

$$\langle Tx - Ty, j(x - y) \rangle \leq \|x - y\|^2 - \lambda \|x - y - (Tx - Ty)\|^2 \quad ... (1.2)$$

ii. Lipschitz continuous if there exist a constant  $L > 0$  such that

$$\|Tx - Ty\| \leq L \|x - y\| \quad \text{for all } x, y \in C \quad \dots(1.3)$$

iii. uniformly Lipschitzian if there exists a constant  $L > 0$  such that

$$\|T^n x - T^n y\| \leq L \|x - y\| \quad \text{for all } x, y \in C, n \geq 1. \quad \dots(1.4)$$

We remark that a strictly pseudocontractive mapping is uniformly L-Lipschitzian with constant greater than 1 and  $n=1$ .

**Definition 2.** [3], [4, ch.IV.] Let  $X$  be a real Banach space. The modulus of smoothness of  $X$  is the function  $p_x : [0, \infty) \rightarrow [0, \infty)$  defined by

$$p_x(\tau) = \frac{1}{2} \sup \{ \|x + y\| + \|x - y\| - 2 : \|x\| = 1, \|y\| \leq \tau \} \quad \dots(1.5)$$

$X$  is uniformly smooth if and only if  $\lim_{\tau \rightarrow 0} \frac{p_x(\tau)}{\tau} = 0$ . Let  $q > 1$ .  $X$  is said to be q-uniformly smooth if there exists a constant  $c > 0$  such that  $p_x(\tau) \leq c\tau^p$ .

**Lemma 1.** [5] Let  $X$  be a q-uniformly smooth Banach space and  $J_q : X \rightarrow 2^{X^*}$  be a generalized duality mapping. Then there is a constant  $c_q$  such that

$$\|x + y\|^q \leq \|x\|^q + q \langle y, J_q(x) \rangle + c_q \|y\|^q, \quad \dots(1.6)$$

for all  $x$  and  $y$  in  $X$  and  $j(x + y) \in J(x + y)$

Therefore, p-smooth space are sometimes referred to as Banach space smooth of power type p.

The Mann iterative process (with error) and the Ishikawa iterative process (with error) have been extensively applied to approximate the solution of nonlinear operator equations or fixed points of nonlinear mapping in Hilbert spaces or Banach spaces in the literature. See [3-13].

In 1974, Rhoades [12] established weak convergence theorems of the Mean sequence for strictly pseudocontractive mapping in Hilbert space.

In particular, he proved the following strong convergence results:

**Theorem 1.** [12] Let  $X$  be a real Hilbert space and  $C$  a nonempty compact convex subset of  $X$ . Let  $T : C \rightarrow C$  be a strictly pseudocontractive mapping and let  $\{\alpha_n\}$  be a real sequence satisfying

## 2.MAIN RESULT

**Lemma 2.1.** Let  $X$  be a real  $q$ -uniformly smooth Banach space and  $C$  be a nonempty convex subset of  $X$  with  $C+C \subseteq C$ , and  $T:C \rightarrow C$  be a uniformly  $L$ -Lipschitzian mapping with constant  $L > 0$  such that  $F(T) \neq \emptyset$ . Let  $\{u_n\}_{n=1}^{\infty}, \{v_n\}_{n=1}^{\infty}$  be bounded sequences in  $C$  and  $\{\alpha_n\}_{n=1}^{\infty}, \{\beta_n\}_{n=1}^{\infty}$  be real sequences in  $[0,1]$  satisfying the following conditions

$$(i) \sum_{n=1}^{\infty} \|u_n\| < \infty, (ii) \sum_{n=1}^{\infty} \|v_n\| < \infty, \text{ and } \sum_{n=1}^{\infty} \alpha_n < \infty.$$

Let  $\{x_n\}$  be the sequence generated from an arbitrary  $x_1 \in C$ , by the modified Ishikawa iterative process (1.10) with errors. Then

$$(i) \|x_{n+1} - x^*\|^q \leq (1 + \delta_n) \|x_n - x^*\|^q + \theta_n, \forall n \geq 1, x^* \in F(T),$$

where

$$\delta_n = q\alpha_n(1+L+L^2) + \alpha_n^q c_q (1+qL(1+L) + c_q L^q (2+L)^{q-1}(1+L)),$$

and

$$\begin{aligned} \theta_n = & q\alpha_n L \|x_n - x^*\|^{q-1} \|v_n\| + \alpha_n^q c_q^2 L^q (2+L)^{q-1} \|v_n\|^q + q \|u_n\| \|x_{n+1} - u_n - x^*\|^{q-1} \\ & + c_q \|u_n\|^q + \|v_n\| \|x_n - x^*\|^{q-1}. \end{aligned}$$

(ii) There exists a constant  $M > 0$ ,  $\left( e.g., M = e^{\sum_{n=1}^{\infty} \delta_n} \right)$  such that

$$\|x_{n+m} - x^*\|^q \leq M \|x_n - x^*\|^q + M \sum_{k=n}^{n+m-1} \theta_k, \forall n, m \geq 1, \forall x^* \in F(T).$$

**Proof:** (i) Let  $x^*$  be an arbitrary element in  $F(T)$ . Then it follows from (1.6) and (1.10) that

$$\begin{aligned} \|x_{n+1} - x^*\|^q &= \|(1 - \alpha_n)x_n + \alpha_n T^n y_n + u_n - x^*\|^q \\ &= \|(1 - \alpha_n)x_n + \alpha_n T^n y_n - x^* + u_n\|^q \\ &\leq \|(1 - \alpha_n)x_n + \alpha_n T^n y_n - x^*\|^q + q \langle u_n, j_q(x_{n+1} - u_n - x^*) \rangle + c_q \|u_n\|^q \\ &\leq \|(1 - \alpha_n)x_n + \alpha_n T^n y_n - x^*\|^q + q \|u_n\| \|x_{n+1} - u_n - x^*\|^{q-1} + c_q \|u_n\|^q \quad ... (2.1) \end{aligned}$$

It follows from (1.6) that

$$\begin{aligned}
 \| (1-\alpha_n)x_n + \alpha_n T^n y_n - x^* \|^q &= \| x_n - x^* - \alpha_n (x_n - T^n y_n) \|^q \\
 &\leq \| x_n - x^* \|^q - \alpha_n q \langle x_n - T^n y_n, j_q(x_n - x^*) \rangle + \alpha_n^q c_q \| x_n - T^n y_n \|^q \\
 &\leq \| x_n - x^* \|^q + \alpha_n q \| \langle x_n - T^n y_n, j_q(x_n - x^*) \rangle \| + \alpha_n^q c_q \| x_n - T^n y_n \|^q
 \end{aligned} \quad \dots(2.2)$$

From (1.1) and (1.4), we have

$$\begin{aligned}
 |\langle x_n - T^n y_n, j_q(x_n - x^*) \rangle| &\leq \| x_n - T^n y_n \| \| j_q(x_n - x^*) \| \\
 &= \| x_n - T^n y_n \| \| x_n - x^* \|^{q-1} \\
 &\leq (\| x_n - x^* \| - \| T^n y_n - T^n x^* \|) \| x_n - x^* \|^{q-1} \\
 &\leq (\| x_n - x^* \| + L \| y_n - x^* \|) \| x_n - x^* \|^{q-1} \\
 &= \| x_n - x^* \|^q + L \| y_n - x^* \| \| x_n - x^* \|^{q-1},
 \end{aligned}$$

and

$$\begin{aligned}
 \| y_n - x^* \| &= \| (1-\beta_n)x_n + \beta_n T^n x_n + v_n - x^* \| \\
 &= \| (1-\beta_n)x_n + \beta_n T^n x_n + v_n - x^* - \beta_n x^* + \beta_n x^* \| \\
 &= \| (1-\beta_n)(x_n - x^*) + \beta_n (T^n x_n - x^*) + v_n \| \\
 &\leq (1-\beta_n) \| x_n - x^* \| + \beta_n \| T^n x_n - x^* \| + \| v_n \| \\
 &\leq (1-\beta_n) \| x_n - x^* \| + \beta_n L \| x_n - x^* \| + \| v_n \| \\
 &= (1-\beta_n + \beta_n L) \| x_n - x^* \| + \| v_n \| \\
 &\leq (1+L) \| x_n - x^* \| + \| v_n \|,
 \end{aligned}$$

we have

$$\begin{aligned}
 |\langle x_n - T^n y_n, j_q(x_n - x^*) \rangle| &\leq \| x_n - x^* \|^q + L \| x_n - x^* \|^{q-1} ((1+L) \| x_n - x^* \| + \| v_n \|) \\
 &= \| x_n - x^* \|^q + L(1+L) \| x_n - x^* \|^q + L \| x_n - x^* \|^{q-1} \| v_n \| \\
 &= (1+L(1+L)) \| x_n - x^* \|^q + L \| x_n - x^* \|^{q-1} \| v_n \|
 \end{aligned} \quad \dots(2.3)$$

From (1.4) and (1.6), we have

$$\begin{aligned}
 \| x_n - T^n y_n \|^q &= \| (x_n - x^*) - (T^n y_n - T^n x^*) \|^q \\
 &\leq \| x_n - x^* \|^q - q \langle T^n y_n - T^n x^*, j_q(x_n - x^*) \rangle + c_q \| T^n y_n - T^n x^* \|^q \\
 &\leq \| x_n - x^* \|^q + q \| T^n y_n - T^n x^* \| \| j_q(x_n - x^*) \| + c_q \| T^n y_n - T^n x^* \|^q \\
 &\leq \| x_n - x^* \|^q + qL \| y_n - x^* \| \| x_n - x^* \|^{q-1} + c_q L^q \| y_n - x^* \|^q,
 \end{aligned}$$

and

$$\begin{aligned}
 \|y_n - x^*\|^q &\leq ((1+L)\|x_n - x^*\| + \|v_n\|)^q \\
 &= \left( \left( \frac{2+L}{2+L} \right) (1+L)\|x_n - x^*\| + \left( \frac{2+L}{2+L} \right) \|v_n\| \right)^q \\
 &\leq (2+L)^q \left( \frac{1+L}{2+L} \|x_n - x^*\|^q + \frac{1}{2+L} \|v_n\|^q \right) \\
 &\leq (2+L)^{q-1} (1+L)\|x_n - x^*\|^q + (2+L)^{q-1} \|v_n\|^q,
 \end{aligned}$$

we have the following estimates:

$$\begin{aligned}
 \|x_n - T^n y_n\|^q &\leq \|x_n - x^*\|^q + qL \|y_n - x^*\| \|x_n - x^*\|^{q-1} + c_q L^q \|v_n - x^*\|^q \\
 &\leq \|x_n - x^*\|^q + qL^q ((1+L)\|x_n - x^*\| + \|v_n\|) \|x_n - x^*\|^{q-1} \\
 &\quad + c_q L^q \left( (2+L)^{q-1} (1+L)\|x_n - x^*\|^q + (2+L)^{q-1} \|v_n\|^q \right) \\
 &= \|x_n - x^*\|^q + qL (1+L)\|x_n - x^*\|^q + qL \|v_n\|^q \|x_n - x^*\|^{q-1} \\
 &\quad + c_q L^q (2+L)^{q-1} (1+L)\|x_n - x^*\|^q + c_q L^q (2+L)^{q-1} \|v_n\|^q \\
 &= (1+qL(1+L) + c_q L^q (2+L)^{q-1}(1+L)) \|x_n - x^*\|^q \\
 &\quad + qL \|v_n\| \|x_n - x^*\|^{q-1} + c_q L^q (2+L)^{q-1} \|v_n\|^q. \tag{2.4}
 \end{aligned}$$

Consequently from (2.1) - (2.4), we have

$$\begin{aligned}
 \|x_{n+1} - x^*\|^q &\leq \|x_n - x^*\|^q + q\alpha_n \left[ (1+L(1+L)) \|x_n - x^*\|^q + L \|x_n - x^*\|^{q-1} \|v_n\| \right] \\
 &\quad + \alpha_n^q c_q \left[ (1+qL(1+L) + c_q L^q (2+L)^{q-1}(1+L)) \|x_n - x^*\|^q \right. \\
 &\quad \left. + qL \|v_n\| \|x_n - x^*\|^{q-1} + c_q L^q (2+L)^{q-1} \|v_n\|^q \right] + q \|u_n\| \|x_{n+1} - u_n - x^*\|^{q-1} + c_q \|u_n\|^q \\
 &= (1+\delta_n) \|x_n - x^*\|^q + \theta_n.
 \end{aligned}$$

Therefore (i) is valid. ■

**Proof (ii)** It follows from conclusion (i) that for all  $n, m \geq 1$  and  $x^* \in F(T)$ .

$$\begin{aligned}
 \|x_{n+m} - x^*\|^q &\leq (1+\delta_{n+m-1}) \|x_{n+m-1} - x^*\|^q + \theta_{n+m-1} \\
 &\leq (1+\delta_{n+m-1})(1+\delta_{n+m-2}) \|x_{n+m-2} - x^*\|^q + (1+\delta_{n+m-1})\theta_{n+m-2} + \theta_{n+m-1} \\
 &\leq (1+\delta_{n+m-1})(1+\delta_{n+m-2})(1+\delta_{n+m-3}) \|x_{n+m-3} - x^*\|^q \\
 &\quad + (1+\delta_{n+m-1})(1+\delta_{n+m-2})\theta_{n+m-3} + (1+\delta_{n+m-1})\theta_{n+m-2} + \theta_{n+m-1} \\
 &\leq ...
 \end{aligned}$$

$$\begin{aligned} &\leq e^{\sum_{k=n}^{n+m-1} \delta_k} \|x_n - x^*\|^q + e^{\sum_{k=n}^{n+m-1} \delta_k} \sum_{k=n}^{n+m-1} \theta_k \\ &\leq M \|x_n - x^*\|^q + M \sum_{k=n}^{n+m-1} \theta_k, \end{aligned}$$

where  $M = \sum_{k=n}^{n+m-1} \delta_k$ . This shows that conclusion (ii) is also valid. ■

**Theorem 2.1.** Let  $X$  be real  $q$ -uniformly smooth Banach space and  $C$  be a nonempty closed convex subset of  $X$  with  $C+C \subseteq C$ , and  $T:C \rightarrow C$  be an uniformly  $L$ -Lipschitzian mapping with constant  $L>0$  such that  $F(T) \neq \emptyset$ . Let  $\{u_n\}_{n=1}^\infty, \{v_n\}_{n=1}^\infty$  be bounded sequences in  $C$  and  $\{\alpha_n\}_{n=1}^\infty, \{\beta_n\}_{n=1}^\infty$  be real sequences in  $[0,1]$  satisfying the following conditions

$$(i) \sum_{n=1}^\infty \|u_n\| < \infty, (ii) \sum_{n=1}^\infty \|v_n\| < \infty, \text{ and } \sum_{n=1}^\infty \alpha_n < \infty.$$

Let  $\{x_n\}$  be the sequence generated from an arbitrary  $x_1 \in C$ , by the modified Ishikawa iterative process (1.10) with errors. Then  $\{x_n\}$  converges strongly to a fixed point of  $T$  if and only if  $\{x_n\}$  is bounded and

$$\liminf_{n \rightarrow \infty} d(x_n, F(T)) = 0,$$

where  $d(x_n, F(T))$  is the distance from  $x_n$  to set  $F(T)$ .

**Proof** Suppose that the sequence (1.10) converges strongly to a fixed point of  $T$ . Thus  $\{x_n\}$  is bounded (since every converges sequence is bounded) and  $\liminf_{n \rightarrow \infty} d(x_n, F(T)) = 0$ .

Assume that  $\{x_n\}$  is bounded and  $\liminf_{n \rightarrow \infty} d(x_n, F(T)) = 0$ . To show that  $\{x_n\}$  converges strong to a fixed point of  $T$ .

From Lemma 2.1 (i), we get

$$\|x_{n+1} - x^*\|^q \leq (1 - \delta_n) \|x_n - x^*\|^q + \theta_n, \quad \forall n \geq 1, x^* \in F(T)$$

where

$$\delta_n = q\alpha_n(1+L+L^2) + \alpha_n^q c_q (1+qL(1+L) + c_q L^q (2+L)^{q-1}(1+L))$$

and

$$\begin{aligned} \theta_n &= q\alpha_n L \|x_n - x^*\|^{q-1} \|v_n\| + \alpha_n^q c_q^2 L^q (2+L)^{q-1} \|v_n\|^q + q \|u_n\| \|x_{n+1} - u_n - x^*\|^{q-1} \\ &\quad + c_q \|u_n\|^q + \|v_n\| \|x_n - x^*\|^{q-1}. \end{aligned}$$

Since  $\sum_{n=1}^\infty \|u_n\| < \infty$  and  $\sum_{n=1}^\infty \|v_n\| < \infty$ , imply  $\sum_{n=1}^\infty \|u_n\|^q < \infty$  and  $\sum_{n=1}^\infty \|v_n\|^q < \infty$ .

We have  $\{x_n\}$  and  $\{u_n\}$  are bounded. Thus, there is a number  $W > 0$  such that

$$\|x_{n+1} - u_n - x^*\| \leq W \text{ and } \|x_n - x^*\| \leq W, \forall n \geq 1.$$

Hence

$$\begin{aligned} \sum_{n=1}^{\infty} \theta_n &\leq \sum_{n=1}^{\infty} \left( (qL+1)W^{q-1}\|v_n\| + c_q^2 L^q (2+L)^{q-1} \|v_n\|^q + q \|u_n\| W^{q-1} + c_q \|u_n\|^q \right) \\ &\leq (qL+1)W^{q-1} \sum_{n=1}^{\infty} \|v_n\| + c_q^2 L^q (2+L)^{q-1} \sum_{n=1}^{\infty} \|v_n\|^q + qW^{q-1} \sum_{n=1}^{\infty} \|u_n\| + c_q \sum_{n=1}^{\infty} \|u_n\|^q < \infty \end{aligned}$$

and, we have

$$\sum_{n=1}^{\infty} \delta_n \leq q (1+L+L^2) \sum_{n=1}^{\infty} \alpha_n + c_q \left( 1 + qL(1+L) + c_q L^q (2+L)^{q-1} (1+L) \right) \sum_{n=1}^{\infty} \alpha_n^q < \infty.$$

This, implies that

$$\|x_{n+1} - x^*\|^q \leq (1 + \delta_n) \|x_n - x^*\|^q + \theta_n \leq \|x_n - x^*\|^q + \delta_n W^q + \theta_n. \quad \dots(2.5)$$

Now it is clear that

$$(d(x_{n+1}, F(T)))^q \leq (d(x_n, F(T)))^q + \delta_n W^q + \theta_n.$$

By Lemma 1.2 we note that the sequence  $\{\|x_n - x^*\|^q\}$  converges, so as the sequence  $\{\|x_n - x^*\|\}$ . By Lemma 1.2 again, we obtain that  $\lim_{n \rightarrow \infty} (d(x_n, F(T)))^q$  exists, so does  $\lim_{n \rightarrow \infty} (d(x_n, F(T)))$ . Since  $\liminf_{n \rightarrow \infty} d(x_n, F(T)) = 0$ , this implies that  $\lim_{n \rightarrow \infty} d(x_n, F(T)) = 0$ .

We claim that  $\{x_n\}$  is a Cauchy sequence. From Lemma 2.1 (ii), there exists a constant  $M > 0$  such that

$$\|x_{n+m} - x^*\| \leq M \|x_n - x^*\|^q + M \sum_{k=n}^{n+m-1} \theta_k, \forall n, m \geq 1, \forall x^* \in F(T).$$

Since  $\lim_{n \rightarrow \infty} d(x_n, F(T)) = 0$  and  $\sum_{n=1}^{\infty} \theta_n < \infty$ , for an arbitrary  $\varepsilon > 0$ , there exists an integer  $N_1 \geq 1$  such that for each  $n \geq N_1$

$$d(x_n, F(T)) < \left( \frac{\varepsilon}{3M} \right)^{1/q} \frac{1}{2^{(q-1)/q}}, \text{ and } \sum_{k=n}^{\infty} \theta_k < \frac{\varepsilon}{6M} \frac{1}{2^{q-1}}.$$

Also,

$$d(x_{N_1}, F(T)) < \left( \frac{\varepsilon}{3M} \right)^{1/q} \frac{1}{2^{(q-1)/q}}.$$

Therefore there exists an  $x_1^* \in F(T)$  such that

$$d(x_{N_1}, x^*) < \left(\frac{\varepsilon}{3M}\right)^{\frac{1}{q}} \cdot \frac{1}{2^{\frac{(q-1)}{q}}}.$$

Hence, by Jensen's Inequality, we obtain that

$$\|x_{n+m} - x_n\|^q \leq 2^{q-1} \left( \|x_n - x^*\|^q + \|x_{n+m} - x^*\|^q \right) \quad \dots(2.6)$$

Since for all  $n \geq N_1$ , we have

$$\begin{aligned} \|x_n - x^*\|^q &\leq M \|x_{N_1} - x^*\|^q + M \sum_{k=N_1}^n \theta_k \\ &\leq M \|x_{N_1} - x^*\|^q + M \sum_{k=N_1}^{\infty} \theta_k \\ &\leq M \frac{\varepsilon}{3M} \frac{1}{2^{q-1}} + M \frac{\varepsilon}{6M} \frac{1}{2^{q-1}} \leq \frac{\varepsilon}{2} \frac{1}{2^{q-1}}. \end{aligned}$$

Therefore

$$\begin{aligned} \|x_{n+m} - x^*\|^q &\leq M \|x_{N_1} - x^*\|^q + M \sum_{k=N_1}^{n+m-1} \theta_k \\ &\leq M \|x_{N_1} - x^*\|^q + M \sum_{k=N_1}^{\infty} \theta_k \\ &\leq M \frac{\varepsilon}{3M} \frac{1}{2^{q-1}} + M \frac{\varepsilon}{6M} \frac{1}{2^{q-1}} \\ &= \frac{\varepsilon}{2} \frac{1}{2^{q-1}}, \end{aligned}$$

From (2.6), we get

$$\|x_{n+m} - x^*\|^q \leq 2^{q-1} \left( \frac{\varepsilon}{2} \frac{1}{2^{q-1}} + \frac{\varepsilon}{2} \frac{1}{2^{q-1}} \right) = \varepsilon, \quad \forall n \geq N_1, m \geq 1.$$

This show that  $\{x_n\}$  is a Cauchy sequence. Since the space X is complete,  $\lim_{n \rightarrow \infty} x_n$  exists.

Therefore, we may assume that  $\lim_{n \rightarrow \infty} x_n = x^*$  and it is easy to show that is a fixed point of T. ■

## REFERENCES

- 1- Chang S.S., "Some results for asymptotically pseudo-contractive mappings and asymptotically nonexpansive mappings", Proc. Amer. Math. Soc., Vol. 129, no.3, pp. 845-853, (2001).
- 2- Moore C. and Nnoli B.V.C., "Iterative sequence for asymptotically demi-contractive mappings in Banach spaces" J. Math. Anal. Math. Appl., Vol. 302, no.2, pp. 557-562, (2005).
- 3- Kamil S. K., "Adaptive Mann iterations for nonlinear accretive and pseudocontractive operator equations" Math. Comm., Vol. 13, pp. 33-44, (2008).
- 4- Deville R., Godfray G., Zizler V. Smoothness and Renormings in Banach space, Pitman Monographs and surveys in pure and Applied Mathematics, Longman Scientific and Technical, Harlow, UK (1993).
- 5- Xu Z.B. and Roach G., "Characteristic inequalities of uniformly convex and uniformly smooth Banach spaces" J. Math. Anal. Math. Appl., Vol. 157, pp. 189-210, (1991).
- 6- Lin L.S., "Ishikawa and Mann Iterative process with errors for nonlinear strongly accretive mapping in Banach spaces" J. Math. Anal. Math. Appl., Vol. 194, pp. 114-125, (1994).
- 7- Deng L. and Ding X.P., "Iterative approximation of Lipschitz strictly pseudocontractive mappings in uniformly smooth Banach spaces" Nonlinear Anal.TMA, Vol. 24, pp. 981-987, (1995).
- 8- Chang S.S., Cho Y.J., Lee B.S. and Kang S.M., "Iterative approximation of fixed points and solution for strongly accretive and strongly pseudocontractive mapping in Banach spaces" J. Math. Anal. Appl., Vol. 224, pp. 149-165, (1989).
- 9- Zeng L.C., "Iterative approximation of solution to nonlinear equations of strongly accretive operator in Banach spaces" Nonlinear Anal.TMA, Vol. 31, pp. 589-598, (1998).
- 10-Lin Q.H., "Iterative sequence for asymptotically quasi-nonexpansive mapping with error member" J. Math. Anal. Math. Appl., Vol. 259, pp. 18-24, (2001).
- 11-Zeng L.C., "Iterative approximation of solution to nonlinear equations involving m-accretive operators in Banach space" J. Math. Anal. Appl., Vol. 270, pp. 319-331, (2002).
- 12-Rhoades B.E., "Fixed point iterations using infinite matrices" Trans. Amer. Math. Soc., Vol. 196, pp. 161-176, (1974).
- 13-Tan K.K. and Xu H.K., "Approximating fixed points of nonexpansive mappings by the Ishikawa iteration process" J. Math. Anal. Appl., Vol. 178, pp. 301-308, (1993).
- 14-Osilike M.O. and Udomene A., "Demiclosedness principle and convergence theorems for strictly pseudocontractive mappings of

- Browder-Petryshyn type" J. Math. Anal. Appl., Vol. 256, pp. 431-445, (2001).
- 15-Browder F.E. and Petryshyn W.V., "Construction of fixed point of nonlinear mappings in Hilbert space" J. Math. Anal. Appl., Vol. 20, pp. 197-228, (1967).
- 16-Lin Y.C., Wong N.C. and Yao J.C., "Strong convergence theorem of Ishikawa Iteration Process with error for fixed point of Lipschitz continuous mapping in Banach spaces" Taiw. J. Math., Vol. 10, no.2, pp. 543-552, (2006).

the conditions (i)  $\alpha_0 = 1$ ; (ii)  $\sum_{n=1}^{\infty} \alpha_n = \infty$ ; (iii)  $\lim_{n \rightarrow \infty} \alpha_n = \alpha < 1$ . Then sequence  $\{x_n\}$  generated from an arbitrary  $x_0 \in C$  by the Mann iterative process

$$x_{n+1} = (1 - \alpha_n)x_n + \alpha_n Tx_n \quad n \geq 0 \quad \dots(1.7)$$

converges strongly to a fixed point of T.

In 2001, Osilike and Udomene [14] improved, unified and developed the above Theorem 1.2 and Browder petryshinu's corresponding result [15] in two aspects:

- i. Hilbert space are extended to the setting of q- uniformly smooth Banach spaces ( $q > 1$ );
- ii. Mann iterative is extended to the case of Ishikawa iterative process.

**Theorem 2. [14.Theorem 2]** Let X be a real q- uniformly smooth Banach space which is also uniformly convex. Let C be a nonempty closed convex subset of X and  $T: C \rightarrow C$  be a strictly pseudocotractive mapping with a nonempty fixed point set F(T). Let  $\{\alpha_n\}$  and  $\{\beta_n\}$  be real sequence in  $[0,1]$  satisfying the conditions :-

- i.  $0 < a \leq \alpha_n^{q-1} \leq b \leq \left(\frac{q\lambda^{q-1}}{c_q}\right)(1 - \beta_n)$ ,  $\forall n \geq 1$  and for some constant  $a, b \in (0, 1)$ ;
- ii.  $\sum_{n=1}^{\infty} \beta_n^\tau < \infty$ , where  $\tau = \min\{1, (q-1)\}$ .

If  $\{x_n\}$  is the sequence generated from an arbitrary  $x_0 \in C$  by the Ishikawa iterative process

$$\begin{aligned} y_n &= (1 - \beta_n)x_n + \beta_n Tx_n, \\ x_{n+1} &= (1 - \alpha_n)y_n + \alpha_n Ty_n, \quad n \geq 1. \end{aligned} \quad \dots(1.8)$$

then  $\{x_n\}$  converges weakly to a fixed point of T.

In 2003, Lin [6] extended Theorem 1.1 and Theorem 1.2 by establishing strong convergence Theorem of Ishikawa iterative process for Lipschitz continuous mappings in real q- uniformly smooth Banach space. Very recently, Yen, Nagi and Jen [16] extended some results of Lin [6] by establish the sufficient and necessary conditions for the strong convergence of  $\{x_n\}$  in to a fixed point of T. Namely, Lin [6] proved the following :-

**Theorem 3.** Let  $q > 1$  and  $X$  be a real  $q$ -uniformly smooth Banach space which is also uniformly convex. Let  $C$  be a nonempty closed convex subset of  $X$  with  $C + C \subseteq C$ , and  $T : C \rightarrow C$  be a Lipschitz continuous mapping with constant  $L > 0$  such that  $F(T) \neq \emptyset$ . Let  $\{u_n\}$  and  $\{v_n\}$  be bounded sequences in  $C$  and  $\{\alpha_n\}, \{\beta_n\}$  be real sequences in  $[0, 1]$  satisfying the conditions

$$(i) \sum_{n=1}^{\infty} \|u_n\| < \infty, \quad (ii) \sum_{n=1}^{\infty} \|v_n\| < \infty, \quad (iii) \sum_{n=1}^{\infty} \alpha_n < \infty,$$

If  $\{x_n\}$  is the sequence generated from an arbitrary  $x_1 \in C$  by the Ishikawa iterative process with errors:

$$\begin{aligned} y_n &= (1 - \beta_n)x_n + \beta_n Tx_n + v_n, \\ x_{n+1} &= (1 - \alpha_n)x_n + \alpha_n Ty_n + u_n, \quad n \geq 1, \end{aligned} \quad \dots(1.9)$$

then  $\{x_n\}$  converges weakly to a fixed point of  $T$  if and only if  $\{x_n\}$  bounded and

$$\liminf_{n \rightarrow \infty} d(x_n, F(T)) = 0,$$

where  $d(x_n, F(T))$  is the distance between  $x_n$  and set  $F(T)$ .

The purpose in this paper is to study further the existence solutions of convergence problem of Ishikawa iterative processes with mixed errors for a class of accretive type variation inclusion in arbitrary real spaces. The results presented in this paper not only extend and improve Theorem 1.3 for modified Ishikawa iterative process with errors defined by

$$\begin{aligned} x_1 &\in C, \quad y_n = (1 - \beta_n)x_n + \beta_n T^n x_n + v_n, \\ x_{n+1} &= (1 - \alpha_n)x_n + \alpha_n T^n y_n + u_n, \quad n \geq 1. \end{aligned} \quad \dots(1.10)$$

of uniformly Lipschitzian mapping. Also our results improve and generalize Theorem 1.1, Theorem 1.2 and many others. Our arguments will involve certain new idea and techniques those methods that already existed in the known Literature.

The following Lemma will be useful in the sequel.

**Lemma 2. [13]** Let  $\{a_n\}_{n=1}^{\infty}$  and  $\{b_n\}_{n=1}^{\infty}$  be sequence of nonnegative real numbers such that  $\sum_{n=1}^{\infty} b_n < \infty$  and  $a_{n+1} \leq a_n + b_n$ ,  $\forall n \geq 1$ . Then  $\lim_{n \rightarrow \infty} a_n$  exists.

## An Analytical Study of the Middle Troposphere in a Heavy Rainstorm Over Iraq

Natiq A. Zaki

Department of Atmospheric Sciences, College of Science, Al-Mustansiriyah University

Received 19/11/2008 – Accepted 22/3/2010

### الخلاصة

في يوم 6 كانون الثاني 1993 هطلت أمطار غزيرة فوق معظم مناطق العراق. يهدف هذا البحث إلى تحليل الوضع السينوباتيكي لهذه العاصفة المطرية لتحديد أهم مسبباتها. لقد تم استخدام الخرائط الطقسية السطحية وخرائط المستويات الضغطية 500 و 700 ملبار مع بيانات الأرصاد الجوية العلوية (الراديوسوند) ليوم العاصفة وليوم قبله وليوم بعده. لقد أشارت نتائج التحليل إلى أن من أهم مسببات العاصفة المطرية هنا المنخفض الجوي السوداني والمنخفض الجوي فوق البحر الأبيض المتوسط. كما دلت النتائج على أن المناطق التي هطلت فيها الأمطار بغزارة كانت تقريباً تحت موقع التيار النفاث شبة الاستوائي.

### ABSTRACT

On the 6<sup>th</sup> of January 1993, a heavy rain event occurred over most parts of Iraq. The aim of paper is to analyze the synoptic situation of this rain storm to determine its main cause. Surface, 500 mb and 700 mb weather charts along with radiosonde upper air data were analyzed for the day of the event and the day before and the day after. Results of analysis showed the main cause of the heavy rain events were the Sudanese and the Mediterranean low pressure systems. The results also indicated that area of the heavy rainfall was nearly underneath the position of the sub-tropical jet stream.

### INTRODUCTION

A heavy rainstorm over most parts of Iraq occurred on the 6<sup>th</sup> of January 1993, with the heaviest rainfall concentrated in the triangle whose apex are Baghdad, Ramadi, and Samarra. Records showed that the total amount of rainfall was 81.6 mm in Baghdad less than two days [1].

An analysis of the weather systems that affect Iraq [2] showed that there are two main types causing rainfall: a single weather system where there is only one pressure center that exists, and a combined system with two pressure centers from two different sources.

Another study of the variations in rainfall amounts associated with different weather systems affecting Iraq [3] indicated that the Sudanese low pressure system affects most frequently central and southern Iraq in all seasons as well as on annual basis, while in the north, warm fronts predominate in winter and local depression become more frequent in both spring and autumn.

The jet stream associated with fronts is a narrow belt of strong wind just below the troposphere with much lighter wind around [4,5]. The jet stream is important because of the effects on the strong and localized acceleration of flow often associated with them [6,7]. The sub-tropical

jet stream is a very strong westerly winds not associated with fronts occur near the tropopause in sub-tropics when the horizontal gradients in the tropopause is mostly marked [8].

The aim of this research is to analyze the synoptic situation in the middle tropopause of the heavy rainstorm that occurred on the 6<sup>th</sup> of January 1993 over Iraq. Analysis of surface, 700 mb , and 500 mb charts was carried out along with locating the position of the jet stream.

## MATERIALS AND METHODS

The data and synoptic charts used in this work include: the surface, 700 mb, and 500 mb charts for the 5<sup>th</sup>, 6<sup>th</sup>, and 7<sup>th</sup> of January 1993 and for 00Z and 12Z; the upper level charts for the 6<sup>th</sup> and 7<sup>th</sup> of the same period. All these charts were provided by the Iraqi Meteorological organization. Synoptic analysis were carried out for all these charts.

## RESULTS AND DISCUSSION

### a) *Surface charts*

Figure (1) shows the 0000 hrs surface chart for the 6<sup>th</sup> of January 1993, its is seen that the Sudanese depression was advancing towards north east from the Red Sea. On the next day, i.e. 7<sup>th</sup> of January the center of the low was located on the eastern side of the Mediterranean and parts of Palestine and Lebanon (as indicated in figure (2). As illustrated in figure (3), on the third day, the center has moved northward to cover Syria, southern Turkey with a secondary low centered on the northern part of Saudi Arabia and covered some parts of southern Iraq. On that day the center of Iraq was under the influence of a high pressure system located over Iran.

These surface charts do not show the effect of the Sudanese low over central Iraq that has caused the heavy rain event that occurred on the 6<sup>th</sup> of January.

### b) *The 700 mb charts*

Figure (4) shows the situation of the 700 mb level for the 0000 hrs of the 5<sup>th</sup> of January. It is seen that there are three low contours centers at 3000 m potential height; the first one was over the eastern Mediterranean, with relatively warm air more than -5 C, the second center extended over northern Spain and eastern Turkey with air temperature less than -10 C, and the third center lied over the Caspian sea region with a temperature less than -10 C. The wind was light at these low centers.

After 12 hrs, the Mediterranean low center disappeared (see fig 5), and the wind intensified at the other lows. The temperature remained relatively the same.

On the 0000 hrs of the next day, the 6<sup>th</sup> of January, the area of the low centers has increased (see figure 6) to cover the eastern Mediterranean, Syria, northern Iraq, and nearly all Turkey with convergence and intensification of wind. A cold air mass moved from northern Turkey to the south. A decrease of 10 C occurred in the temperature in a 12 hrs time (see figure 7). The height of the low centers decreased by about 140 m. Also, an extension of the low, moved eastward tp cover central and northern Iraq with convergence in western and central Iraq.

Figure (8) shows the situation of the 7<sup>th</sup> of January. On that day, the depression remained almost in its position. A ridge of high pressure was developed which has affected the central and southern parts of Iraq. On the same day but after 12 hrs, the depression remained in its position (see figure 9) but the convergence in central Iraq began weakening and the mixing of the air masses continued with a weakening temperature gradient too.

#### *c) The 500 mb charts*

Figure (10) shows the 500 mb chart for the 0000 hrs of the 5<sup>th</sup> of January. It is seen that there were two depressions, one was over the eastern part of the Mediterranean whose center lied in the 5520 m height, and the second depression lied over eastern Turkey whose height was less than 5490 m. The situation after 12 hrs is shown in figure 11. It seems that the position of the depression center over Turkey lied on the eastern part of that country but the its height was lower than that of figure (10). At 0000 hrs of the next day (the 6<sup>th</sup> of January), as seen in figure (12), a low level pressure trough deepened and extended south west towards north Egypt and north eastern parts of Libya. At 1200 hrs of the same day, figure (13) shows that the depression has moved eastward. Finally figure (14) illustrate the situation after 12 hrs, i.e. on the 0000hr of the 7<sup>th</sup> of January, the low over central Iraq stared to be affected by a ridge of high pressure system which was located over the Arabian Peninsula and the center of depression moved westward.

#### *d) The Jet Stream*

Radiosonde data obtained from the Iraqi Meteorological Organization were used to locate the position of the Jet stream. It was found that the axis of the jet stream was between 250 to 300 mb height on the 6<sup>th</sup> of January. The axis of the maximum wind direction on the same day at 0000 hrs was 240° with a speed of 80 m/s passing south of Baghdad. Later, at 1200 hrs, the postion of the jet stream was over Baghdad with the same speed but the direction was slightly changed to 230°. On the next day, the jet stream moved to south of Baghdad with a maximum speed of 120 m/s and a direction of 230°.

Surface, 700 mb, and 500 mb charts and Radiosonde data were used to analyze the synoptic situation of the heavy rain event occurred over Iraq

on the 6<sup>th</sup> of January 1993. The results showed that Sudanese low and the Mediterranean low were the main cause of the heavy rain event that have occurred over most parts of Iraq on the 6<sup>th</sup> of January 1993. The center of heavy rainfall was over triangle whose apex were Baghdad, Ramadi, and Samarra and this area was nearly under the position of sub-tropical jet stream on that day.

Table -1: Rain fall amount on the 6<sup>th</sup> of January 1993 for selected Iraqi Meteorological stations [1].

Station	St. No.	Latitude (deg)	Longitude (deg)	Elevation (m)	Rain fall (mm)
Baghdad	650	32.12	44.14	31.7	81.6
Samarra	635	34.11	43.50	69.5	19.0
Khanaqin	637	34.18	45.26	202.0	21.4
Kerbala	656	32.37	44.01	29.0	19.4
Haditha	634	34.04	42.44	108.7	13.6
Tikrit	633	34.35	44.18	107.0	11.1
Hilla	657	32.24	44.26	27.0	22.3

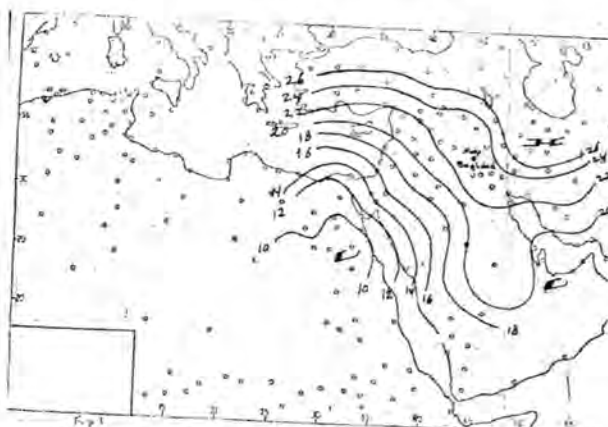


Figure -1: Surface chart for the 6<sup>th</sup> of January 1993, 0000 hr.

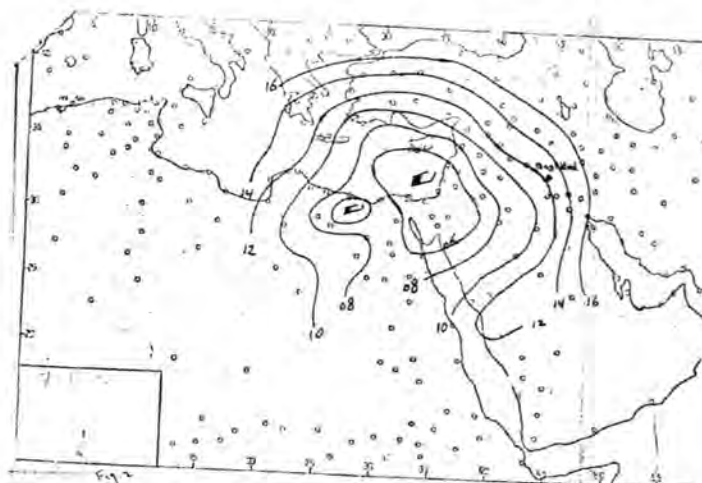


Figure -2: Surface chart for the 7<sup>th</sup> of January 1993, 0000 hr.

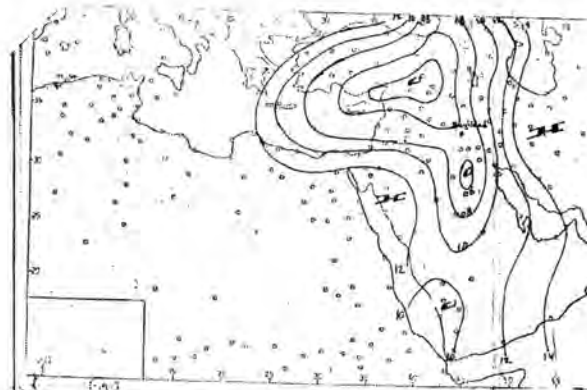


Figure -3: Surface chart for the 8th of January 1993, 0000 hr.

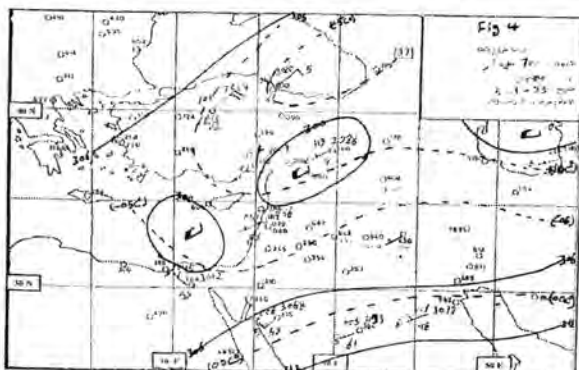


Figure -4: 700 mb chart for the 5th of January 1993, 0000 hr.

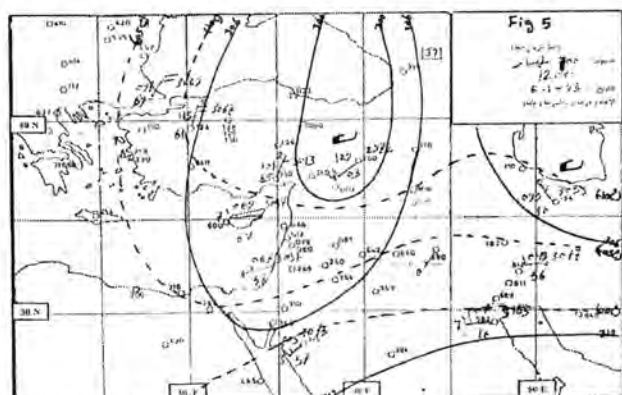


Figure -5: 700 mb chart for the 5th of January 1993, 1200 hr.

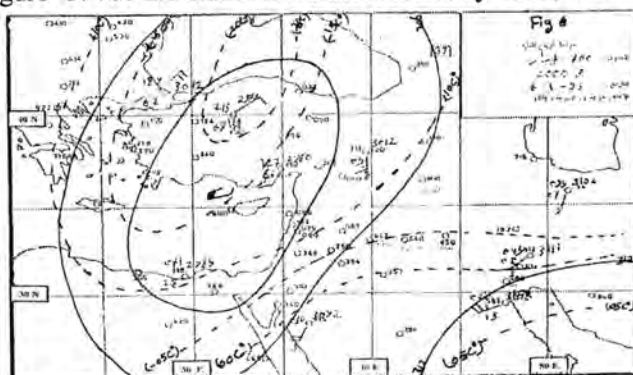


Figure -6: 700 mb chart for the 6th of January 1993, 0000 hr.

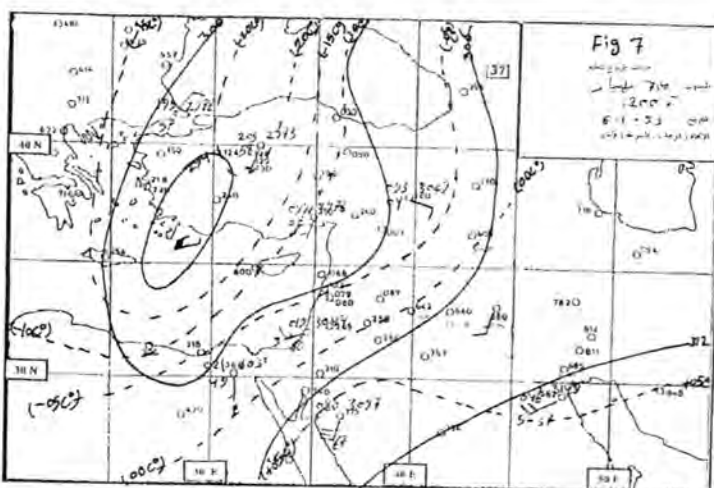


Figure -7: 700 mb chart for the 6th of January 1993, 1200 hr.

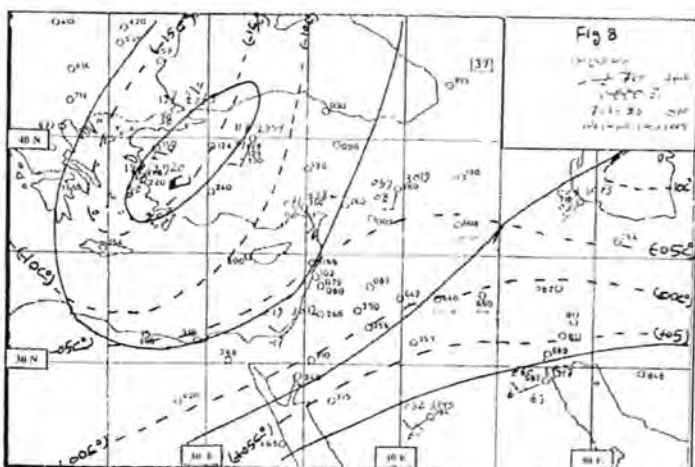


Figure -8: 700 mb chart for the 7th of January 1993, 0000 hr.

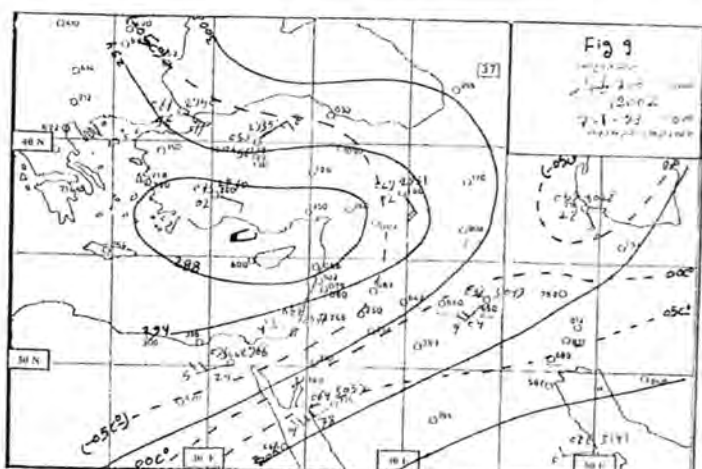


Figure -9: 700 mb chart for the 7<sup>th</sup> of January 1993, 1200 hr.

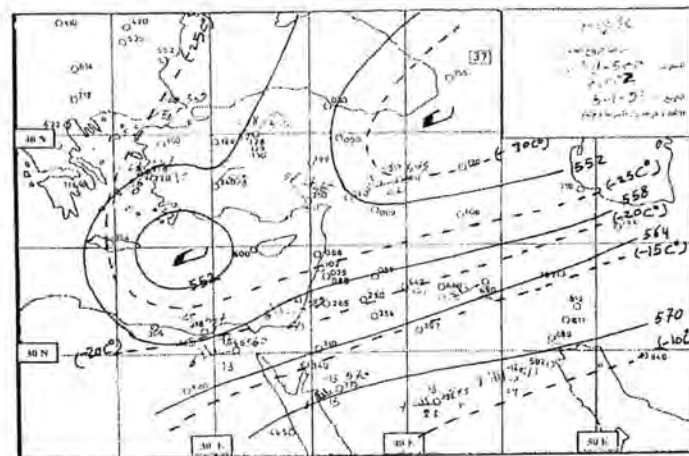


Figure -10: 500 mb chart for the 5th of January 1993, 0000 hr.

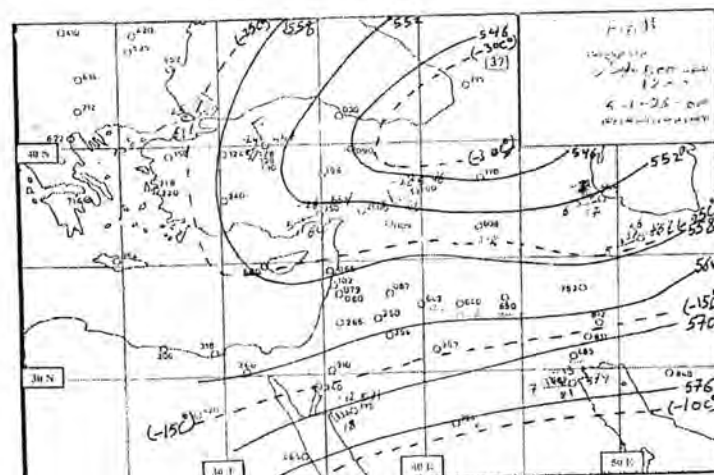


Figure -11: 500 mb chart for the 5th of January 1993, 1200 hr.

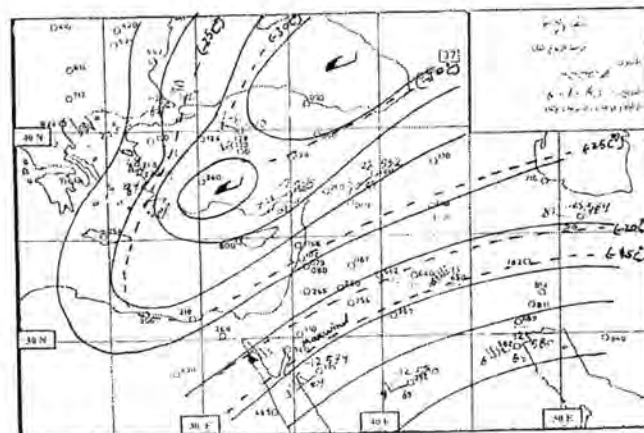


Figure -12: 500 mb chart for the 6th of January 1993, 0000 hr.

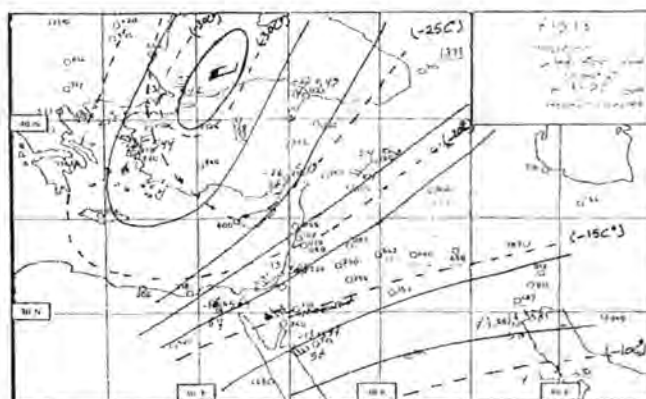


Figure -13: 500 mb chart for the 6th of January 1993, 1200 hr.



Figure -14: 500 mb chart for the 7th of January 1993, 0000 hr.

## REFERENCES

1. Meteorological records, surface and upper air maps. Iraqi Meteorological Organization, Baghdad, Iraq. Personal communication.
2. Al-Naimi, R. H. and S. K. Abdul Wahab: Prediction of weather systems movements affecting the country (Iraq). Al-Mustansiriyah J. of Science, Vol. 2, No. 1, 1-12, (1990). (in Arabic).
3. Zaki, N.A. and A. Al-Naimi: Al-Mustansiriyah J. of Science, Vol. 4, (1993).
4. MacIntosh, D. H. and A.S. Thom: Essentials of Meteorology, Longman Press, London (1976).
5. Saha, K.: The Earth Atmosphere, Its Physics and Dynamics, Springer, (2008)
6. Martin, J. E.: Mid-Latitude Atmospheric Dynamics, John Wiley and Sons Ltd. (2006).
7. Lin, Y.: Mesoscale Dynamics, Cambridge university Press (2007).
8. Romi T. O. and N. A. Zaki: The variation of wind speed and temperature with height within the surface boundary layer. Vol 12, No. 2, pp 157-169, (2001).

# مجلة علوم المستنصرية

تصدر عن كلية العلوم الجامعية المستنصرية

رئيس التحرير  
أ. د. رضا ابراهيم البياتي

مدير التحرير  
أ.م.د. اقبال خضر الجوفي

## هيئة التحرير

أ. د.إيمان طارق محمد العلوى  
أ. م. د.رمزي رشيد علي العاني  
أ. م. د.انعام عبد الرحمن حسن  
أ. م. د.عونی ادور عبد الواحد  
أ. م. د.ماجد محمد محمود  
أ. م. د.سعد نجم باشخ  
أ. م. د.حسين كريم سليمان الونداوى

## الهيئة الاستشارية

أ. م. د. كاظم حسن حسين الموسوي  
أ. د. طارق صالح عبد الرزاق  
أ. د. مهدي صادق عباس  
أ. م. د. عبد الله احمد رشيد  
أ. م. د.حسين اسماعيل عبد الله  
أ. م. د.مهند محمد نوري  
أ. م. د. منعم حكيم خلف  
أ. م. د. عامر صديق الملاح  
أ. م. د. طارق سهيل نجم  
أ. م. د. يوسف كاظم عبد الامير

بسم الله الرحمن الرحيم

## تعليمات النشر لمجلة علوم المستنصرية

1. تقوم المجلة بنشر البحوث الرصينة التي لم يسبق نشرها في مكان آخر بعد إخضاعها للتقويم العلمي من قبل مختصين وبأي من اللغتين العربية أو الانكليزية .
2. يقدم الباحث طلباً تحريرياً لنشر البحث في المجلة على أن يكون مرفقاً بأربع نسخ من البحث مطبوعة على الحاسوب ومسحوب بطابعة ليدزيرية وعلى ورق أبيض قياس (A4) مع فرنس مرن (Disk) محملاً بأصل البحث ويكون عدد صفحات البحث 10 صفحات وبضمها الأشكال والجداول على أن لا يكون الحرف أصغر من قياس 12 .
3. يطبع عنوان البحث وأسماء الباحثين (كاملة) وعناؤينهم باللغتين العربية والإنكليزية على ورقة منفصلة شرط أن لا تكتب أسماء الباحثين وعناؤينهم في أي مكان آخر من البحث ، وتتعاد كتابة عنوان البحث فقط على الصفحة الأولى من البحث .
4. تكتب أسماء الباحثين كاملة بحروف كبيرة وفي حالة استخدام اللغة الانكليزية وكذلك الحروف الاولى فقط من الكلمات ( عدا حروف الجر والاضافة ) المكونة لعنوان البحث ، وتكتب عناؤين الباحثين بحروف اعميادية صغيرة .
5. تقدم خلاصتان وافيةان لكل بحث ، احدهما باللغة العربية والآخر بالإنكليزية وتطبع على ورقتين منفصلتين بما لايزيد على (250) كلمة لكل خلاصة .
6. يشار إلى المصدر برقم يوضع بين قوسين بمستوى السطر نفسه بعد الجملة مباشرة وتطبع المصادر على ورقة منفصلة ، ويستخدم الأسلوب الدولي المتعارف عليه عند ذكر مختصرات أسماء المجالات .
7. يفضل قدر الامكان تسلسل البحث ليتضمن العنوانين الرئيسية الآتية : المقدمة ، طرائق العمل ، النتائج والمناقشة والاستنتاجات ، المصادر ، وتتوسع هذه العنوانين دون ترقيم في وسط الصفحة ولا يوضع تحتها خط وتكتب بحروف كبيرة عندما تكون بالإنكليزية .
8. يتبع الأسلوب الآتي عند كتابة المصادر على الصفحة الخاصة بالمصادر: ترقيم المصادر حسب تسلسل ورودها في البحث ، يكتب الاسم الأخير (اللقب) للباحث او الباحثين ثم مختصر الاسمين الاوليين لعنوان البحث ، مختصر اسم المجلة ، المجلد او الحجم ، العدد ، الصفحات ، (السنة) . وفي حالة كون المصدر كتاباً يكتب بعد اسم المؤلف او المؤلفين عنوان الكتاب ، الطبعة ، الصفحات ، (السنة) الشركة الناشرة ، مكان الطبع .
9. بخصوص اجر النشر يتم دفع مبلغ (25000) عشرون الف دينار عند تقديم البحث للنشر وهي غير قابلة للرد ومن ثم يدفع الباحث (25000) عشرون الف دينار اخرى عند قبول البحث للنشر وبهذا يصبح المبلغ الكلى للنشر خمسون الف دينار .

# المحتويات

رقم الصفحة	الموضوع
8-1	تحضير وسط زراعي لتنمية بعض أنواع البكتيريا المرضية سوسن حسن عثمان و نبراس نزار محمود و ماجد محمد محمود
14-9	دراسة التلوث الميكروبي لمنتجات الالبان (الجبن الطري المحلي و القشطة المحلية) في اسواق مدينة بغداد حياة غيث ساجت
22-15	دراسة امكانية ازالة سمية الفينول مختبرياً باستخدام 3 عزلات فطرية لمى حسين علي العزاوي و اربيج خضرير عباس و نجوى محمد جعيل علي ابو مجاد
34-23	تأثير الشعيع على بعض المعلومات البصرية لأغشية ثنائية كبيريتيد الحديد (بيريت) المحضرة بطريقة التحلل الكيميائي الحراري خالد حسن عبد العموري و هبة سعد رشيد و لقاء غالب صبحي و خضرير عباس مشجل و نادر فاضل حبوبى
50-35	حرزم الطاقة و عزم القصور الذاتي لنواة ( $A=182$ ) W شديدة التشوّه ذات التناظر الديناميكي (SU(3)) ایمان طارق العلوی و عطاء على حسن
60-51	دراسة تأثير المجال المغناطيسي الخارجي على الشروط الحدوية للبلازما الغبارية المتحركة في غلاف بلازمي احمد خضرير عباس الزبيدي
68-61	دراسة الخصائص البصرية لأغشية ZnTe المحضرة بطريقة الرش الكيميائي الحراري نرجس زامل عبد الزهره
76-69	استخدام تقنية معادلة المخطط التكراري لتحسين الصورة ذات الاصلانية غير المنتظمة لمصباح التنكستن هدى محمد جواد

## تحضير وسط زراعي لتنمية بعض أنواع البكتيريا المرضية

سوسن حسن عثمان و نيراس نزار محمود و ماجد محمد محمود  
كلية العلوم / قسم علوم الحياة / الجامعة المستنصرية

تاریخ تقديم البحث 2009/2/11 - تاریخ قبول البحث 2010/5/10

### ABSTRACT

A new medium were synthesis for isolation and growth of some Gram negative and positive pathogenic bacterial species included *Brucella abortus*, *Pseudomonas aeruginosa*, *Escherichia coli* and *Staphylococcus aureus*. The new medium was prepared using ovis testes extract fortified with few available and unexpensive chemical materials : peptone, glucose, sodium chloride, bromothymol blue stain and agar . Coparing the new medium with other media using for bacterial growth as nutrient agar , results suggested asignificant differences ( $p<0.05$ ) indicating of efficiency in growth of different species of pathogenic bacteria , when the average numbers of *E.coli* and *P. aeroginosa*  $(68,57) \times 10^8$  cell/ml coparing with their growth on nutrient agar  $(25,29) \times 10^8$  cell/ ml on respetively . While the average of *B.abortus* total viable count on the new medium was  $50 \times 10^8$  cell/ ml comaring with its growth on the nutrient agar  $18 \times 10^8$  cell/ml the result provide the aim of study by synthesis a good enrichment and unexpensive medium for different bacterial species, specially that ovis tests enrich with protein materials and meniral salta and sugars and cholesterol that is sutable for these organisms without changes in their morphology or metabolism or enzymes production.

### الخلاصة

تم تحضير وسط زراعي جديد لعزل وتنمية انواع من البكتيريا المرضية السالبة والموجبة لصبغة كرام وتضمنت *Brucella abortus*, *Pseudomonas aeruginosa*, *Escherichia coli* and *Staphylococcus aureus*

استخدم في تحضير الوسط الجديد خصى الأغذام مع اضافة بعض المواد الكيميائية غير المكلفة والمتوفرة تضمنت الببتون، الكلوكوز، كلوريد الصوديوم و صبغة ازرق البروموثيمول و الأكار، ومن خلال مقارنة الوسط الجديد مع الأوساط الأغذائية التنموية والمستخدمة عادة في تنمية البكتيريا مثل الأكار المغذي ، اظهرت النتائج وجود فروق معنوية  $P < 0.05$  دالة على كفاءة الوسط الجديد المحضر في تنمية الأنواع المختلفة من البكتيريا عندما بلغ معدل عدد الخلايا الحية *P.aeroginosa* ، *E.coli*  $(68,57) \times 10^8$  خلية / مل مقارنة مع نموها على وسط الأكار المغذي  $(25,29) \times 10^8$  خلية / مل وعلى التوالي . فيما بلغ معدل عدد الخلايا الحية *B. abortus* على الوسط الجديد  $50 \times 10^8$  خلية / مل مقارنة مع نموه على وسط الأكار المغذي  $18 \times 10^8$  خلية / مل. ان النتائج تعزز الهدف من الدراسة والمتتمثل بتحضير وسط اغذائي لتنمية انواع البكتيريا المختلفة، خاصة وان خصى الأغذام عضو غني بالمواد البروتينية والأملاح المعدنية والسكريات والكوليسترونول التي عززت نمو هذه الأحياء بشكل كبير مع عدم تغيير مظاهر المستعمرات او خواصها الأيضية مثل انتاج الأنزيمات.

### المقدمة

لتنمية الأحياء المجهرية وخاصة البكتيريا المرضية تستعمل الأوساط الزراعية البسيطة منها والمعقدة لتوفير الطاقة والوحدات الأساسية لبناء أجزاء الخلية. وعند اختيار الوسط الزراعي الملائم لنمو بكتيريا معينة يجب توفير المواد الضرورية وبصورة متوازنة وتراكيز معينة للحصول على نمو جيد (1) لقد قادت دراسات العالمين Koch و Pasture إلى إمكانية تنمية البكتيريا المرضية خارج جسم الكائن الحي باستخدام أوساط زراعية مناسبة(2).

تؤثر بعض انواع البكتيريا المرضية على صحة الانسان والحيوان من خلال ما تسببه من امراض خطيرة وواسعة الانتشار وكما هو الحال ببكتيريا *Brucella abortus* المسببه لحمى Malta fever او مايعرف Brucellosis ، حيث يحتاج عزلها وتشخيصها الى توفير اوساط غذائية معقدة نوعا ما، اذ تحتاج لتوفير مادة الارثريتول (Erythritol) وهي مادة متوفرة في مشابيم الابقار (3) وخاصى الحيوانات اللبونة كالاغنام مما له دور مهم في ما تحدثه هذه البكتيريا من حالات الاجهاض والتهاب الخصى في الاغنام (4) ولابقار والماعز والجمال وغيرها من الحيوانات اللبونة (5). تشير بعض الدراسات ان الاصابه بالبروسيلاء تقود الى الاصابة باورام الخصى testis tumor في الانسان (6). ان الاوساط المستخدمة لتنمية عزل البروسيلاء عادة تحتاج الى اضافة المصل اليها كما هو الحال في وسط المصل والكلوكوز serum glucose agar او اضافة الدم او مواد نشوية ضرورية مثل potato infusion agar (7). تباينت الاوساط الزرعية الخاصة بتنمية وتصنيف البكتيريا السالباقية الموجبة لملون غرام، من خلال إضافة المواد الإغذائية المختلفة كالأصباغ الحيوانية، السكريات، الأملاح، المضادات الحيوية والمواد الطبيعية مثل الدم، الحليب وخلاصة اللحم(8).

هناك بعض الاوساط الزرعية المستوردة الخاصة بتنمية وعزل بكتيريا البروسيلاء مثل Potato infusion agar و *Brucella agar* و *Trypticase soy agar* ، بالإضافة الى الاوساط التفريقية المهمة لتشخيص وتمييز بكتيريا *E.coli* مثل وسط ( Eosin- Mannitol Salt agar ) لمكورات العنقودية الذهبية *Staphylococcus aureus* (9). كما يستورد وسط MacConkey gmethylene blue( EMB ) لتقطير التهابات الجروح والحرائق لما تفرزه من سموم وانزيمات (10). من ذلك جاءت هذه الدراسة لتهدف الى تحضير وسط مناسب لنمو بكتيريا البروسيلاء *Brucella abortus* وبعض الانواع المرضية المهمة الاخرى مثل *Pseudomonas aeruginosa* و *Staph. aureus* و *Escherichia coli* يستعارض به كوسط بديل عن الاوساط المستوردة المتعددة من خلال استغلال خصى الاغنام في تحضير الوسط لما تحتويه من مواد غذائية ضرورية لنمو هذه الانواع المرضية من البكتيريا.

## المواد وطرائق العمل

### 1. جمع نماذج الخصى وتحضيرها

تم الحصول على خصى من الأغنام المذبوحة في المجازر المحلية، غسلت جيداً وقطعت، وزن منها 200 غم، وأضيف اليه لتر واحد من الماء المقطر المحمض (2 – 1.5 pH) باستخدام حامض الهيدروكلوريك 1N، ووضعت في حاضنة هرازه (Shaker incubator) مجهزة من شركة Gallen Kamp الانكليزية لمدة 48 ساعة بدرجة حرارة 40°م لعمل حموضة الوسط مع الحرارة الخفيفة على استخلاص المواد البروتينية والكاربوهيدراتية من الخصى والضرورية لنمو البكتيريا المستخدمة في الدراسة وحسب ما ورد عن (11). تم الحصول على الراشح باستخدام أوراق الترشيح (Whatmann No. 1) وأكمل الراشح إلى لتر واحد بإضافة الماء المقطر غير المحمض، وضبط الأس الهيدروجيني عند (pH = 7).

### 2. تحضير الوسط الزرعي قيد الدراسة (SNM) Sawsan, Nibras,Majid

أضيف الى لتر واحد من الراشح في الفقرة (1) المواد الآتية:

Bromothymol Pepton (10 غم)، Glucose (5 غم)، Sodium Chloride (5 غم)، Agar 0.08 غم، blue (20 غم) اضيفت هذه المواد بناءاً على نتائج التجارب العديدة السابقة والمعلومات التي توفرت للدراسة.

ذوبت هذه المواد باستخدام حرارة 100°C حيث تعمل هذه الحرارة على اذابة مادة الاكار دون التأثير على تركيب المواد المستخدمة الاخرى وحسب ماورد عن (12) ثم ضبط الاس الهيدروجيني عند (pH = 7) ثم عقم بالموصدة (Autoclave) بدرجة حرارة 121°C وضغط 15 إنج/م<sup>2</sup> ولمدة 15 دقيقة.

### 3. تحضير وسطي معاملة السيطرة (Control)

لأغراض المقارنة بين الوسط المحضر قيد الدراسة والاواسط المستوردة شائعة الاستخدام، حضر وسط الاكار المغذي (nutrient agar) المجهز من شركة Fluka اليابانية وحسب تعليمات الشركة المجهزة بوصفه وسط السيطرة الموجب . ضبط الرقم الهيدروجيني عند pH=7. جرى تعقيم الوسط باستخدام الموصدة وكما سبق . حضر وسط معاملة السيطرة (control) السالب باضافة المواد المذكورة في الفقرة (2) الى لتر واحد من الماء المقطر ودون اضافة راشح الخصى ، ثم ضبط الرقم الهيدروجيني للوسط عند pH=7 وجرى تعقيم الوسط بالموصدة وكما سبق في الفقرة (2) .

### 4. العزلات البكتيرية

تم الحصول على اربعة انواع من العزلات البكتيرية تضمنت :

*Pseudomonas areuginosa*, *Brucella abortus*, *Staphylococcus aureus*, *Escherichia coli*

من مختبرات الدراسات العليا في قسم علوم الحياة/ كلية العلوم / الجامعة المستنصرية . جرى التأكد من نقاوة هذه المزارع البكتيرية وتشخيصها باتباع ما ورد عن (12) و(14) وكما يلى:

#### 4-1: الصفات الزرعية

حيث زرعت العزلات على وسط الاكار المغذي وحضرت هوائياً بدرجة 37°C ما عدا بكتيريا *Brucella spp.* التي تم توفير 5-10% لها من غاز CO<sub>2</sub> في الحاضنة وذلك باستخدام وعاء التنمية اللاهوائية وحاوي شمعة وضعت فيه اطباق هذه العزلة ، وبعد فترة الحضانة 24-48 ساعة درست اشكال المستعمرات وقوامها ولونها .

#### 4-2: الفحص المجهرى

تم نقل جزء من المزروع البكتيري للعزلة النامي على وسط الاكار المغذي ووضع شريحة زجاجية نظيفة، ثم تثبيتها وصبغت بصبغة غرام (Gram stain) للحاظة شكل البكتيريا وحجمها وقابلية اصطباغها (8).

#### 4-3 الاختبارات الكيموحيوية :

استخدمت اختبارات عديدة تضمنت : اختبارات الكاتاليز (catalase) و الأوكسیديز (oxidase) و البيريز (urease) وانزيم التجلط (coagulase) و اختبار احتزال النترات و انتاج الاندول (Indol) وكلاً من اختباري Vgas ProsKaur (MR) و Methyl red (VP) وحسب ماورد عن (8) و(9) واختبار النمو على وسط Mannitol salt agar الخاص لتمييز *Staph. aureus* وحسب ماورد عن (11) وباستخدام المواد الواردة في الجدول (1) .

جدول-1: المواد الكيميائية والحيوية المستخدمة في تشخيص البكتيريا وتحضير الوسط قيد الدراسة

الشركة المجهزة و منشأها	اسم المادة
شركة الناج ( العراق )	Hydrogen peroxide
Fluka ( Japan )	N,N,N,N-tetra methylen p- phenylene diamine dihydrochloride
Himedia(India)	Urea supplement
مصرف الدم ( باب المعظم )	Plasma
BDH(England)	Methyl red
Mast ( England )	Peptone
BDH	Potassium Hydroxide
Fluka	Sodium chlorid
Ajax	Isoamyl alcohol
Alpha ( USA )	Barium chloride
BDH	Glucose
BDH	Bromothymol blue

#### 4- الاختبارات المصلية

جرى هذا الاختبار للتأكد من تشخيص عزلة *Brucella abortus* اذ وضعت على شريحة نظيفة قطرة من المصل الموجب للبروسيلادو معيار حجمي عالي و قطرة من المصل السالب للبروسيلادو كلاً على حدة . جهزت المصوّل من شركة Biomerieux الفرنسية. مزجت مستعمرة من عزلة البكتيريا مع كل قطرة وبلطف لعمل مستحلب ودورت مدة دقيقة واحدة ولحين ظهور التلازن مع المصل الموجب دون السالب بوصفه دليلاً على كون المستعمرة تعود للبروسيلادو (14).

#### 5. تحضير اللقاح البكتيري

حضرت مزارع سائلة بتنمية أنواع البكتيريا الاربعة والمذكورة في الفقرة (4) وبعمر 48 ساعة حيث حضنت هوانيا بدرجة 37° م ماعدا *Brucella* وفرت لها CO<sub>2</sub> وكما ورد في الفقرة (1-4) في وسط المرق المغذي ( Nutrient broth ) المجهز من شركة Fluka اليابانية والمحضر حسب تعليمات الشركة .

حضرت تخفيف متسلسلة للمزارع البكتيرية السائلة الى تخفيف 10<sup>-8</sup> وباستخدام المحلول الفسلجي Normal saline المعمق، والمحضر باذابة 8.5 غم من كلوريد الصوديوم في لتر واحد من الماء المقطر وزع على انبيب اختبار زجاجية وبمقدار 9 ملتر لكل انبوبة ثم عقم بالموصدة . قرأ طيف الامتصاص للمزارع البكتيرية وباستخدام جهاز مقاييس الكثافة الضوئية ( Spectrophotometer ) المجهز من شركة Gallen Kamp الانكليزية و عند طول موجي 650 نانوميتر . ومقارنة بمحلول ثابت العكرة الفياسي مكفلاند ( MacFarland ) والمكون من محلولي كلوريد الباريوم 1% مع حامض الكبريتيك 1% والذي يقرأ طيف امتصاص مقداره (1.02) نانوميتر ويمثل عدد مقارباً للخلايا ( 1.5 × 10<sup>8</sup> ) خلية / ملتر وحسب ماورد عن (12).

#### 6. تقييم كفاءة الوسط ( SNM ) المحضر ومقارنته باوساط السيطرة

تم استنباتات المزارع البكتيرية السائلة والمحضر في الفقرة (5) باضافة 0.1 مل من المزروع البكتيري على الاوساط الزرعية المحضرة في الفقرتين (2) و(3) وبواسط ثلاث مكررات لكل منها باستخدام طريقة الفرش Spreading method وباستخدام قضيب زجاجي بشكل حرف (L) وتحت ظروف معقمة . ترکت الاطباق لمدة 5-10 دقائق ليتسنى امتصاص المزروع، ثم وضعت في الحاضنة بدرجة حرارة 37° م وحضنت هوانيا كل من عزلات *Pseudomonas* و *Brucella abortus* *aeruginosa* ، *Escherichia coli* ، *Staph. aureus* تحتاج عادة الى توفير 5-10% CO<sub>2</sub> لنموها حيث وفر لها ذلك وكما سبق توضيحه في الفقرة (1-4). بعد مرور 48 ساعة جرى حساب عدد المستعمرات وبالاستعانة بجهاز تعداد المستعمرات Colony counter المجهز من شركة Gallen Kamp الانكليزية وبالرجوع

الى التحليلات الاحصائية (ANOVA) One Way Analysis of Variance وحسب ماورد عن (13) تم مقارنة وتقييم كفاءة الاوساط الزرعية .

### النتائج والمناقشة

يوضح الجدول(2) النتائج الخاصة بتشخيص انواع البكتيريا السالبة لصبغة كرام المستخدمة في الدراسة ، فيما يوضح الجدول(3) النتائج الخاصة بتشخيص بكتيريا *S.aureus* الموجبة لصبغة كرام، حيث اجريت اختبارات المتضمنة motility، catalase، urease، oxidase، coagulase، استهلاك الستربت كمصدر للكربون وانتاج الاندول، واختبار احمر المثيل وفوكس بروسكاور للتأكد من تشخيص العزلات السالبة لصبغة كرام، فيما اجريت اختبارات mannitol salt agar للتأكد من تشخيص البكتيريا *S.aureus* الموجبة لصبغة كرام .  
اذ جاءت النتائج مؤكدة التشخيص السليم لهذه الانواع ووفق كما ورد عن (12) .

جدول -2: الاختبارات التشخيصية لأنواع البكتيريا السالبة قيد الدراسة

أنواع البكتيريا السالبة لصبغة كرام			الاختبارات
<i>P.aeruginosa</i>	<i>E. coli</i>	<i>B.abortus</i>	
+	+	+	Catalase
+	-	+	Oxidase
		+	Urease
+	+	-	Motility
	+	-	Indol
	+	-	methyl red
			Vogus Proskauer
+			Citrate utilization

جدول -3: الاختبارات التشخيصية لبكتيريا *S.aureus* الموجبة لصبغة كرام قيد الدراسة

استجابة العزلة <i>S.aureus</i>	الاختبارات
+	Catalase
+	Oxidase
+	Coagulase
خمرة لسكر المانيتول	mannitol salt agar
نمو على وسط المانيتول	

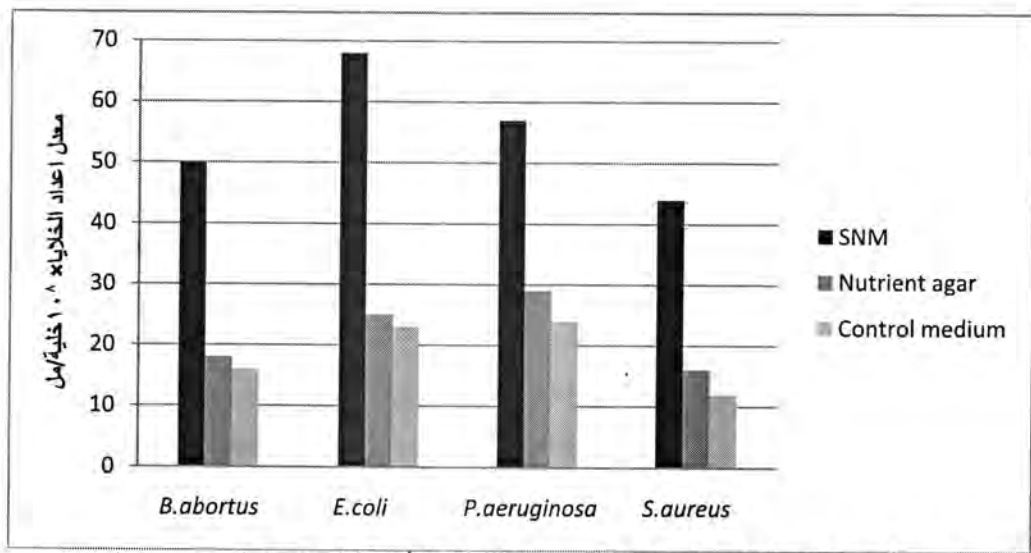
يوضح الجدول (4) والشكل (1) نتائج نمو انواع البكتيريا المختلفة قيد الدراسة وحسب نوع الوسط الزراعي ، اذ اظهرت المستعمرات نموا جيدا على الوسط الزراعي المحضر (SNM) عندما بلغ عدد الخلايا الحية  $68 \times 10^8$  خلية/مل لبكتيريا *E.coli* يليه  $57 \times 10^8$  خلية/مل لبكتيريا *P.aeruginosa* ثم  $50 \times 10^8$  خلية/مل و  $44 \times 10^8$  خلية/مل لكل من *B.abortus* و *S.aureus* وعلى التوالي ومقارنة بنموها على الوسط المحضر كمعاملة سيطرة، حيث كان نموها اقل عندما بلغ معدل عدد الخلايا الحية  $23 \times 10^8$  خلية/مل لبكتيريا *E.coli* و  $24 \times 10^8$  خلية/مل لبكتيريا *P.aeruginosa* و  $16 \times 10^8$  خلية/مل و  $12 \times 10^8$  خلية/مل لـ *B.abortus* و *S.aureus* و على التوالي. كما لم يكن نمو العزلات على الوسط المستورد بافضل من ذلك عندما بلغ معدل عدد الخلايا الحية  $25 \times 10^8$  و  $29 \times 10^8$  و  $18 \times 10^8$  و  $16 \times 10^8$  و  $10 \times 10^8$  خلية/مل ولكل من *B.abortus*, *P.aeruginosa*, *E.coli* و *S.aureus* و على التوالي. اذ اظهر التحليل الاحصائي وجود فروق معنوية، والملاحظ من النتائج ان نمو انواع البكتيريا السالبة لصبغة كرام كان افضل من نمو البكتيريا الموجبة لصبغة كرام. ويرجع التغير في افضلية النمو بين انواع البكتيريا السالبة لصبغة كرام والبكتيريا

الموجبة لصبغة كرام الى مكونات الوسط الزرعي ومايوفره من المواد الازمة لنمو البكتيريا وكما موضح في الجدول (4).

جدول -4: نمو أنواع البكتيريا الموجبة والسلبية لصبغة كرام على الوسط المحضر (SNM)

أنواع العزلات				الوسط الزرعي	
معدل اعداد الخلايا $\times 10^8$ خلية/مل $\pm$ الانحراف المعياري					
<i>S.aureus</i>	<i>P.aeruginosa</i>	<i>E.coli</i>	<i>B.abortus</i>		
33.64 $\pm$ 44	11.27 $\pm$ 57	16.11 $\pm$ 68	13.37 $\pm$ 50	SNM	
8.23 $\pm$ 16	36.22 $\pm$ 29	19.61 $\pm$ 25	8.05 $\pm$ 18	Nutrient agar	
7.18 $\pm$ 12	16.65 $\pm$ 24	12.57 $\pm$ 23	16.55 $\pm$ 16	Control medium	

\* وجود فروق معنوية  $p < 0.05$   
- النتائج معدل اربع مكررات



شكل -I: نمو أنواع البكتيريا الموجبة والسلبية لصبغة كرام على الأوساط قيد الدراسة يوضح جدول (5)  
مكونات الوسط المحضر (SNM) ووسط السيطرة والوسط المستورد المستخدمة في الدراسة.

جدول -5: مكونات الوسط المحضر (SNM) ووسط السيطرة والوسط المستورد المستخدمة في الدراسة

الوسط المستورد Nutrient agar	الوسط الزرعي		مكونات الوسط(غرام/لتر)
	وسط السيطرة	SNM	
15	20	20	Agar
3	-	-	Beef extract
-	0.08	0.08	Bromothymol blue
-	5	5	Glucose
5	10	10	Peptone
8	5	5	Sodium chloride
-	-	+	Testes extract

- عدم وجود المادة، + استخدام الراش

ان استخدام راش الخصي في الوسط المحضر (SNM) دعم نمو البكتيريا وبشكل كبير وذلك لم تحتويه خصي الأغذام من مواد غذائية مهمة كالاملاح المعدنية والبروتينات و Erythritol الذي يدعم نمو بكتيريا البروسيلا بشكل خاص (4)، حيث اشارت الدراسات الى امكانية نمو بكتيريا *S. aureus* و *E.coli* في السائل المنوي (16) و (17)

كما ذكر(6) إصابة بكتيريا *Brucella spp.* لخصى الانسان مسببة له التهابات شديدة تؤدي الى العقم. كذلك اضيف البeton بوصفه مصدرآ للنتروجين الى مكونات الوسط المحضر (SNM) ليشجع نمو البكتيريا فضلاً عن ما موجود من بروتينات في الخصى ولاسيما ان نوع البروتين في البeton يختلف عن ما موجود في الخصى .

اضيف الكلوکوز الى مكونات الوسط ليوفر حاجة البكتيريا الى وجود السكريات كمصادر للطاقة والكاربون (9). كذلك استخدمت صبغة bromothymol blue بهدف ايجاد صفة تفریقية مميزة، لكن النتائج اظهرت عدم جدوی استخدام هذه الصبغة ولاسيما ان جميع العزلات تلونت مستعمراتها بلون الوسط الزرعي (الأزرق).

لواحظ عدم تأثير مكونات الوسط المحضر (SNM) على الصفات المظهرية او الفسلجية للخلايا ومقارنة بنموها على وسط السيطرة ووسط agar Nutrient agar. فعلى سبيل المثال ظهرت مستعمرات بكتيريا *B.abortus* صغيرة مرتفعة، محدبة، شفافة، ذات حافة ملساء على الوسط المحضر وكذلك على وسط السيطرة و agar Nutrient agar. وهذا يتواافق والمواصفات المعروفة عنها والواردة في (15). نستنتج من ذلك امكانية استخدام الوسط المحضر (SNM) في تنمية انواع مختلفة من البكتيريا وخاصة البروسيللا كبدائل محلية عن الأوساط الزرعية المستوردة والمكلفة، ولاسيما ان المكون الأساسي للوسط وهو خصى الأغنام يسهل توفيره ذو كلفة قليلة قياساً بكلفه الأوساط المستوردة.

### المصادر

1. Moat, A. G. Microbial Physiology, 1<sup>st</sup> ed., New York, John Wiley and Sons,: 102-103. (1979)
2. Stanier, R.Y.; Ingraham, J.L.; Wheelis, M.L. and Painter, P.R. The Microbial World, 5<sup>th</sup> Ed., Prentice Hall, Englewood Cliffs, New Jersey:44-50. (1985).
3. كورجي، سوسن حسن و باقر ،عبد الواحد. تأثير المكونات الكربوهيدراتية في مشایم الأبقار على الفعالية الآيضية لبكتيريا البروسيللا المجهضة . مجلة علوم المستنصرية مجلد 11، عدد (2) :18-11 (2000)
4. Dagleish,M.P. ;Barley,J.J; Finlayson, R.J and Foster,G.*Brucella ceti* associated pathology in the testicle of harbour prorpoise.J.of Comparative pathology , 139(1) 54-59 (2008).
5. باقر، عبد الواحد و كورجي ،سوسن حسن . استخلاص وتقدير المكونات الدهنية لسخذ الأبقار . مجلة علوم المستنصرية،مجلد12،عدد(1): 32-20 (2001)
6. Kocak, I. ; Dondar, M.and Unsal, A. Relapse of brucellosis simulating testis tumor . International J. of Urology, 11(8): 683-685(2009).
7. حسين،أمل،كورجي،سوسن حسن وخماس،رائد. عزل وتشخيص بكتيريا البروسيللا من براز الدواجن المحلية ودراسة حساسيتها للمضادات الحيوية . مجلة علوم المستنصرية ،مجلد 19 ،عدد (5) : 35-23 (2008)
8. Atlas, R. M., Principles of Microbiology.1<sup>st</sup> ed. Mosby Year Bok, Inc.,p: 49-50. (1995).
9. Atlas, R. M., Handbook of Microbiological Media.1<sup>st</sup> ed. CRC Press, Boca Raton, FL.p:334 (1993).

10. Bergdoll, M.S, Crass, R.F, Reiser, R.N.and Davis , J.P.a new staphylococcal enterotoxin, *Staphylococcus aureus* isolated. The lancet,9: 1017-1021
11. كورجي ،سوسن حسن والهنداوي ، ناصر عبد الحسين.تصنيع وسط زرعي لتنمية بكتيريا البروسيلا ودراسة خصائص مستعمراتها . مجلة علوم المستنصرية . مجلد 7 ،عدد(2) : (1996) 10-5
12. Gerhardt, P., Manual of Methods for General Bacteriology,1<sup>st</sup> ed. American Society for Microbiology, Washington, D. C.p;303-304, (1993).
13. Zar, J. H., Biostatistical Analysis, 2<sup>nd</sup> ed., Prentice Hall Inc., Englewood Cliffs, N. I.p;78-79. (1984).
14. Alton, G. G.; Jones, L. M. and Peitz, D. E., Techniques for the Brucellosis Laboratory, Institute National DELA Research Agronomique, Paris.p;75-80. (1988).
15. Buchanan,R.F. and Gibbons,N.F.Bergeys manual of determinative bacteriology ,8<sup>th</sup> ed. William and wilkins compand.Baltimore.p: 85-89 (1974).
16. Budia, A.; Luis Palmero, J.; Broseta, E.; Tejadellos, F; Benedicto, A. and Quiepo, J. A., Value of Semen Culture in the Diagnosis of Chronic Bacterial Prostatitis. A Simplified Method. Scand J. Urol Nephrol, 40: 326 – 331 (2006).
17. Zegarra Montes, L.R.; Sanchez Mejia, A.A.; Loza Munarriz, C.A.and Celis Gutierrez, E. Semen and Urine culture in the Diagnosis of chronic Bacterial Prostatitis. International Braz J. Urol, 34(1): 30-40 (2008).

## دراسة التلوث الميكروبي لمنتجات الالبان (الجبن الطري المحلي و القشطة المحلية) في اسواق مدينة بغداد

حياة غيرت ساجت  
كلية طب الاسنان، الجامعة المستنصرية

تاریخ تقديم البحث 4/11/2008 - تاریخ قبول البحث 10/5/2010

### ABSTRACT

This study was done to know for some of microbial contaminators for local soft cheese and local cream current in Baghdad markets and the evaluation the healthy range from health scale stratification.

Gathering 20 specimen of local soft cheese and 20 specimen of local cream during the months of (Jan.-March,2007) microbial checking procedure done that include, the total coliform count and thermophilic bacterial count and psy chrophilic bacterial count and the total count of molds. Adding the count of staphylococcus aureus and salmonella bacteria count.

The result showed increase their microbial content which involved many of causing human illness and food poisoning the reaching rate during winter season  $10.8 \times 10^8$ ,  $8.4 \times 10^8$  cell/gm in succession.

The revealed total rate coliform bacteria in specimen of white cheese and local cream  $2.8 \times 10^6$ ,  $1.7 \times 10^6$ , gm this number in boundaries the region of food poisoning while staphylococcus areus get to  $8.1 \times 10^5$ ,  $6 \times 10^5$  in soft cheese and local crea. The revealed result research the rate of psychrophilic bacterial amount of  $2.5 \times 10^6$ ,  $1.8 \times 10^6$  local soft cheese and local cream and the thermophilic bacterial get to  $3 \times 10^6$ ,  $5.8 \times 10^5$  in soft cheese and local cream , also the molds rate in cheese and local cream  $8 \times 10^5$ ,  $1.9 \times 10^5$

### الخلاصة

أجريت هذه الدراسة للتعرف على بعض الملوثات الميكروبية للجبن الأبيض الطري المحلي و القشطة المحلية " قيمر العرب" المتداول في اسواق مدينة بغداد و تقييم مدى صحتها من خلال مطابقتها للمعايير الصحية .

جمعت 20 عينة من جبن طري و 20 عينة قشطة محايدة خلال اشهر ( كانون الأول ، كانون الثاني ، شباط ) لعام 2007 تم خلالها اجراء الفحوصات الميكروبية التي شملت العدد البكتيري الكلي Total Bacterial Count و التعداد الكلي لبكتيريا القولون Total Coliform و تعداد البكتيريا المحبة للحرارة Thermophilic Bacteria و العدد الكلي للأعفان ، اضافة الى اعداد بكتيريا العنقودية الذهبية Staphylococcus aureus كما تم التحري عن وجود بكتيريا السالمونيلا salmonella .

اظهرت نتائج البحث ارتفاع محتوى الجبن الطري و القشطة المحلية من الحياء المجهرية التي شملت العديد من المسببات الممرضة للانسان و مسببات التسمم الغذائي .

اظهرت نتائج البحث ارتفاع محتوى الجبن الطري و القشطة المحلية من الاحياء المجهرية التي شملت العديد من المسببات الممرضة للانسان و مسببات التسمم الغذائي اذ بلغت النسبة خلال اشهر الشتاء  $10.8 \times 10^8$  خلية/غرام على التوالي ،

و اظهرت النتائج معدل العدد الكلي لبكتيريا القالون في عينات الجبن و القشطة المحلية  $1.7 \times 10^6$ ,  $2.8 \times 10^6$  خلية/غرام على التوالي و هذا يبيّن ارتفاع معدل اعداد بكتيريا القولون اكثر من الحد المسموح به اما معدل اعداد بكتيريا العنقوديات الذهبية في الجبن المحلي و القشطة المحلية هي  $8.1 \times 10^5$ ,  $6 \times 10^5$  و هذه العدد واقعة ضمن الحدود الآمنة لا حداث التسمم الغذائي . اظهرت نتائج البحث معدل اعداد البكتيريا المحبة للبرودة بلغ  $2.5 \times 10^6$ ,  $1.8 \times 10^6$  في الجبن الطري و القشطة المحلية على التوالي . اما عدد اعداد البكتيريا المسببة للحرارة بلغت  $3 \times 10^6$ ,  $5.8 \times 10^5$  في الجبن الطري و القشطة على التوالي ، اما الاعفان فقد بلغ معدلها في الجبن و القشطة  $8 \times 10^5$ ,  $1.9 \times 10^5$  على التوالي .

## المقدمة

يعد الجبن و القشطة من اكبر الأغذية التي تلقي طلباً كثيراً في مدن العراق كافة ، اذ ان انتاج الجبن الطري الأبيض المحلي و القشطة المحلية يتم اساساً من مربي الحيوانات او من قبل المعامل الأهلية الصغيرة و تباع مباشرة الى المستهلكين لذا من المتوقع عدم تطبيق الشروط الصحية الضرورية عند الانتاج و التعرض الى شتى مصادر التلوث ابتداءً من تسويقها و تخزينها و عرضها الى الاستهلاك لأن هذه المنتجات تمتاز بسرعة تلفها كونها وسط جيد لنمو الجراثيم مما يجعلها وسيلة لنقل عدد من الأمراض و مسبباً رئيسياً لعدد من حالات التسمم الغذائي (1)

يعد الجبن وسطاً غذائياً مثالياً لنمو العديد من الأحياء المجهرية و ذلك لملايئتها نسبة الرطوبة و احتوائة على العديد من المركبات الكاربوهيدراتية و النتروجينية اضافة الى توفر الكثير من الفيتامينات و المعادن المختلفة التي تجعله بينة صالحة للأحياء المجهرية التي تلعب دوراً مهماً في احداث التغيرات الحيوية و الكيميائية التي تحدد نوعية الجبن و قيمته الغذائية و صلاحية للأستهلاك البشري و التي تؤدي احياناً الى الكثير من حالات التسمم الغذائي للمستهلكين و تلف و فساد المنتوج (2)

اما القشطة فهي ذلك الجزء من الحليب الغني بالدهون و تسمى محلياً ( قيمر العرب ) ، تمتاز بأحتواها على طاقة حرارية عالية و بسبب محتواها العالي من الدهون بالإضافة الى مكونات الحليب الأخرى كالبروتين و السكر و الفيتامينات و الأملاح المعدنية ، تمتاز القشطة بسرعة تلفها و كونها وسط جيد لنمو الجراثيم مما يشكل مصدر مهم للتسمم الغذائي و نقل الأمراض (3)

تحتوي الجبن الطيرية المحلية و القشطة المحلية على خلايا حضرية لأنواع متعددة من الأحياء المجهرية و سبورات البكتيريا الهوائية و اللاهوائية و على خمائر و اعفان بأعداد كبيرة نتيجة لتلوث الحليب اثناء انتاجه و تصنيعه بالإضافة الى احتمال تواجد الزيفات المعاوية enterotoxin الناتجة من تواجد العنقوديات الذهبية و التي تعد مقاومة للحرارة العالية وقد اكد (4) ان الحليب المنتج من بقرة سليمة تحت افضل الظروف يحتوي على عدد اقل من الأحياء المجهرية يصل الى 3000 خليو/مل ، الا انه يصبح عرضة للتلوث لغاية وصول المستهلك سواء بشكله الخام او بهيئة احد منتجاته من عدة مصادر مثل الضرع و جسم الحيوان بأحد الأمراض البكتيرية مثل التهاب الضرع يصبح مصدراً للتلوث بأعداد كبير من الأحياء المجهرية (5) لذلك جاتت الدراسة مستهدفة :

- اعطاء صورة عن بعض الملوثات الميكروبية للجبن الطري المحلي و القشطة المحلية

- التعرف على المحتوى العددي للأحياء المجهرية الملوثة للجبن الطري المحلي و القشطة المحلية

- التعرف على ابرز اجناس الأحياء المجهرية الملوثة للجبن الطري المحلي و القشطة المحلية

## المواد و طرائق العمل

تم جمع عينات الجبن و القشطة في اوراق معدنية معقمة من الباعة المحليين في اسواق مدينة بغداد خلال اشهر ( كانون الأول ، كانون الثاني شباط ) لعام 2007 استغرقت عملية جمع و نقل العينات الى المختبر 3-2 ساعة ، تم اعداد العينات لأجراء الفحوصات المختبرية عليها وفق ماورد في (6) و ذلك بتحويل عينات الجبن و القيمر الى مستحلب و كما يلي :-

تم اخذ 10 غ من عينة الجبن او القشطة و اضيف لها 90 مل من محلول داريء سترات الصوديوم المعمق و مزج مع محلول جيداً باستخدام الخلط الكهربائي و لمدة 5 دقائق و

بسرعة عالية ثم يكمل الحجم الى 100 مل بال محلول الداريء نفسه ، ترك الخليط لمدة 15 دقيقة لكي تستعيد الحياة المجهرية حيويتها مع الاستمرار بالتحريك البطيء لضمان عملية التجانس . هذا الخليط هو المحلول الصلي stock solution 10% و حضرت منه التخافيف العشرية لأجراء الدراسة.

عزلت البكتيريا بطريقة صب الأطباق و ذلك بزرعها في وسط Nutrient agar و حضنها بدرجة حرارة 37 م درجة حرارة للحرارة و بدرجة 55 م و لمدة 24 ساعة و البكتيريا المحبة للبرودة 7 م و لمدة أسبوع (7)

عزلت بكتيريا القولون بطريقة صب الأطباق باستخدام وسط VRBA حضنت الأطباق و بدرجة 37 م و لمدة 24 ساعة .

اما الأعفان فقد عزلت باستخدام وسط البطاطا و الكستروز PDA باستخدام طريقة صب الأطباق و حضنت الأطباق بدرجة 25 م و لمدة 5 ايام .

تم عزل و بكتيريا العنقوديات الذهبية و حساب اعدادها باستخدام طريقة النشر على وسط اكار المانitol sakt agar كما تم دراسة احتمال تواجد بكتيريا السالمونيلا و الشيكلا (8) حسب المستعمرات النامية باستخدام عدد المستعمرات و منها العد البكتيري SS agar الكلي ،

### النتائج و المناقشة

و يظهر من النتائج المدونة في جدول (1) ان معدل العدد البكتيري الكلي في عينات الجبن الطري المحلي خلال شهر الشتاء عال جداً اذ بلغ  $10.8 \times 10^8$  على التوالي . ان ارتفاع اعداد البكتيريا الكلية فيها قد يعود الى عوامل عديدة منها استخدام حليب خام حاو على اعداد كبيرة من البكتيريا و هذا يؤدي الى زيادة اعداد البكتيريا في الجبن و القشطة الناتجة (9) ، او ربما يعود السبب الى عدم تعرضه الى معاملات الحرارية في الكافية لقتل الاحياء المجهرية الملوثة او عدم تعرضه الى اي من معاملات حرارية في اغلب الأجبان المصنعة في البيوت او الحقول او المعامل الأهلية الصغيرة اضافة الى تسويق المنتجات في ظروف خالية من الشروط الصحية و تعرض الجبن و القشطة للهواء مما يؤدي الى زيادة محتواها الميكروبي (10)

و عند مقارنة هذه النتائج مع دراسات الأخرى نجد انها مقاربة لما توصلت اليه (11) اذ بلغ نعدل الأعداد الكلية للبكتيريا في الجبن الطري و القشطة المحلية خلال فصل الشتاء  $10^6 \times 6.3 \cdot 10^8$

كما يلاحظ من الجدول (1) ان معدل العدد الكلي لبكتيريا القولون في عينات الجبن و القشطة المحلية  $2.8 \times 10^6$  خلية / غم على التوالي و يتبيّن من هذه النتيجة ارتفاع معدل اعداد بكتيريا القولون اكثر من الحد المسموح به اذن ان المعايير الصحية تسمح بوجود مالا يزيد عن 100 خلية / غم و وفق ما محدد (12) الجهاز المركزي للتقنيات و السيطرة النوعية العراقي في مسودة المواصفات ذات الرقم 693/1

ان وجود هذه البكتيريا في عينات الجبن الطري و القشطة المحلية يدل على عدم نظافة هذه المنتجات و هذا يعود لعدم كفاية بسترة الحليب او حدوث او حدوث تلوث للحليب بعد البسترة لاسيما التلوث البرازي و وجود البكتيريا المريضة(13)

و يتضح من الجدول نفسه ان معدل اعداد البكتيريا العنقودية الذهبية في الجبن المحلي و القشطة المحلية هي  $8.1 \times 10^5$  و هذه العدد و اقعة ضمن حدود الازمة لأحداث التسمم الغذائي اذ حدد الباحثون اعداد الكافية لحدوث التسمم الغذائي بـ  $5 \times 10^5 - 10^7$  و هذه الأعداد مقاربة لما توصلت اليه (11) اذ بلغ عدد اعداد العنقوديات الذهبية في الجبن المحلي و القشطة المحلية خلال موسم الشتوى  $7.2 \times 10^5$  و  $4.1 \times 10^6$  على التوالي ، ان وجود هذه الأعداد قد يعود الى استخدام الحليب الخام الحاوي على اعداد كبيرة من العنقوديات الذهبية

و بدون معاملة حرارية جيدة عند صناعة الجبن و القشطة اذ يعد الحليب الماخوذ من البقرة او جاموسية مصاب بالتهاب الصدر مصدرآ مهمآ من مصادر التلوث بالعنقوديات الذهبية (14) كما نلاحظ من الجدول (1) ان معدل اعداد البكتيريا المحبة للبرود بلغ  $1.8 \times 10^6$  في الجبن الطري و القشطة المحلية اما الاعفان فقد بلغ معدلها في الجبن و القشطة  $8 \times 10^5$  على التوالي ان التلوث بالأعفان قد يعود الى قدرتها على النمو بالجبن الطري لمقاومةها الحموضة العالية و تلوث منتجات الألبان بما فيها الجبن او القشطة قد يحدث بعد عملية البسترة لأن اجراء هذه العملية يعد كمحدد وحيد لوجود هذا النوع من الأحياء المجهرية او قد يعود السبب الى رداءة نوعية الحليب المستخدم (16) من خلال جدول (2) نلاحظ تلوث عينات الجبن الطري و القشطة المحلية بالسلمونيلا ، اذ شكلت نسبة التلوث الجبن 60% ، اما نسبة تلوث القشطة فكانت 40% و يفسر وجود السلمونيلا على اساس استخدام الحليب الخام ملوث بأعداد كبيرة من السالمونيلا التي انتقلت اليه غالباً من بقرة مصابة او حاملة للبكتيريا او من العاملين في انتاج الحليب ، و ان انعدام المعاملات الحرارية يضمن وصول هذه البكتيريا الى الحليب .  
نستنتج من هذه الدراسة رداءة الأجبان الطيرية و القشطة المحلية في اسواق مدينة بغداد لتجاوز ممؤشرات المايكروبولوجية الحدود المقبولة عالمياً مما يدل على عدم كفاية المعاملات الحرارية المستخدمة في تصنيع هذه الأجبان و القشطة لذا نوصي الاهتمام و تشجيع الجهات المسؤولة على  
شمول الأجبان الطيرية و القشطة المحلية بشروط الرقابة الصحية من خلال وضع معايير محددة لانتاجها.

جدول-1: معدلات الاعداد الكلية للاحيا المجهرية المعزولة من عينات الجبن المحلي و القشطة المحلية المتداولة في اسواق مدينة بغداد.

الترتيب	الانواع المعزولة	العزلات
1	E.coil	
2	Klebsiella pneumonia	
3	Enterobacter aerogenes	
4	Proteus spp.	
5	Pseudomonas spp.	
6	Shigella spp.	البكتيريا
7	Salmonella spp.	
8	staphylococcus aureus	
9	Streptococcus Faecalis	
10	Micrococcus spp.	
11	Bacillus spp.	
12	Penicillium italicum	
13	Aspergillus falvius	الفطريات
14	Aspergillus niger	

جدول-2: تواجد بكتيريا السلمونيلا في عينات الجبن الطري والقشطة المحلية

قشطة محلية	جبن طري محلي	معدلات الاعداد خلية/غم الاحياء المجهرية
$10^8 \times 8,4$	$10^8 \times 10,8$	العدد الكلي للبكتيريا
$10^6 \times 1,7$	$10^6 \times 2,8$	بكتيريا القولون
$10^5 \times 6$	$10^5 \times 8,1$	العنقوديات الذهبية
$10^6 \times 1,8$	$10^6 \times 2,5$	البكتيريا المحبة للبرودة
$10^5 \times 5,8$	$10^6 \times 3$	البكتيريا المحب للحرارة
$10^5 \times 1,9$	$10^5 \times 8$	الاعغان والخمازير

جدول-3: بعض انواع البكتيريا والفرطيريات المعزولة من عينات الجبن والقشطة المحلية

نوع العين	عدد العينات المفحوصة	عدد العينات لفحص الموجبة السلمونيلا	النسبة المئوية %
جبن طري	20	14	60%
قشطة محلية	20	8	40%

### المصادر

1. كريم سهاد خضير : عزل وتشخيص بعض انواع البكتيريا المسئولة عن نكهة جبن الاريفات العراق واستخدامها كبدائل ، رسالة ماجستير كلية الزراعة - جامعة بغداد (2001).
2. السعدي، امل طالب عطية : تأثير مستخلصات بعض النباتات الطبية على الاحياء المجهرية المعزولة من الجبن في مدينة بغداد ، رسالة ماجستير - كلية التربية - جامعة القادسية (2003).
3. Jackson,A.Ce shelf life milk products.J.soc. Diary products, 14<sup>th</sup> ed, American Public Health association, Washington, D.C.(1978).
4. السامرائي، عبد الوهاب مهدي ومحمد عبد العمر : صحة الالبان، مطبعة الموصل(1984).
5. Sharp,M.E. and Barmtey,A.I: Incidence of human pathogenic viruses and Bacteria in raw milk , Diary Inc.,42C9:24-26.(1976).
6. Apha: Standred methods for examination of diary products,15<sup>th</sup> ed., American Public Health association, Washington, D.C.(1978).
7. Apha: Standred methods for examination of diary products,12<sup>th</sup> ed., American Public Health association, Washington, D.C.(1978).
8. Marth,E.H. Standred methods for examination of dairy products,14<sup>th</sup> ed., American Public Health association, Washington, D.C.(1978).
9. EL-Soda,M.A.: The role of the lactic acid bacteria in accelerated cheese ripening FEMS, Microbiology-rev.,12:239.(1993).
10. الجبورى، حسين لفته هرير : تأثير بكتيريا حامض الاكتيك وملح الطعام على نمو بعض البكتيريا المعزولة من الجبن المحلى، رسالة ماجستير - كلية الزراعة-جامعة بغداد (1996).

11. الخزاعي، عروبة متعب فجة : دراسة بعض الملوثات الميكروبية للحلب ومنتجاته المتداولة في مدينة بغداد، رسالة ماجستير، كلية الطب البيطري، جامعة القادسية(2006).
12. الجهاز المركزي للتقدير والنوعية: منتجات الابان ، الاجبان-المواصفات القياسية العراقية، رقم(1/693). (1982)
13. Said, M.R. and Fahmy , M.A.: A survey of incidence of staphylococcus aureus , Escherishia coli and Bacillus Cereus in some type of Egyptian cheese in assiute city Assiute Tournal.1:23-35.(1991).
14. عبود ، أكرم ريشان ، الصواف ، سناه داود حمد، ضاري عليوي: صحة الغذاء ط2، دار الكتب للطباعة والنشر- جامعة الموصل (1999).
15. Kosikowski ,F.M.: Cheese and ferminated milk. 2th ed,Food Edward Brothers,Inc.Ann.Arbor.michigan,USA.(1977).
16. Frazier,W.C.:Food Microbiology, 2th ed, Tate MmGrawy Hill Publishing Comp.,New Delhi.(1967).

## دراسة امكانية ازالة سمية الفينول مختبرياً باستخدام 3 عزلات فطرية

لمي حسين علي العزاوي<sup>1</sup> و اريج خضرير عباس<sup>2</sup> و نجوى محمد جميل علي ابو مجداد<sup>3</sup>

<sup>1</sup> هيئة التعليم التقني ، كلية التقنيات الصحية والطبية ؛

<sup>2</sup> هيئة التعليم التقني ، الكلية التقنية الهندسية / البصرة ؛

<sup>3</sup> جامعة البصرة ، كلية العلوم ، قسم علوم الحياة .

تاریخ تقديم البحث 2009/11/2 - تاریخ قبول البحث 2010/5/10

### ABSTRACT

The present study was carried out to determination the capability of decreasing high concentrations of phenol laboratory experiment, via precipitation using fungi isolates they are *Aspergillus niger*, *Epidermophyton floccosum* .*Fusarium proliferatum*.

Phenol concentration measured using (U.V.visible spectrophotometer) to determine phenol concentration before and after cultivation by fungi, and using ten concentration (100, 200, 300,400,500,600,700,800,900,1000 nanogram) to determinated th absorbance .

The results clarified high percentage of phenol precipitation, as the maximum percentage of phenol precipitation was 93% at 100 nanogram for *A. niger* after 30 days of incubation period at 27°C. while minimum percentage of phenol precipitation was 48% at the concentration 1000 nanogram to *Epidermophyton floccosum* .

### الخلاصة

تضمنت الدراسة الحالية دراسة إمكانية تخفيض التراكيز العالية لمركب الفينول مختبرياً باستخدام عزلات فطرية وهي *Aspergillus niger*, *Epidermophyton floccosum*,: *Fusarium proliferatum*. قيست تراكيز الفينول باستخدام جهاز قياس المطياف في المنطقة المرئية وفوق البنفسجية (U.V.visible spectrophotometer) واعتمدت طريقة Visible Spectrophotometer الامتصاصية لعشر تراكيز للفينول (100 ، 200 ، 300 ، 400 ، 500 ، 600 ، 700 ، 800 ، 900 ، 1000 نانوغرام ) في وسط مركب الساپرود السائل قبل وبعد الزرع للعالي الفطري . وقد أظهرت نتائج ترسيب الفينول انخفاض في معدل التراكيز بعد الزرع بالفطريات وارتفاع في نسب الترسيب ؛ إذ بلغت أعلى نسبة لترسيب الفينول 93% عند التركيز 100 نانوغرام للفطر *Aspergillus niger* وادنى نسبة منوية للترسيب 48 % عند التركيز 1000 نانوغرام للفطر *Epidermophyton floccosum* بعد فترة حضن ثلاثة يوماً بدرجة حرارة 27° م .

### المقدمة

يواجه العالم في الوقت الحاضر أزمة بيئية تكونت نتيجة سوء التخطيط والاستخدام غير المبرمج والمضر للبيئة ، وتكمن هذه الأزمة في مشكلة التلوث البيئي بشكل عام ، والتلوث المائي بشكل خاص (1).

ويتفق العديد من الباحثين على تعريف التلوث المائي على انه مواد او طاقة يضيفها الإنسان إلى البيئة المائية تكون كافية لإحداث ضرر في صحة الإنسان والموارد الحية والأنظمة البيئية

(2) إن الزيادة السريعة للفعاليات الصناعية والزراعية ساهمت في ازدياد خطر التلوث للمياه بالمواد العضوية وخصوصاً المركبات الهيدروكاربونية الاروماتية والتي تسبب فرقاً للنظام البيئي بسبب صعوبة ازالتها لأنها مركبات سامة ذات تأثير خطير على الكائنات الحية، ويعد

الفينول احد هذه المركبات حيث ان تراكيز الفينول النموذجية يجب ان تتراوح بين (100-100 ملغم/لتر) (6)

الفينول مركب هيدروكربوني عالي السمية ، مسرطن ، ومطفر جيني للبشر وملوث للبيئة ومقاوم للهدم الحيوي ويدخل في العديد من الصناعات مثل المطهرات ، المبيدات والدهانات وغيرها. وهو يصل ويترسب الى البيئة بتركيزات عالية ز وقد تم دراسة عزل كائنات حية دقيقة ، قادرة على هدم الفينول كمصدر وحيد للكاربون و الطاقة (3)

يكون تواجدها في البيئة بتركيز قليل ولكن يمكن ملاحظة تأثيرها السام عندما ترتفع مستوياتها عن الحد الطبيعي حيث ان الفينولات التي تدخل الأجسام المائية قد لا تتعرض إلى التكسير الحيوي بل تعاني من تحولات كيميائية أو ميكروبية يقود ذلك إلى التركيز الحيوي لهذه الفينولات عبر السلسلة الغذائية والنتيجة تكون زيادة سميتها وخاصة بالنسبة للمستويات التغذوية العليا ومن ضمنها الإنسان(7)، حيث أن هذه الفينولات تكون ذات ألفة عالية للتداخل مع مركبات الخلية فتعمل على تعطيل وظائف الجزيئات الباليلوجية الأساسية مثل البروتينات والإنزيمات وكذلك DNA فتسبب أضراراً في الكلى وأمراض العظام والسرطان(5)، هذه الحقائق أدت إلى التفكير بازالة التأثير السام للفينولات من المياه باستخدام طرائق مختلفة معظمها يعتمد على الترسيب الحيوي للأيونات باستخدام أحى مجهريّة مختلفة ومنها الفطريات ومن الدراسات التي أجريت في هذا الصدد (8 ، 9 ، 10).

ونظراً لكون المركبات الفينولية إحدى الملوثات التي تطرح إلى البيئة من مصادر عديدة منها مياه الفضلات الصناعية و مياه الصرف الصحي لذا هدفت الدراسة الحالية إلى استخدام 3 عزلات فطرية واختبار قابليتها في إزالة سمية الفينولات مختبرياً.

## المواد و طرائق العمل

\* الاوساط الزرعية

- وسط مركب السابرود-ديكستروز Sabourauds Dextrose Broth(SDB)

- وسط السابرود أكار مع الكلورامفينيكول (Sabourauds Dextrose Agar with chloramphenicol ) الموصوفين من قبل (11). وقد عقمت الاوساط بجهاز المؤسدة الكهربائية Auto clave بدرجة حرارة 121°C وتحت ضغط 15 باوند/انج<sup>2</sup> ولمدة 15 دقيقة .

\*العزلات الفطرية

تم الحصول على العزلات الفطرية من مختبر الفطريات / قسم علوم الحياة / كلية العلوم / جامعة البصرة وتم تشخيصها بالاعتماد على (12) وتم تحديد المنحني العياري لتراكيز الفينول في الماء المقطر

\*تحضير الفينول القياسي :

1- اخذ (1) ملغم/غرام من الفينول الخزين Stock phenol واذيب في 100 مل من الماء المنزوع الايونات .

2- تؤخذ من محلول السابق حجوم مختلفة باستخدام قانون التخفيف

N1X V1 = N2XV2

لتحضير التراكيز التالية :-

( 100 نانوغرام ، 200 نانوغرام ، 300 نانوغرام ، 400 نانوغرام ، 500 نانوغرام ، 600 نانوغرام ، 700 نانوغرام ، 800 نانوغرام ، 900 نانوغرام ، 1000 نانوغرام )

\*تحديد المنحني العياري لتراكيز الفينول في الوسط الزراعي  
المواد المستخدمة لقياس تراكيز الفينول

**1- المحلول المنظم**

وزن 1.69 غم من  $\text{NH}_4\text{Cl}$  مل من  $\text{NH}_4\text{OH}$  ثم خفف إلى 25 مل من الماء المذكور  
الإيونات

**2- 4-amino antipyrine**

وزن 0.5 غم من AAP-4 ثم خفف إلى 25 مل باستخدام ماء منزوع الإيونات

**3- صبغة البوتاسيوم فريسيانيد**

وزن 2 غم من  $\text{K}_3\text{Fe}(\text{CN})_6$  في 25 مل ماء منزوع الإيونات.

**4- الكلوروفورم****طريقة العمل**

1- اخذ عينة مقدارها 25 مل ( ذات تراكيز مختلفة ) للوسط الزراعي مضافة له تراكيز الفينول العشرة وللوسط الزراعي مضافة له الفطر المختبر و تراكيز الفينول العشرة

2- اضيف 0.5 مل من المحلول المنظم  $pH = 10 \pm 2$

3- اضيف 0.15 مل من محلول AAP 4 ويمزج

4- اضيف 0.15 مل من محلول صبغة البوتاسيوم فريسيانيد ويمزج

5- بعد مرور 3 دقائق اضيف 1.25 مل من الكلوروفورم ويرج 10 مرات ثم يترك المزيج  
ليستقر وترج 10 مرات في قمع الفصل ثم يترك المزيج ليستقر وتقاس العينات عند طول  
موجي (460 نانومتر) ( 13، 14 ).

**\*اختبار قابلية الفطريات على ترسيب الفينول مختبرياً**

حضرت 10 تراكيز للفينول بطريقة التخفيف من المحلول الخزين

1- تم ملأ أنابيب الزرع المعقمة بـ 20 مل وسط زراعي سائل واضيف لها 2 مل من كل تراكيز  
ثم أخذت بالعالي القطر ريش زلات الفطريات الثلاثة كالأعلى ذكره ذو التركيز  
المقارن بمقاييس مكفرلاند وحضرت الأنابيب في الحاضنة بدرجة حرارة 27 م° ولمدة 30 يوم  
حيث قيست الامتصاصية لجميع الأنابيب قبل وبعد الزرع لتحديد النسبة المئوية لترسيب  
الفينولات من قبل العزلات الفطرية.

2- تم حساب النسبة المئوية لترسيب حسب المعادلة التالية :-

أب

$$\text{النسبة المئوية لترسيب} = \frac{\text{أب}}{\text{ب}} \times 100$$

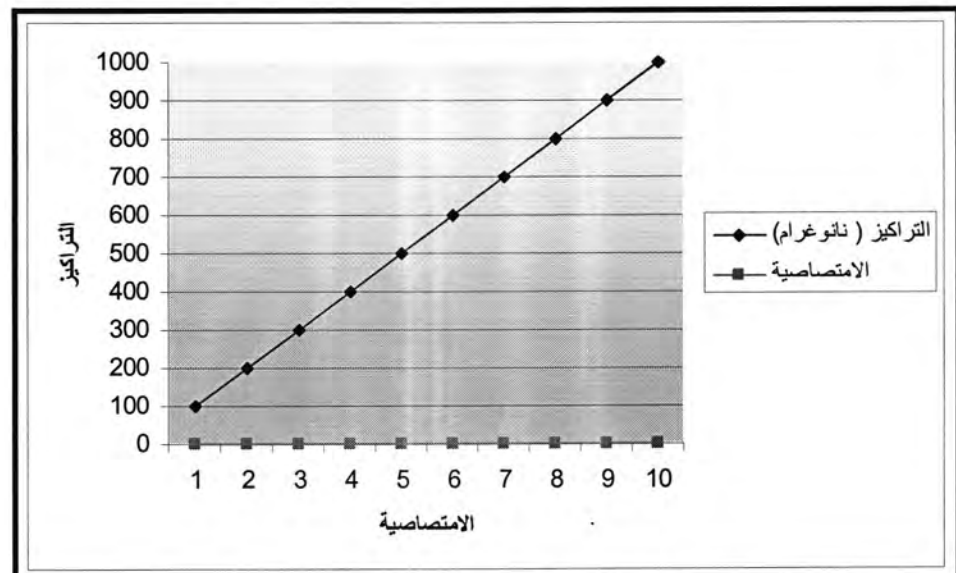
ب

= تركيز الفينول قبل الزرع

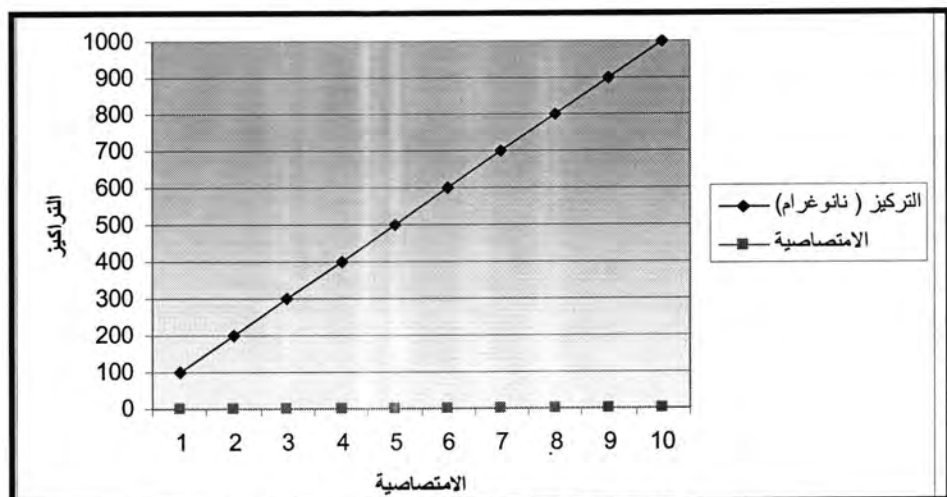
ب= تركيز الفينول بعد الزرع (4).

**النتائج و المناقشة**

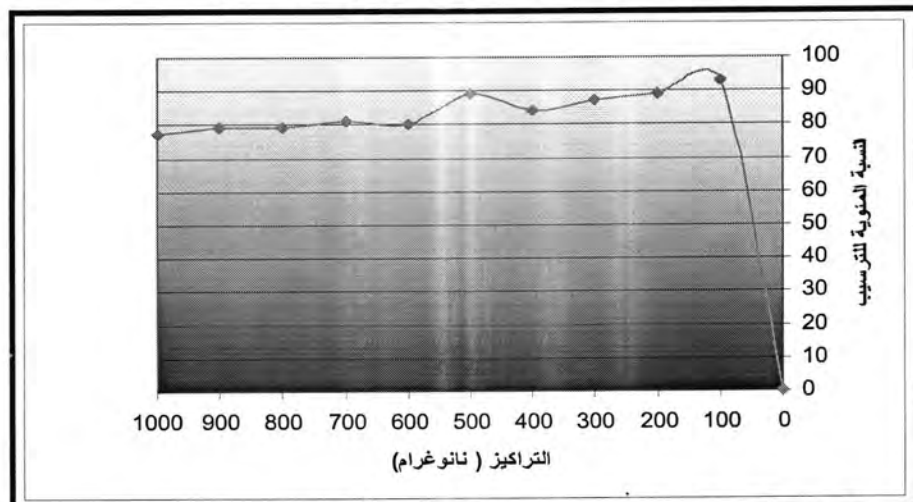
اظهرت نتائج الامتصاصية للمنحدر القياسي لمركب الفينول في الماء المقطر و الوسط  
الزراعي السائل رسم خط مستقيم بين التراكيز الامتصاصية، كما موضح في الشكل (2,1).



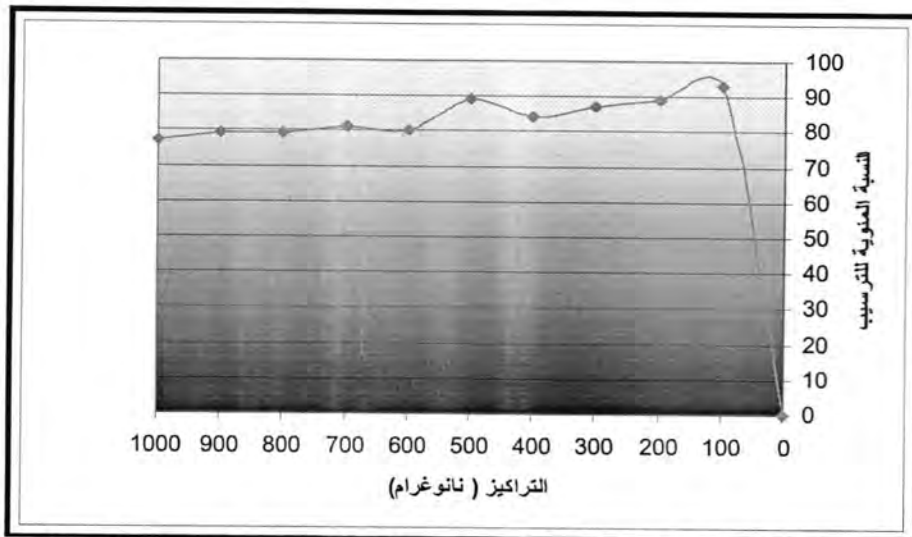
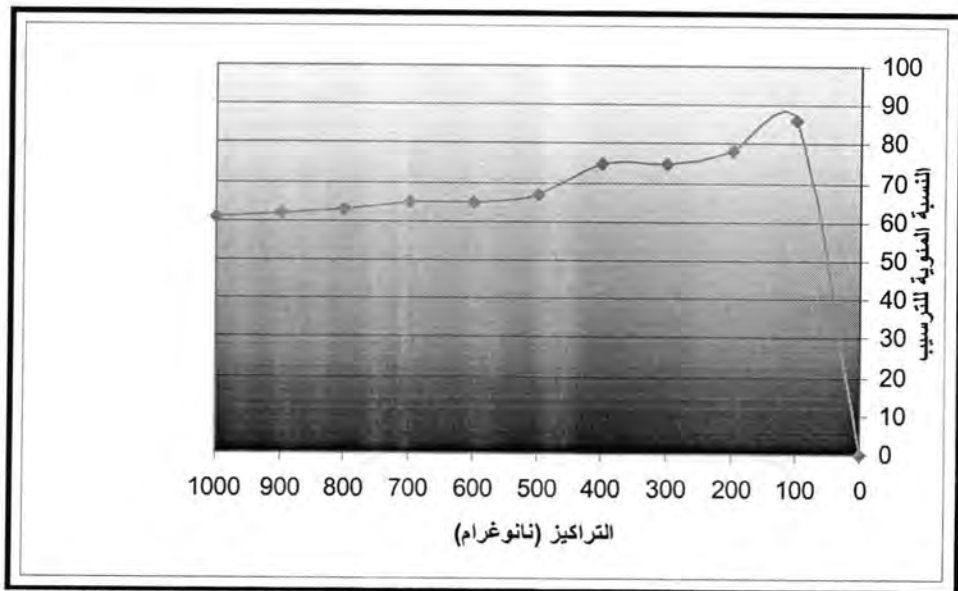
شكل -1: منحنى العيارية القياسي للفينول في الماء المقطر



شكل -2 : منحنى العيارية القياسي للفينول في الماء المقطر



شكل-3: النسبة المنوية لترسيب الفينول بواسطة الفطر *Aspergillus niger*

شكل - 4 : النسبة المئوية للترسيب بواسطة الفطر *Fusarium proliferatum*شكل - 5 : النسبة المئوية للترسيب بواسطة الفطر *Epidermophyton floccosum*

نظرأً لعدم كفاءة طرائق الازالة الفيزيائية و الكيميائية فقد استخدمت كائنات مجهرية هوائية مثل البكتيريا و الخمائر و الفطريات في ازالة سمية الفينولات لكن هنالك افضلية في استخدام الفطريات الخيطية مقارنة بالخمائر و البكتيريا بسبب ان المكان الذي ينمو فيه الغزل الفطري يعطي افضلية في التنافس حيث يكون مستعمرات على المواد غير الذائبة وممكن ان تتمو بسرعة وتتفرع داخل المادة الاساس وتهضم المادة عن طريق الانزيمات(15).

ومن خلال الدراسات البحثية تبين ان افضل طرائق للمعالجة هي المعالجة البايلوجية للتخلص من تراكيز الفينول العالية و خاصة المعالجة الفطرية (mycoremediation ) وقدسمت هذه المعالجة الى 1- كائنات تستخدم المركب الهدف كمصدر للكاربون 2- المركب الهدف يهاجم انزيمياً لكن لا يستخدم كمصدر للكاربون 3- يؤيذ المركب الهدف يؤخذ و يترافق ضمن الفطر bioaccumulation . (16)

و ان سبب استخدام المعالجة الفطرية هي بساطة ادامتها وامكانية تطبيقها على مساحات واسعة والكلفة القليلة مقارنة بالطرق الأخرى والتي تقود الى اتمام تحطيم الملوثات ومنها الفينولات (17).

كما ذكر (18) ان هنالك عوامل في البيئة المائية تؤثر على عملية المعالجة الفطرية الباليلوجية ومنها : 1- وفرة المادة الاساس حيث ان تواجد الفينول بتركيز عالي جداً يتسبب بتثبيط واحياناً قتل الكائن المجهرى أي ان العلاقة تكون عكسية بين فاعلية الفطر وتركيز الفينول وهذا يتفق مع نتائج دراستنا الحالية.

وبينت نتائج اختبار قابلية الفطريات على ترسيب التراكيز المعلومة للفينول (100-1000 نانوغرام ) انخفاض في معدلات التركيز وارتفاع في معدلات ونسب الترسيب، وازدادت معدلات ونسب الترسيب بزيادة الفترة الزمنية للحضن شكل (3,4,5).

ويعود سبب ذلك الى ازدياد الكثافات والفعاليات الجرثومية بزيادة الفترة الزمنية للحضن(4) كم ابلغت اعلى نسبة لترسيب الفينول 93% عند التركيز 100 نانوغرام للفطر Aspergillus niger شكل (3) وادنى نسبة مئوية لترسيب 48% عند التركيز 1000 نانوغرام للفطر *Epidermophyton floccosum* شكل (5) بعد فترة حضن ثلاثون يوماً بدرجة حرارة 27°C.

وان الميكانيكية التي تعتمدها هذه الفطريات في ترسيب المعادن تعتمد على فاعلية النظام الانزيمي المختزل المقدern بالغشاء البلازمي المسؤول اذ ازدادت معدلات ونسب الترسيب بزيادة الفترة الزمنية للحضن ويعود سبب ذلك الى ازدياد الكثافات والفعاليات الجرثومية بزيادة الفترة الزمنية للحضن. (19).

ان ترسيب الفينول بواسطة الفطريات يعتمد على 1-شحنة جدار الفطر ان ميكانيكية ارتباط الفينول بالكائن المجهرى تعتمد على وجود جاذبية كهربائية ساكنة electrostatic attraction بين شحنة الفينول السالبة وشحنة المجاميع الوظيفية الموجبة كالامينات على سطح جدار الفطر او وجود الكايتين في جدار الفطريات والذي له دور مهم في امداد ازاز الفينول. (20)

2-نصف القطر : أي قد يعود السبب الى قابلية الفطريات في ازالة سمية الفينول الى التجمع بشكل كتل لتنقیل المساحة السطحية المعرضة للفينول كوسيلة دفاعية للتنقیل من التأثير الدام للفينول والعمل على التخلص منه في البيئة من قبل الكائن المجهرى والا حاله دون تثبيط عمله بفعل التراكيز العالية السامة او القاتلة احياناً للكائن المجهرى نفسه او الى وجود الجينات والبلازميدات المسؤولة عن اخذ المركب الفينولي. (21, 22).

واشار (22) الى ان ميكانيكيات التخلص من التراكيز السامة للمركبات الفينولية ربما تعتمد على 1- طبيعة المركب العضوي 2- ذاتية المركب 3- طبيعة الكائن 4- طبيعة النظام الانزيمي للكائن المجهرى حيث بين ان للفطريات قابلية عالية على التخلص من الملوثات الفينولية عن طريق افراز انزيمات من الفطريات الخيطية بشكل خاص ومنها phenol tyrosinase ، catechol 2,3 dioxygenase ، phenol oxidase ، hydroxylase ، peroxidase ، هذه الفطريات Aspergillus niger, Epidermophyton floccosum, Fusarium proliferatum و

حيث قد تقوم بترسيب او تراكم الفينولات ومذه التراكم الداخل خلوي Intracellular accumulation وفي هذه العملية يكون تراكم الفينولات داخل الخلايا الحية للكائنات المجهرية حيث من الممكن ان تكون كمية الايونات المتراكمه كبيرة جداً وتكون معقدات مع نواتج ايضية خارج خلوية مثل الميلانين وهي الصبغة التي تنتجهها الفطريات الملونة حيث ان ارتباط الفينول مع الميلانين يكون معقد يطلق عليه melanin phenol binding وهكذا تختزل سمية الفينول وتقلل تراكيزه العالية (23). ونستنتج من النتائج اعلاه امكانية استخدام

**الفطريات الخيطية في ازالة سمية الفينولات بكفاءة ومحاولة التخلص من احدى ملوثات المياه  
التي تلوث البيئة.**

**المصادر**

- 1- احمد، فاضل حسن هندسة البيئة والتلوث \_ جامعة عمر المختار\_ البيضاء دار الكتاب الوطنية، بنغازي/ليبيا(1996).
- 2- غرابية ، سامح. الفرحان، يحيى المدخل الى العلوم البيئية. عمان - الاردن ، دار الشروق للنشر(1987) .
- 3- الشهري ، عبدالله بن ناصر زهير هدم المركبات الفينولية بواسطة الكائنات الدقيقة . ملخص (2009).
- 4- الزيداني ، انعام عمير الصاحي دراسة قابلية الجراثيم المختزلة للكبريتات على ترسيب الرصاص والزنبق من مياه الفضلات الصناعية مختبرياً. رسالة ماجستير – كلية العلوم – جامعة البصرة.56 صفحة (2004).
- 5- الحاجاج ، مكية مهلل خلف .(2004). استجابة الخميرة *Candida glabrata* لتأثير ايونات بعض العناصر الثقيلة تحت الظروف المختبرية. مجلة البصرة لابحاث البيطرية . العدد 1 . المجلد 1 . (15-1).
- 6- Villalobos , D.A. and Buchanan , I.D. Removal of aqueous phenol by *Arthromyces ramosus* peroxidase . J. Environ. Eng.Sci. 1 : 65-73(2002).
- 7- Ruiz-Ordaz , N.; Ruiz-Lagunez , J.C. ; Gonzalez , J.H.C.; Manzano , E.H. ; Urbina , E.C. and Mayer , J.G. Phenol biodegradation using repeated batch culture of *Candida tropicalis* in multistage Bubble Column . Rev. Latino . deMicrobiol . 43:19-25(2001).
- 8- Murielado , S.E.; Fenoglio , R.; Haure , P.M. and Gonzalez , J.F. Degradation of phenol and chlorophenol by mixed and pure culture . Water.Sa.29(4) : 457-463(2003).
- 9- Agarry , S.E.; Betiku , E. and Solomon , B.O. Inhibition kinetics of phenol degradation by binary mixed culture from continuous culture and wash. Out data. J. Engin. And Appl. Sci.2(6) : 1020-1026(2007).
- 10- DosSantos , E.O.; Darosa , C.F.C.; Dospassos , C.T.; Sanzo , A.V.L.; Burkert , J.F.D.; Kalil , S.J. and Burkert , C.A.V. Pre-Screening of filamentous fungi isolated from acontaminated site in Southern Brazil for bioaugmentation purposes. African.J.Biotechnol.7(9) : 1314-1317(2008).
- 11- McGinnis , M.R. Laboratory Hand book of Medical Mycology .Academic prss , NewYork , 661p(1980).
- 12- Hoogde, G.S. and Guarro, J. Atlas of clinical fungi. Center albureau Voor Shimmel – cultures and universitat Rovirai Virgili. Spainb. 720p(1995).
- 13- APHA. Standard Methods for the Examination of Water and Wastewater, 20<sup>th</sup> ed. Method 5530, pp. 5-40 to 5-44(1998).
- 14- EPA. Methods for Chemical Analysis of Water and Wastes, pp. 420. 1-1 through 420-4 (EPA Method 420. 1) (1983).

- 15- Hurst , C.C. Manual of environmental microbiology .2<sup>nd</sup> ed.ASM Press Washington , D.C. 960-971(2002).
- 16- Faison ,B.D. Biological coal conversions. Crit . Rev. Biotechnol . 11 : 347-366(1991).
- 17- Zahra , E.; Giti , E. and Sharareh , P. Removal of dibenzothiophene , biphenyl and Phenol from waste by *Trichosporon* sp. Scie . Res. And Essay . 1(3) : 72-76(2006).
- 18- Sampedro , I.; Romero , C. ; Ocampo , J.A.; Brendes , M . and Garcia , I. Removal of monomeric phenols in dry mill olive residue by saprobic fungi . J. Agric. Food.Chem , 52(14) : 4487-4492(2004).
- 19- Al-Imarah , F.J.M. ; Abu-Mejdad , N.M.A. and Dhahy , A.O. *In Vitro* the removal capability for lead and mercury from water samples using fungal species isolated from Shatt Al-Arab river . J.Al-Qadisiyah for pure science . J. 13(3) : 8-20(2008).
- 20- Brierley , C.L. Bioremediation of metal – contaminated surface and ground warts. Geomicrobiol J. 8: 201-223(1991).
- 21- Ehrhardt , H.M. and Rehm , H.J. Phenol degradation by microorganisms adsorbed on activated carbon . Appl. Micro . Biotechnol. 21: 32-36(1985).
- 22- Nair ,C.I.; Jayachandran , K. and Shashidhar , S. Biodegradation of phenol . African.J. of Biotechnol . 7(25): 4951-4958(2008).
- 23- Caesar-Tonthat ,T.; Vanommen ,K.F. ; Geesey ,G. and Henson , J. Melanin production by a filamentous soil fungus in response to copper and localization of copper sulfide by sulfide – silver staining . Appl.Environ.Microbiol.61:1968-1975(1995).

## تأثير التشعيع على بعض المعلمات البصرية لاغشية ثنائية كبريتيد الحديد (بيريت) المحضرة بطريقة التحلل الكيميائي الحراري

خالد حسن عبد المعورى و هبة سعد رشيد و لقاء غالب صبحي و خضرير عباس مشجل و نادر فاضل حبوبى  
جامعة المستنصرية/ كلية التربية /قسم الفيزياء

تاریخ تقديم البحث 27/9/2009 - تاریخ قبول البحث 10/5/2010

### ABSTRACT

The influence of irradiation on ( $\text{FeS}_2$ ) films which were prepared by chemical spray pyrolysis method were studied , it was found that the as deposited films effected by  $\gamma$ - radiation ( $\text{Cs}^{137}$ ) which led to change in the optical parameters. Transmission and absorption spectra have been recorded in the wavelength range (400-900)nm. The irradiation changes the values of reflectance, Extinction coefficient, reflective index, real and imaginary part of dielectric, optical conductivity and optical energy gap .

### الخلاصة

تم دراسة تأثير التشعيع على اغشية  $\text{FeS}_2$  المحضرة بطريقة التحلل الكيميائي وعرضت الى اشعة كاما  $\text{Cs}^{137}$  مدة ثلاثة اسابيع ، وتم تسجيل طيفي الامتصاصية والنفاذية لهذه الاغشية في مدى (400-900)nm قبل وبعد التشعيع، تبين ان التشعيع ادى الى تغير في قيم الانعكاسية ، معامل الخمود ، معامل الانكسار ، ثابت العزل الكهربائي الحقيقي والخيالي ، التوصيلية الضوئية ، وفجوة الطاقة البصرية.

### المقدمة

اي منظومة سائلة كانت ام صلبة تمتلك بعدين بصورة دورية فانها تدعى بالغشاء الرقيق ، ان الاغشية التي تحصل عليها تختلف خصائصها من مادة الى اخرى وهي بشكلها الحجمي وذلك بسبب السطح والتاثيرات البينية.

ويمتاز ثنائي كبريتيد الحديد (بيريت) بصفات عدة منها ان له تحركية الكترونية عالية ، معامل امتصاص عالي التوصيلية وفجوة طاقة مناسبة [1,2] . وبسبب الخصائص الانفعالية الذكر فقد دخل هذا المركب في الكثير من التطبيقات واهماها كمادة ماصه في الخلايا الشمسية ، كذلك يستخدم في منظومات التحويل الكهربوبصرية ، وفي التطبيقات الفوتوفولتائية – Photo electric voltage ، واستخدم اخيرا في تطبيقات النانو فقد استخدم في (قضبان ، اسلاك ، انباب)(نانو [3-10] ) . وبالنظر لأهمية هذه المادة فقد تعددت طرق تحضيرها وشملت الترسيب الكهربائي ، الترسيب الكهرو كيميائي ، الترسيب بكبريتة الحديد بوساطة الانتشار ، الترسيب بالحمام الماني ، الترسيب بالتحلل الكيميائي الحراري [11-15] . يهدف البحث الحالى الى معرفة تأثير التشعيع على بعض المعلمات البصرية لاغشية ثنائية كبريتيد الحديد المحضرة بطريقة التحلل الكيميائي الحراري

### المواد وطرائق العمل

لتحضير اغشية ( $\text{FeS}_2$ ) تم استخدام نترات الحديد  $\text{Fe}(\text{NO}_3)_3 \cdot 9\text{H}_2\text{O}$ ، وهي مادة بشكل مسحوق احمر اللون تم اذابتها بـ(50 ml) من الماء المقطر ويكون مصدرأً لأيونات الحديد الموجب (Fe)، أما مصدر أيونات الكبريت السالب (S) فتحصل عليه من مادة الثايروريا، يمزج (50 ml) من محلول نترات الحديد مع (25 ml) من محلول الثايروريا وبذلك تحصل على التركيز المطلوب لترسيب اغشية ( $\text{FeS}_2$ ). يرش محلول على قواعد زجاجية ساخنة بدرجه( $350^{\circ}\text{C}$ ) وعند الترسيب وبفعل الحرارة تتبخر الغازات ويتربس غشاء ثانى كبريتيد الحديد على القاعدة، ذات لون اصفر محمر اثناء التكوين يميل الى اللون البرتقالي عند التبريد،

خالد و هبه و لقاء و خضرير و نادر

و الأغشية الناتجة نصف شفافة و ذات قوة تلاصق عالية استعملت الطريقة الوزنية لمعرفة سمك الغشاء المحضر وقد كان سمك الغشاء بحدود ( $0.4\mu m$ ) و تم تسجيل طيفي الامتصاصية والنفاذية باستخدام (UV-Spectrophotometer) جهاز المطياف الضوئي نوع (1650-1700 nm) من شركة شيمادزو اليابانية لمدى الاطوال الموجية (400-900 nm). و عرضت الأغشية إلى اشعة كما باستخدام المصدر المشع ( $^{137}Cs$ ) والذي يمتاز بعمر النصف مقداره (30.17 y) (تاريخ الصنع 1982) والنشاط الاشعاعي هو  $2 \text{ Ci}/\text{m}^2$  اذ تم وضع الأغشية أمام المصدر المشع مدة ثلاثة اسابيع وبعدها تم تسجيل طيفي الامتصاصية والنفاذية مرة أخرى.

### النتائج والمناقشه

شكل (1) يوضح تغير الامتصاصية (A) كدالة للطول الموجي لاغشية  $\text{FeS}_2$  قبل وبعد التشعيع ولمدى طول موجي nm (400- 900) اذ يوضح الشكل ان التشعيع ادى الى زيادة في قيم الامتصاصية . ويعود السبب في ذلك ان التشعيع بحرع واطنة ادى زيادة درجة تبلور المادة.

و تم حساب معامل الامتصاص (Absorption Coefficient - $\alpha$ -) في منطقة الامتصاص الاساسيه باستخدام العلاقة الآتية [16]:

$$\alpha = 2.303 A/t \quad (1)$$

اذ تمثل A: امتصاصيه الغشاء ، t: سمك الغشاء

يبين الشكل (2) تغير معامل الامتصاص ( $\alpha$ ) كدالة لطاقة الفوتون قبل وبعد التشعيع وكانت قيم معامل الامتصاص  $\alpha > 10^4 \text{ cm}^{-1}$  ، ان معامل الامتصاص يكون قليلاً عند الطاقات الفوتونية الواطنة وفيها تكون احتمالية الانتقالات الالكترونية قليلة وتزداد قيم معامل الامتصاص عند حافة الامتصاص باتجاه الطاقات العالية. تدعى أشباه الموصلات التي تحدث فيها هذه العملية بأشباه الموصلات المباشرة، اذ يحدث الانتقال المباشر المسموح عندما يكون الزخم محفوظ ( $\Delta K=0$ ).

وتعطى طاقة الفجوة البصرية الممنوعه  $E_g$  للانتقال المباشر بالعلاقة الآتية [17].

$$\alpha h v = A^* (h v - E_g)^r \quad (2)$$

حيث:

$A^*$  ثابت يعتمد على احتمالية الانتقال . r: قيمتها  $1/2$  في الانتقال المباشر تكون عملية امتصاص الفوتون عملية مباشرة ولا تتطلب مساعدة من اهتزاز الشبكة ، وعندما يمتص الفوتون فإن الإلكترونون يتبع مباشرة باتجاه عمودي من حزمة التكافؤ إلى حزمة التوصيل دون تغيير في متجه  $K$  أو زخم البلورة نظراً لكون زخم الفوتون صغير جداً [18]. في بعض المواد تكون قواعد الانتقال الكميمية تمنع الانتقالات المباشرة عند  $K=0$  لكن تسمح لها عند  $\Delta K \neq 0$  و تزداد احتمالية الانتقال مع  $K$ . الشكل (3) يمثل العلاقة بين  $(\alpha h v)$  وطاقة الفوتون  $(h v)$ .

تم حساب فجوة الطاقة البصرية الممنوعة  $E_g$  للانتقال غير المباشر الممنوعه اعتماداً على المعادلة (3) ، بعد وضع قيمة الثابت r: [19]

$$(\alpha h v)^{1/r} = A^{1/r} (E - E_g' \pm E_p) \quad (3)$$

الشكل (4) يمثل العلاقة بين  $(\alpha h v)^{1/2}$  وطاقة الفوتون لاغشية قبل وبعد التشعيع ، نجد قيمة فجوة الطاقة البصرية الممنوعة للانتقال غير المباشر المسموح . والجدول (1) يبين قيمة فجوة الطاقة لاغشية المحضره للانتقالات المباشرة وغير المباشرة.

جدول - 1: قيم فجوة الطاقة الممتوحة (المباشرة وغير المباشرة) لاغشية  $\text{FeS}_2$  قبل وبعد التشيع

نوع طاقة الفجوة	$Eg$ (eV) قبل التشيع	$Eg$ (eV) بعد التشيع
مباشر مسموح	1.6	1.5
غير مباشر مسموح	1.4	1.3

شكل (5) يوضح تغير النفاذية كدالة للطول الموجي لاغشية قبل وبعد التشيع حيث نلاحظ ان التشيع ادى الى نقصان النفاذية .الشكل (6) يبين تغير الانعكاسية ( $R$ ) مع الطول الموجي قبل وبعد التشيع يعود السبب في ذلك الى التغير في طوبوغرافية السطح جراء التشيع ،حيث ان الانعكاسية :

$$A+T+R=1 \quad \dots \quad (\text{قانون حفظ الطاقة})$$

وتم حساب معامل الخمود ( $K_0$ ) لاغشية المحضرة من المعادلة الآتية [20]:

$$K_0 = \alpha \lambda / 4\pi \quad \dots \quad (6)$$

الشكل (7) يبين يغير معامل الخمود مع طاقة الفوتون قبل وبعد التشيع السبب في ذلك الى التوهين الحاصل جراء التشيع

تم حساب معامل الانكسار ( $n$ ) وفق المعادلة [17]

$$n_0 = \{(1+R)^2 + (1-R)^2\} / (1-R^2) \quad \dots \quad (7)$$

الشكل (8) يبين تغير معامل الانكسار مع طاقة الفوتون السبب في ذلك الى التغير في قيم الانعكاسية جراء التشيع.

تم حساب ثابت العزل الحقيقي ( $\epsilon_1$ ) من المعادلة [19]

$$\epsilon_1 = n_0^{-2} - k_0^{-2} \quad \dots \quad (8)$$

الشكل (9) يبين تغير ثابت العزل الكهربائي الحقيقي مع طاقة الفوتون قبل وبعد عملية التشيع السبب في ذلك الى الاعتماد على قيم عامل التوهين ومعامل الانكسار السطح جراء التشيع

تم حساب ثابت العزل الكهربائي الخيالي من المعادله [21]

$$\epsilon_2 = 2 n_0 k_0 \quad \dots \quad (9)$$

فيوضح الشكل (10) يبين تغير ثابت العزل الكهربائي الخيالي مع طاقة الفوتون قبل وبعد عملية التشيع

و تم حساب التوصيلية الضوئية وفقا للعلاقة [22]

$$\sigma = \epsilon_1 \omega \epsilon_0 \quad \dots \quad (10)$$

: التردد الزاوي  $\omega_0$ : تمثل سماحة الفراغ

الشكل (11) يبين تغير التوصيلية الضوئية مع طاقة الفوتون قبل وبعد التشيع ونلاحظ زيادة التوصيلية مما يؤكد على تحسن الخواص البصرية بعد التشيع نستنتج من ذلك

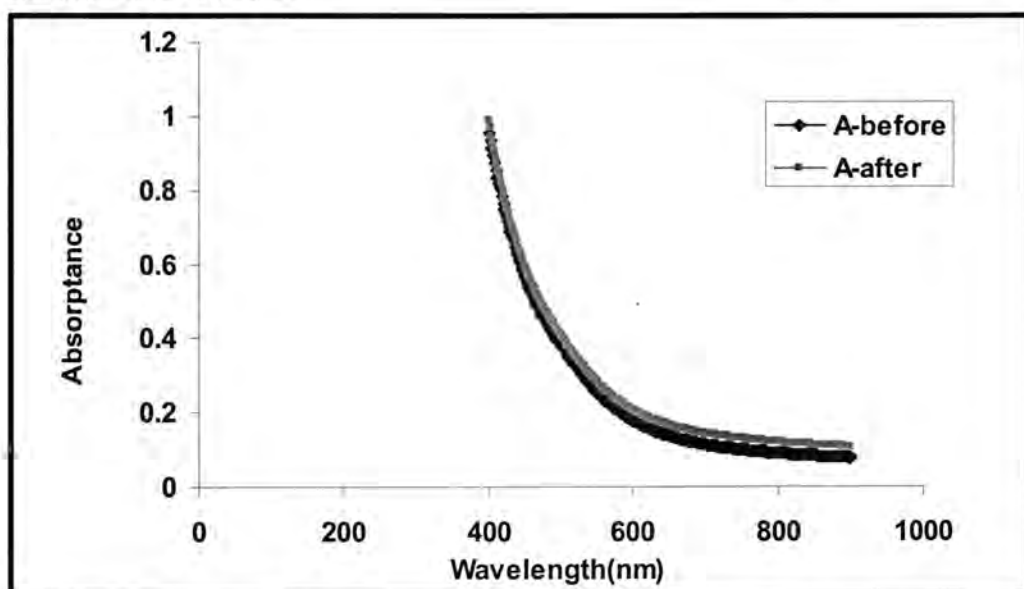
1- تمتلك الاغشية المحضرة ضمن الظروف المختارة انتقالات الكترونيه مباشرة وغير مباشره.

2- ان التشيع ادى الى نقصان في قيمة فجوة الطاقة .

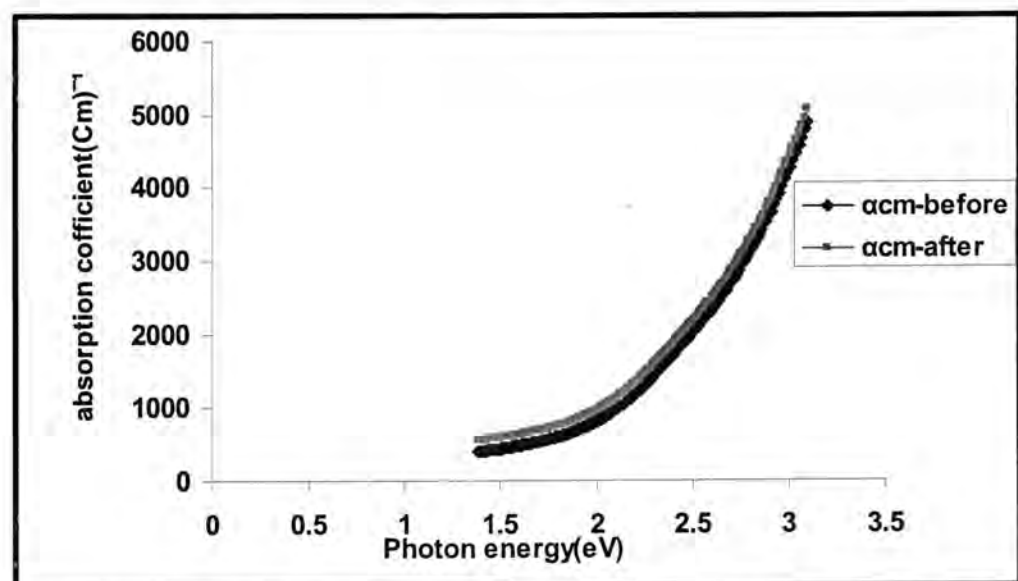
3- ان التشيع ادى الى نقصان في قيم الانعكاسيه ( $R$ ) ومعامل الانكسار ( $n_0$ ) والجزء الحقيقي لثابت العزل الكهربائي ( $\epsilon_1$ ).

4- زيادة زمن التشيع ادى الى زيادة في قيم معامل الخمود ( $k_0$ ) والتوصيلية الضوئية ( $\sigma$ ) والجزء الخيالي لثابت العزل الكهربائي ( $\epsilon_2$ )

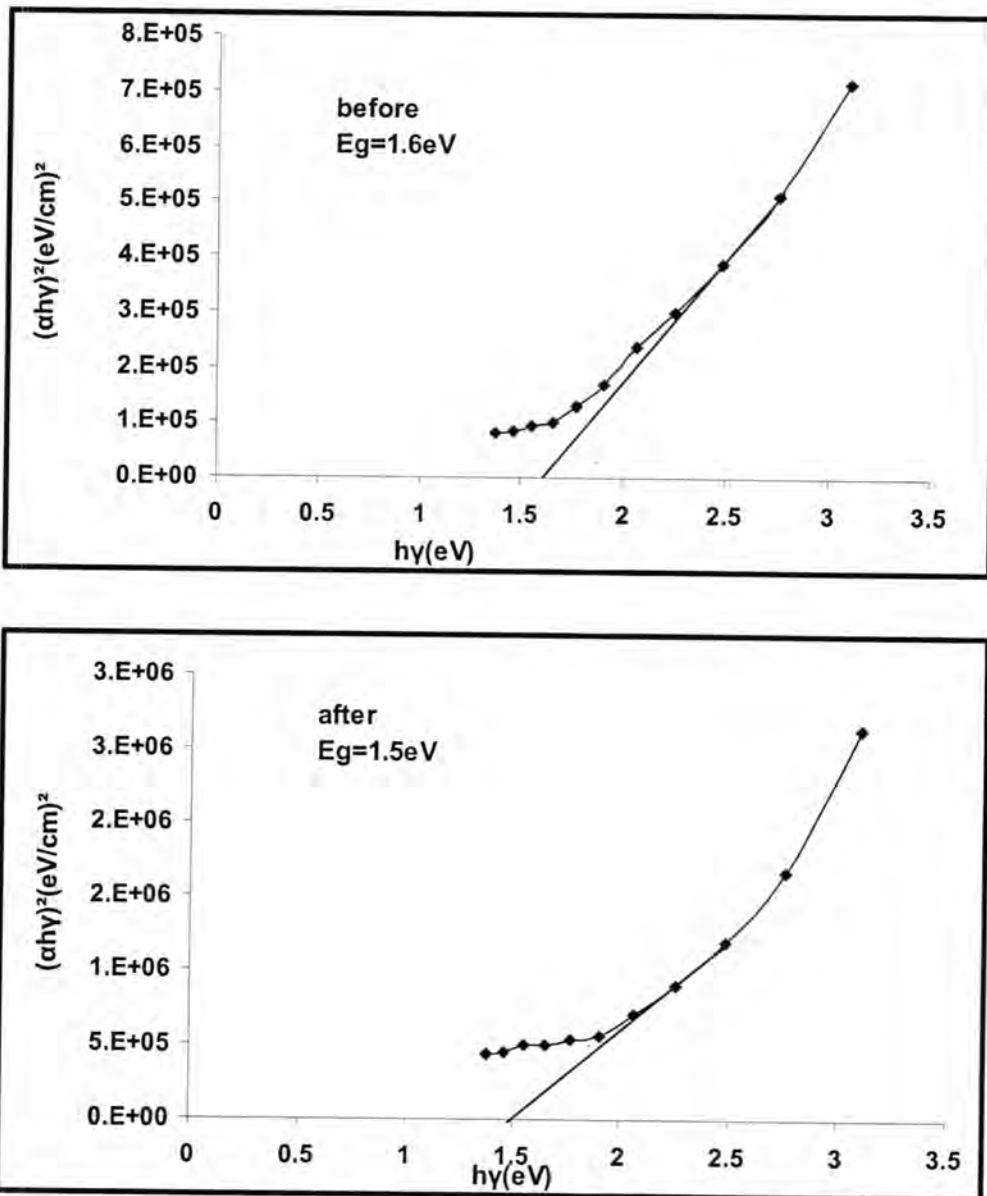
5- ادى التشيع باشعة كاما وبجرع واطنة الى تحسين الصفات البصرية.

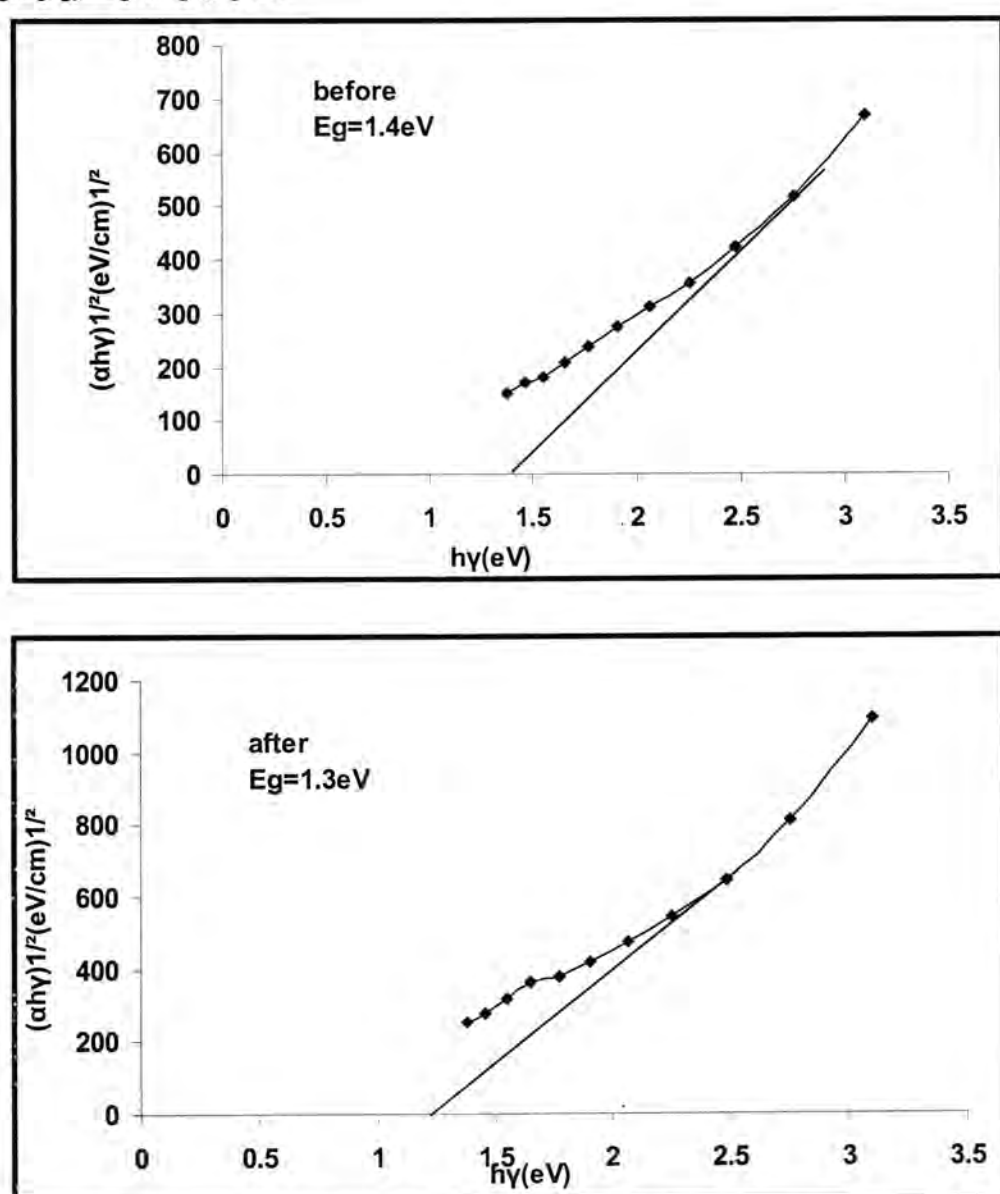


شكل - 1 : تغير الامتصاصية كدالة لطول الموجي لغشاء  $\text{FeS}_2$  قبل وبعد التشعيع

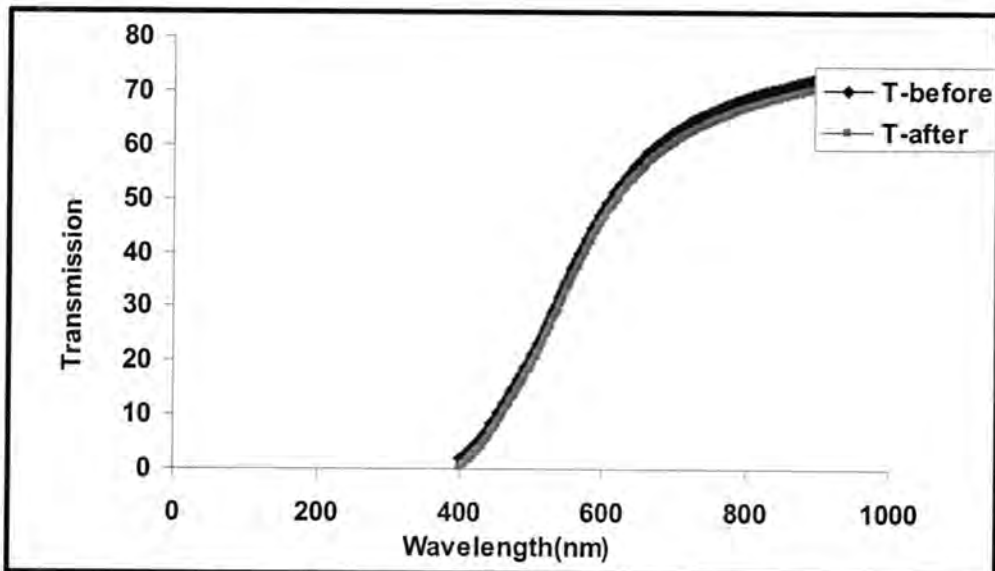
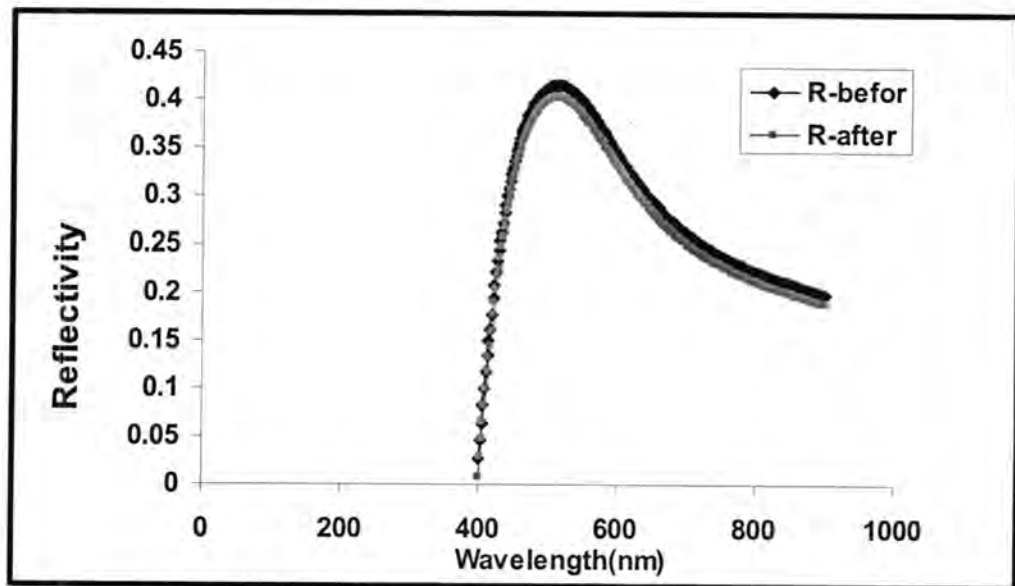


شكل - 2 : تغير معامل الامتصاص كدالة لطاقة الفوتون لغشاء  $\text{FeS}_2$  قبل وبعد التشعيع

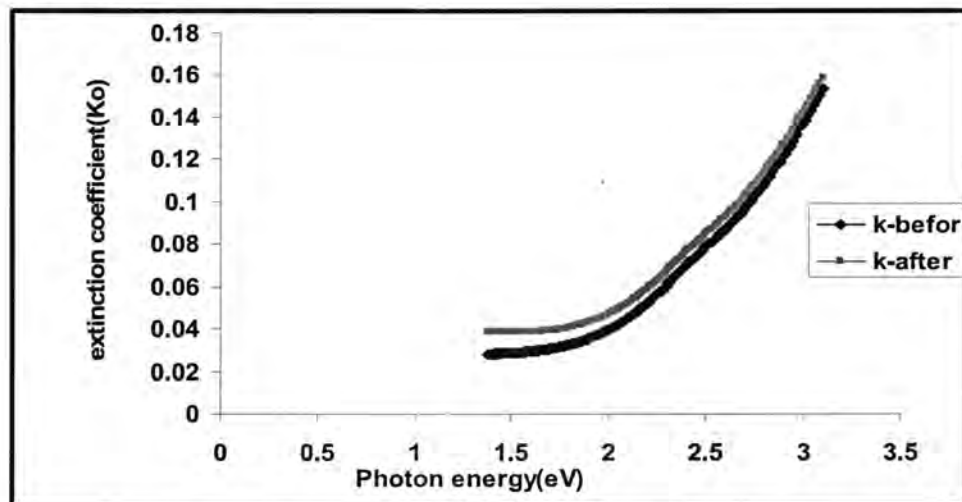
شكل-3 : الانتقال المباشر المسحوب لغشاء FeS<sub>2</sub>



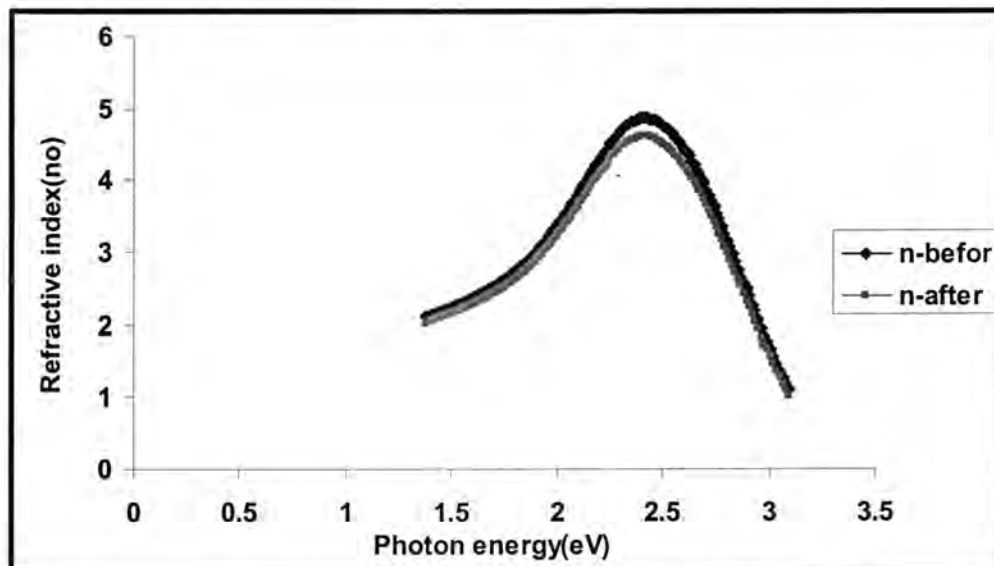
شكل- 4 : الانقال الغير مباشر المسماوح لغشاء FeS<sub>2</sub>

شكل - 5 : تغير النفاذية كدالة لطول الموجي لغشاء FeS<sub>2</sub> قبل وبعد التشعيعشكل - 6 : تغير الانعكاسية كدالة لطول الموجي لغشاء FeS<sub>2</sub> قبل وبعد التشعيع

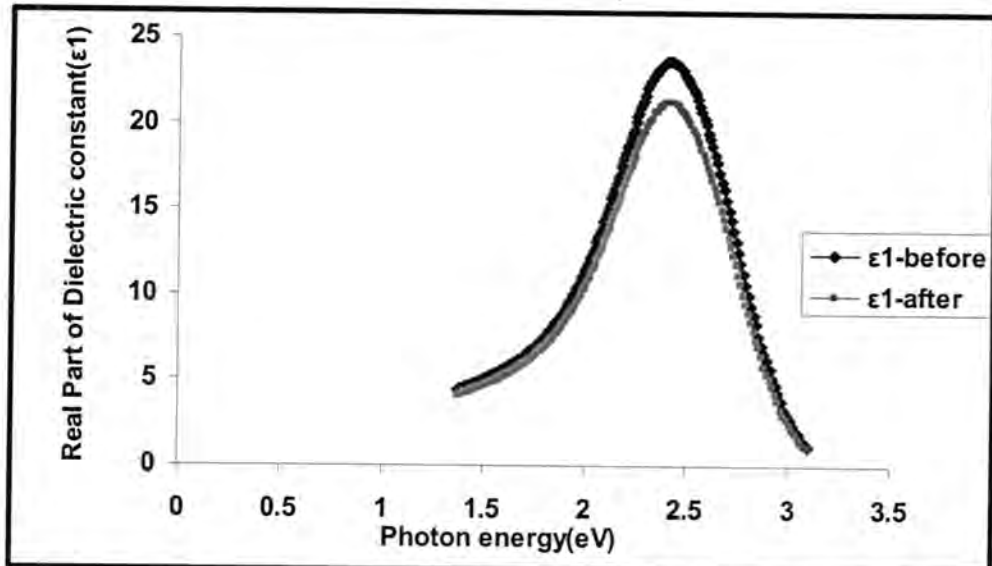
تأثير التشعيع على بعض المعلمات البصرية لأغشية ثانوي كبريتيد الحديد (بيريت) المحضرة بطريقة التحلل الكيميائي الحراري  
خالد و هبة و لقاء و خضرير و نادر



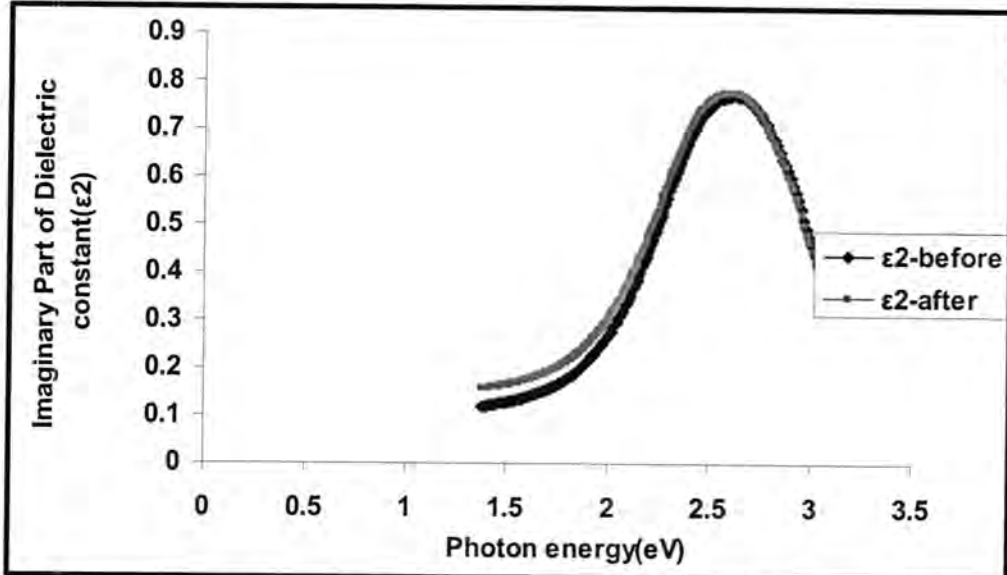
شكل - 7 : معامل الخمود كدالة لطاقة الفوتون لغشاء FeS<sub>2</sub> قبل وبعد التشعيع



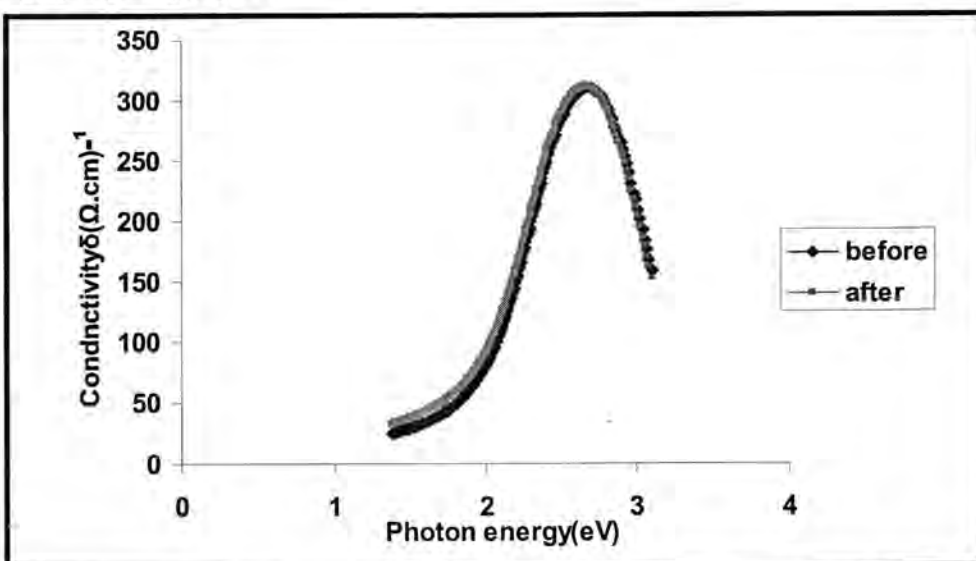
شكل - 8 : معامل الانكسار كدالة لطاقة الفوتون لغشاء FeS<sub>2</sub> قبل وبعد التشعيع



شكل - 9 : الجزء الحقيقي لثابت العزل الكهربائي كدالة لطاقة الفوتون لغشاء FeS<sub>2</sub> قبل وبعد التشعيع



شكل - 10 : الجزء الخيالي لثابت العزل الكهربائي كدالة لطاقة الفوتون لغشاء FeS<sub>2</sub> قبل وبعد التشعيع



شكل - 11 : التوصيلية الضوئية كدالة لطاقة الفوتون لغشاء  $\text{FeS}_2$  قبل وبعد التشعيع

#### المصادر

- 1- Pietro P.Altermatt, Tobias Kiesewetter, Klaus Ellmer, Helmut Tributsch "Specifying targets of future in photovoltaic devices containing pyrite ( $\text{FeS}_2$ ) by numerical modelling ", Solar Energy Materials and Solar Cell, Volume 71, Issue 2, 1February, Pages 181-195 (2002).
- 2- N. Takahashi, T.Yatomi, T.Nakamura,"Crystal quality, electrical properties of single crystal pyrite films prepared by chemical vapor deposition under atmospheric pressure" SOLID STATE , SCIENCES, 6\,1269-1272 (2004).
- 3- J.R.Ares, A.Pascual, I.J.Ferrer, C.Sanchez,"Grain and crystallite size in polycrystalline pyrite thin films",Thin Solid Films, Volumes 480-481, 1June, pages 477-481(2005).
- 4- L.Y. Huang,L.Meng ,Mater. Sci. Eng. ,B137,310(2007).
- 5- L.Meng,Y.H.Liu,L.Tian,"Structural, optical and electrical properties of polycrystalline pyrite ( $\text{FeS}_2$ ) films obtained by thermal sulfuration of iron films", Jaurnal of Crystal Growth, volume 253, Issues 1-4, June, Pages 530-538(2003).
- 6- Y.H.Liu, L.Meng, L. Zhang ,”Optical and electrical properties of  $\text{FeS}_2$  thin films with different thickness prepared by sulfurizing evaporated iron “ Thin Solid Films, Volume 479, Issues 1-2, 23 May,Pages 83-88(2005).
- 7- L.Meng , Y.H. Liu, L. Tain ,”Evolutions of structure, composition and optical absorption behavior of pyrite films formed by sulfurating

- iron “, Materials Research Bulletin, Volume 38, Issue 6, 26 May, Pages 941-948(2003).
- 8- Stanislaus S.Wong, Ernesto Joselevich, Adam T.Woolley, chin Li Cheung, Charles M,Lieber,” Covalently functionalized nanometer-sized probes in chemistry and biology “ Nature 394, 52-55 (2 July 1998).
- 9- C.J.Lee, T.J.Lee, S.C.Lyu, Y.Zhang, H.Ruh, H.J.Lee, Field emission from well-aligned zinc oxid nanowires grown at low temperature, Appl. Phys. Lett. , vol.81, 3648(2002).
- 10- Jiangtao Hu,Min.Quyang, Peidong Yang, Charles M.Lieber,”Controlled growth and electrical properties of heterojunctions of carbon nanotubes and silicon nanowires “ Nature vol. 399, 48-51(6 May1999) .
- 11- Wei. Zhong Li, Wen-Qing Qin ,Wei Sun , Guan-Zhou Qiu,”Electrodeposition of dixanthogen (TETD) on pyrite surface”, Transactions of nonferrous Metal Society of china , vol. 17, Issue 1, January, Pages 154-158(2007).
- 12- Jae-Won choi, Gouri cheruvally, HYO-Jun. Ahn, Ki-Won Kim, Jou-Hyeon Ahn ,” Electrochemical characteristics of room temperature Li/FeS<sub>2</sub> batteries with natural pyrite cathode” Journal of power Sources, Volume 163, Issue1, 7 December, Pages 158-165(2006).
- 13- X.F.Li, Y.Wang, “Microstructure and optical absorption of FeS<sub>2</sub> films formed by sulfurizing precursive iron of various crystallite scales “,L.Meng, Materials Research Bulletin , vol.44,Issue 2, Page 462-467(4 February2009).
- 14- N.Hamdadou, A.Khelil, J.C.Bernede, Mater. Chem. phys. , vol.78, 591(2003).
- 15- Sigeyuki Nakamura, Akio Yamamoto,” Electrodeposition of pyrite (FeS<sub>2</sub>)thin films for photovoltaic cells” Solar Energy Materials Solar Cells, volume 65, Issues 1-4 , Pages 79-85(January 2001).
- 16- Willian C. Dickinson, Paul N. Cheremisionoff, "Solar Energy Technology", Handbook Part A, p. 498, (1980).
- 17- J.I.Pankove,“OpticalProcesses in Semiconductors”, Prentice-Hall, N. J, (1971).
- 18- K.L.Chopra.S.Major and D.K.pandya”Transparent Conductors-Astatus Review”,Thin solid film vol(102),Issue 1, pages (1-46) 8 April (1983).

تأثير التشعيع على بعض المعلمات البصرية لأغشية ثنائية كبريتيد الحديد (بيريت) المحضرة بطريقة التحلل الكيميائي الحراري  
خالد و هبة و لقاء و خضرير و نادر

- 19- S. O. Kasap, "Principles of Electronic Materials and Devices", 2nd Ed, McGraw-Hill, New York, (2002).
- 20- S.R. Bhattacharyya, r.n. gayen, R.Paul, A.K. Pal, Determination of optical constante of thin films from transmittance trace , Thin Solid Films 517 , 5530-5536(2009).
- 21- M.A Khashau.A.M. EL-Nagger,"Anew method of finding the optical concstants of asolid from the reflectance and transmittance spectrograms of its slab" optics communications ,vol174,Issuesb5-6, p.445-453(1 February 2000).
- 22- T.M.Razykov , "Physical properties of II-VI binary and multi-component compound films and heterostuuctures fabricaqted by chemical vapour deposition" Thin soild film ,vol. 164, pages 301(October 1988).

## حرز الطاقة و عزم القصور الذاتي لنواة $W(A=182)$ شديدة التشوه ذات التنااظر الديناميكي $SU(3)$

ايمان طارق العلوى و عطاء على حسن  
قسم الفيزياء / كلية العلوم / الجامعة المستنصرية

تاریخ تقديم البحث 20/6/2009 - تاریخ قبول البحث 20/6/2010

### ABSTRACT

In this work, the energy bands and the moment of inertia for strongly deformed even-even  $W(A=182)$  nucleus have been studied , the dynamical symmetry  $SU(3)$  has been predicated for this nucleus, using the Interacting Boson Model (IBM-1) and the Variable Moment of Inertia (VMI).

In this research the rotational energy and the moment of inertial, the softness coefficient; the cross bands; the back bending have been calculated for these nuclei and their dependence on the angular momentum and their relation with angular momentum .The calculated results have been compared with the available experimental data.

### الخلاصة

تم خلال البحث الحالي دراسة حرز الطاقة و عزم القصور الذاتي لنواة  $W(A=182)$  الزوجية - زوجية الشديدة التشوه ذات التنااظر الديناميكي  $SU(3)$  باستخدام نموذج البوزوونات المتفاولة الأول (IBM-1) ونموذج عزم القصور الذاتي المتغير (VMI) وقد تم خلال البحث أيضا حساب الطاقة الدورانية لعزم القصور الذاتي ومعامل الليونة وتقاطع الحرز وظاهرة الانحناء الخلفي وعلاقتها بالزخم الزاوي .لقد تم مقارنة نتائج الحسابات مع النتائج العملية المتوفرة.

### المقدمة

اقتصر نموذج البوزوونات المتفاولة (IBM) (Interacting Boson Model) في عام (1974) من قبل (Arima and Iachello)[1]. في هذا النموذج يتم وصف المستويات التجميعية الواطنة (Low Lying Collective States) للنوى المتوسطة والثقيلة (الزوجية- زوجية) والبعيدة عن المدارات المغلقة والمس يطر عليهما بوساطة تهيجات البروتونات والنيوترونات التكافؤية (Valance Nucleons) أي النيوكليونات التي تقع خارج بعد مدار مغلق في النواة، لتكون جسيمات مزدوجة متماثلة من البروتونات أو النيوترونات والتي تسمى بالبوزوونات ذات زخم زاوي  $j=0$  او  $j=2$  (j=0,2) حسب الحالة التي يكون فيها البروتون، فالبوزوون ذو الزخم الزاوي ( $j=0$ ) يسمى بـ (s-boson) ويرمز له ( $N_\pi$ )، بينما الذي يمتلك زحاماً زاوياً ( $j=2$ ) يرمز له ( $N_u$ ) ويسمى بـ (d-boson) وان العدد الكلي للبوزوونات هو  $[N=N_\pi+N_u]$ .

حيث ان  $N_\pi$  تمثل عدد البوزوونات من نوع بروتون-بروتون.

و  $N_u$  تمثل عدد البوزوونات من نوع نيوترون-نيوترون.

اما نموذج عزم القصور الذاتي المتغير فقد تم اقتراحه من قبل (Mariscotti) وجماعته عام (1969)[4] لمعالجة الاختلاف بين قيم مستويات الطاقة العملية والنظرية للنوى الدورانية اذ افترضوا ان قيمة عزم القصور الذاتي تزداد بزيادة قيمة الزخم الزاوي ( $L$ ) وتم الحصول "من خلال استخدام هذا النموذج" على قيم مقاربة لقيم مستويات الطاقة العملية لهذا النوع من النوى التي تمتلك عزم قصور ذاتي عالي ولioniونة (Softness) نووية صغيرة عندما تكون في حالتها الأرضية[2].

لقد تم اكتشاف ظاهرة الانحناء الخلفي (Back Bending) من قبل (Johnson) وجماعته عام 1971 [5] إذ وجدوا ان عزم القصور الذاتي عند زخوم معينة تزداد بشكل واضح ويرافق ذلك نقصان في قيمة الطاقة الدورانية في بعض النوى. وفي حالة عدم ظهور الانحناء الخلفي فهذا يعني انه لا تتأثر لعزم القصور الذاتي على تشوّهها. وهذا تفسيرات لسبب حدوث هذه الظاهرة:

### 1. تقاطع الحرز Band Crossing

تتلخص ظاهرة تقاطع الحرز على انه اذا كان لدينا حرزة طاقة مثل حرزة بيتا- $\beta$  (band) أو حرزة كاما ( $\gamma$ -band) ذات عزم قصور ذاتي  $g_2$ ، وكانت حرزة الحالة الأرضية ( $g$ -band) ذات عزم قصور ذاتي  $g_1 < g_2$  بحيث ان  $(g_1 > g_2)$  فسينتج عن ذلك تقاطع بين الحرمتين عند زخم زاوي معين  $L_{\text{cross}}$  والمقصود بهذا التقاطع هو ان حرزة الطاقة ذات عزم قصور ذاتي عالي سوف تحل محل طاقة ذات عزم قصور ذاتي واطى عند زيادة الزخم الزاوي عن  $L_{\text{cross}}$  [6].

### 2. تأثير قوة كوريولس Coriolis Force Effect

يزداد تأثير قوة كوريولس عند الزخوم الزاوية العالية على النيوكليونات التي لها زخم زاوي كبير، وهو ذاتي إلى فك الاذداج (Depairing) بين زوج أو أكثر من هذة النيوكليونات وان فك اذداج الزوج الاول يكافئ ظهر حرزة جديدة هي حرزة شبيهي الجسيمات (Two Quasi Particles) التي يحتمل ان تقطع الحرزة الأرضية ( $g$ -band) عند رخم زاوي معين وتبقى حرزة الحالة الأرضية ( $g$ -band) كاملة الاذداج (Completely the azodrag) [7]. في عام 2007 قام كل من (Turkan and Maras) [8] بدراسة نموذج البوزوونات المتفاعلة (IBM) ووصف الخواص النووية التجمعية عبر مدى واسع للنوى والذى يعتمد أساسه على تقدیمات الجدير العام لنظرية الزمر (Group Theory). ونموذج (IBM) يكون استعماله واسعاً لوصف مستويات رباعي القطب التجمعية للنوى المتوسطة والثقيلة وان الصيغة الأولى لنمذج (IBM-1) لا تعيز بين بوزوونات البروتونات والنيوترونات، ولالاحظوا ان النوى الزوجية-زوجية (Even-Even) تكون متميزة بدراسة الحرزة المشوهة بشدة (Strongly Deformed Bands) [9]. وفي عام 2008 قام (Sönmezoglu) وجماعته [9] بتفصيل خواص التناطر للنوى المشوهة (Deformed Nuclei) الزوجية-زوجية (Even-Even) ضمن إطار نموذج البوزوونات المتفاعلة (Variable Moment Inertia (VMI)) واستخدموه نموذج عزم القصور الذاتي المتغير (VMI) (Eigen States) الصيغة الآتية [10]:

$$\hat{H} = a_1(\hat{L}\cdot\hat{L}) + a_2(\hat{Q}\cdot\hat{Q}) + a_3(\hat{U}\cdot\hat{U}) + a_4(\hat{V}\cdot\hat{V}) \quad \dots(1)$$

حيث ان  $\hat{L}, \hat{Q}, \hat{U}, \hat{V}$  هي مؤثرات دالة هاملتون وأن  $a_1, a_2, a_3, a_4$  هي الاعدادات.

يمكن الحصول عليها عند أفضل تطابق (Fitting).

وبالإمكان إيجاد القيم الذاتية (Eigen Values) بصورة تحليلية (Analytically) وتأخذ الحالات الذاتية (Eigen States) الصيغة الآتية [2,10]:

$$\left| U(6) \supset SU(3) \supset O(3) \supset O(2) \right\rangle \dots(2)$$

$$\left| \begin{array}{cccc} \downarrow & \downarrow & \downarrow & \downarrow \\ [N] & (\lambda, \mu) \tilde{\chi} & L & M_L \end{array} \right\rangle$$

حيث ان:

$N = (N_\pi + N_n) = (\text{Total Number of Bosons})$

$N_\pi = (\text{Proton Bosons Number})$

$N_n = (\text{Neutron Bosons Number})$

ان  $N$  تشير الى التمثيل غير القابل للاختزال المتضاد كلياً للزمرة الوحدوية  $U(6)$

(Totally Symmetric Irreducible Representation of  $U(6)$ )

المتضاد تعني ان البوزوونات تميّز بدوال موجية متضادة (Symmetrical Wave Functions)

اما  $(\lambda, \mu)$  فهي عباره عن تمثيلات غير قابلة للاختزال للزمرة  $SU(3)$

(Irreducible Representation of  $SU(3)$ ). وان  $L$  و  $M_L$  تمثلان الزخم الزاوي

ومسقطه على المحور  $Z$  على التوالي، وان  $\lambda$  هو عدد كمي إضافي له [2,3] Vergados

علاقة بمسقط الزخم الزاوي.

ان معادلة الطاقة لحرزمه الحالة الأرضية (Ground State Band) للذوى الدورانية

تكتب بالصيغة التالية [2]:

$$(3) \quad E(L) = \frac{L(L+1)}{2g}$$

حيث ان:  $L$  : هو الزخم الزاوي للنواة ،  $g$  : هو عزم القصور الذاتي للنواة بوحدة  $(\text{MeV})^{-1}$

وحساب من وحدات  $\frac{1}{\hbar^2}$ .

لم يتمكن نموذج عزم القصور الذاتي للذوى الدورانية من وصف مستويات الطاقة

بشكل جيد لافتراضه ثبات مقدار عزم القصور الذاتي، لذلك تم افتراض نموذج عزم القصور

الذاتي المتغير (VMI) (Variable Moment of Inertia Model) [9,11,12,13]

تم في هذا النموذج ادخال مفهوم تغير عزم القصور الذاتي للنواة واعتباره كدالة للزخم الزاوي

للنواة وذلك بالإضافة حد ثانى للمعادلة (3) من قبل (Mariscotti) [14] وكالاتى:

$$(4) \quad E(L) = \left[ \frac{L(L+1)}{2g(L)} + \frac{1}{2} C(g(L) - g_0)^2 \right]$$

حيث ان:

$g(L)$  : عزم القصور الذاتي للنواة كدالة للزخم الزاوي ( $L$ ).

$g_0$  : عزم القصور الذاتي للنواة في الحالة الأرضية.

وان كل من  $C$  و  $g_0$  اعلوم ات (Parameters) تتلائم قيمه اام مع القيم العمليه

لمستويات الطاقة.

اما معامل الليونة (Softness Coefficient) للنواة فيكتب بالشكل الآتى

[3,9,11,14]

$$(5) \quad \sigma = \frac{1}{2Cg_0^3}$$

لقد نجح هذا النموذج في وصف مستويات الطاقة للذوى الدورانية وحدى للذوى الاهتزازية.

ان ظاهرة الانحناء الخلفي (Back Bending) تحدث بسبب زيادة في عزم القصور

الذاتي والتي يرافقها نقصان في الطاقة الدورانية عند زخوم زاوية معينة في بعض الذوى.

مربع الطاقة الدورانية وعزم القصور الذاتي تكتب بالشكل الآتى [9,11,12,13]:

$$(\hbar\omega)^2 = \left[ \frac{E(L)}{\sqrt{L(L+1)}} \right]^2 \quad \dots(6)$$

$$\frac{2g}{\hbar^2} = \frac{L(L+1)}{E(L)} \quad \dots(7)$$

$$(\hbar\omega)^2 = \left[ \frac{E(L \rightarrow L-2)}{\sqrt{L(L+1)} - \sqrt{(L-2)(L-2+1)}} \right]^2 \quad \dots(8)$$

ان الحد  $L(L+1)$  يقلل الى حدین  $(L-1)L$  و  $(L-2)(L+1)$  لذلك فان المعادلة (6) تصبح كالتالي للانتقالات الكامية لحزمة  $g$  و حزم  $\beta$  و حزم  $\gamma$ :

$$(\hbar\omega)^2 = \left[ \frac{E_\gamma}{\sqrt{L(L+1)} - \sqrt{(L-2)(L-1)}} \right]^2 \quad \dots(9)$$

$$(\hbar\omega)^2 = \left[ \frac{E(L \rightarrow L-1)}{\sqrt{L(L+1)} - \sqrt{L(L-1)}} \right]^2 \quad \dots(10)$$

وبالمثل لحزم  $\gamma$ .

ومن المعادلة (7) نحصل على عزم القصور الذاتي لحزمة الحالة الارضية (g-band) و حزم بيتا ( $\beta$ -bands) و حزم  $\gamma$  (band).

$$\frac{2g}{\hbar^2} = \frac{L(L+1) - (L-2)(L-2+1)}{E(L \rightarrow L-2)} \quad \dots(11)$$

$$\frac{2g}{\hbar^2} = \frac{4L-2}{E_\gamma} \quad \dots(12)$$

$$\frac{2g}{\hbar^2} = \frac{L(L+1) - L(L-1)}{E(L \rightarrow L-1)} = \frac{2L}{E_\gamma} \quad \dots(13)$$

وبالمثل لحزم  $\gamma$

حيث ان  $E(L \rightarrow L-2)$  تمثل فرق الطاقة بين مستويين لهما زخم زاوي  $L$  و  $(L-2)$  في كل من حزمه الحالة الارضية (g-band)، و حزم بيتا ( $\beta$ -band) اما  $E(L \rightarrow L-1)$  فتمثل فرق الطاقة في حزمه كاما ( $\gamma$ -band) بين مستويين لهما زخم زاوي  $L$  و  $(L-1)$ .

لقد تمت برمجة المعادلة (4) من خلال كتابة البرنامج (VMI.for) بلغة Fortran 90 وباستخدام البرنامج التشغيلي Compaq Visual Fortran V6.6. كما وظف هذا البرنامج لحساب مربع الطاقة الدورانية  $^2(\hbar\omega)$  و عزم القصور الذاتي  $\left(\frac{2g}{\hbar^2}\right)$  لحزمه الارضية (g-band) وكل من حزمها

بيتا ( $\beta$ -band) و حزمها كاما ( $\gamma$ -band) وذلك ببرمجة المعادلات (8  $\leftarrow$  13). كما وظف هذا

البرنامج أيضا لحساب معامل الليونة (Softness Coefficient) للنواة ببرمجة المعادلة (5). حيث يتم تغذية البرنامج (VMI.for) بالعلوميات  $C, g_0, K$  كمدخلات لإجراء الحسابات إضافة لإدخال قيم مستويات الطاقة العملية والنظرية المحسوبة باستخدام (IBM-1) لغرض المقارنة.

وقد تم حساب معدل الجذر التربيعي للانحراف المعياري (Standard Deviation) من المعادلة الآتية [15,16]:

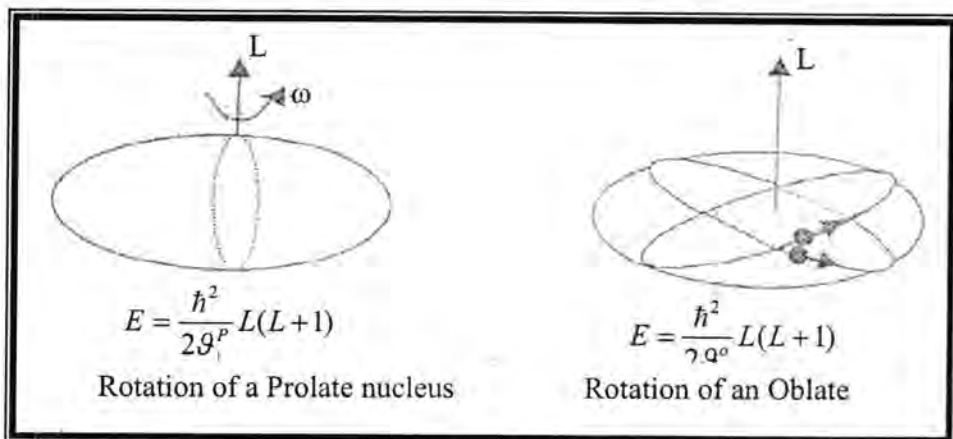
$$\text{Standard Deviation} = \left[ \frac{1}{N} \sum_{i=1}^N \left| (E_{\text{cal.}} - E_{\text{exp.}})_i \right|^2 \right]^{\frac{1}{2}} \quad \dots(14)$$

اما مربع كاي (Chi-Squared) الذي يمثل مدى ملائمة النموذج فقد تم حسابه من المعادلة الآتية [16]:

$$\chi^2 = \frac{(E_{\text{cal.}} - E_{\text{exp.}})^2}{E_{\text{cal.}}^2} \quad \dots(15)$$

### النتائج و المناقشة

ان معظم المستويات النووية المتهيجه والتي تمتلك زخماً زاوياً عالياً تنحدل عن طريق ابعاث اشعه كما و هنا تكمن امكانية دراسة حقائق جيدة للتركيب النووي للنانوية قيد الدراسة، ان الحركة الدورانية الجماعية (Collective Rotation Motion) للنواة تعتمد على حركة النيوكليونات بشكل متاشكه (Coherently) لحركة النواة مسبباً بذلك دوران النيوكليونات حول محور يختلف عن محور التنااظر الذووي (Nuclear Symmetry Axis). هذا النوع من التهيجات يحدث في الذوى المشودة اذ ان الذوى المشودة لها عزم قصدير ذاتي (Moment of Inertia) عالي مع محافظة حركة النيوكليونات المنفردة على عدم اضطرابها أثناء عملية الدوران المشودة، ويبيين الشكل (1) ذئوع من النوى الدوارنية الاول من نوع النواة المتطاولة (Prolate Nucleus) والتي تدور حول محور عمودي على محور التنااظر الذووي ويسمى بالدوران الجماعي (Collective Rotation) اما النوع الثاني من الذوى التنااظر النووي والتي تظهر في ميكانيكيتها زخوم زاوية عالية ويسمى هذا النوع من الحركة النووية بالدوران غير الجماعي (Non-Collective Rotation).



شكل 1: الحركة الدورانية الجماعية للنواة المتطاولة والحركة الدورانية غير الجماعية للنواة المفلطحة، حيث أن  $\gamma_{90}$  تمثل عزم القصور الذاتي للنوعين على الترتيب [17].

وفي كلا النوعين عندما تكون الحركة الدورانية سريعة فإن قوة كورلوبس تحطم الا زدواج (Pairing) الحاصل بين عدد من أزواج النيوكليونات مسببة بذلك ظهور حزمة شبيهي الجسيمات (Two-Quasi Particles) ومسببة شذوذًا عند دخول زاوية معينة ( $L^{\pi} > 10$ ) في بعض النوى والتي تسبب ظاهرة الانحناء الخلفي (Back Bending) [17]. لقد تم حساب مستويات الطاقة وقيم عزم القصور الذاتي والطاقة الدورانية وفق نموذج عزم القصور الذاتي (VMI) ونموذج تفاعل البوزوونات الأول (IBM-1) على اعتبار ان الحسابات الحالية لنواة ( $A=170$ ) Er قد اعتمدت على ما يلى:

- معادلة مؤثر دالة هاملتون في نموذج IBM-1 (معادلة 1).
  - معادلة الطاقة في نموذج عزم القصور الذاتي المتغير (VMI) (معادلة 4).
  - معادلة مربع الطاقة الدورانية<sup>2</sup> ( $\hbar\omega^2$ ) (معادلة 9) و (10).
  - معادلة عزم القصور الذاتي ( $\hbar^2/29$ ) وفق نموذج (VMI) التي تفترض ان الذواة

جسم صل صد معايير (12) و (13) وحساب معامل الليونة  $\sigma$  معايير (5).  
 وبين الجدول (1) قيم اعلومات مؤثر دالة هامiltonون لنموذج البوزوونات المتفااعلة الاول  
 (IBM-1) لأفضل تطابق (Fitting) مع القيم العملية للنواة قيد الدراسة ( $W_{74}^{182}$ ). وبين هذا  
 الجدول كذلك عدد بوزوونات البروتونات ( $N_\pi$ ) وعدد بوزوونات النيوترونات ( $N_n$ ) والعدد الكلي  
 للبوزوونات ( $N$ ) والاعلومات الخاصة بنموذج عزم القصور الذاتي المتغير (VMI) لأفضل  
 تطابق أيضاً والذي استخدم في الحسابات الحالية وذلك حسب حزم الطاقة الخاصة للنواة قيد  
 الدراسة. كما اتخد من هذا الجدول الاعلومات (Parameters) ( $\theta_0/\hbar^2$ ,  $C$ , وطاقة رأس  
 الحرزمة  $K$  (Band-Head Energy K) ومعامل الليونة  $\sigma$  (Softness) وقييم الانحراف  
 المعياري (Standard Deviation) لكلا النموذجين (VMI) و (IBM-1) وفقاً للمعايير  
 (14) وكذلك قيم مربع كاي (Chi-Square) لكلا النموذجين (VMI) و (IBM-1) وفقاً  
 للمعايير (15) للنواة قيد الدراسة وحسب ترتيب الحزم.

ان معامل الليونة(5) يتاسب عكسياً مع مكعب عزم القصور الذاتي بثبوت الاعلومة C اي انه كلما ازداد عزم القصور الذاتي قل معامل الليونة وان اقل عامل ليونة يعطي أعلى تشوه للنواة. كما ونلاحظ عند زيادة الزخم الزاوي  $L$  يؤدي إلى زيادة في السرعة الدورانية للنواة<sup>2</sup> ( $\hbar\omega$ )، حيث  $\omega = L$ ، وعندما تكون السرعة الدورانية للنواة<sup>2</sup> ( $\hbar\omega$ ) كبيرة سيحصل زيادة في القوة الطاردة المركزية (Centrifugal Force) عندها ستبعد الجسيمات عن مركز النواة ويحصل تشوه شديد في النواة يرافقه كبر في حجمها بشكل اهليجي متطاول او مفلطج. هذا من ناحية ومن ناحية أخرى نلاحظ ان عزم القصور الذاتي  $I$  يزداد أيضاً، هذا يؤدي الى زيادة في الطاقة الدورانية، انظر المعادلة (4). وان هذا دليل على ان النواة تقع في المنطقة الدورانية لزمرة التناظر الديناميكي SU(3).

ولاحظ من نتائج حسابات معامل الليونة لنواة ( $W_{108}^{74}$ )<sup>182</sup> والمبنية في الجدول (1). إن النواة ( $W_{108}^{74}$ ) تكون أشد تشوهاً في حزمة بيتا وتليها حزمة كاما ثم الحزمة الأرضية لتكوننا أقل منها تشوهاً على الترتيب. وهذا يتفق مع تغيير قيم عزم القصور الذاتي في كل حزمة مع الأخذ بنظراعتبار تأثير الأعلومة C.

لقد تم حساب قيم مس屯ويات الطاقة حسب ترتيب الحزم والذى تم الحصول عليهما باستخدام كل من نموذج (VMI) ونموذج (IBM-1) وكذلك حساب مربع الطاقة الدورانية ( $\hbar\omega$ )<sup>2</sup> وعزم القصور الذاتي ( $I/\hbar$ ) لطبقات الانتقادات الكامنة ( $E_\gamma$ ) لذواقة قيد الدراسة<sup>182</sup> ، والمبينة في الجدول (2) ويظهر من مقارنة النتائج التي حصلنا عليها توافقاً جيداً<sup>183</sup>

مع القيم العملية للحرزمه الأرضية وحرزمه بيتا [18,19] وذلك من خلال قيم الانحراف المعياري ومربع كاي المحسوبة في العمل الحالي والتي ورد ذكرها في الجدول (1).  
 يبين الشكل (2) العلاقة بين عزم القصور الذاتي ( $\frac{9}{\hbar^2}$ ) للحرزمه الأرضية (g-band) وحرزمه بيتا ( $\beta$ -band) وحرزمه كاما ( $\gamma$ -band) كدالة لتغيير الزخم الزاوي لنواة ( $^{182}W_{74,108}$ ) وفق كل من نموذج (VMI) ونموذج (IBM-1) المحسوبة في العمل الحالي مقارنة مع قيم عزم القصور الذاتي المحسوبة من قيم الطاقات العملية المتوفرة [20] وبلاحظ من الشكل (2) تطابق قيم عزم القصور الذاتي بشكل جيد لنموذج (VMI) مع القيم العملية للحرزمه الأرضية وحرزمه بيتا، في حين لا يعطي نموذج (IBM-1) تطابق ملحوظ لهاتين الحرزمتين. لذلك يكون نموذج (VMI) أكثر ملائمة لحساب عزم القصور الذاتي من نموذج (IBM-1). اما قيم عزم القصور الذاتي لحرزمه كاما فيوجد توافق ضعيف بين القيم العملية ونموذج (VMI) وذلك لقلة وفرة القيم العملية لعزم القصور الذاتي (حيث توفرت أربع قيم لنواة  $^{182}W_{74,108}$  فقط) وهذا لا يكفي

عملية تطابق حسابات حرزمه كما يأكملاها مما جعل اختلاف واضح بالنتائج.

اما قيم عزم القصور الذاتي باستخدام (IBM-1) للشكل أعلاه ولحرزمه كما أيضا نلاحظ وجود توافق ضعيف بين القيم العملية والقيم المحسوبة في العمل الحالي. إضافة إلى ذلك نلاحظ تعرجاً واضحاً نتيجة تذبذب قيم عزم القصور الذاتي باستخدام (IBM-1) وهذا يعزى للأسباب الآتية:

1. عدم توفر القيم العملية الكافية لحرزمه كما لمستويات الطاقة ولعزم القصور الذاتي.
2. عدم التمييز بين بوزونات البروتونات ( $N_p$ ) وبوزونات النيوترونات ( $N_n$ ) في نموذج (IBM-1) مما جعل اختلاف واضح بين القيم العملية والنظرية لمستويات الطاقة في حرزمه كما وهذا وبالتالي يؤثر على نتائج حسابات عزم القصور الذاتي لنفس النموذج.
3. ان نواة ( $^{182}W_{74,108}$ ) تكون اشد تشوهاً في المستويات العالية وخصوصاً في حرزمه كما مما يجعل النواة تتذبذب بين الشكل الاهليجي المتطاول والمفلطح أي بين التناظر الديناميكي (SU(3) بشكلها المتطاول وبين التناظر الديناميكي (SU(3) بشكلها المفلطح مروراً بالتناظر الديناميكي (O<sub>6</sub>، وهذا مما يجعل عزم القصور الذاتي يتغير بشكل متعرج في هذه الحرزمه.

الشكل (3) يبين حرزمه الطاقة كدالة للازخم الزاوي لنواة ( $^{182}W_{74,108}$ ) حيث تظهر القيم العملية للطاقة مع نتائج الطاقة المحسوبة من نموذج عزم القصور الذاتي المتغير (VMI) تطابقاً جيداً.

ان ظاهرة تقاطع الحرزم تحدث عند زخم زاوي معين ( $L_{cross}$ ) حيث تحل حرزمه الطاقة ذات القيمة العالية محل حرزمه الطاقة ذات القيمة الواطئة واللتان تمتلك نفس البرم للحرزمتين. فعند تقاطع حرزمتين فان جميع النيوكليلونات يكون لها برم يساوي صفرأ تحت تاثير تفاعل الارتباط المزدوج (Pairing Correlation Interaction) وفي هذه الحالة تعتبر النواة فائقة الميوحة وطاقتها الذاتية تكون اقل من طاقة الارتباط المزدوج ويكون للنواة عزم قصور ذاتي قليل. كما ان قوة كوريولوس (Coriolis Force) عند زيادة السرعة الزاوية (زيادة الطاقة الدورانية ( $\hbar^2\omega^2$ )) تعمل على فك الازدواج بين زوج او اكثر من ازواج النيوكليلونات في بعض النوى مكونة حرزمه طاقة متهدجة نتيجة انفصال نيوكليلونين او اكثر في النواة (تسمى هذه الحرزمه بحرزمه شبيهي الجسيمات) فيكون زخمها الزاوي باتجاه محور الدوران وباقل طاقة دورانية واعظم زخم زاوي ليكونان مستوى دوران ذاتي يكون اساساً للحرزم الدورانية ان عدم استقرار هذين المستويين يؤدي الى تقاطع الحرزم المتهدجة للجسيمين مع الحرزم الأرضية او حرزمه بيتا او حرزمه كاما [17].

أوضح نتائج نموذج عزم القصور الذاتي المتغير (VMI) الموضحة في الشكل (3)  
ان نواة ( $^{182}_{74}W_{108}$ ) لا يوجد فيها تقاطع بين الحزم لانها تتبع زمرة التناظر الديناميكي  
.SU(3)

يبين الشكل (4) علاقة تغيير عزم القصور الذاتي كدالة لمربع الطاقة الدورانية، التي  
تم عرض نتائجها في الجدول (2)، حيث نلاحظ عدم وجود انحناءات في الحزمة الأرضية  
وحزمة بيتا وحزمة كاما لكون التناظر الديناميكي من نوع (3).  
اما التعرجات الواضحة في حزمة كاما لنواة ( $^{182}_{74}W_{108}$ ) فتعزى الى نفس الاسباب التي  
تم مناقشتها.

أثبتت نتائج هذا البحث بأنه لا يوجد أي تأثير لعزم القصور الذاتي على التركيب النووي  
لنواة (A=182) شديدة التشوه ذات التناظر الديناميكي (3) ، وذلك بسبب عدم ظهور  
ظاهرة الانحناء الخلفي في حزم الطاقة لهذه النواة و احتوائها على قيم عالية لعزم القصور  
الذاتي و ما يقابلها من قيم واطنة جداً لمعامل الليونة (5) و هذا ما يؤكد بأن هذه النواة شديدة  
التشوه وقد نجح نموذج (VMI) في حسابات عزم القصور لنواة (A=182) W ولكافحة الحزم  
مقارنتاً مع القيم العملية، في حين لم يوفق نموذج (IBM-1) في ذلك.

جدول 1:- قيم اعلمات مؤثر دالة هاملتون لنموذج البوزوونات المتفاعل الاول وقيم اعلمات نموذج عزم القصور الذاتي المتغير (VMI) لنواة ( $A=182$ ). $W(A=182)$

Nuclei	Dynamical symmetry	$N\pi$	$N\nu$	N	Parameters	$\varepsilon$ (MeV)	$\hat{P}^\dagger \hat{P}$ (MeV)	$\hat{L}^\dagger \hat{L}$ (MeV)	$\hat{Q}^\dagger \hat{Q}$ (MeV)	$\hat{U}^\dagger \hat{U}$ (MeV)	$\hat{V}^\dagger \hat{V}$ (MeV)	CHI	
$^{182}_{74}W_{108}$	SU(3)	4	9	13	IBM-1		0.0000	0.0000	0.0166	-0.0172	0.0000	0.1000	-1.322875
					VM1 Model	Parameters							
						$g_o / \hbar^2$ (MeV) <sup>-1</sup>	C (MeV) <sup>3</sup>	K (MeV)	$\sigma$	Standard Deviation		$\chi^2$	
						29.8003	0.0100	0.0000	0.0018	0.0082	0.0615	0.00002	0.0196
						23.8003	0.0033	1.1357	0.0114	0.0064	0.0279	0.00018	0.0005
						28.9500	0.0049	1.1250	0.0042	0.0200	0.0421	0.00010	0.0006

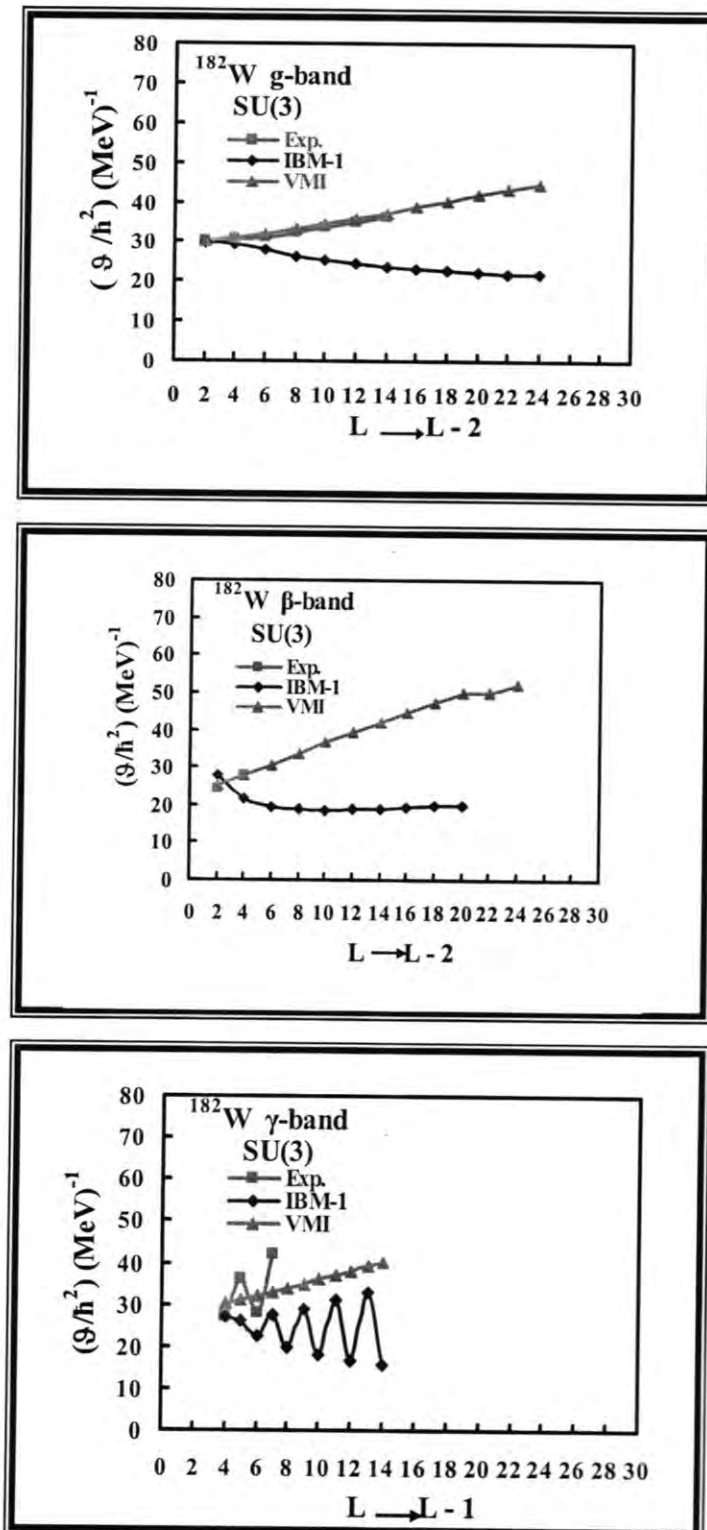
**جدول 2:** قيم مستويات المعاقة وطاقات الانتقال (النظرية والعملية) وقيم عدم التصور الذاتي ومرتب العلاقة الدورانية لنواة (A=182) W الزوجي-نوعية باستخدام نموذج عزم القصور الذاتي المتغير (VMI) ونموذج (IBM-1) وكالة الحرز.

## جدول .(2/3) :2-

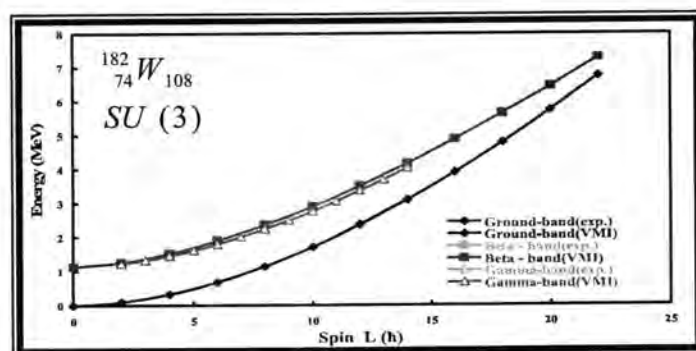
Nucleus	$\frac{13}{4}V_{13}$	Burst	Symmetries			Dynamical symmetries												VMI (pm)					
			5z	5x	5y	IBA-L1 (pm)			Experiment			IBA-L1 (pm)			IBA-L1 (pm)			VMI (pm)					
Expt.	Ref.	Ref.	IBA-L1 (pm)	IBA-L1 (pm)	IBA-L1 (pm)	Energies (MeV)	Energy (MeV)	Energy (MeV)	$L_i^+ - L_f^+$	$E_i$ (MeV)	$E_f$ (MeV)	$2\beta/\hbar^2$											
1 <sup>-</sup>	Energy (MeV) [131]	Energy (MeV) [131]	$\frac{3}{\hbar^2}$	$\frac{3}{\hbar^2}$	$\frac{3}{\hbar^2}$	$\frac{E_i}{(MeV)}$ [131]	$\frac{E_f}{(MeV)}$ [131]	$\frac{E_f}{(MeV)}$ [131]	$L_i^+ - L_f^+$	$E_i$ (MeV)	$E_f$ (MeV)	$2\beta/\hbar^2$											
0 <sub>1</sub> <sup>+</sup>	1.1357	-	1.1346	20.8963	1.1357	25.8203	2 <sub>1</sub> <sup>+</sup> - 0 <sub>1</sub> <sup>+</sup>	0.1221	0.0024	4.91401	0.072	0.00191	55.9702	0.1222	0.0023	49.3889	-	-	-	-	-	-	
2 <sub>1</sub> <sup>-</sup>	1.2358	24.5003	1.2448	27.9851	1.2559	23.2663	4 <sub>1</sub> <sup>-</sup> - 2 <sub>1</sub> <sup>-</sup>	0.2514	0.0155	55.4575	0.3250	0.0258	43.6759	0.2534	0.0169	53.1343	-	-	-	-	-	-	
4 <sub>1</sub> <sup>-</sup>	15.02	27.7358	1.5668	21.5385	1.5214	27.80125	6 <sub>1</sub> <sup>-</sup> - 4 <sub>1</sub> <sup>-</sup>	-	-	-	-	0.5647	0.079	38.9539	0.3756	0.0349	38.5591	-	-	-	-	-	-
6 <sub>1</sub> <sup>+</sup>	-	-	2.1315 <sup>+</sup>	19.4769	1.8970	30.6831	8 <sub>1</sub> <sup>+</sup> - 5 <sub>1</sub> <sup>+</sup>	-	-	-	-	0.7946	0.1571	37.7348	0.4660	0.0340	64.3655	-	-	-	-	-	-
8 <sub>1</sub> <sup>+</sup>	-	-	2.9561	18.8774	2.3651	33.6202	10 <sub>1</sub> <sup>+</sup> - 8 <sub>1</sub> <sup>+</sup>	-	-	-	-	1.0149	0.2568	37.4525	0.5414	0.0730	70.1822	-	-	-	-	-	-
10 <sub>1</sub> <sup>+</sup>	-	-	3.9411	18.7197	2.9046	36.5119	12 <sub>1</sub> <sup>+</sup> - 10 <sub>1</sub> <sup>+</sup>	-	-	-	-	1.2278	0.3762	37.4672	0.6561	0.0916	75.3839	-	-	-	-	-	-
12 <sub>1</sub> <sup>+</sup>	-	-	5.1690 <sup>+</sup>	18.7135	3.5108	39.3332	14 <sub>1</sub> <sup>+</sup> - 12 <sub>1</sub> <sup>+</sup>	-	-	-	-	1.4334	0.5129	37.6724	0.6531	0.1097	81.4341	-	-	-	-	-	-
14 <sub>1</sub> <sup>+</sup>	-	-	6.6024	18.8362	4.1739	42.0724	16 <sub>1</sub> <sup>+</sup> - 14 <sub>1</sub> <sup>+</sup>	-	-	-	-	1.6275	0.6615	33.0934	0.7140	0.1273	86.3269	-	-	-	-	-	-
16 <sub>1</sub> <sup>+</sup>	-	-	8.2300	19.0467	4.8880	44.7327	18 <sub>1</sub> <sup>+</sup> - 16 <sub>1</sub> <sup>+</sup>	-	-	-	-	1.8052	0.8140	38.7772	0.7503	0.1445	42.0683	-	-	-	-	-	-
18 <sub>1</sub> <sup>+</sup>	-	-	10.0352	19.3585	5.6483	47.3189	20 <sub>1</sub> <sup>+</sup> - 18 <sub>1</sub> <sup>+</sup>	-	-	-	-	1.9765	0.9760	39.6227	0.8277	0.1609	97.1673	-	-	-	-	-	-
20 <sub>1</sub> <sup>-</sup>	-	-	12.0117	19.7513	6.4310	49.8366	22 <sub>1</sub> <sup>-</sup> - 20 <sub>1</sub> <sup>-</sup>	-	-	-	-	2.1547	1.1655	39.3137	0.8420	0.1771	98.1362	-	-	-	-	-	-
22 <sub>1</sub> <sup>-</sup>	-	-	14.0171	19.9093	7.2930	52.2902	24 <sub>1</sub> <sup>-</sup> - 22 <sub>1</sub> <sup>-</sup>	-	-	-	-	-	-	-	-	-	-	-	-	-	-		
24 <sub>1</sub> <sup>-</sup>	-	-	-	-	8.1761	34.86559	-	-	-	-	-	-	-	-	-	-	-	-	-	-	-		

.(3/3)-2: جدول

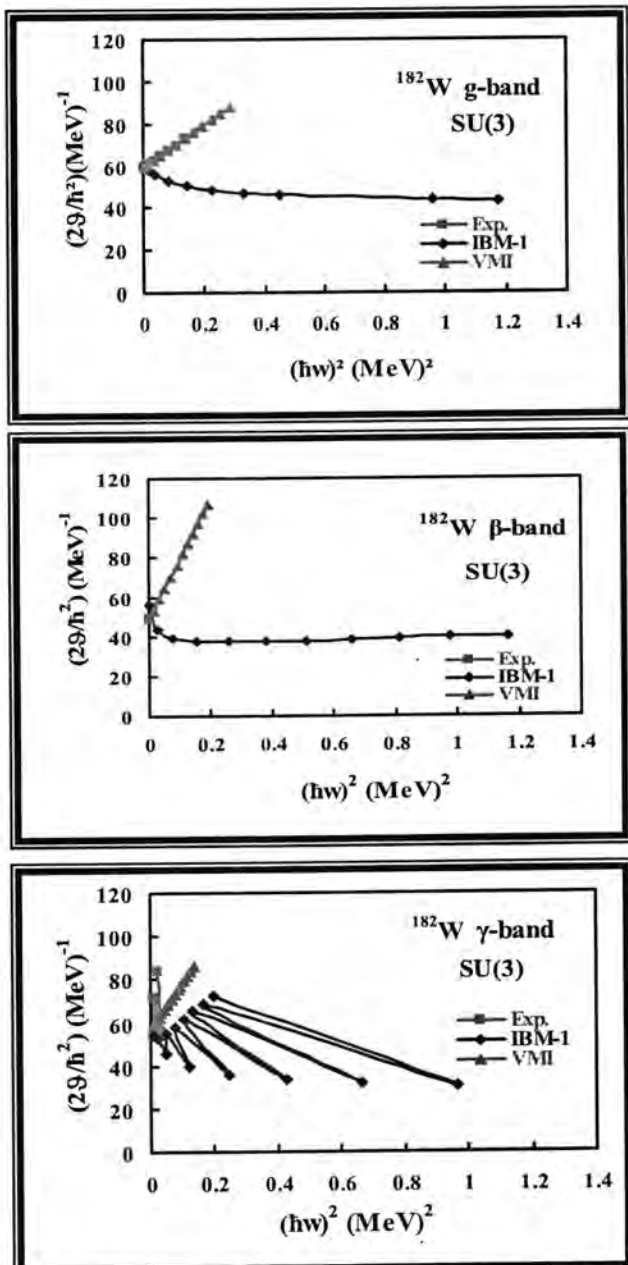
Number $\frac{1}{4} \cdot \frac{1}{4} \cdot \frac{1}{3}$	B.M.	$\Sigma_{\text{Experimental}}$	Dynamical Symmetry													
			$\gamma$	$\alpha$	$\beta$	$\gamma$	$\delta$	$\Sigma_{\text{Experimental}}$	$\text{IRB-L (pp)}$	$\Sigma_{\text{IRB}}$	$\Sigma_{\text{IRB}}^2$	$\Sigma_{\text{IRB}}^2$	$\Sigma_{\text{IRB}}^2$			
1 <sup>-</sup>	$\frac{1}{2} \cdot \frac{1}{2} \cdot \frac{1}{2}$	$\frac{g/\hbar^2}{\text{Energy}}$ [ $\frac{\text{GeV}}{\text{GeV}}$ ] [ $\frac{\text{MeV}}{\text{MeV}}$ ]	$L_i^+ - L_j^+$ [ $\frac{\text{GeV}}{\text{GeV}}$ ] [ $\frac{\text{MeV}}{\text{MeV}}$ ]	$\frac{g/\hbar^2}{\text{Energy}}$ [ $\frac{\text{GeV}}{\text{GeV}}$ ] [ $\frac{\text{MeV}}{\text{MeV}}$ ]	$\Sigma_{\text{IRB}}$	$\text{IRB-L (pp)}$	$\Sigma_{\text{IRB}}$	$\Sigma_{\text{IRB}}^2$	$\Sigma_{\text{IRB}}^2$	$\Sigma_{\text{IRB}}^2$						
2 <sup>+</sup>	1.2215	-	1.2114	32.6379	1.2238	32.6465	3 <sup>+</sup> - 2 <sup>+</sup>	0.1105	0.0118	54.2082	0.1102	0.0118	54.4267	0.1001	0.0097	59.9179
3 <sup>+</sup>	1.3320	27.1493	1.3216	27.2134	1.3239	32.2851	4 <sup>+</sup> - 3 <sup>+</sup>	0.1109	0.0121	72.1371	0.1525	0.228	52.4590	0.1303	0.0167	61.388
4 <sup>+</sup>	1.4429	35.0685	1.4741	26.2295	1.4543	31.0643	5 <sup>+</sup> - 4 <sup>+</sup>	0.1175	0.03118	56.3383	0.2139	0.0474	45.6819	0.1586	0.0249	63.0245
5 <sup>+</sup>	1.6293	28.1848	1.6930	22.8415	1.6130	31.9497	6 <sup>+</sup> - 5 <sup>+</sup>	0.1425	0.0202	84.2099	0.21892	0.0475	54.8145	0.1849	0.0339	64.8883
6 <sup>+</sup>	1.7629	42.0757	1.8101	27.4073	1.7980	32.9075	7 <sup>+</sup> - 6 <sup>+</sup>	-	-	3.5511	0.1226	39.8713	0.2094	0.0436	65.8169	
7 <sup>+</sup>	-	-	2.2631	19.9087	2.0074	33.9173	8 <sup>+</sup> - 7 <sup>+</sup>	-	-	0.2746	0.0751	38.2559	0.2322	0.0537	68.8902	
8 <sup>+</sup>	-	-	2.2531	29.1249	2.2349	34.9604	9 <sup>+</sup> - 8 <sup>+</sup>	-	-	0.4931	0.2474	36.1193	0.2232	0.0640	10.9886	
9 <sup>+</sup>	-	-	3.0358	18.0687	2.4932	35.0259	10 <sup>+</sup> - 9 <sup>+</sup>	-	-	0.3239	0.1040	61.9233	0.2734	0.0745	73.1406	
10 <sup>+</sup>	-	-	3.3588	30.9617	2.7667	37.1014	11 <sup>+</sup> - 10 <sup>+</sup>	-	-	0.6544	0.4774	13.6165	0.7021	0.0851	75.3008	
11 <sup>+</sup>	-	-	4.0133	16.8083	3.0583	33.1865	12 <sup>+</sup> - 11 <sup>+</sup>	-	-	0.3651	0.1337	65.5559	0.3698	0.0958	77.4684	
12 <sup>+</sup>	-	-	4.3794	32.7779	3.3686	39.77151	13 <sup>+</sup> - 12 <sup>+</sup>	-	-	0.8170	0.6665	31.8237	0.3364	0.1064	79.6553	
13 <sup>+</sup>	-	-	5.1964	15.9119	3.69516	42.3553	14 <sup>+</sup> - 13 <sup>+</sup>	-	-	0.4055	0.1612	69.0488	0.3423	0.1170	81.7959	
14 <sup>+</sup>	-	-	5.6019	34.5244	4.0374	41.4327	-	-	-	0.9838	0.9669	36.4921	0.35737	0.1275	83.9418	



شكل-2: عزم القصور الذاتي كدالة لتغير الزخم الزاوي للحزام ( $g, \beta, \gamma$ ) لنواة  $^{182}\text{W}$  ( $A=182$ )



شكل - 3 : تقاطع الطاقة كدالة للزخم الزاوي لنواة  $W(A=182)$  باستخدام نموذج (VMI).



شكل - 4 : عزم القصور الذاتي كدالة لمربع الطاقة الدورانية لنواة  $W(A=182)$  ولكلفة الحزم.

### المصادر

- 1- Arima A. and Iachello F., " The Interacting Boson Model", The Syndicate Press of the University of Cambridge,England,PP.3-127(1987).
- 2- Bonatsos D. " Interacting Boson Model of Nuclear Structure" Oxford University Press, New York, PP.1-271 (1988).
- 3- Casten R.F and Warner D.D., "The Interacting Boson Approximation", Rev.Mod. Phys.,Vol.60,P. 389 (1988).
- 4- Mariscotti M.A.J., Seharff-Goldhaber G. and Branin B., "Study of Variable Moment of Intertia Model (VMI) for Rotation Nuclei",Phys. Rev., Vol.178,P. 1864 (1969).
- 5- Nyako B.M.,Cresswell J.R.,Forsyth P.D.,Howe D.,Nolan P.N.,Riley M.A. and Twin P.J., "Observation of Super Deformation in  $^{152}\text{Dy}$ ",Phys.Rev.Lett., Vol.52,P. 507(1984).
- 6- Ward D., Graham R.L.,Geijer J.S. and Androws H.R., "Experimental Evidence of Band Crossing Spins for Even-Even Nuclei",Phys.Lett. B,Vol.44, P.39(1973).
- 7- Bohr A., and Mottelson B.R, "Symmetry and Shape of Nuclear Equilibrium Deformation", Mat. Fys. Medd. Dan. Vid. Selsk, Vol.27, P.16(1953).
- 8- Turkcan N. and Maras I., "Microscopic Interacting Boson Model Calculation for Even- Even  $^{128-138}\text{Ce}$  Nuclei ",Pramana Journal of Physics, Vol. 68,P.769 (2007).
- 9- Sönmezoglu S.,Okuducu S. and Eser E., "Investigation of Symmetry Properties in Deformed Light Even-Even Nuclei", International Journal and Engineering Sciences. Vol.2, P.1 (2008).
- 10- Talmi I . , "Simple Models of Complex Nuclei ,The Shell Model and Interacting Boson Model ",Harwood Academic Publishers, PP.187-198(1993).
- 11- Nojarov R. and Nodjakov E., "Band Coupling and Crossing in Nuclei", Nucl. Phys.A, Vol.397,P.29(1983).
- 12- Lian A.W. and Toki H., "Evidence on  $\Delta I=4$  Bifurcation in Ground Bands of Even- Even and the Theoretical Explanation with the Interacting Boson Model",Phys.Rev.C, Vol.56, P.1821(1997).
- 13- Banatsos D.,Daskaloyannis C.,Drenska S.B. and Karoussos N., " $\Delta I=2$  Staggering in Rotational Bands of Diatomic Molecules as a Manifestation of Interband Interactions", Phys. Rev. A, Vol.60, P.253 (1999).
- 14- Mariscotti M.A.J., "Description of Variable Moment of Inertia Model for Heavy Even-Even Nuclei", Phys.Rev., Vol.172, P.1742 (1970).

- 15- .Xu F.X.,Wu C.S., and Zeng J.Y., "Relations for the Coefficients in the L(L+1) Expansion for Rotational Spectra", Phys.Rev.C, Vol.40, P.2337(1989).
- 16- Stephons J., "Schoum'16. Murray R., Spiegel T.and Stephons J. Outlines Statistics", Mc Graw-Hill, PP.100-105(1999).
- 17- Arima A. and Iachello F., "In advance in Nuclear Physics ", Plenum, New York, PP.139-145(1984).
- 18- Sakai M., "Quasi-Band in Even- Even Nuclei " ,Atomic Data and Nuclear Data Tables,Vol.31, P399 (1984).
- 19- Lederer C. M. and Shirley V. S., "Table of Isotopes 7<sup>th</sup> Edition", John Wiley and Sons, New York, PP.1078-1148 (1978).
- 20- Venkova T. and Andrejtscheff W., "Transition Strengths B(E2) in the Yrast Band of Doubly Even Nuclei ", Atomic Data and Nuclear Data Tables,Vol.26, P.93 (1981).

## دراسة تأثير المجال المغناطيسي الخارجي على الشروط الحدوية للبلازما الغبارية المتحركة في غلاف بلازمي

أحمد خضير عباس الزبيدي  
قسم الفيزياء كلية العلوم جامعة واسط

تاریخ تقديم البحث 2008/12/2 - تاریخ قبول البحث 2010/5/10

### ABSTRACT

This paper is a theoretical study to the effect of the external magnetic field on the mobility of dusty plasma in a plasma sheath using a single particle model. The result shows that the radius, initial position, initial velocity of the dust particles and the magnetic field effect their movement and equilibrium position in the plasma sheath. Generally, the dust particles with the same size, with any original velocity and position, will locate at the same position at the end under the net actions of electrostatic, gravitational, neutral collisional, and Lorentz forces. But the dust particles will not locate in the plasma sheath if their radius is beyond a certain value.

### الخلاصة

يمثل هذا البحث دراسة نظرية لتأثير وجود مجال مغناطيسي خارجي على حركة غبار البلازما في غمد بلازمي وذلك باستخدام تموج الجسم المنفرد. وفي البحث تم دراسة ومناقشة النتائج المستحصلة من نصف القطر، الموقع الابتدائي، السرعة الابتدائية لجسيمات الغبار، وكذلك تأثير وجود المجال المغناطيسي على حركة هذه الجسيمات وموقع اتزانها في غمد البلازما. وبصورة عامة، فإن جسيمات الغبار التي تكون بنفس الحجم، مهما كانت سرعتها أو مواقعها الابتدائية، سوف تتحتل نفس الموقع في النهاية تحت تأثيرات القوى الالكتروستاتيكية، التصادمية، التثاقلية، وقوى لورنتز. ولكن جسيمات الغبار هذه سوف لا تحتل اي موقع في الغمد البلازمي اذا لم تكون انصاف اقطارها فوق قيمة معينة.

### المقدمة

في السنوات الماضية تم الاهتمام بشكل كبير بمسألة دراسة غبار البلازما. وفي الوقت الحاضر فإن فيزياء غبار البلازما (Dust Plasma Physics) تحتل مرتبة بالغة الأهمية. فلما كان لحببيات الغبار البلازمي شحنات وكل معنده بها وتؤخذ بنظر الاعتبار مقارنة مع الجسيمات المشحونة الأخرى، لذلك فإن تأثير القوى الالكتروستاتيكية، التثاقلية، القصادمية، وقوى لورنتز يجب ان تؤخذ بنظر الاعتبار عند دراسة هذه الجسيمات. ان عدة بحوث ودراسات قد تناولت خصائص الغلاف البلازمي [1-5]، ولكن قليل منها قد اخذ بنظر الاعتبار تأثير المجال المغناطيسي. في هذا البحث قمنا بدراسة الغبار البلازمي في غلاف البلازما بوجود مجال مغناطيسي. فعند حركة جسيمات الغبار البطيئة جداً مقارنة مع الايونات والالكترونات، فإن الايونات والالكترونات سوف تتمغفط بافراط. ولذلك، فإن معدل تأثير التمغفط للايونات والالكترونات على حركة الايونات والالكترونات يساوي صفرًا. ولذلك، ففي هذه الدراسة فإن الغلاف البلازمي سيعامل وكأنه غير مغفط.

### النموذج الاساسي

سوف نتبع ماقام به الباحثون [6-17] باعتبار حالة غلاف بلازمي ممكن تمثيله بدالة البعد الواحد في فضاء الاحداثيات (Coordinate Space) وثلاثة ابعاد في فضاء السرعة (Velocity Space).

ان المجال المغناطيسي الخارجي هو في المستوى  $(x, z)$ ، وان  $(\theta)$  هي الزاوية بين المجال المغناطيسي واتجاه محور  $(x)$ . وعند حافة الغلاف البلازمي، اي عند  $x=0$ ، فان الجهد الالكترونيستاتيكي سيؤخذ مساوياً للصفر  $\Phi=0$ . وسيتم الافتراض على ان الالكترونات تكون في حالة توازن حراري، وكثافتها  $n_e$  تعطى بالعلاقة [9]

$$(1) n_e = n_0 \exp(-e\phi/K_B T_e)$$

حيث ان  $e$  هي شحنة الالكترون،  $T_e$  هي درجة حرارة الالكترونات وتقاس بوحدات ال(eV)،  $n_0$  هو كثافة الالكترونات الابتدائية و  $K_B$  هو ثابت بولتزمان. اما الايونات فتعامل كمانع بارد محكم بمعدلات الاستمرارية والزخم [13]

$$\nabla.(n_i v_i) = 0 \quad (2)$$

$$m_i v_i \cdot \nabla v_i = -e \nabla \phi \quad (3)$$

حيث ان  $m_i$ ,  $n_i$ ,  $v_i$  تمثل الكثافة، السرعة وكتلة الايونات على الترتيب. ولحببات الغبار البلازمي مايكروية الحجم، عندما تكون كثافة الغبار قليلة جداً، مثلاً  $n_d = 10^3 \text{ cm}^{-3}$ ، فان المسافة ما بين حبيبات الغبار ستكون حوالي  $1000 \mu\text{m}$ ، بينما عندما تكون كثافة البلازما مساوية للمقدار  $n_d = 10^{10} \text{ cm}^{-3}$ ، فان طول ديباي (Debye Length) سوف يكون حوالي عدة عشرات من المايكرون، ولذلك فان التفاعل بين جسيمات الغبار يمكن اهماله [12]. وفي مثل هذه الحالة فان الغبار يمكن معاملته بواسطة نموذج الجسيم المنفرد [18]. ان الغبار يوصف بدالة معادلة الزخم كما يلي [11]

$$(4) m_d \frac{dv_d}{dt} = -q_d \nabla \phi + f_g \hat{x} + f_n + q_d v_d \times B$$

حيث ان  $m_d = \frac{4}{3} \pi r_d^3 \rho_d$  هي كتلة الغبار، وان  $r_d$  هو نصف القطر بوحدات ال cm، وان  $\rho_d$  هو كثافة المادة للغبار،  $B$  شدة المجال المغناطيسي وان  $q_d$  و  $v_d$  هما سرعة وشحنة الغبار على الترتيب. ان القوى المؤثرة على الغبار تتضمن قوى الكتروستاتيكية، قوى لورنتز (موضحة بالمعادلة 4)، تثاقلية  $f_g$  وقوى تصادمات حيادية  $f_n$ . ان القوى التثاقلية وقوى التصادمات الحيادية معطاة بالمعادلات التالية [3]

$$(5) f_g = m_d g = \frac{4}{3} \pi r_d^3 \rho_d g$$

$$(6) f_n = -6\pi \eta_{eff} r_d v_d$$

حيث ان  $\eta_{eff} = 0.68 P/\bar{v}_n$ ، حيث ان  $P$  هو ضغط الغاز وان  $\bar{v}_n = (8T_n / \pi m_n)^{1/2}$  هو متوسط سرعة الجسيمات المتعادلة، وان  $T_n$  و  $m_n$  هما درجة الحرارة وكتلة الجسيمات المتعادلة على الترتيب.

ان شحنة الغبار تحقق شروط التوازن لتيارات الشحن الناشئة من الالكترونات والايونات والتي تضرب سطح حبيبات الغبار [8]

$$(7) \frac{dq_d}{dt} = I_i + I_e$$

ان تيارات الشحنة الالكترونية ( $I_e$ ) والايونية ( $I_i$ ) تعطى بالعلاقات التالية [15]

$$I_e = -\pi r_d^2 e \left( \frac{8T_e}{\pi m_e} \right)^{1/2} n_e K_e(q_d) \quad \dots \dots \dots (8)$$

حيث ان  $m_e$  هي كتلة الالكترون، وان  $(Ke(q_d) = \exp(eq_d/r_d T_e)$  عندما تكون  $q_d < 0$  وان  $Ke(q_d) = 1 + \exp(eq_d/r_d T_e)$  عندما تكون  $q_d > 0$ .  
ومن معادلة يوازنون (Poison Equation) يصبح لدينا [10]

سوف نأخذ بنظر الاعتبار التغير الحاصل في المعلمات الفيزيائية على طول اتجاه محور (x) فقط، وسنقوم بتعريف سرعة الصوت للغبار بالعلاقة

$$c_{ds} = \left( T_e / m_d \right)^{1/2} = 0.618 T_e^{1/2} r_d^{-3/2} \rho_d^{-1/2}$$

، وسرعة الصوت للايونات بالعلاقة

$$c_{is} = \left( T_e / m_i \right)^{1/2}$$

، والتردد السايكليكتروني للغبار بالعلاقة

$$\omega_{dc} = \frac{q_d B}{m_d}$$

، والفترقة الزمنية الدورية

$$\tau = \left( T_e / 4\pi n_o e^2 \right)^{1/2} = \lambda_D$$

للغبار بالعلاقة

$$\phi_d = \frac{q_d}{r}$$

هو الجهد السطحي لغبار البلازما.

ويوضع  $\hat{B} = \hat{x} \cos \theta + \hat{z} \sin \theta$ ، فانه من المعادلات اعلاه، سيكون لدينا [16]

$$N_e = \exp(-\Phi) \quad \dots \dots \dots \quad (11)$$

$$N_i = \left(1 + 2\Phi/M_i^2\right)^{-1/2} \quad \dots \quad (12)$$

$$V_i = \left( M_i^2 + 2\Phi \right)^{1/2} \quad \dots \dots \dots \quad (13)$$

حيث ان  $M_i = v_{ix0} / c_{is}$  ،  $N_i = n_i / n_o$  ،  $\Phi = -e\phi / T_e$  ،  $N_e = n_e / n_o$  هو عدد ماك (Mach Number) ويعرف على انه النسبة بين سرعة المائع الى سرعة الصوت [6].  
ان المعادلات غير الاتجاهية للغبار البلازمي هي [7]

$$\frac{du_{dx}}{d\tau} = -Z_d \frac{\partial \Phi}{\partial \xi} + F_g + F_{nx} - Z_d \Omega_c u_{dy} \sin \theta \quad \dots \dots \dots (14)$$

$$\frac{du_{dy}}{d\tau} = F_{ny} + Z_d \Omega_C (u_{dx} \sin \theta - u_{dz} \cos \theta) \quad \dots \dots \dots (15)$$

$$\frac{du_{dz}}{d\tau} = F_{nz} + Z_d \Omega_c u_{dy} \cos \theta \quad \dots \dots \dots (16)$$

$$F_g = m_{dg} / f_o = 1.9043 \times 10^6 r_d^{-3} \rho_d T_e^{-0.5} n_o^{-0.5} \quad \dots \dots \dots (17)$$

$$\frac{d\Phi_d}{d\tau} = -\beta \phi_r \left[ M_i \alpha \left( 1 - \frac{2\Phi_d}{V_e^2} \right) - N_e K_e(\Phi_d) \right] \quad \dots \dots \dots (19)$$

$$\frac{\partial^2 \Phi}{\partial \xi^2} = -N_e + N_i - Z_d \Delta(\xi)/n_o \quad \dots \dots \dots \quad (20)$$

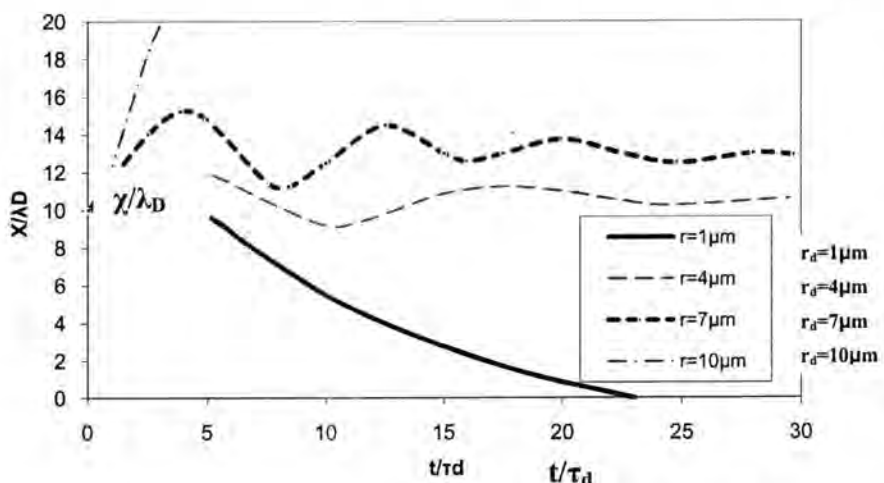
حيث انه في المعادلات من (14-18) فان  $\tau_o = \lambda_D / c_{ds}$  ،  $\tau = t/\tau_o$  ،  $u_d = v_d / c_{ds}$  ،  $Z_d = -q_d/e$  ،  $\Omega_c = \omega_c \tau_o$  حيث ان  $\omega_c$  هو التردد السايكلوتروني ، وان  $f_o = T_e / \lambda_D = 2.16 \times 10^{-15} (T_e n_o)^{-0.5}$  ،  $u_i = v_i / c_{is}$  كما ان  $\gamma = 6\pi\eta_{eff} r_d \lambda_D / (T_e m_d)^{0.5} = 4.9 \times 10^7 (r/n_o \rho_d)^{0.5} (P/\bar{v}_n)$  بوحدات .m Torr هنا

وللمعادلة (19) فإن  $M_i \cdot \phi_r = e\left(\frac{-e}{r}\right)/T_e = -(695rT_e)^{-1}$  ،  $\Phi_d = e\phi_d/T_e = Z_d\phi_r$  هو عدد ماك ، وان  $\alpha = (\pi m_e / 8m_i)^{1/2}$  تأخذ القيمة 0.0146 في حالة بلازما الهيدروجين وتساوي 0.0023 في حالة بلازما الاركون، وان  $K(\Phi_d) = \exp(\Phi_d)$  عندما تكون  $\Phi_d < 0$  ، وان  $K_e(\Phi_d) = 1 + \Phi_d$  عندما تكون  $\Phi_d > 0$  ، وان  $\Omega_c = \omega_c \tau_o [14]$  ، وان  $\beta = \pi r^2 n_o \lambda_D (8T_e / \pi m_e)^{0.5} / c_{ds} = 2.53 \times 10^3 r d^{7/2} (T_e n_o \rho_d)^{1/2}$

النتائج و المناقشة

في هذا البحث قمنا باستخدام التحليل العددي للمعادلات (11-20) بالاعتماد على بعض المعلومات الفيزيائية المستحصلة من تجارب عملية عالمية [19-21]. مثلاً سوف نختار القيم التالية، والتي تستخدم عادة في التحليلات النظرية،  $T_n = 0.025$  eV ،  $P = 100$  mTorr ،  $T_e = 3$  eV ،  $\rho_d = 1.05 \text{ g/cm}^3$  ،  $n_o = 4 \times 10^{18} \text{ cm}^{-3}$  ،  $B = 5$  T ،  $n_i = 5 \times 10^{11} \text{ cm}^{-3}$ . ان نتائج الحسابات النظرية تتمثل بالاشكال 1 الى 6.

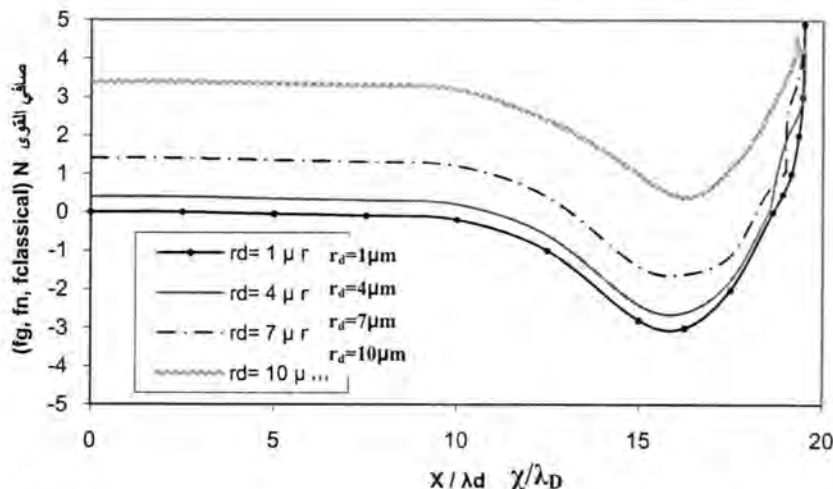
فالفشل رقم (1)، واعتماداً على المعادلات 11، 12، 13، 14، 19 او 20، يوضح خصائص جسيمات الغبار في الغلاف البلازمي لمختلف انصاف الاقطار بدون تأثير مجال مغناطيسي خارجي .



شكل -1: يوضح حركة جسيمات الغبار لمدى انصاف اقطار ( من  $1 \mu\text{m}$  الى  $10 \mu\text{m}$  ) بدون وجود مجال مغناطيسي

حيث يمكننا ملاحظة ان جسيمات الغبار ذات انصاف الاقطارات الصغيرة تدخل الى البلازما طالما تكون القوة التثاقلية لها اصغر من القوة الالكتروستاتيكية. بينما جسيمات الغبار بانصاف الاقطارات الاكبر تتحرك الى الجدران، لأن القوى التثاقلية لها اكبر من القوى الالكتروستاتيكية في تلك الاماكن. و اذا كانت جسيمة الغبار بنصف قطر مناسب فانها تكون في حالة توازن موقعي. وبعد عدة دورات من التذبذب في موقعها، فان جسيمة غبار البلازما تحتل موقعها المتوازن في نهاية المطاف. ومن الواضح من الشكل فان جسيمات الغبار لمختلف انصاف الاقطارات يكون لها موقع توازن مختلف.

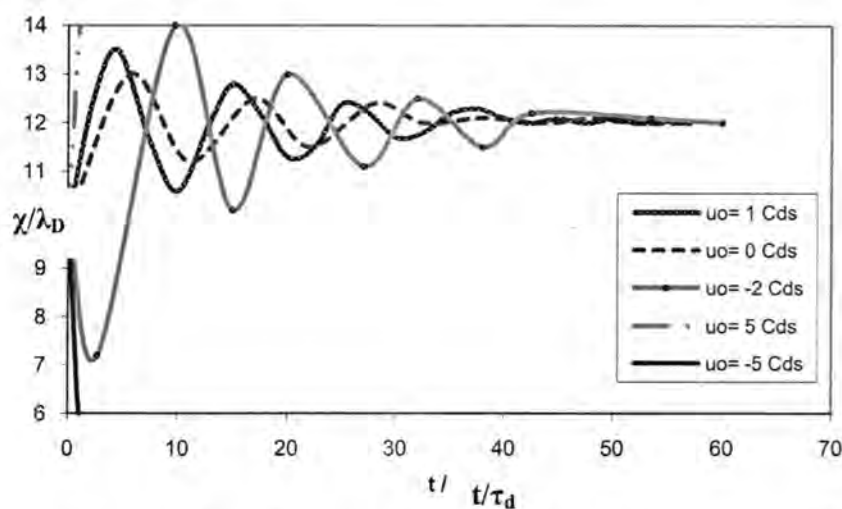
اما الشكل رقم (2)، واعتمادا على المعادلات 14، 15، 16، 17 و 18، فيوضح صافي القوى المؤثرة على جسيمات الغبار في الشكل (1).



شكل-2: يوضح صافي القوى (باستثناء قوة لورنتز) المؤثرة على جسيمات الغبار لمدى انصاف اقطار (من  $1 \mu\text{m}$  الى  $10 \mu\text{m}$ )

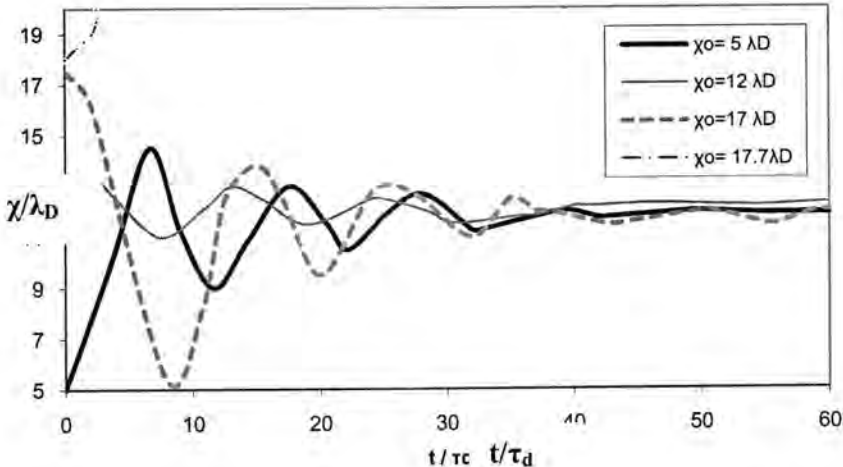
ومن الواضح في الشكل بان جسيمات الغبار بانصاف اقطارات صغيرة كانت او كبيرة ليس لها موقع اتزان، وفقط تلك التي لها نصف قطر مناسب يكون لها موقع اتزان ثابتة.

الشكل رقم (3)، واعتمادا على المعادلات 14، 15 و 16، يوضح حركة جسيمات الغبار التي لها سرعات ابتدائية مختلفة.



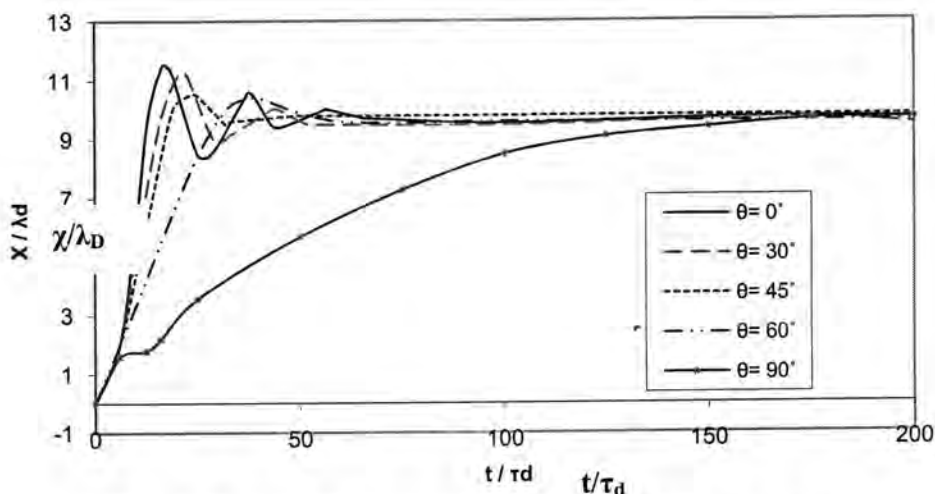
شكل-3: يوضح حركة جسيمات الغبار لمدى سرعات ابتدائية (من 0 الى 5 Cds)

ان جسيمات الغبار لمختلف السرعات يكون لها سعات تذبذب مختلفة في مواقعها، ولكن جسيمات الغبار التي يكون لها نفس الحجم سوف تحتل نفس الموقع. وبالطبع اذا كانت السرعات الابتدائية تفوق قيمة معينة، فان الجسيمات سوف تغادر موقع اتزانها. الشكل رقم (4)، واعتمادا على المعادلات 14، 19 و 20، يوضح حركة جسيمات الغبار لمختلف المواقع الابتدائية.



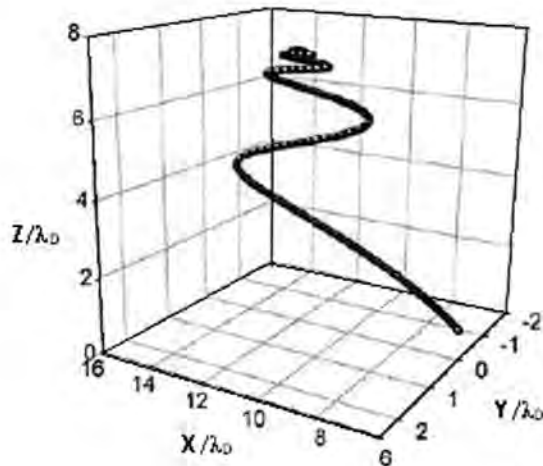
شكل-4: يوضح حركة جسيمات الغبار لمدى تغير موضع ابتدائي (من  $5 \lambda_D$  الى  $17.7 \lambda_D$ )

وكما في الشكل (3) فان جسيمات الغبار التي تكون بنفس الحجم سوف تحتل نفس المكان. وعندما تكون الموضع الابتدائية لجسيمات الغبار مختلفة، فان حالاتها الحركية سوف تكون مختلفة ايضا. فإذا كان الموضع الابتدائي قريب من الجدران فان جسيمات الغبار سوف تنسحب نحو الجدران بسبب تأثير صافي القوى المؤثرة. الشكل رقم (5)، واعتمادا على المعادلات 14، 15، 16، 19 و 20، يوضح تأثير المجال المغناطيسي على حركة جسيمات الغبار.

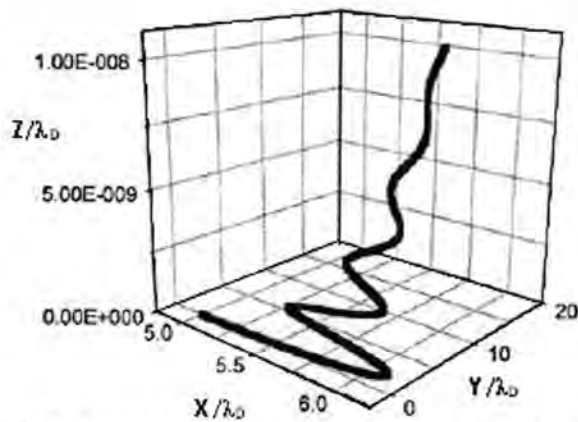


شكل-5: يوضح حركة جسيمات الغبار في مجال مغناطيسي بزاوية تتغير (من  $0^\circ$  الى  $90^\circ$ )

حيث يمكن ملاحظة بان المجال المغناطيسي الخارجي له تأثير فعال جدا على حركة هذه الجسيمات. كما يمكن ملاحظة انه مع الزيادة في قيمة ( $\theta$ ) ، فان المجال المغناطيسي يصبح اقوى باتجاه محور (z) . وكمحصلة نهائية، فان كلما من السعة والفتره الزمنية للتبذبب الموقعي للجسيمات في اتجاه (x) سوف تقل. وهذا يكون نتيجة لتأثير قوى التصادمات المحايدة. فعندما يكون المجال المغناطيسي على طول محور (z) ، فان جسيمات الغبار سوف تغادر محور (x). يمكن ملاحظة حركة جسيم مفرد ، واعتمادا على المعادلات 14، 15، 16، 19 و 20 ، في الشكلين (6) و (7). وعندما تكون  $45^\circ = \theta$  ، فان جسيمات غبار البلازما سوف تتحرك حركة لولبية (gyro motion) تحت تأثير المجال المغناطيسي (كما في الشكل 6) ، وسوف تختل مواقع اتزانها في النهاية. وعندما تكون  $90^\circ = \theta$  ، فان حركة جسيمات غبار البلازما سوف تكون بصورة رئيسية في محوري (z,y).



شكل -6: يوضح حركة جسيمات الغبار بزاوية مقدارها ( $45^\circ$ )



شكل -7: يوضح حركة جسيمات الغبار بزاوية مقدارها ( $90^\circ$ )

### الاستنتاجات

في هذه الدراسة، اعتبرنا حالة غلاف بلازمي، تكون في بعد واحد في فضاء الاحداثيات وفي ثلاثة ابعاد في فضاء السرعة مع وجود مجال مغناطيسي مائل مسلط في مستوى واحد. تم الاستنتاج بأنه تحت تأثير صافي القوى، فإن جسيمات غبار البلازما سوف لاتحتل اي موقع في الغلاف البلازمي اذا كانت انصاف اقطارها فوق حد معين (كما هو واضح من الشكلين 1و2). بالإضافة الى ذلك فان هذه الجسيمات سوف تغادر هذا الغلاف البلازمي اذا كانت مواقعها الابتدائية قريبة من الجدران (كما هو واضح من الشكلين 3و4). كذلك تم الاستنتاج على ان وجود المجال المغناطيسي الخارجي سوف يؤدي الى تقليل كلا من السعة والفتررة الزمنية للتذبذب الموقعي لجسيمات غبار البلازما باتجاه محور (x) (كما هو واضح من الاشكال 7و6,5).

### المصادر

1. Liu J. Y., Wang D J, Ma T C., " The Charged Dust in Processing Plasma Sheath", J. of Vacuum, Vol. 59, Issue 3, : 126-134, (2000).
2. Liu D. Y., Wang D. Z., Liu J. Y., " Dynamics and Suspension of Dust Particles in Cathode Sheaths of DC Glow Discharges", J. of Acta. Phys. Sin., 49, 6, : 1094-1100, (2000).
3. Liu J. Y., Ma J. X., " Effects of Various Forces on the Distribution of Particles of the Boundary of a Dust Plasma", J. Phys. Plasmas, Vol.4, Issue 8, :2798-2804, (1997).
4. Liu J. Y., Wang D. Z., Ma. T. C., " The Trap of Particles in Plasma Sheath", J. Phys. Plasmas, Vol.6, Issue 5, :1405-1408, (1999).
5. Ma J. X., Yu M. Y. , " Electrostatic Sheath at the Boundary of a Dusty Plasma", J. Phys. Plasmas, Vol.2, Issue 4, :1343-1348, (1995).
6. Riemann K. U. , " Theory of the Collisional Presheath in an Oblique Magnetic Field", J. Phys. Plasmas, Vol.1, Issue 3, : 552-558, (1994).
7. Stangeby P. C. , " BOHM- CHODURA Plasma Sheath Criterion", J. Phys. Plasmas, Vol.2, Issue 3, :702-706, (1995).
8. Kim G. H., Hershkowitz N. R., Diebold D. A., " Magnetic and Collisional Effects on Presheaths", J. Phys. Plasmas , Vol.2, Issue 8, pp.3222-3233, (1995).

9. Ahedo E.K., "Structure of the Plasma-Wall Interaction in an Oblique Magnetic Field" *J. Phys. Plasmas*, Vol.4, Issue 12:4419-4430, (1997).
10. Baishya S. K., Das G. C., Chutia J. I., " Electrostatic Sheath at the Boundary of a Magnetized Dusty Plasma", *J. Phys. Plasmas* , Vol.6, Issue 9, :3678-3684,(1999).
11. Gosh S. M., Ehsan Z. R., Murtaza G. K., " Dust Acoustic Shock Wave in Electronagative Dusty Plasma: Roles of Weak Magnetic Field", *J. Phys. Plasmas*, 15, (2), :023701-023707, (2008).
12. Singha B. A., Sarma A. N., " Experimental Observation of Sheath and Magnetic Presheath over an Oblique Metallic Plate in the Presence of a Magnetic Field", *J. Phys. Plasmas*, 9, Issue 2, :683-690, (2002).
13. Tskhakaya D. A., Kuhn S. P., Petrzilka V. R., " Effects of Energetic Electrons on Magnetized Electrostatic Plasma Sheaths", *J. Phys. Plasmas*, 9, Issue 6, :2486-2496 (2002).
14. Sheridan T. E., Goree J. N., " Collisional Plasma Sheath Model", *J. Phys. Fluids* , 3, Issue 2, :2796-2804, (1995).
15. Holland D. L., Fried B. D., Morales G. J., " Sheath Structure in a Magnetized Plasma", *J. Phys. Fluids* , 5, Issue 4, :1723-1737(1993).
16. Bora M. P., Baruah M. B., " Thermal Instability of an Expanding Dusty Plasma with Equilibrium Cooling", *J. Phys. Plasmas*, 16, 6, :063702-063712 (2008).
17. Maharaj S. K., Pillay S. R., " Electrostatic Solitary Waves in a Magnetized Dusty Plasma", *J. Phys. Plasmas*, 15, 12, :123702-123708 (2008).
18. Danielson J. R., Anderegg F.K., " Measurement of Landau Damping and the Evolution to a BGK Equilibrium", *Phys. Rev. Lett.*, 92, Issue 24, :245003 (2004).

19. Shukla P. K., Morfill. G. E., " Generation of Magnetic Fields in a Positive- Negative Dusty Plasma", J. Plasma Physics, 73, Issue 3, :141-144 (2007).
20. Adhikary N. C., Bailung H. B., Pal A. R., " Observation of Sheath Modification in Laboratory Dusty Plasma", J. Phys. Plasmas, 14, 10, :103705-103707 (2007).
21. Sheridan T. E., Nosenkov V. N., " Experimental Study of Nonlinear Solitary Waves in Two- Dimensional Dusty Plasma", J. Phys. Plasmas, 15, 7, :073703-073706 (2008).

## دراسة الخصائص البصرية لأغشية ZnTe المحضرة بطريقة الرش الكيميائي الحراري

ترجم زامل عبد الزهراء  
جامعة النهرين، كلية العلوم ، قسم الفيزياء  
البريد الإلكتروني: ner-ner2@yahoo.com

تاریخ تقديم البحث 08/11/2008 - تاریخ قبول البحث 22/3/2010

### ABSTRACT

In this research ZnTe thin films have been prepared by chemical pyrolysis deposited on thin glass substrates at (500°C) to study their optical properties .We found that the ZnTe films have high absorption coefficient reached to( $1.5 \times 10^4 \text{ cm}^{-1}$ ) in the short e wavelength also the ZnTe films have high energy band gap equal to (1.9 eV).

### الخلاصة

في هذا البحث تم تحضير غشاء (ZnTe) بطريقة الرش الكيميائي الحراري (Pyrolisys) على أرضية زجاجية عند درجة حرارة (500°C) لدراسة الخواص البصرية. حيث وجد امتلاك أغشية ZnTe معامل امتصاص(a) عالي بحدود( $1.5 \times 10^4 \text{ cm}^{-1}$ ) عند الأطوال الموجية القصيرة كذلك امتلاك أغشية ZnTe فجوة طاقة عالية تقدر ب (1.9eV).

### المقدمة

بدأت دراسة المواد شبه الموصلية في أوائل القرن التاسع عشر وتم خلال السنتين اللاحقة دراسة الكثير من أشباه الموصلات، وشبه الموصل يكون إما عنصراً أو مركباً. تستعمل أشباه الموصلات في صناعة الترانزستور (Transistors) و النبأنذات الطرفين(Transistors) والخلايا الكهروضوئية(Photoelectric- cells) والدوائر المتكاملة (Integrated circuits) والتطبيقات البصرية(Optical Application) كدخولها في مجال الاتصالات البصرية كثانيات باعثة للضوء(Light Emitting diodes) أو كواشف(Detector) أو كمرشحات بصريّة(Filters) كما تستخدم في الخلايا الشمسية(Solar cells) [1] .

إن مادة ZnTe هي مادة شبه موصلة من المجموعة الانتقالية (II-IV) وفي الغلب البحوث فهي مادة من نوع p-Type ولها فجوة طاقة (2.26-2.3 eV) يتميز بمعامل امتصاص عالٍ يستخدم في الخلايا الفوتوفلطاينية والخلية الكهربائية الكيميائية [2]. وذات كفاءة عالية في هيكل الخلايا الشمسية ذات توصيلية عالية [3]. تعدد مادة ZnTe مركب متعدد التبلور وغشاوه صعب التحضير لأن حجم البلورة صغير جداً حيث أن درجة حرارة الترسيب العالية تعمل على تبخيره وتفككه أو انحلال الغشاء وتكون حد فاصل بين البلورات ويتحدد بحركة هول (Hall- Mobility) ويؤدي إلى الزيادة في مقاومته الغشاء ويعطي ضوضاء كترونية [4]. ولها ألفة الكترونية (3.53 eV) ويستخدم في تصميم الليزرات والثانيات الباعثة للضوء في المنطقتين الخضراء والزرقاء من الأطوال الموجية. إن صناعة مثل هذه النباتات ثنائية القطبية تتطلب أن تكون المعاصفات البصرية لجانبي التركيب جيدة وأن مادة ZnTe تعد من أهم أشباه الموصلات المركبة المستخدمة لهذا الغرض [5] .

تعد طريقة الرش الكيميائي الحراري (Chemical Thermal Spraying) من الطرائق المهمة في تحضير الأغشية الرقيقة لما تمتاز به هذه الطريقة من سهولة وبساطة الاستخدام والتحضير ولكرثة تطبيقات الأغشية الرقيقة المحضرة بهذه الطريقة فهي تستخدم في صناعة الخلايا الشمسية والکواشف الضوئية وغيرها من التطبيقات والاستخدامات [6]. ويعد الباحثان Hottel و Unger أول من استخدم طريقة الرش الحراري

بتحضير غشاء اوكسيد النحاس الأسود بترسيبيه على أرضية من الألمنيوم وكان ذلك عام (1959) [7]. يمكن تعريف الرش الكيميائي الحراري على انه عملية اندلاع حراري Thermal Decomposition للمركبات الفلزية - العضوية الصلبة وتكون راسب متمثل بالأغشية الرقيقة المكونة على سطح أرضية ساخنة (Substrate) من خلال رش محلول أملاح المادة المراد تحضيرها بهذه الطريقة، ثم يبدأ نمو الغشاء على سطح الأرضية مع اس تمرار عملية الرش [8]. رس ب غشاء ZnTe في عام 2004 من قبل الباحثين Pradeep Rakhsani و Pradeep على أرضية من الحديد المقاوم للصدأ بطريقه الترسيب الكهربائي electrodeposited في محلول مائي يحتوي على  $(0.5\text{m}\mu)$  من  $\text{TeO}_2$  و  $(150\text{m}\mu)$  من  $\text{ZnSO}_4$  وكان في درجة حرارة  $(80^\circ\text{C})$  و حامضية  $(\text{PH}=3.5)$  وان إمكانية الترسيب كانت ضمن المدى  $(740\text{mV}-800\text{mV})$ . وقد تم قياس تركيب الغشاء وسطحه ومعامل الامتصاص البصري وفجوة الطاقة والمقاومة النوعية الكهربائية. وان فجوة الطاقة للغشاء كانت ضمن المدى  $(2.1-2.3\text{eV})$  [9] ، وقد تم دراسة الخواص البصرية لأغشية ZnTe المحضرة بالشعاع الجزيئي من قبل Franta وجماعته سنة 2004 والمرسب على أرضية بلوريه أحادية (GaAs). الاعتماد الطيفي لكتل الثوابت البصرية يعني معامل الانكسار والامداد يميز هذه الأغشية ضمن المنطقة الطيفية  $(230-850\text{nm})$ . وتعتمد الخواص البصرية لأغشية ZnTe على قيم السدىك وباستعمال الثوابت البصرية يعطي الصدفات لهذه الأغشية. وان وجود طبقة رقيقة جدا من الاوكسيد على حدود الغشاء يؤدي إلى خشونة سطح الغشاء [10].

## المواد وطرق العمل

ت تكون منظومة الرش الكيميائي الحراري من عدة أجزاء أولية رتبت بحيث يتم الاستفادة منها في تحضير الغشاء الرقيق. وتتألف منظومة الترسيب من الأجزاء الرئيسية التالية:

1- جهاز الرش: يتتألف جهاز الرش من ثلاثة أجزاء رئيسية مصنوعة من الزجاج المقاوم كيميائيا.

2- المسخن الكهربائي: تم تصنيع المسخن الكهربائي من سلك تسخين نوع نيكل-كروم، أما سطح المسخن فهو عبارة عن صفيحة مسطوية من الفولاذ المقاوم للصدأ وتأثير المواد الكيميائية.

3-غاز التذرية: للحصول على غاز التذرية تم استخدام اسطوانة غاز التتروجين ليعمل على تذرية قطرات محلول المشابه من جهاز الرش ونقلها إلى سطح القواعد الزجاجية بهيئة رذاذ على شكل مخروط وقاعدته إلى الأسفل ورأسه نهاية الأنبوية الشعرية وللسسيطرة على معدل جريان الغاز يتم ربط الاسطوانة بصمام ميكانيكي ويربط هذا الصمام الميكانيكي عبر صمام (Needle Valve) بمقاييس جريان حجمي (Flow meter) ذي تدرجات معينة يعمل على قياس معدل الانسياب الحجمي لغاز التذرية .

لتحضير أغشية (ZnTe) الرقيقة حضرت محليل الرش كالتالي :

حضرت محليل الرش الكيميائية باستخدام ماء مقطر بحجم  $(50\text{ ml})$  وبتركيز  $(0.1\text{M})$  وذلك برش محليل المائية لمادة كلوريد الخارصين  $(\text{ZnCl}_2)$  كمصدر لאיونات الخارصين بوزن  $(0.34\text{ gm})$  وحجم محلول  $(25\text{ ml})$  ومادة  $(\text{TeO}_2)$  ذات وزن  $(0.399\text{ gm})$  وحجم محلول  $(25\text{ ml})$ .

كما تم وزن جميع المواد باستخدام ميزان الكتروني حساس تصل حساسيته الى  $(10^{-4}\text{ gm})$  واستخدمت العلاقة الآتية لحساب كتل المواد [1]:

$$W = M_w \times M \times V_i \dots (1)$$

حيث ان  $(M_w)$  الوزن الجزيئي للمادة  $(\text{gm.Mol}^{-1})$  ،  $(M)$  مولارية المادة  $(\text{Mol.L}^{-1})$  ،  $(V_i)$  حجم الماء المقطر الذي تمت الإذابة فيه  $(\text{L})$  ،  $(W)$  وزن المادة  $(\text{gm})$ .

أما قياس سمك الغشاء الرقيق فقد تم باستخدام الطريقة الوزنية حيث تتميز هذه الطريقة ببساطة استخدامها وسهولة عملها وسرعة الحصول على النتائج . ويتم قياس سمك أغشية ZnTe المحضرة بهذه الطريقة من خلال قياس كتلة الأرضية الزجاجية قبل وبعد عملية الترسيب للأغشية حيث يتم استعمال ميزان الكتروني حساس من نوع  $(Mettler \pm 10^{-4} \text{ gm})$  ، ومن خلال الفرق الحاصل في الكتلة يتم حساب كتلة المادة المرسبة وبمعرفة الكثافة النظرية لمادة التي تساوي  $(ZnTe) (5.54 \text{ gm/cm}^3)$  وكذلك حساب مساحة الغشاء المرسوب يتم الحصول على سمك الغشاء  $(t)$  وفقاً للعلاقة الآتية [1]:

$$t = \frac{\Delta W}{\rho_i A} \dots (2)$$

حيث ان  $(t)$  سمك الغشاء  $(\text{nm})$  ويتم تحويله إلى  $(\text{cm})$  ،  $\Delta W$  الفرق في الكتلة قبل وبعد الترسيب  $(\text{gm})$  ،  $\rho_i$  الكثافة النظرية للمادة المرسبة  $(\text{gm/cm}^3)$  ،  $A$  مساحة سطح الغشاء  $(\text{cm}^2)$  .

أجريت القياسات البصرية من خلال دراسة طيفي النفاذية (Transmition) والامتصاصية (Absorption) للأغشية (ZnTe) الرقيقة باستخدام جهاز المطياف من نوع Spectrophotometer (UV-VIS-Double Beam) والجهاز ذو حزمتين للأشعة الساقطة يوضع في طريق احدهما اللوح الزجاجي المرسوب عليه الغشاء والمراد إجراء القياس له ، بينما يوضع في طريق الحزمة الثانية المرجع وهو لوح زجاجي غير مرسوب عليه وبالتالي يكون الطيف الناتج للغشاء الرقيق فقط. أجريت القياسات للأغشية (ZnTe) للمدى الطيفي  $(900-400 \text{ nm})$  .

### النتائج والمناقشة

تعتمد الخواص البصرية للأغشية الرقيقة والمتمنّة بالنفاذية والامتصاصية على سمك الغشاء، تركيبه الداخلي، نوع مادة الغشاء وظروف تحضيره . ويمكن الاستفادة من حساب طيفي النفاذية والامتصاصية في حساب معامل الامتصاص الذي يتم من خلاله التعرف على حافة الامتصاص الأساسية وفجوة الطاقة [1] .

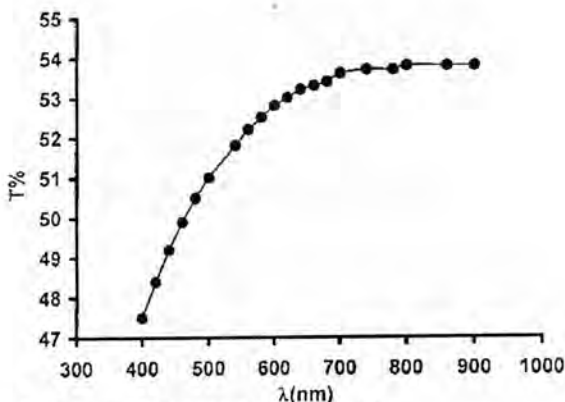
#### 1- النفاذية (Transmittance(T))

يعتمد طيف النفاذية للأغشية على التركيب الكيميائي والبلوري للمادة ، كما ويعتمد على سمك الغشاء وتضاريس السطح من خلال اعتمادها على طيفي الانعكاسية والامتصاصية المتمنّة ( معامل الامتصاص) طبقاً للعلاقة التالية [11] :

$$T = ((1-R)^2 \exp(-\alpha t)) \dots (3)$$

حيث  $(T)$  النفاذية،  $(R)$  الانعكاسية،  $(\alpha)$  معامل الامتصاص  $(\text{cm}^{-1})$  ،  $(t)$  سمك الغشاء  $(\text{cm})$  ، لقد تم قياس سمك الغشاء بالطريقة الوزنية بالاعتماد على العلاقة (2) حيث وجد بان قيمته تساوي  $5 \times 10^{-5} \text{ cm}$  .

إذ تتناسب النفاذية عكسياً مع سمك الغشاء ، فالسمك العالي يوفر فرصه أكبر لحصول ظواهر الامتصاص البصري المختلفة في الغشاء ، وبالتالي توهين جزء اكبر من الشعاع الساقط ، كما تتغير النفاذية مع الطول الموجي والشكل (1) يبين تغير طيف النفاذية لغشاء ZnTe مع الطول الموجي المعتمد في القياس  $(400-900 \text{ nm})$  .



شكل-1: طيف النفاذية للغشاء ZnTe المحضر.

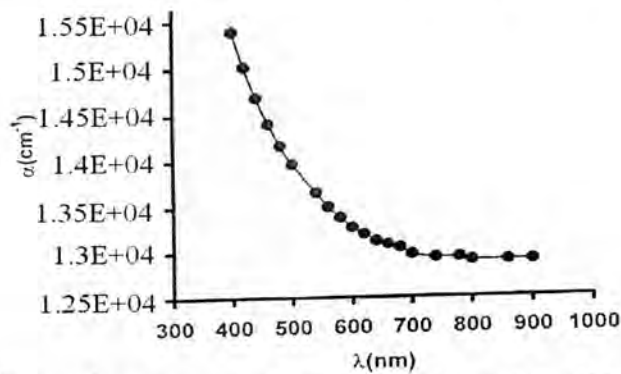
نلاحظ من الرسم البياني للشكل (1) أن نفاذية أغشية ZnTe تزداد بزيادة الطول الموجي وان اعلى قيمة للفناذية عند الطول الموجي (900).

## 2: معامل الامتصاص ( $\alpha$ ): Absorption coefficient ( $\alpha$ )

يتم احتساب معامل الامتصاص ( $\alpha$ ) بدلالة قياس النفاذية بإهمال الانعكاسية باستخدام العلاقة التالية [1]:

$$\alpha = \frac{1}{t} \ln \left[ \frac{1}{T} \right] \dots (4)$$

يعتمد معامل الامتصاص على طاقة الفوتون الساقط ونوع الانتقالات الالكترونية التي تحدث بين حزم الطاقة ، ومنه يتم وضع تصوير تقريري على هيكلية حزم الطاقة للأغشية المحضرة . الشكل (2) يوضح ام تلاك غشاء ZnTe معامل الامتصاص الى حدود  $1.5 \times 10^4 \text{ cm}^{-1}$  عند الأطوال الموجية القصيرة ثم يأخذ معامل الامتصاص بالقصور بمعدلات متفاوتة تعتمد على تركيب الغشاء ومكوناته حيث تتراوّب قيم معامل الامتصاص عند هذه القيم من الأطوال الموجية بلقد بينت الأبحاث السابقة [12] إن الامتصاصية تعتمد على نوع وطبيعة التركيب الكيميائي والبلوري للغشاء ونوع الشروانب التي تتوارد في البنية التركيبية حيث إن قيم معامل الامتصاص ( $\alpha > 10^4 \text{ cm}^{-1}$ ) تدل على احتمالية كبيرة لحصول الانتقالات الالكترونية المباشرة فعند الأطوال الموجية القصيرة أي في المنطقة المرئية تحصل عمليات الامتصاص مولدة بذلك زوج (إلكترون-فجوة) وتدعى هذه العمليات بعمليات الامتصاص الأساسية.



شكل-2: تغير معامل الامتصاص البصري مع الطول الموجي لاغشاء ZnTe المحضر.

توضح نتائج الشكل (2) امتلاك أغشية ZnTe أعلى قيمة لمعامل الامتصاص عند الأطوال الموجية القصيرة 400nm ثم تأخذ بالانخفاض إلى أن تصل إلى قيم متقاربة بعض الشيء عند الطوال الموجية التي تزيد عن 800nm.

### 3-الثوابت البصرية :Optical Constant

توصف الخواص البصرية للمواد شبه الموصلة بالثوابت البصرية التي تشمل

معامل الخمود ( $k$ )

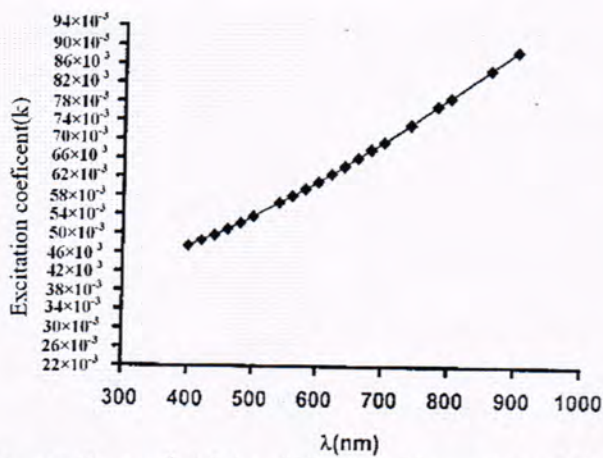
ومعامل الانكسار ( $n$ ) وثابت العزل الكهربائي ( $\epsilon$ ) بجزئيه الحقيقي والخيالي ، والهدف الرئيسي من الدراسات البصرية هو إيجاد التطبيقات الملائمة لهذه المواد [1-11].

### 1.3: معامل الخمود :Extinction Coefficient( $k$ )

يشير معامل الخمود إلى مقدار التوهين الحاصل للموجة الكهرومغناطيسية عند مرورها خلال الوسط المادي ، وعلى هذا الأساس فإن قيمته تتعدد من خلال التفاعلات الموجة الكهرومغناطيسية مع الوسط. يتم حساب معامل الخمود من العلاقة التالية [1] :

$$k = \frac{\alpha\lambda}{4\pi} \dots (5)$$

والشكل (3) بين تغير معامل الخمود مع الطول الموجي لغشاء ZnTe المحضر ، نلاحظ من الشكل عدم التشابه في التغيرات الحاصلة لمعامل الخمود ومعامل الامتصاص مع الطول الموجي على الرغم من اعتماد حساب قيم معامل الخمود على قيم معامل الامتصاص ويعزى عدم التشابه هذا إلى العلاقة (5) حيث إن الزيادة في الطول الموجي قد أدت إلى النقصان في معامل الامتصاص وبالتالي زيادة معامل الخمود مع الطول الموجي لغشاء ZnTe بدلاً من نقصانه .



شكل 3: تغير معامل الخمود ( $k$ ) مع الطول الموجي لغشاء ZnTe المحضر.

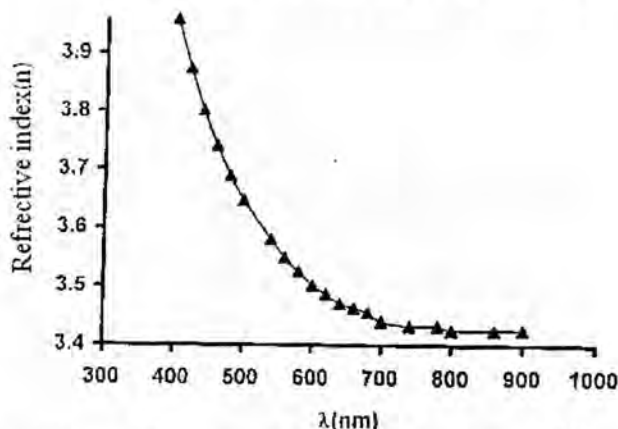
### 2.3: معامل الانكسار ( $n$ ) :Refractive Index ( $n$ )

يتم حساب معامل الانكسار ( $n$ ) من العلاقة التالية [11]:

$$n = \frac{1}{T} \left( \frac{1}{T^2} - 1 \right)^{\frac{1}{2}} \dots (6)$$

لذا فإن معامل الانكسار هو دالة النفاذية ، إن سلوك معامل الانكسار يتغير بتغير ظروف التحضير والتقنية المستخدمة في التحضير. الشكل (4) يوضح نلاحظ تغير معامل الانكسار

للغشاء بين (3.97-3.41) للأطوال الموجية المعتمدة في القياس حيث نلاحظ نقصان معامل الانكسار مع زيادة الطول الموجي لأنقشة ZnTe الرقيقة.



شكل 4: تغير معامل الانكسار (n) مع الطول الموجي للغشاء ZnTe المحضر.

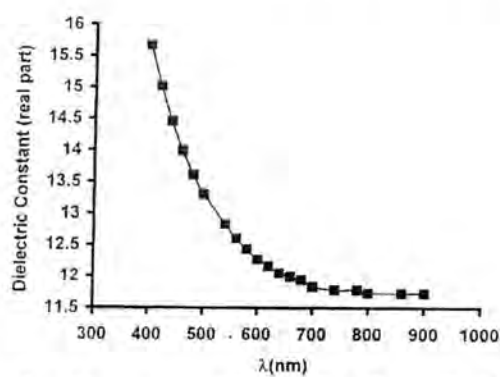
### 2.3 ثابت العزل الكهربائي ( $\epsilon$ )

من معرفة معامل الانكسار (n) ومعامل الخمود (k) يمكن حساب الجزء الحقيقي ( $\epsilon_1$ ) والخيالي ( $\epsilon_2$ ) لثابت العزل الكهربائي من العلاقاتتين الآتتين [13]:

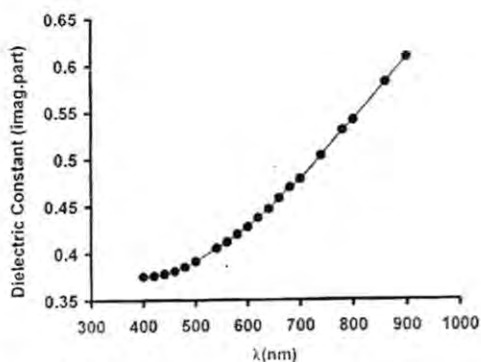
$$\epsilon_1 = n^2 - k^2 \dots\dots (7)$$

$$\epsilon_2 = 2nk \dots\dots (8)$$

من العلاقاتين (7) و(8) نلاحظ اعتماد ثابت العزل على معامل الانكسار ومعامل خمود لذلك تتغير نتائج قياس ثابت العزل الحقيقي والخيالي وتأخذ سلوكاً مشابهاً لنتائج معامل الانكسار ومعامل الخمود على التوالي مع اختلاف القيم العددية، حيث ان الشكل (6) يوضح تغير ثابت العزل الخيالي مع الطول الموجي لغشاء ZnTe.



شكل 5: تغير ثابت العزل الحقيقي ( $\epsilon_1$ ) مع الطول الموجي للغشاء ZnTe المحضر.



شكل-6: تغير ثابت العزل الخيالي ( $\epsilon_2$ ) مع الطول الموجي للغشاء ZnTe المحضر.

#### 2-4 فجوة الطاقة البصرية ( $E_{gap}$ ) : Optical Band Gap( $E_{gap}$ )

تعتمد فجوة الطاقة ونوعها عموماً على التركيب البلوري للمادة أي على طريقة تنظيم وتوزيع الذرات في الشبكة البلورية، كما إنها تتأثر بشكل كبير بمدى الانتظام البلوري للمادة، لذا فمن المتوقع أن إحداث أي تغير في هذه المعلومات يسبب تغير واضح في قيمة فجوة الطاقة ونوعها.

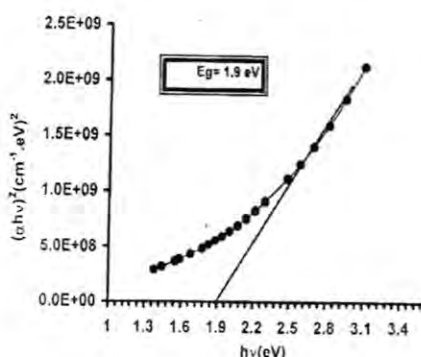
يتم احتساب قيمة فجوة الطاقة المباشرة المسموحة من العلاقة البيانية بين  $(\alpha h\nu)^2$  مع طاقة الفوتون ( $h\nu$ ) وحسب العلاقة (7) الخاصة بالانتقال المباشر المسموحة [14] :

$$\alpha h\nu = A(h\nu - E_g)^{1/2} \dots (7)$$

حيث  $A$  ثابت يعتمد على الكتلة الفعالة للإلكترون والفجوات وكثافة الوسط البصري.

ولأجل تحديد قيمة فجوة الطاقة للانتقال المباشر المسموحة يظهر من الشكل (7) انه في مناطق الامتصاص العالي (الأطوال الموجية القصيرة) تتغير قيمة  $(\alpha h\nu)^2$  خطياً مع طاقة الفوتون ، وهذا يؤكد حدوث الانقلالات الإلكترونية المباشرة المسموحة في أغشية ZnTe المحضرة .

ويمكن حساب قيمة فجوة الطاقة المباشرة المسموحة للغشاء ZnTe من الشكل (7) وذلك بمد خط مستقيم يكون امتداده قاطعاً محور طاقة الفوتون ( $h\nu$ ) وان نقطة التقاطع تمثل قيمة فجوة الطاقة البصرية للانتقال المباشر المسموحة للغشاء المحضر [15].



شكل-7: منحني الامتصاص كدالة لطاقة الفوتون لحساب فجوة الطاقة المباشرة المسموحة للغشاء ZnTe المحضر.

من خلال الشكل (7) نلاحظ امتلاك غشاء ZnTe المحضر قيمة فجوة طاقة تقدر بـ (1.9eV).

### الاستنتاجات

يمتلك غشاء ZnTe المحضر نفاذية عالية وتزداد نفاذيته بزيادة الطول الموجي باتجاه منطقة الأشعة تحت الحمراء القريبة (NIR) بينما تقل نفاذيته في المنطقة المرئية (Visible) لذا يمكن استخدام هذه الأغشية كنوافذ (Windows) للأطوال الموجية الطويلة، كذلك امتلاك غشاء ZnTe معامل امتصاص عالي قيمته ( $1.53 \times 10^4 \text{ cm}^{-1}$ ) عند الطول الموجي 400 nm وفجوة طاقة عالية بحدود (1.9eV) إن هذه القيمة العالية نسبياً تمكنا من استخدام غشاء ZnTe ككافش للأطوال الموجية القصيرة.

### المصادر

1. Sze S. M., "Semiconductor Devices-Physics and technology", Second Edition, Wiley, America(1990).
2. Han D., Choi S., and Park S., " Electrochemical Preparation of Zinc Telluride Films on Gold Electrodes", Journal of The Electrochemical Society, Vol.150, No. 5, P.C342-C346,(2003).
3. Mahalingam T., "Preparation of ZnTe Thin Films Using a Simple Tow Stage Process", Thin Solid Film Vol.165, No. 7, P. 500 ,(1988).
4. John V.S., "Stimulated Crystallization of Polycrystalline ZnTe Films", Thin Solid Film Vol.122, No.3, P.503,(1984).
5. Sebastian P.J., " Switching Mechanism in ZnTe Films", Thin Solid Film, Vol.113, No.2 , P.601,(1984).
6. Biswas D.R., "Deposition Process for Films and Coatings ", Mater. Sci., Vol.21, No.7, P.2217-2223, (1986).
7. Hottel H.C. and Unger T.A., "The Properties of Copper Oxide Aluminum Selective Black Surface Absorber of Solar Energy", Solar Energy, Vol.3, No.3, P.10,(1959).
8. Boon J.L., Doren T.V. and Berry K., "Deposition of CdTe by Spray Pyrolysis", Thin Solid Films, Vol.87, No.2, P.259-264, (1982).
9. Pradeep S.M. and Rakhshani G.H., "Thin Films of Te Electrodeposited on Stainless Steel", App. Phys. A: Materials Science and processing Vol.79, No. 8, P.2021,(2004).
10. Franta A., "Optical Properties of ZnTe Films Prepared by Molecular Beam Epitaxy", Thin Solid Films Vol.468, No.1,P.123, (2004).
11. Pankove J.I., "Optical Properties in Semiconductors", P.17-45, Prentice-Hall, New Jersy(1971).
12. Kasap S.O., "Principles of Electronic Materials and Devices", Second Edition, P.88, Prentice-Hall , New Jersy(2002).
13. Chopra K.L., "Thin Films Phenomena" ,P.14-77 ,McGraw-Hill, New York(1969).
14. Pankove J.I. , "Optical Process in Semiconductors" , P.18-27, Prentice Hall, New Jersey(1971).
15. Sze S. M. and Ng K.K, "physics of semiconductor device ",Third Edition, P.50-62, Wiley, America(2007).

## استخدام تقنية معادلة المخطط التكراري لتحسين الصورة ذات الاضائة غير المنتظمة لمصباح التكستن

هدى محمد جراد

كلية العلوم قسم الفيزياء

تاریخ تقديم البحث 15/4/2009 - تاریخ قبول البحث 5/10/2009

### ABSTRACT

The photography under lighting condition with different specifications, the pictures with lower intense lose a lot of its detail, the pictures become more bright with high intensive lighting and it will lose its details, the contrast will be very large. Clarification of pictures required to pull and extend the histogram equalization along the extend total permitted values. For the studying taken under light of tungsten with different intense lighting. We have applied the technique of histogram equalization for all pictures to study convergence, development of pictures from perfect state. To enhance the details, contrast and spread level of intensity for all the permitted level for each (RGB). We can observe from the relation draft between (SNR) and illumination system voltage that the form of curve has a line contrast with increase of voltage. In lower voltage it starts to stable and firm. Regarding the relation between (LUX) the and (STD) for (O) pictures and (HL). We had noticed that (STD) with intense lighting will become stable, this mean that we can use this technique to improve the taken pictures with lower intense lighting with the of its colored values.

### الخلاصة

تصوير تحت شروط اضاءه له مزايا مختلفه حيث ان الصور بالاضاءات الواطنه تختفي الكثير من تفاصيلها كما انهما في الشدات العاليه للاضاءه تصبح الصور اكثراً بيضاء(ابهار) لذا فإن جزء كبير من تفاصيلها يفقد ايضاً والتباین فيها يصنف بشكل كبير فان توضيح الصور يتطلب عملية سحب و مد المخطط التكراري على طول المدى الكلي المسموح من القيم . ولغرض دراسة الصور الملقطه تحت اضاءات التكستن مختلفة الشدات وقمنا بتطبيق تقنية معادلة (مساواه)(المعادلة التكراري على جميع الصور وذلك لغرض دراسة تقارب الصور وتحسينها واقتراحها من المثاليه من اجل زيادة التفاصيل والتباین فيها ونشر مستويات الشده على كل المدى المسموح لمستويات الشده لكل حزمة لونيه (RGB) ويلاحظ من رسم العلاقة بين (SNR) والقولته بأن شكل المنحنى ذو تناقص خطى تقريراً ماع زيادة الفولتية وعند الفولتات الواطنه يبدأ بالاسقرار والثبات . أما العلاقة بين قيم المترحس (Lux) وقيمة الانحراف المعياري (STD) للصورة الاصلية(O) والمصورة المعالجه (HL) (بالاخطذ ان القيم الانحراف المعياري (STD) مع شده الاضاءه تقريراً ماصبح ثابتة وذلك يدل على امكاناته اعتماد هذه التقنيه لغرض تحسين الصور الملقطه عند شدات اضاءه ضعيفه مع المحافظه على قيمها اللونيه.

### المقدمة

يمكن للبعض أن يتصور أن المعالجة الرقمية للصور تعنى فقط عمليات تزيين الصور و إدخال بعض الزخارف و الرسوم عليها أو حذفها لظهور بعد ذلك في مظهر آخر يختلف عن الأصل. إلا أن المعالجة الرقمية للصور تتعدى ذلك بل إنها في الحقيقة تكاد لا تهتم بهذا الجانب من معالجة الصور أصلاً. حيث أنه يتم هنا التركيز على التشفير الرقمي المناسب للصور و إيجاد طرائق لمعالجة هذه البيانات الرقمية حتى تكون هذه الصور أو المعلومات التي تحملها الصور قابلة للاستعمال من قبل الآلة التي يمكن أن تكون جهاز حاسوب أو رجل آلي أو غيره من

الماكنات. تكتسي المعالجة الرقمية للصور أهمية كبيرة في ميدان ادراك الصور أي عندما نحاول مثلاً أن نجعل الحاسوب أو الرجل الآلي يفهم الصورة أو معناها كما أنها أيضاً مهمة جداً في ميدان تعريف الانماط أو الأشكال. فيمكن مثلاً أن تصور إنسان آلي يتعرف على شكل الإنسان (مثلاً الإنسان يساوي مستطيل كبير يتفرع منه أربع مستطيلات صغيرة و دائرة) ويقوم بتحيته في حين أنه لا يحيي القطة المنزلية مثلاً. كما أن للتعرف على الأنماط أهمية كبيرة في المعالجة الآلية للصور التي تلتقطها المكواكب لسطح الأرض و هذا استعمال عسكري مثلاً.

كما أنها مهمة أيضاً في الملاحة اعتماداً على خرائط أو صور من سطح الأرض.[1] .  
ويهدف البحث إلى دراسة عملية التصوير الملون للأجسام المختلفة باستخدام شادات أضاءه مختلفة لتنكشن حيث يتم تقييم الصور الملقطة (الناتجة) التي تكون ذات تمثيل طيفي بثلاث حزم لونية هي (الأحمر ، الأخضر ، الأزرق ) وتحديد وضوحيتها وخصائصها الأحصائية المتضمنة (المعدل  $M$  والأنحراف المعياري  $\sigma$ ) من خلال عدة عوامل يتم دراستها بتغيير شدة الأضاءة وهذه العوامل تتضمن دراسة توزيع شدة الأضاءه على مستوى الصوره من حيث الثبات والتجانس وذلك بتصوير ورقة بيضاء وبتغير شده اضاءه مصباح التكشن على هذه الورقه حيث كانت اضاءه التكشن غير منتظمه على جانبي الورقه وثم استخدام تقنية معادلة المخطط التكراري لتحسين الصور الملقطه بأضاءات تتنكشن مختلفه ثم المقارنه فيما بينها .[1]

### 1-1 الدراسات السابقة

العديد من الدراسات السابقة التي اهتمت بتحسين الصور الملونة من خلال تحسين التباين والأضائة

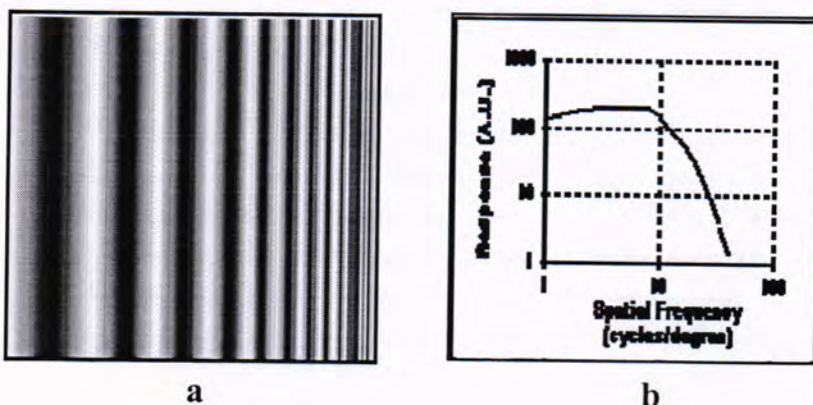
1- في عام 1990 اقترح Johnson p . R استخدام طريقة التباين للكشف عن الحافات الموجودة في الصورة ذات الأضاءة غير المتساوية او الضعيفة حيث ان هذه الطريقة لا تعتمد على القيمة المطلقة للإضاءة Absolute Brightness كما استخدم الباحث نوافذ حيزية  $5*5$  عوامل التدرج للكشف عن الحافات حيث تعتبر طريقة التباين مناسبة للصور المرتبة والصور بالأشعة تحت الحمراء حيث يمكن اعتماد هذه الطريقة في تطبيقات الإنسان الآلي التي لا يمكن فيها السيطرة على الأضاءة [2]

2- في عام 1997 قدم Colander بحث يهدف إلى تحسين الجودة العلية للصورة الرقمية من خلال استخدام المرشحات المحسنة لاسترجاع الحافات وتحسين معالم الصورة حيث قام الباحث ببناء برنامج حاسوبي لزيادة حدة الحافات Sharpening edges عن طريق حساب القيمة العليا المثلثي فوق الأضاءة العالية over shoot كدالة للسطوع والتباين حيث توصل إلى أن القيمة العليا المثلثي فوق الأضاءة العالية تزداد مع زيادة كلاً من السطوع والتباين حيث تأخذ شكل الزيادة فيها الدالة الأساسية بالنسبة لدالة السطوع في حين تزداد بصورة غير خطية عند الحافات ذات التباين الأقل من 20 وتنتهي عند قيم التباين الأكبر [2]

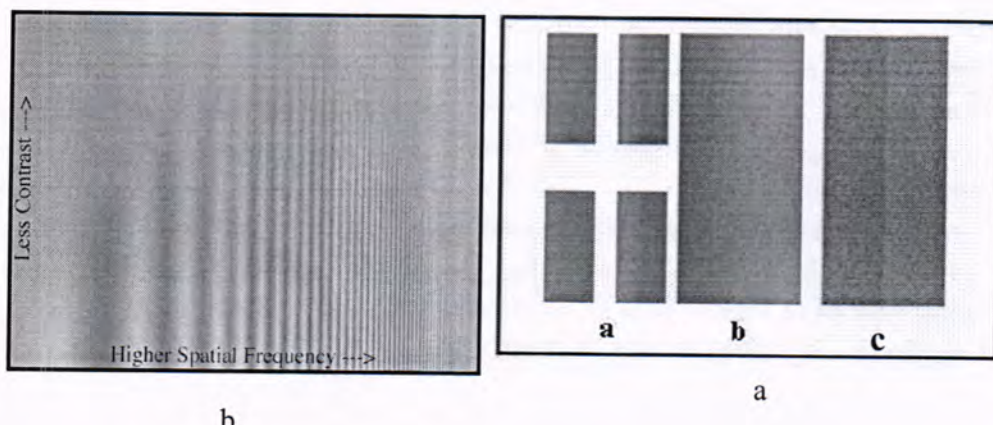
### 2-الجزء النظري

- 2-1 وضوحية الصور Image resolution يمكن التعبير عن وضوحية الصورة الرقمية بما يلي: [2]
  - الضوحية الطيفية Spectral Resolution
  - الوضوحية الشعاعية Radiometric Resolution
  - الوضوحية المكانية Spatial Resolution
  - الوضوحية الزمنية Temporal Resolution

ان اختلاف الوضوحية المكانية مع التباين يدعى بدالة نقل التضمين للرؤية البشرية كما في الشكل (1) حيث يتبيّن من الشكل ان اكبر قابلية على تحليل تفاصيل التباين المنخفض عند تردد مكاني متوسط وتصبح اقل عند التفاصيل الأقل والأكبر . [2] ان العين البشرية لا تقيس السطوع Brightness بل تقوم بمجرد اجراء المقارنات فلذا يكون من الصعب ج تمييز اختلافات السطوع ما لم تكن المناطق متجاورة تماماً يبيّن الشكل (a):  
 مربعات رمادية اثنان منها اعتم بنسبة (5%) من البعض الاخر حيث ان قابلية التمييز في هذه الحالة تكون محدودة لانها منفصلة ،اما اذا كانت المناطق متجاورة كما في الشكل (b): حيث لا يمكن تمييز اختلافات السطوع لان التغيير من منطقة الى اخرى يكون تدريجياً اما في الشكل (2) يمكن للعين ان تحدد المناطق بسهولة [2].



شكل - a:1 - a: الشدات ممثلة بترددات حيزية متزايدة  
 b: مقدار التحسّن للشدة التردّدات الحيزية المتزايدة [2]



شكل - 2: (a) مقارنة المناطق التي تمتلك 5% سطوعية مختلفة [2]  
 (b) لصورة توضيحية لدالة نقل التضمين للرؤية البشرية [2]

يعد العالم Rayleigh هو اول من وضع مقياساً او معياراً لقدرة التحليل وذلك عندما تكون المنظومة البصرية محددة بالحيود فقط Diffraction Limited System. ان معيار Rayleigh للوضوحية الزاوية هو قياس عام لوضوحية العدسة ، وبما ان قدرة التحليل تختلف باختلاف نوع الإضاءة (متناهيه او غير متناهيه) . لذا لا يمكن تحديد كفاءة المنظومة البصرية بقياس قدرة التحليل بصورة كاملة لانها لا تعطي معلومات كافية حول

قابليتها لتصوير الترددات الواطنة لذا يتم الاستعانة بدالة النقل البصري . حيث ان المنظومة البصرية تحدد وضوحيتها من خلال دالة النقل البصري Optical Transfer Function (OTF) .Function OTF تصف الاختلاف المكاني (الزاوي عندما يتم تسليط الصورة على القلم او الكاشف الالكتروني فان المجال المفضل هو التردد المكاني لكن عندما تشير الصورة الى العدسة لوحدها سيكون التردد الزاوي هو المفضل [3] . ان التحليلية المكانية تعرف بأنها مقياس لأصغر التفاصيل القابلة للتمييز في الصورة ، ممكنا ان تذكر الوضوحيه المكانية بعدد من الطرق مثل أزواج الخطوط لوحدة المسافة او النقاط لوحدة المسافة وهي الأكثر شيوعا [3]

## 2-2 تقييم جودة الصورة Image Quality Evaluation

تعرف جودة الصورة الرقمية بانها مقدار الحدة والتبان في الصورة ، وممكن ان تعرف بانها قابلية المنظومة البصرية على التمييز بين الأجسام المتقاربة او هي اصغر فصل زاوي بين جسمين بحيث ان كل منها يبقى منفصل ومتينا عن الآخر في [3] .  
ان جودة الصورة وكفاءة المنظومة البصرية تقييم بعدة طرق مختلفة منها دالة الانتشار النقطي (PSF) Point Spread Function ، فإذا كانت المنظومة البصرية ذات تركيز صحيح فان كل الفوتونات المنبعثة من المصدر النقطي سوف تسقط على المستوى البؤري للكاشف وتولد صورة ، حيث ان صورة أي جسم نقطي لا تكون نقطة وإنما تكون عبارة عن يقعة او دائرة مغلوطة Blur Spot or Circular [3] . ان السبب في ذلك يعود الى عدة عوامل منها التركيز غير الصحيح ، الحيوانات الناتج من الطبيعة الموجية للضوء ، الزياوغ الناتج بسبب العدسات ، او تفاعل الفوتونات الساقطة مع نظام الكاشف إضافية الى ذلك وجود تأثير التشتت Dispersion في المواد الصلبة ان الصورة الناتجة يعتمد وصفها على دالة الانتشار النقطي [3] PSF

## المواد و طرائق العمل

تم التقاط مجموعة من الصور لصوره بيضاء اختباريه بواسطة الويب كاميرا (enet ) حيث وضعت الصوره الاختباريه داخل صندوق مغلق ابعاده هي (120cmx74cm) ووضعت الصوره في احدى طرفيه والكاميرا في الطرف الآخر وبنفس الوقت وتم التحكم بالاضاءه مصباح التكستن داخل الصندوق وثم قياس شدة الاضاءه داخل الصندوق بوحدات اللوكس (Lux) . كما ان الاضاءه المعتمده غير منتظمه او متباينه على جانبي الورقه البيضاء ولغرض دراسة الصور الملقطه تحت اضاءه التكستن مختلفه الشده فمما بتطبق تقنيه معادله (المساواه) المخطط التكراري على جميع الصور وذلك لغرض دراسة تقارب الصور وتحسينها واقترابها من المثاليه وذلك لغرض زيادة التفاصيل والتبان فيها ونشر مستويات الشده على كل المدى المسموح لمستويات الشده لكل حزمه لونيه (RGB) (ولقد قمنا باستخدام عدة عمليات لغرض دراسة كل صوره منها وحساب المعدل  $\mu$  والانحراف المعياري  $\sigma$  لكل وذلك باستخدام العلاقات التاليه

$$\mu = \frac{1}{NM} \sum_{i=1}^N \sum_{j=1}^M f(i,j) \quad \text{معادلة (1)}$$

حيث ان  $M,N$  تمثل ابعاد الصورة او جزء من الصورة المراد حساب معدله وانحرافه المعياري والانحراف المعياري يعطى بالعلاقة التالية

$$= \sqrt{\frac{1}{MN} \sum_{i=1}^N \sum_{j=1}^M (f(x,y) - \mu)^2} \quad \text{المعادله (2)}$$

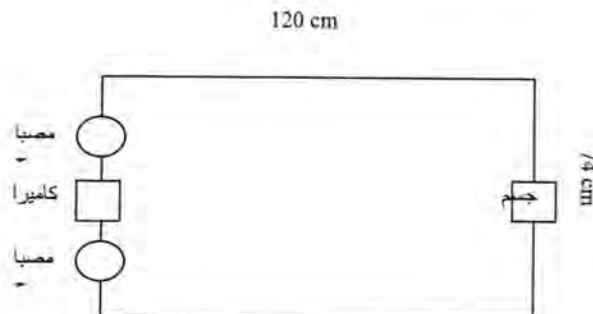
 $\sigma$ 

ومن ثم تم حساب نسبة الاشاره الى الضوضاء SNR من المعادله التاليه

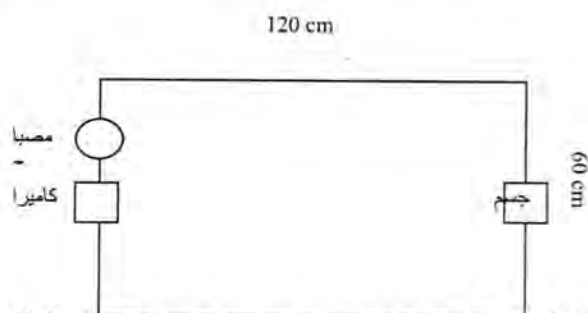
$$\text{SNR} = \frac{\eta}{\sigma} \quad \text{المعادله (3)}$$

#### منظومة التصوير المعتمدة في الدراسة

لقد تم بناء منظومة العمل الموضحة بالشكل (3) حيث تتألف منظومة العمل من صندوق مظلم ذات ابعاد  $(61 \times 74 \times 120)$  cm عندما تكون المسافة بين الجسم ومصدر الإضاءة 120 cm ، يحتوي الصندوق في أحد الجوانب على مصدر الإضاءة (مصباح التكسن) وفي نفس الجانب يحتوي على فتحة للتصوير توضع عليها الكاميرا وفي الجانب المقابل توضع الصور والأجسام المراد تصويرها تحت شروط أضاءة مختلفة حيث يتم التحكم بشدة الإضاءة باستخدام الدائرة الالكترونية الموضحة في الشكل (3) كما يوجد في الجانب المقابل للكاميرا متحسس لتسجيل شدة الضوء حيث تم استخدام نوعان من المتحssسات هما جهاز قياس شدة الإضاءة Luxmeter و الترانزستور الكاشف الضوئي عند كل عملية تصوير لغرض تحديد النوع الأكفاء في قياس شدة الإضاءة .



شكل -3: a يمثل المنظمه المستخدمه في العمل وهي عباره عن صندوق ذو ابعاد (120cmx74cm) في احدى طرفيها كاميرا ومصابيح من التكسن وفي الطرف المقابل جسم (مساحة مقطع من الاعلى)



شكل -3: b يمثل المنظمه المستخدمه في العمل وهي عباره عن صندوق بطول (120cm) وارتفاع (60cm) في احدى طرفيها كاميرا ومصباح تكسن وفي الجانب المقابل جسم (مساحة مقطع جانبيه)

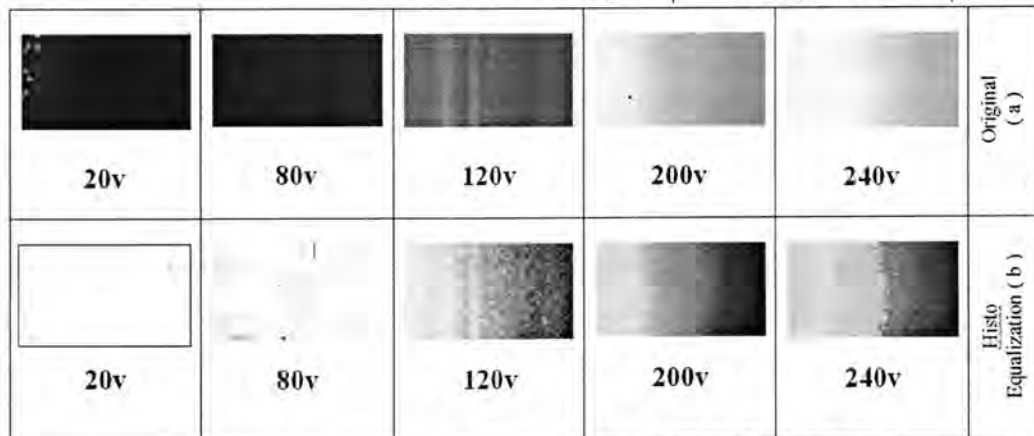
### النتائج والمناقشة

تم التقاط مجموعة من الصور بواسطة اللوبيب كاميلا (enet) لصور اختبارية بيضاء تحت اضاءة تنكشن مختلفة الشدة و غير منتظمة على جانبي الصفحة موضحة بالشكل (4-a) . ويلاحظ ان هذه الصور تكون عالية الاضاءة على طرفها لايسر وقليلة الاضاءة على طرفها اليمنى

وتم تطبيق معادلة المخطط التكراري على جميع هذه الصور لغرض تحسينها والصور الناتجة موضحة بالشكل (40-b) حيث يلاحظ بأن الصورة عند الاضاءة الواطنة انقلبت بشكل كامل الى صورة بيضاء كما ان الصور ذات فولتيات عالية انخفضت شدة الاضاءة

- 1- يلاحظ حصول زيادة في المعدل (mean) بشكل كبير عند استخدام معادلة المخطط التكراري لتحسين الصور الملقطة عند الشدات الاضاءة الواطنة .

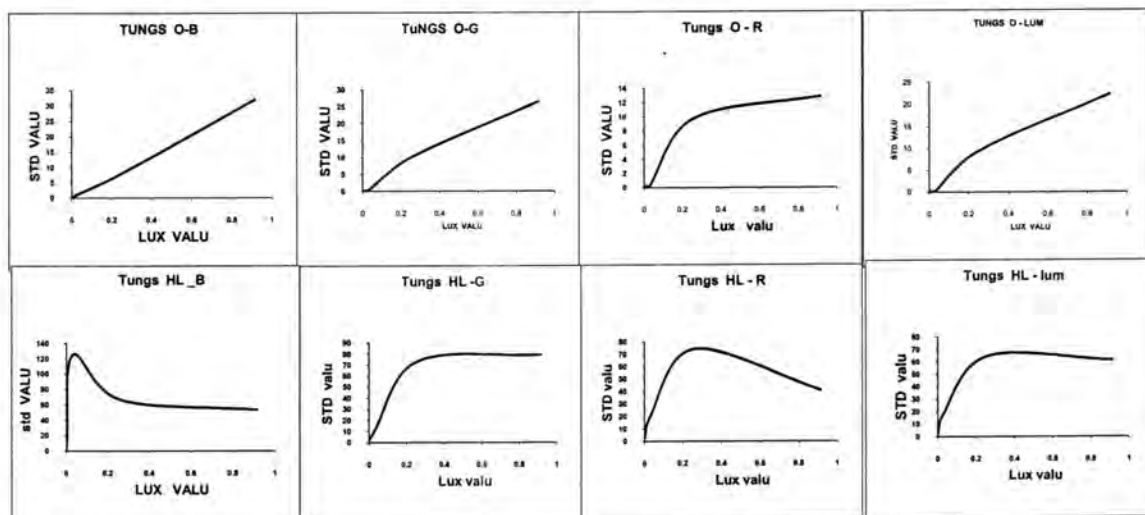
- 2- يلاحظ بأن العلاقة بين شدة الاضاءة المسجلة (lux) مع الانحراف المعياري للصور تكون خطية ثم تميل للاستقرار عند القيم العالية لشدات الاضاءة



شكل -4: يبين الصور الملقطه لشدات اضاءه تنكشن مختلفه الشده و غير منتظمه

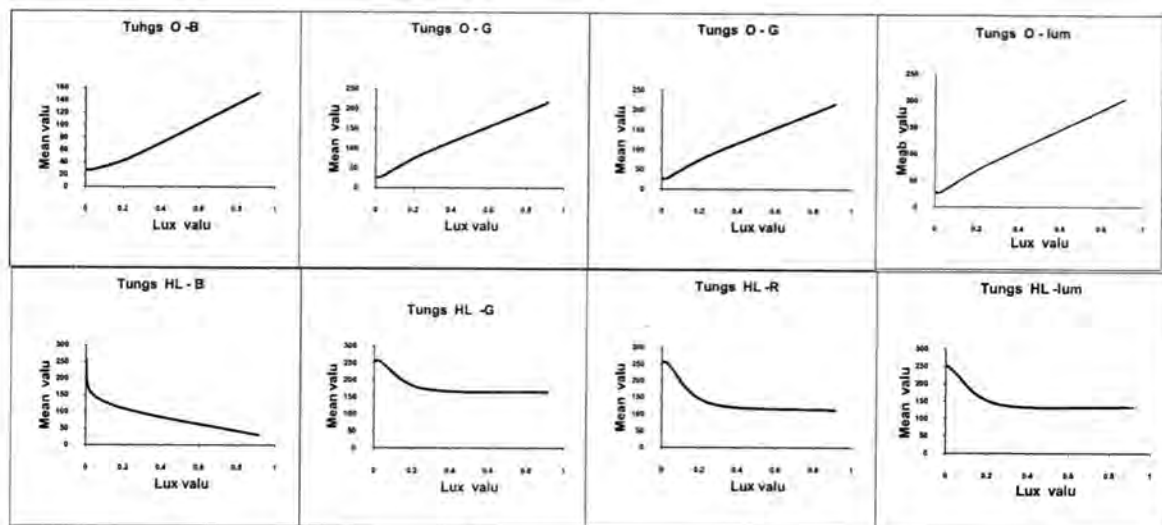
( a ) تمثل الصور الاصليه اي تم الحصول عليها عند اضاءه مختلفه

( b ) تمثل الصور المعالجه اي تم استخدام معادلة (المساواه) المخطط التكراري



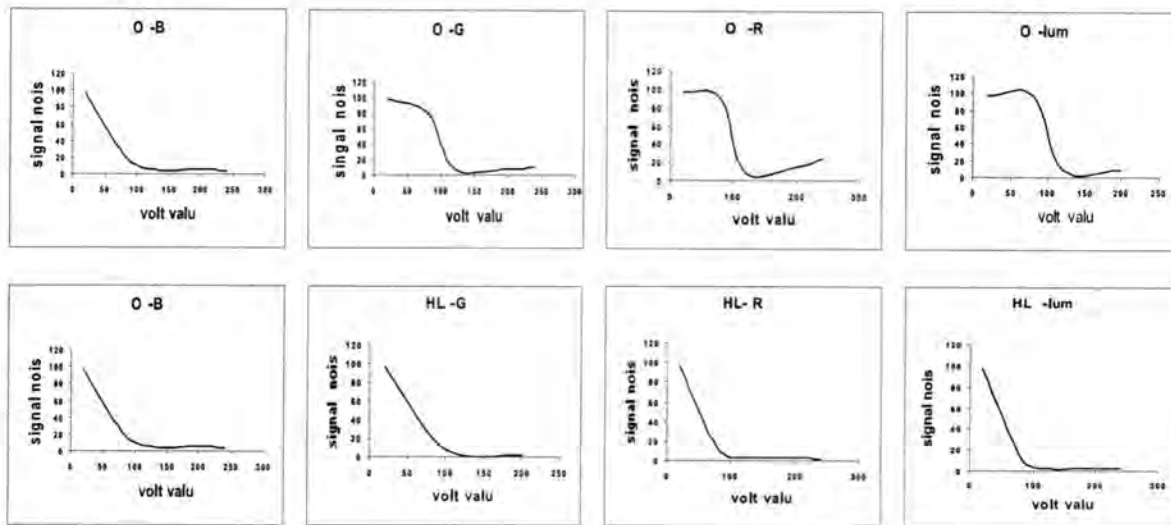
شكل -5: a يمثل العلاقة بين قيم المتحسس (Lux) وقيم الانحراف المعياري (HL) للصورة الاصلية (O) والصورة المعالجه (STD)

يلاحظ من الشكل (4)- a ان القيم الانحراف المعياري ( STD ) مع شده الاضاءه تقربياً تصبح ثابته وذلك يدل على امكانيه اعتماد هذه التقنيه لغرض تحسين الصور الملقطه عند شدات اضاءه ضعيفه مع المحافظه على قيمها اللونيه



شكل -4- b- يمثل العلاقة بين قيم المتخصص (Lux) وقيم المعدل (mean)  
للصورة الاصلية(O) والصورة المعالجه(HL)

الشكل (5) – b يوضح العلاقة بين معدل الحزم (RGB) والمركيه ( L ) مع شده الاضاءه Lux ويلاحظ حصول استقرار وثبات لجميع قيم المعدل مع ( Lux ) عند استخدام تقنية معادلة المخطط التكراري بينما يلاحظ حصول زيادة خطيه في قيم المعدل مع الشدة الضوئيه ( Lux ) في حالة الصور الاصلية الملقطه عند اضاءات مختلفه



شكل-4- c- يمثل العلاقة بين قيم الفولتية وقيم الضوضاء للصورة الاصلية(O) والصورة المعالجه (HL)

يلاحظ من الشكل (5) – c العلاقة بين ( SNR ) والفولتية بأن شكل المنحني ذو تناقص خطى تقربياً مع زيادة الفولتية عند الفولتيات الواطنه ثم يبدأ بالاستقرار والثبات عند قيم الوطنه وفي الفولتيات العاليه تكون قيم ( SNR ) صغيره جداً هذا في حالة الاعتماد على معادلة المخطط التكراري بينما الرسوم للصور الاصلية فأنها غير منتظمه وممتباينة من حزمه الى اخرى .

### المصادر

1. Zuheri S. S. , "Study Light Effect of determining of Test Image Resolution", MSc thesis, phy. Dept college of Scsnce; Almustansiriy University(2009)
2. Abtan R.A,'Astudy of Analysis of Contrast and luminescent Image Scsnce; Almustansiriy University ,(2009) To Different Lighting g condition", MSc thesis, phy .Dept college of Science Almustansiriy university ,(2009).
3. AL -Dalawy N . M. , " A study of TV Images quality for channels Broadcast Television ",MSc thesis, phy .Dept college of Science Almustansiriy university ,(2009).
4. Wilhelm B.and Mark J. , "Digital Image Processing approach using java " , Springer ISBN1846283795, 2007 .
5. Rafal C.G.and Richard E. , "Digital Image Processing " , 1992 .
6. Ian.T.Young , Jonj .Gerbrands and Lucas J., " Fundamentals of Image Processing " , 1995 .
7. Lamming D., " Contrast Sensitivity " , chapter ( 5 ) , in Cronly Dillon , Vision and Visual Dysfunction , Vo.15 , London , 1997 .
8. S.E Umbaugh , " Computer Vision and Image Processing " , pr entice .Hall , 1998 .
9. Smith G. and Atchison D.A. , " The Eye and Visual Optical Instrument " , New York , Cambridge University , 1997 .
10. Roorda A . and Williams D.R , " The Arrangement of three Cone Classes in the Living Human Eye " , Nature 11: 520 – 522 , 1999 .
11. Lamming D., " spatial Frequency Channels " , chapter ( 8 ) , incronly – Dillon , j., vision and visual Dysfunction , vo.15,London Macmillan , 1991 .
12. Cline D , Hosfstetter Hw and GriffinjR . , " Dictionary of Visual Science " , 4<sup>th</sup> ed Butter worth Heinemann Boston , 1997 .
13. Mukul V. Shirvaikar , " An Optimal Measure for Camera focus and Exposure " , electrical engineering Department , University of Texas at Tyler , Proceeding of IEEE 20004 .
14. Neumann L . , Matkovich., Purgathoferw., " The Global Contrast Factor " , Technical Report TR – 186 – 2 – 98 – 32 , Institute of Computer Graphics , Vienna University of Technology , 1998 .
15. Aditi M . AND Sandy I , "contrast Enhancement of Image Using Human Contrast Sensitivity " , Computer Science Department , University of California , Irvine 2002 .Campell , F.W . and Robson , J.G , " Application.